WMEM

世界制造技术与装备市场

World Manufacturing Engineering & Market

No.3 2022 2022年6月 June 2022

主管:中国机械工业联合会 主办:中国机床工具工业协会

地址:北京市西城区莲花池东路102号

天莲大厦16层 邮政编码: 100055 电话: (010) 63345259

电子邮箱: wmem@cmtba.org.cn

出版:中国机床工具工业协会

《组合机床与自动化加工技术》杂志社

主任: 毛予锋

副主任: 王黎明 郭长城 王 旭

编委

吴柏林 张志刚 李忠波 何敏佳 张世顺 于成廷 严鉴铂 黄正华 陈炎芦华 刘德永 冷志斌 陈 虎 汪爱清 王焕卫 吴 硴 赵延军 陈吉红 杜琢玉 王本善 王社权 商宏谟 安丰收 邓家科 于建华 穆东辉

特邀编委(各分会秘书长26人):

邹春生 刘春时 房小艳 慧 吴俊勇 李 升 王 珏 卢智良 刘庆乐 查国兵 崔瑞奇 干兴麟 张新龙 边海燕 何培烫 平 肖 明 叶永生 武 陈远东 孙兆达 李鸿基 王丽娜 陈长江

总编辑: 李华翔 **责任编辑**: 梅峰

国际标准代号: ISSN 1015-4809 国内统一刊号: CN 11-5137/TH 国内发行: 北京报刊发行局 订阅处: 全国各地邮局 邮发代号: 80-121

广告代理:台湾总代理-宗久实业有限公司 地址:台湾省台中市南屯区文心路一段540号11F-B

电话:+886 4 23251784 传真:+886 4 23252967 电子邮箱: Jessie@acw.cor

电子邮箱:Jessie@acw.com.tw 广告负责人:吴佩青(Jessie)

承印:北京久佳印刷有限责任公司

零售价:中国内地RMB10.-中国香港HK\$70.-其他地区US\$10.-



《中国期刊网》、《中国学术期刊(光盘版)》(理工C辑)、《中文科技期刊数据库 (全文版)》全文收录期刊、万方数据-数字化期刊群之中国核心期刊数据库引文期刊。

目 录 CONTENTS

2022年第3期(总第180期)

WMEM世界制造技术与装备市场

资讯 News

9 CIMT2023招展工作全面启动等8则消息 CIMT2023 exhibition work fully launched etc. 8 news

行业观察 Industry Observation

11 日本电产布局机床产业背后的逻辑 李华翔
The logic behind the layout of NIDEC CORPORATION in the machine tool industry

专题综述 Topical Review

14 数控机床可靠性试验技术发展鉴析

赵钦志 王军见

The reference and analysis of reliability test technology development of CNC machine tools

22 机床核心功能部件的自主研发与创新发展 周吉贞 Independent R & D and innovative development of core functional components of machine tools

26 机床共性技术的现状及发展趋势

张扬

Current situation and development trend of common technology of machine tool

展会报道 Exhibition Report

31 第十二届中国数控机床展览会(CCMT2022)部分展品综述(2) 机床协会市场部 Review of some exhibits of CCMT2022 (2)

研发与应用 Research & Application

41 高速动台式龙门铣床的研发与应用

赵旭靖

Development and application of milling machine with high speed moving table

45 一种箱体类零件精镗孔专用机床的研发

郭 鑫

Research and development of a special machine for fine boring of box parts

产销市场 Production & Market

49 2021年电加工机床行业运行情况

吴国兴等

Operation of electric machining machine tool industry in 2021

目次.indd 1 2022/7/1 14:10:36

WMEM

世界制造技术 与装备市场

World Manufacturing Engineering & Market

编者的话

今年以来,新冠疫情的反复,给国内经济社会的正常运作带来了较大影响。受疫情管控限制,中国机床工具工业协会刚刚正式对外宣布:第十二届中国数控机床展览会(CCMT2022)停办。这是该展会4年之内的两届停办。疫情带来的损失无疑是巨大的,但我们也只能坦然接受这一现实。

对于广大国内行业企业而言,2022年无疑是 处境较为艰辛的一年。面对地缘政治冲突加剧,能 源、原材料价格大幅上涨,通胀压力不断加大,需 求相对偏弱的不利局面,企业生存压力倍增。

面对当前不利局面,需要广大机床工具行业企业拿出信心和毅力,迎难而上,加快行业企业转型升级步伐,不断提升企业产品的市场竞争力。在产品开发方面,坚持差异化路线,走专精特发展之路;在市场开拓方面,要保持国际化视野,走国际化发展之路。

同时,行业企业还应未雨绸缪,关注新技术所带来的相应变革,瞄准新能源电动汽车、机器人、医疗器械等发展迅速的市场领域,提前布局,力争将未来市场的主动权牢牢掌握在自己手中。本期"观察"栏目中《日本电产布局机床产业背后的逻辑》一文,分析了日本电产大举跨界收购三菱重工和OKK机床行为背后的行为逻辑。该公司的一些做法值得国内企业借鉴与参考。

当然,疫情阴霾之下也不全是坏消息。令人略感欣慰的是,作为全球机床工具行业四大名展之一的第十八届中国国际机床展览会(CIMT2023)的招展工作已全面启动。该展会定于2023年4月10~15日召开,目前各项展会前期筹备工作也将陆续展开。作为准确反映机床工具市场情况的晴雨表,CIMT2023这一行业盛会必将再次引发全球业界关注。

CIMT2023值得期待!

本刊编辑部

版权所有, 未经本刊书面许可, 不得转载。

本刊已许可中国学术期刊 (光盘版) 电子杂志社在中国知网及其系列数据库产品中以数字化方式复制、汇编、发行、信息网络传播本刊全文。该社著作权使用费与本刊稿酬一并支付。作者向本刊提交文章发表的行为即视为同意上述声明。

内容导读

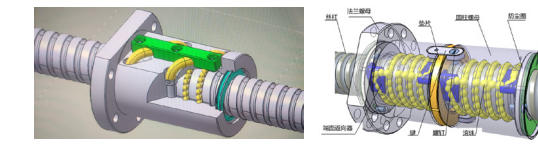
- 9 CIMT2023招展工作全面启动等9则消息
- 11 日本电产布局机床产业背后的逻辑

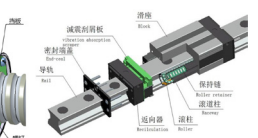


14 数控机床可靠性试验技术发展鉴析

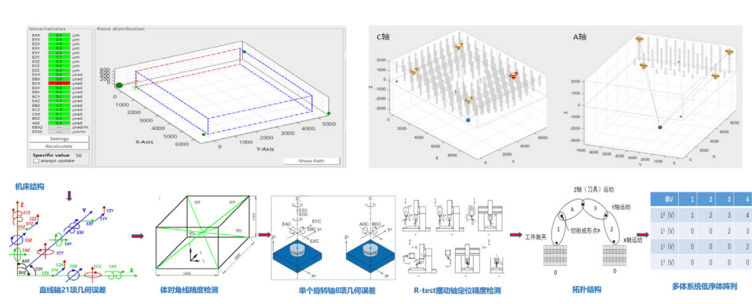


22 机床核心功能部件的自主研发与创新发展





26 机床共性技术的现状及发展趋势



31 第十二届中国数控机床展览会(CCMT2022)部分展品综述(2)







WMEM 世界制造技术 与装备市场

Norld Manufacturing **Engineering & Market**

Competent Authority: China Machinery Industry Federation

Sponsor: China Machine Tool & Tool Builders'

Association

Add: 16/F., Tianlian Mansion, 102 Lianhuachi East Road, Xicheng District, Beijing, 100055 P.R. China

Tel: (010) 63345259

E-mail: wmem@cmtba.org.cn

Publisher: CMTBA

Modular Machine Tool & Automatic **Manufacturing Technique**

President of E-C:MAO Yu-feng Vice President of E-C:WANG Li-ming

GUO Chang-cheng WANG Xu

Committeemen:

YU Cheng-ting, WU Bai-lin, ZHANG Zhi-gang, LI Zhong-bo, HE Min-jia, ZHANG Shi-shun, YU Fei, YAN Jian-bo, HUANG Zheng-hua, LIU De-yong, CHEN Yan, ZHAGN Bo, LENG Zhi-bin, CHEN Hu, WANG Ai-ging, WANG Huan-wei, LU Hua, WU Qiang, TANG Yi ,ZHEN Ji-hong , DU Zhuo-yu , WANG Ben-shan , ZHAO Yan-jun, WANG She-quan, JIANG Hua, SHANG Hong-mo, AN Feng-shou, DENG Jia-ke, MU Dong-hui, YU Jian-hua

Specially invited Committeemen:

WU Jun-yong, ZOU Chun-shen, LIU Chun-shi, FANG Xiao-yan, ZHOU Hui, HU chun-mei, CHEN Rui-lei, LI Sheng, WANG Yu, LU Zhi-liang, LIU Qing-le, ZHA Gua-bin, CHEN Peng, CUI Rui-qi, BIAN Hai-yan, WANG Xing-lin, HE Pei-liu, ZHANG Xin-long, XIAO Ming, YE Yong-sheng, WU Ping, CHEN Yuan-dong, SUN Zhao-da, LI Hong-ji, WANG Li-na, CHEN Chang-jiang

Chief-Editor: Li Huaxiang Executive Editor: Mei Feng

ISSN 1015-4809 CN 11-5137/TH

Post Distribution Code: 80-121

Advertising agency:

WORLDWIDE SERVICES CO.,LTD

Add:11F-B,No.540,Sec.1,Wen Hsin Rd., Taichung, Taiwan Tel: +886 4 23251784

Fax: +886 4 23252967 E-mail: Jessie@acw.com.tw





目 录 CONTENTS

2022年第3期(总第180期)

52 海关总署官网: 2022年版税则修订报告发布

一金属成形机床、增材制造设备等机床工具类商品税则号有变化 机床协会市场部 The official website of the General Administration of Customs: the revised report on royalty rules for 2022 is released

产品与技术 Products & Technology

55 五轴机床关键动态性能的测试

周汉辉

Key dynamic performance testing of 5-axis machine tool

车桥专用机床的工艺设计与装备应用

孙雪娜等

Process design and equipment application of special machine tool for automobile axle

64 激光焊接技术在动力电池制造中的应用

赵宇龙

Application of laser welding technology in power battery manufacturing

69 汽车油泥模型专用工具在实践中的创新与应用

胡卫兵等

Innovation and application of special tool for automobile sludge model in practice

73 双伺服电机消隙控制C轴与主轴的切换

温小亮

The automatic switch between C axis and spindle is controlled by double servo motor backlash elimination

75 有关精密卧式加工中心产品的研究

张丽丽等

Research on precision horizontal machining center products

78 直联式主轴松刀缸漏油分析及对策

荆立萍等

Analysis and countermeasures of oil leakage of loose cutter cylinder block of direct spindle

81 一种立式侧刀架轴切换装置

李永真

A kind of axial switching device in a vertical side tool rest

84 激光干涉仪在机床定位精度测量中的不确定度

曹 峰等

Uncertainty of laser interferometer in machine tool positioning accuracy measurement

96 双刀架数控立式板料开槽机控制系统的研发与设计

杨 晨等

Research and design of CNC vertical plate slotting Machine with double knife frame

企业风采 Enterprise Style

汉江工具: 做精主业, 持续创新

汉江工具

HANGJIANG Tool Corporation Limited: do fine main business, continuous innovation

消息(14、25、30、54、58、95、100)

CIMT2023招展工作全面启动

由中国机床工具工业协会主办并与中国国际展览中心 集团有限公司共同承办的 "第十八届中国国际机床展览 会(CIMT2023)",将于2023年4月10~15日在北京中 国国际展览中心(顺义馆)举办,预计展览总面积14万平 方米。

目前,展会的招展工作已全面启动。请有意向参展的企业于7月8日后登录展会官网www.cimtshow.com 进行在线申报。有关展会组织工作进展情况,敬请关注展会官网、协会官网、协会微信公众号、《中国机床工具》报、《世界制造技术与装备市场(WMEM)》杂志发布的信息。

2022年高端数控机床人才招聘活动已全 而启动

为深入贯彻落实党中央、国务院"稳就业""保就业"决策部署,全力做好2022届全国普通高等学校毕业生就业工作,充分发挥中国机床工具工业协会在行业中汇聚岗位资源的优势,中国机床工具工业协会与教育部就业指导委员会在"国家24365大学生就业服务平台"共同举办的教育部"24365校园招聘服务"高端数控机床行业专场招聘活动已全面启动。在4月15日~7月31日活动期间,

"国家24365大学生就业服务平台"开设高端数控机床行业专场招聘页面,供用人单位免费发布招聘信息,高校毕业生浏览查询和投递简历。

博鲁斯潘推出高速精密五轴联动叶片铣 削中心

北京博鲁斯潘精密机床有限公司(简称PMT)于近日成功研发出高速精密五轴联动叶片铣削中心PMT BM40-5i,并在其天津基地完成了叶片曲面精密制造全工艺过程的切削验证,即将发往我国某飞机发动机制造公司。该机具有高刚度、高精度及高动态响应加速度性能,拥有完全自主知识产权和核心关键技术,主要技术指标接近或达到国际同类产品先进水平,主要用于400mm以内航空发动机、燃气轮机的高温合金、钛合金精密叶片的高速高效精密制造。



为进一步提振经济,工信部组织召开行 业协会座谈会

6月20日下午,工业和信息化部召开部分行业协会座 谈会,研判二季度和下半年工业行业经济运行形势,部署 做好下一阶段进一步提振工业经济工作。

会议指出,今年以来,各行业协会配合政府部门积极 采取措施应对下行压力,在保障产业链供应链稳定、推动 企业复工达产、加强政策宣传解读等方面做了大量工作, 为推动工业经济企稳回升发挥了积极的作用。同时也要看 到,当前工业经济平稳运行面临的不确定不稳定因素依然 较多,稳定增长的基础尚不牢固,仍要持续付出努力。

会议强调,当前正处全年经济发展承上启下的关键时期,各行业协会要发挥贴近企业的优势,靠前服务、加强帮扶,高效统筹疫情防控和工业生产,巩固5月份以来工业生产恢复增长势头,为稳住宏观经济大盘作出更多更大贡献。

捷太格特以"JTEKT"品牌首次推出外 圆磨床

为了提升磨床产品的市场竞争力并扩大相关产品销量,日本捷太格特株式会社对磨床产品进行了更新,推出了继承传统TOYODA磨床技术的首款JTEKT品牌外圆磨床,主要面向电动汽车行业及其他领域。



JTEKT外圆磨床采用"变形"和"热位移"复合分析的最佳机械结构以及高可靠性的"TOYODA STAT BEARING",可抑制变形和热位移,实现低振动。该机床搭载最大功率22kW的砂轮轴,实现比同级别更快的加工节拍;安装的工件交换装置"XC",装卸时间为0.5s;可选择基本磨削模式或附加模式,功能丰富;通过实时人工智能技术,实现机床自动化,保证连续加工质量,如:通过实时显示表面粗糙度,可以在出现缺陷之前进行处理;具有唤醒功能,大大降低非加工时间的功耗;降低砂轮磨削阻力,减少加工时的耗电量。

第四批专精特新"小巨人"企业培育工 作启动

6月15日,工业和信息化部办公厅向各省、自治区、直辖市及计划单列市、新疆生产建设兵团中小企业主管部门发出通知,《关于开展第四批专精特新"小巨人"企业培育和第一批专精特新"小巨人"企业复核工作的通知》(工信厅企业函〔2022〕133号),部署相关工作及组织实施要求。

通知要求各省级中小企业主管部门要按照宁缺勿滥的原则,严格把关,积极稳妥开展推荐工作,确保培育工作稳定可持续。专精特新"小巨人"企业申请和复核采取线上填报与线下报送相结合的方式,线上与线下数据应保持一致。请2022年6月21日至6月28日期间上传申报材料。各省级中小企业主管部门于2022年7月12日前将相关文件报送至工信部。

山崎马扎克将推出新一代三维光纤激光加工机FG-400 NEO

近期,有来自山崎马扎克株式会社的消息称,该公司即将开始销售其最新研制的配备光纤激光振荡器的三维激光加工机"FG-400 NEO"。



FG系列是马扎克研制的一种三维激光加工机,可实现 建筑和农业机械等领域所用钢材的高精度、高效率加工。 通过配备三维刀头,除钢管(管材)外,还可加工H形钢、槽钢等。即将面世的"FG-400 NEO"是一款面向大直径长尺寸管形钢的三维光纤激光加工机。

FG-400 NEO配备高能量转换效率的光纤激光振荡器,同时具有控制光束直径和光束形状的独特功能,因此可轻易实现对铝、黄铜、铜等高反射材料的高速加工,以及从薄板到厚板的各种板厚工件的高效加工。

此外, FG-400 NEO与传统机器相比, 功耗降低40%, 激光气体消耗量为零, 具有良好的环保性能。

通用技术大连机床与南京理工大学签订 合作框架协议

5月31日,通用技术大连机床与南京理工大学高端装备 及功能部件团队(数控机床功能部件共性技术工业和信息 化部重点实验室)在大连举行了合作框架协议签订仪式。



大连机床作为中国通用技术集团机床板块功能部件领域牵头单位,坚决落实集团公司、机床公司战略部署,经过充分调研和广泛论证,确定了关键核心功能部件发展方向和发展思路。为确保战略部署落实落地,大连机床已于前期就关键核心功能部件发展进行了全面系统分析研究,通过与南京理工大学的深入交流探讨,进一步厘清了战略定位、建设思路,形成了双方全方位合作的意愿。

签约仪式前,南京理工大学冯虎田教授一行参观了卧加装配车间,实地调研了精密主轴恒温装配、刀塔刀库和 丝杠线轨等车间,详细了解了公司功能部件现状。随后,双方就后续强化合作,共同推动功能部件向更高层次、更加系统化发展进行了深入交流。最后,双方代表签署了《战略合作框架协议》、《滚动功能部件技术服务合作框架协议》。双方一致表示,将以《协议》为依托,围绕共同目标不断扩大交流,推动合作向深层次开展,共同为服务国家战略贡献力量。

日本电产币局

机床产业背后的逻辑

中国机床工具工业协会传媒部 李华翔

4月6日,日刊工业新闻报道,世界电机行业巨头—— 日本电产重新调整规划,将日本电产平湖工厂的面积由原 计划的6万平方米扩建至20万平方米,用于生产齿轮加工 机床,以满足市场未来增长的需要。

消息一出,再次引发舆论热议。要知道,就在前不久 短短的半年内, 日本电产先后跨界并购了三菱重工机床 (以"尼得科机床株式会社"的名义开始运营)和日本机 床制造商OKK,已是众说纷纭。这次短期内再次追加在中 国的投资,扩大机床产能,的确让人费解。

在外人看来,一是选择的时机不对。眼下新冠疫情反 复,俄乌冲突依旧,全球经济下行压力不断加大,企业此 时通常采取战略收缩的做法,以规避风险。二是跨界并购 难度较大,成功率不高。电机类企业和机床企业有着完全 不同的生产特点:一个是量大面广,一个是专业定制化, 并购后的管理与文化整合是个大问题。

然而, 日本电产或许是个特例。这家企业从一家名不 见经传的小微企业成长为世界第一的综合电机企业,仅 用了短短不到30年的时间,在经营方面自然有其独到之 处。有关这一点,我们或许能从日本电产的发展历史中窥 见一斑。

一、借助资本力量,有序并购扩张

1973年7月,日本电产在京都注册创立。作为一家生产 小型电机的小微企业,公司掌门人永守重信先生,在创业 之初就立志将公司打造成为该领域的行业翘楚。

时势造英雄, 日本电产一开始便与国际市场结下了不 解之缘。就像十五世纪开启大航海辉煌时代的葡萄牙、西 班牙欧洲小国一样, 日本电产在成立的几个月后, 便一路 勇敢向西,登陆美国大陆开疆破土、寻找商机,同样取得 了巨大成功。

日本电产在美国市场深耕细作多年,同时抓住美国PC 机产业链转移东南亚市场的商机,很快在HDD(硬盘驱动 器)电机产业领域打出了一片天地。短短十几年,公司便 成为了该领域的世界知名供应商,应该说是美国市场、美 国公司成就了日本电产最初的成功。

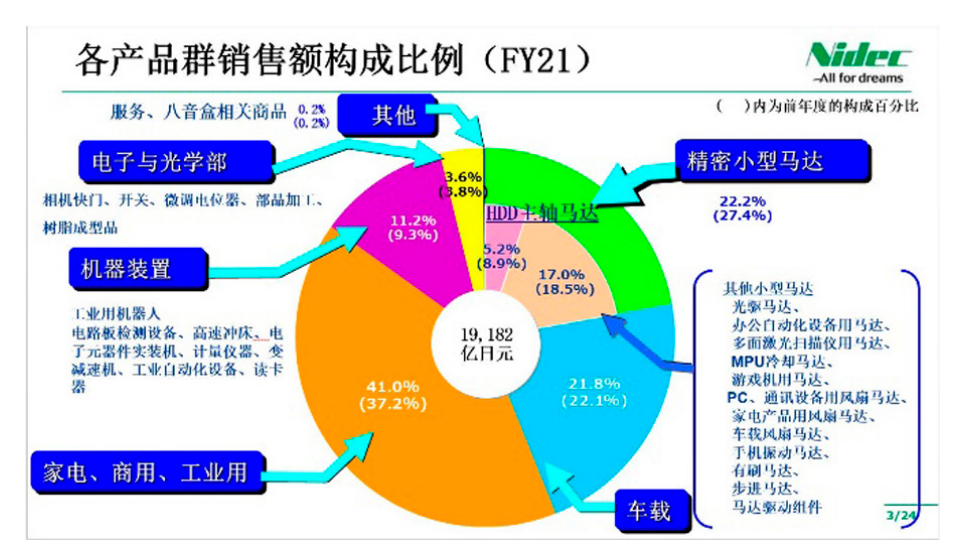
随着业绩的快速增长,日本电产开始借助资本的力量 去扩大企业规模。自1988年到2001年,公司先后在大阪、 东京、纽约三地成功实现上市。股市融资为公司的并购发 展插上了翅膀。

长期以来,日本电产一直坚持积极的并购战略。从 1984至2019的 35年间,日本电产共发起了66件并购 案,其中海外并购40件,占比超60%,平均每年就发起 近2件并购案。企业开发新技术或新市场,常常要耗费大 量时间。在永守重信眼中,并购就如同向市场"购买时 间",可为企业节省许多用于研发和市场开拓方面的宝 贵时间资源。

为保证并购成功,公司确立了基本原则。据国内一 家研究机构相关资料介绍,日本电产在确定并购之前一 定要符合三项基本原则:一是定位清晰——并购领域 是"旋转或驱动"事业,即始终围绕着电机这个老本 行,不能离开太远;二是目标明确——一定要能够解决 企业所面临的培育新技术或新渠道等课题; 三是方针 鲜明——绝不高价收购那些业绩良好的企业,而是瞄准 那些濒临破产和倒闭的目标,经过日本电产之手优化重 组, 使之重新焕发活力。

永守重信曾在接受媒体采访时指出,"(并购)好比登山,签署合同仅仅是爬了五分之一,剩下的就是跨企业间的文化磨合,这是最耗时也是最难的过程。"为保证并购的成功,日本电产创造了独特的并购业务整合(PMI)标准,其中就包括其独具特色的重组方式——推行"3Q6S"管理。同时企业尊重员工利益,将不裁员作为日本电产实施并购的一项基本原则。虽然这些措施落实起来既费时又艰难,但却十分有效。

通过一次次成功的企业并购和产品经营,日本电产已从一家名不见经传的小微企业成长为当今世界一流的综合类电机制造企业。产品类别包括:精密小型电机、车载及家电、商用、工业用电机、机械装置、电子与光学部等。其中,作为公司重点发展的领域——车载类产品的市场份额逐年提高,2021年车载类产品的销售额就占据了约20%的份额,随着汽车市场的快速发展变化,这一占比仍在增加。



日本电产2021年各产品群销售额构成比例

二、顺应汽车技术变革,着手布局机床产业

早在上个世纪九十年代,日本电产集团就进入中国大陆并着手全面布局中国市场,先后在浙江、广州、大连、苏州等地建立研发和生产基地。近几年更是加大了在中国的投资力度和发展速度。2019年6月20日,日本电产在北京市召开了在华业务战略说明会。强调"中国是非常重要的市场,将继续展开投资"。具体而言,日本电产将着眼于新一代通信标准5G、汽车的电动化和自动化、机器人的推广使用、家电节能化和农业物流自动化这5个潮流来拓展业务。这个时期,日本电产还没有把公司战略瞄准机床产业,至少公开的信息没有显示日本电产集团的业务将向机床产业方向延伸。

近年来,随着新能源汽车和自动驾驶技术的快速发展,汽车行业进入前所未有的技术革新时代。为此,日本电产集团提早谋划,凭借在轻薄短小技术、高能效技术及控制技术等领域的技术优势,及时推出了车载领域的新能源汽车驱动电机和新能源汽车平台两大产品,并将中国市场作为其主要目标市场。其研发的E-Axle整合式驱动电机系统于2019年4月全球开始量产,广汽新能源Aion S以及Aion LX也成为首批搭载该产品的车型。



E-Axle三合一式驱动电机系统

日本电产表示,在汽车行业面向 "脱碳化"快速推进各项措施的过程中,公司将牢牢抓住"汽车电动化"及"绿色转型"这一中长期发展机遇,通过扩大销售以EV驱动电机系统"E-Axle"为核心的车载用电机产品,为温室气体减排作出贡献。

E-Axle驱动电机系统是由驱动电机、减速齿轮箱及逆变器构成,具有结构紧凑,小型轻量等特点,极具市场竞争力。这款拳头产品一经推出,广受市场好评,市场需求不断增长。为满足未来的市场需求,近两年日本电产集团又在现有的第一工厂(浙江省)的基础上,再在浙江与大连分别新建了第二、第三工厂。在此背景下,为进一步提升新能源汽车产业市场规模和产品竞争力,日本电产集团开始将目光投向了机床装备产业。

2021年8月,日本电产集团完成 对三菱重工机床株式会社的收购,并以"尼得科机床株式会社"的名义开 始运营;2022年1月,尼得科机床的 平湖工厂项目云签约仪式成功举行。 2022年2月,日本电产集团再次收购 日本机床制造商OKK。

三、依托机床板块,助 力集团公司战略目标实现

企业并购战略是实现企业发展战略的一种常规途径,通过并购等外源式的增长成为企业实现扩张的一种合

12 | WMEM · 2022年第3期

理冼择。

2021年7月, 日本电产公布了中期战略目标"Vision 2025",制定了"在2025年实现创收4万亿日元"的目 标,包括驱动电机在内的车载业务、工业机器人有望成为 其主导型业务的主要组成部分。

那么,如何看待日本电产并购机床企业?翻阅相关资 料,不难发现,对三菱重工机床和日本OKK机床的跨界收 购,是2020年初疫情爆发以来,日本电产仅有的两次收购 行为。作为一家以并购见长的国际跨国集团,在"现金为 王"的疫情期间,敢于出手去收购上游的机床制造企业, 其行为背后的逻辑,需要从集团战略目标的实现路径、内 部协同效应的有效发挥、以及不断提升企业核心竞争力等 方面去寻找答案。

首先, 收购机床业务有助于公司整体战略目标实现。日 本电产集团的产品具有技术含量高、量大面广等特点,需要 配备大量高性能的机床装备。为了短期内达成公司中期战略 目标,势必要投入巨资购买机床设备以扩大产能。通过并购 方式获取优质稀缺的机床装备资源,利用它们独有的技术优 势、研发力量,可以更好地服务企业总体发展战略。

其次, 随着日本电产集团机床板块阵容的扩大, 其内 部的协同效应也将愈发明显。有日媒认为, 日本电产扩充 机床阵容, 可拓宽电机以外的利润来源, 同时扩大公司生 产的机床用伺服电机的应用范围,进而改变公司在机床伺 服电机市场份额落后的现状(资料显示:伺服电机市场规 模2020年为139亿美元,2025年预计达168亿美元),其 竞争目标瞄准这一领域强大的竞争对手。

再有,由于受疫情的影响,许多机床企业经营受到了 很大影响。日本电产选择在这个时间段收购两家日本机床 企业,也让它在议价权上处于有利位置;同时日本企业间 的管理文化相近, 也使得跨企业之间的文化磨合问题相对 容易解决。

四、电产机床板块:未来机床市场一 支不容忽视的力量

目前,对于日本电产而言,三菱重工和OKK机床的成 功加盟所带来的好处正在逐步显现。

三菱重工的齿轮机床位居世界三大齿轮机床之列,在 汽车齿轮切削等机床设计和生产方面拥有着大量先进技 术,其长期积累的经验也独具借鉴意义。有媒体报道,收 购三菱重工机床,不仅加强了E-Axle三合一式驱动电机系 统核心部件齿轮的制造能力,还为公司提供了齿轮和齿轮 制造方面的工艺经验, 使其一举成为电动汽车的完整牵引 解决方案提供商。

OKK主打中小型加工中心,擅长不锈钢和耐热性高 的镍合金等难切削的材料的高精度加工,可以自动更换多 种刀具,同时进行切削、钻孔。有日媒体报道称,日本 电产2022年度内将把小型减速器的产能提高到现有的近 3倍。为此公司将投资100亿日元在菲律宾工厂建设新厂 房,以生产面向工业机器人使用的主要部件——小型减 速器。新厂房将从集团子公司尼得科机床和NIDEC OKK CORPORATION引进最尖端的机床,以扩大产能,缩短从 客户下单到供货的订货时间,从而扩大市场份额。5月23 日日本电产对外宣布,将在浙江省平湖市建设驱动电机系 统 "E-Axle"的旗舰工厂以扩大车载用电机产品的销量。



"E-Axle旗舰工厂"竣工效果图

可以预见, 依托集团内部丰富的上下游资源, 尼得科机床 和NIDEC OKK CORPORATION机床将在日本电产电动汽车和 工业机器人领域相关产品的产能提升方面发挥重要作用。

近期,永守重信表示,为了扩大车载和机器人用电机 的生产, 在机床方面, 集团或将"再收购几家公司"。对 于2021年收购的三菱重工机床,他表示,"虽然曾经亏 损,但现在已经实现盈利"。显示了日本电产对正式进入 机床领域充满信心。

不难看出, 日本电产集团跨界机床并购行为还将继续 下去。如果顺利的话,未来随着机床业务板块阵容的扩 大, 其集团内部相互间的协同效应也会愈发明显, 将助力 集团公司整体竞争实力的进一步提升。与此同时, 其规模 和外溢效应未来会逐步显现,将成为相关市场,特别是新 能源汽车、工业机器人等装备市场领域强有力的竞争者。

当然,日本电产集团的发展其实也并非一帆风顺,除 了经济不确定因素增多、市场竞争日趋激烈。以及规模化 管理和文化整合难度加大等因素之外,公司目前面临的主 要问题还是缺乏合适的"接班人"。就在今年4月,年满 77岁的永守重信在卸任不满一年后,重新出山担任首席执 行官(CEO),原CEO关润转任首席运营官(COO)。

未来,并购整合后的日本电产机床业务发展如何,我 们将拭目以待。□

数控机床可靠性试验技术发展鉴析

国家机床质量监督检验中心 赵钦志 王军见

机床是制造机器的机器,被称为"工业母机",它代表了国家工业发展水平,也是国家综合实力和竞争力的体现。然而,国产机床的可靠性问题,一直是制约着我国机床行业的发展,严重影响国产机床市场竞争力的顽疾。

国家对此高度重视,自"八五"以来,通过国家科技 攻关项目支持,引导了一批专家学者进入数控机床可靠性 技术研究领域,创建了数控机床可靠性技术的试验与检测 基地,产出了一批基础性的技术成果,显著提高了国产机 床的可靠性水平。但由于我国机床可靠性技术研究起步 晚,技术成熟度仍有待提升,加之企业对可靠性试验认识 不足,也间接制约着可靠性技术推广应用,目前国产机床 可靠性与国际先进水平相比,仍有一定差距。

本文分析了机床可靠性及可靠性试验的意义,并以国别的方式比较了包括前苏联、美国、德国、日本等机床强国的可靠性试验发展历程及其优缺点,试图从中借鉴相关经验;总结了中国机床可靠性发展过程,尤其以"高档数控机床与基础制造装备"科技重大专项(简称04专项)为核心,表明了开展可靠性试验技术研究是提升国产机床核心竞争力的基本保证;并对当前国内相关机床可靠性研究政策及发展中的问题进行了探讨,为今后的机床发展等政策的制定提供参考。

在第六个"全国科技工作者日"之际,作者围绕"国产数控机床可靠性试验技术发展",对国外研究情况及国内前期研究成果进行了系统分析,以此向本领域潜心钻研

的专家、学者表示致敬,也希望与各位同仁未来深入合作,共同为我国数控机床的可靠性提升做出应有的贡献。 不当之处,敬请指正、交流。

一、可靠性与机床可靠性

可靠性的定义是产品在规定的条件下和规定的时间区间内完成规定功能的能力^[1],通过可靠度、失效率、平均故障间隔时间等来评价。可靠性是系统和设备的灵魂,是评价系统和设备好坏的主要指标之一,体现了产品的耐用和可靠程度。产品的可靠性越高,产品可以无故障工作的时间就越长。

可靠性研究是由二战时期美国提出来的,面向电子管,解决飞机电子设备和复杂导弹系统等问题,后来逐渐被其他国家所重视。截止到2015年,其发展共分为4个阶段,分别为兴起阶段、全面发展阶段、完善阶段、现代化阶段,这也是目前较为大家公认的阶段^[2]。从2015年之后,各种新兴技术逐渐兴起,为可靠性检测手段提供了新的工具,也引起了一些研究变化,本文将其单独分离出来作为第5阶段,命名为智能化阶段,如图1所示。这5个阶段的可靠性研究各有特点,但是无不围绕可靠性理论体系、可靠性试验和可靠性标准等展开,其中可靠性试验更是提高产品性能的基础和重要手段。

资讯

险峰机床订单已排产到明年二季度

疫情影响仍未缓解,贵阳险峰机床有限责任公司却凭借技术实力实现逆势上扬。相关信息显示,目前在手订单已经排产到2023年第二季度,而且订单还在持续增加,全厂各部门倒排工期,力争产品按时交付客户。

险峰机床于2021年被认定为国家级专精特新重点"小巨

人"企业。公司一直专注于高端数控精密磨床整机制造的创新研发与应用,其轧辊磨床、无心磨床等产品广泛应用于钢铁、船舶、汽配、造纸、新能源、国防等领域。险峰机床在发展中始终坚持自主创新战略,持续深耕专有技术、关键技术和核心技术,力争做到开发一代、储备一代、应用一代。

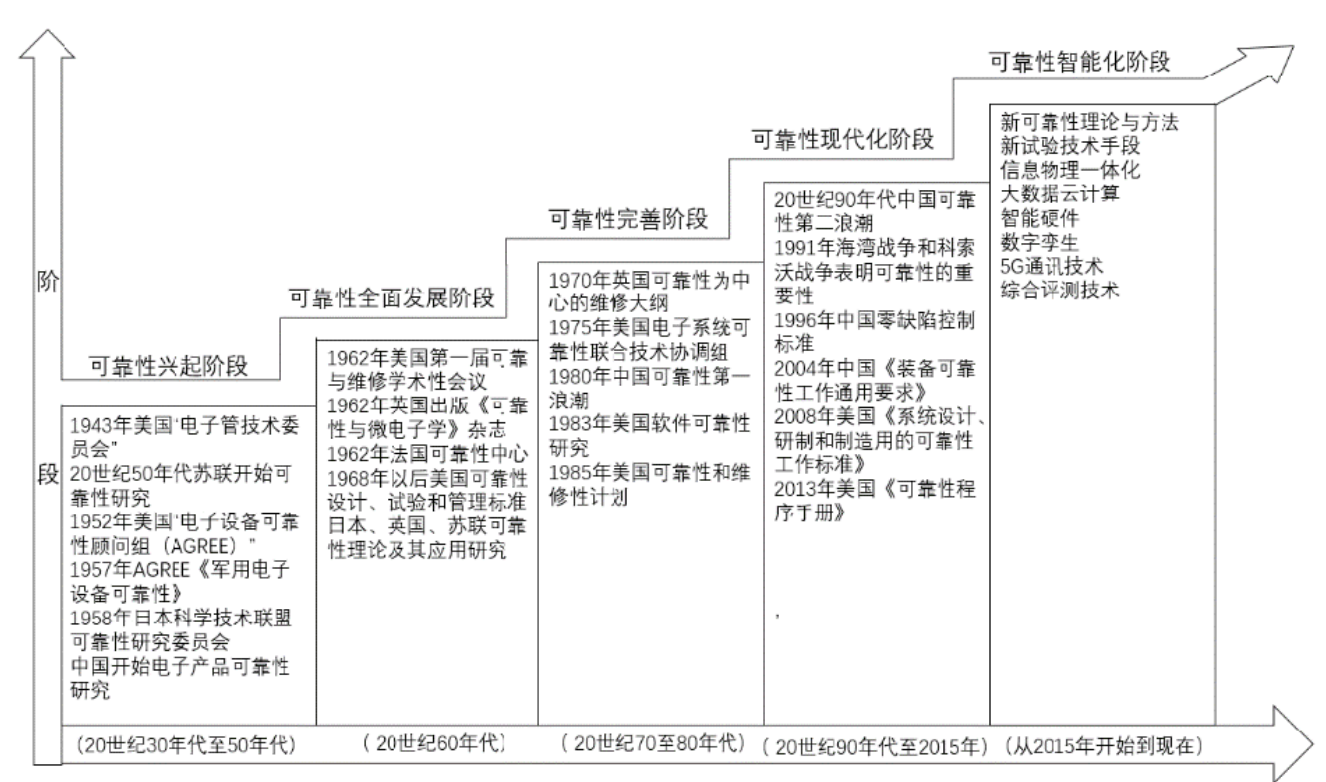


图1 可靠性研究的不同阶段

可靠性试验[3]是指通过试验测定和 验证产品的可靠性,目的是发现产品在 设计、材料、制造、装配工艺方面的缺 陷,提高可靠性水平,为减少维修及保 障提供科学依据。它分为工程试验和统 计试验两大类,如图2所示。工程试验 的目的在于快速有效地暴露产品的可靠 性缺陷,并采取纠正措施消除或者使故 障发生概率低于许可水平。统计试验的 主要目的是鉴定和评价产品的可靠性或 使用寿命,对于试验中出现的缺陷,不 采取其他措施。

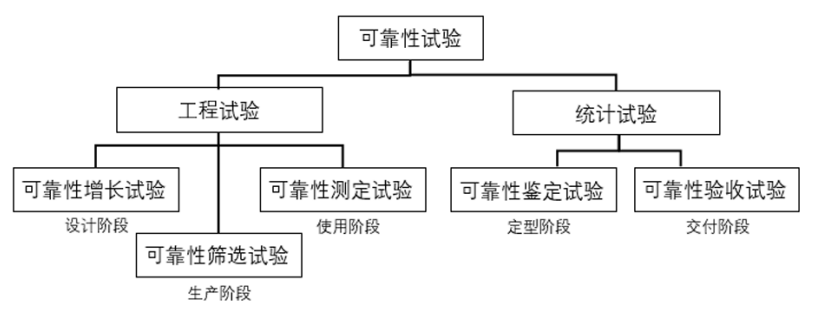


图2 可靠性试验

作为典型的机电一体化系统,数控机床是现代制造技术基础装备,其技术 水平高低是衡量一个国家工业现代化水平的重要标志, 而数控机床的可靠性是 机床质量的关键。该研究贯穿数控机床整个产品生命周期,如图3所示。

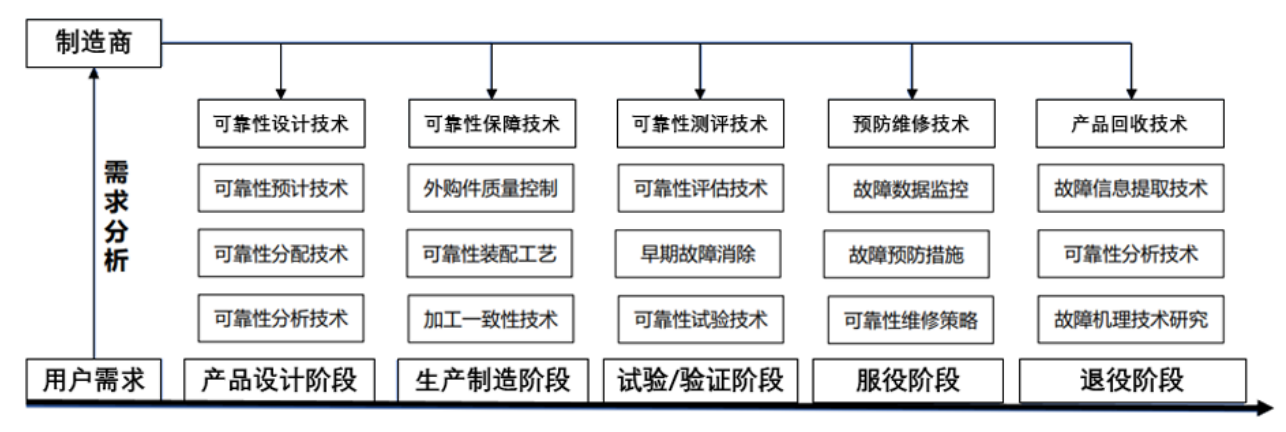


图3 数控机床产品生命周期可靠性技术框架图

数控机床可靠性评价指标包括平均故障间隔时间(MTBF)、平均修复时 间(MTTR)、固有可用度(IA)、精度保持时间(KT)、有效度(Ag)、 全生命周期成本(LCC)、平均非计划拆卸间隔时间(MTBUR)、使用寿命 (RL)等指标。从具体执行项目来说,通用可靠性试验包括加速强化试验、加速 寿命试验、定时截尾试验、定数截尾试验、序贯试验、基于贝叶斯的鉴定试验 和可靠性摸底试验等。在机床可靠性试验方面,基于模拟加载的可靠性快速加 载试验是我国独创。

可靠性试验是评价和提高数控机床可靠性的重要技术手段, 其具体意义在 于:确定产品在预期工作时的可靠性特性,验证产品是否符合设计要求,发现 缺陷,为改进提升提供依据,消除早期故障等。最关键的是,它在产品生命周 期中起到了承上启下的作用,扮演着不可或缺的角色。

接下来通过对国内外机床可靠性发展历程等的对比分析, 试图找到客观的 可靠性整体政策和技术方向,并在此基础上探讨未来发展的多种模式,为我国 机床可靠性技术发展提供参考。

二、国外机床可靠性试验研究对比

机床作为复杂机电系统, 其可靠性一直是各国机床产品的核心竞争力指 标。为此,各个国家根据自身的理论基础及实际情况,开展了不同的机床可靠 性研究,并最终落实到了可靠性试验之上。本节从世界上主要机床国家的机床 可靠性试验特点出发,结合时间线进行了比较,希望从中能获得一些我国机床 发展可鉴之处。

1. 前苏联(俄罗斯)

机床可靠性研究最早源于前苏联。

20世纪50年代,前苏联金属切削机床科学试验研究院一些著名机床研究学 者转向机床可靠性研究, 在参数故障模型、工艺可靠性及蒙特卡洛法参数可靠 性预测等方面建立了可靠性技术的基本理论,并由其中的代表A.C.普罗尼柯夫 教授根据机床产品在结构、功能、外载荷等方面的特殊性,于70年代建立了机 床可靠性基本理论体系[4]。图4为前苏联的可靠性保证概念及其实施分类。

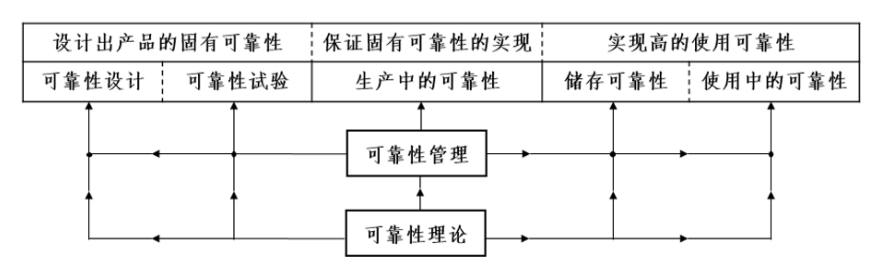


图4 前苏联的可靠性保证概念框图

20世纪80年代,前苏联B.B.科希洛夫提出了技术使用系数的概念^[5],指出 在进行可靠性设计时应当适当考虑经济效益。同期一些专家学者在机床早期故 障的排除方面提出进行工艺试运转和可靠性试验的方法,包括可靠性设计、可 靠性评估、可靠性管理、可靠性预测等多方面, 为数控机床在今后的可靠、智 能、协调发展奠定了坚实的基础。

20世纪90年代以后,俄罗斯学者对机床故障情况进行了收集分类,并进行

了保护和预防等研究, 重点对数控机 床加工精度进行控制和预报,但未切 实反映到机床可靠性中急需解决的关 键问题,有技术方向跑偏之嫌。

总体来说, 前苏联(俄罗斯)遵 循"理论至上"的原则, 在机床可靠 性研究方面提出了很多极有价值的理 论与方法,是机床可靠性试验的鼻 祖,缺点是过于集中于理论。另外, 在机床部件研究方面也取得了重要成 果,尤其电主轴、高速轴承等具有世 界领先水平,像瑞士、德国等国家均 采用了该国成果。不过, 在数控系统 等其它关键部件方面始终没有质的突 破。

现在由于俄罗斯经济政策以及国 际形势,造成前苏联研究成果没有得 到有效继承, 机床主要依赖进口。俄 罗斯政府一直在试图改变这一状况, 并于2020年通过《2035年前俄罗斯 机床工具工业发展战略》,强调提高 机床本地化水平,增加国内市场占 比,扩大出口规模。

2.美国

美国相较于前苏联, 注重结合汽 车、轴承生产自动化需求以及领先于 世界的电子、计算机技术, 在数控机 床的主机设计、制造及数控系统方面 基础雄厚,并根据成果不断提出相应 支持政策、标准及规范等, 以政策为 引领, 在机床可靠性研究方面居于世 界领先地位。当今美国不仅为航空航 天等行业生产高性能数控机床,也为 中小企业生产廉价实用的数控机床。

从20世纪50年代初,美国采用了 单应力模拟的研制试验与鉴定试验。

20世纪60年代,美国相继颁布 一系列规定可靠性设计、建模和试验 方法的标准,之后通过相关实验和建 立机床可靠性模型最终估算出可靠性 MTBF, 为今后的机床可靠性试验奠 定了雏形。随后J.T.Duane提出可靠 性增长试验模型[6],美罗姆航展中心

提出了加速寿命试验方法[7]。

20世纪70年代,美国采用综合应力模拟试验,并改进Duane模型为 AMSAA模型,使其不仅用于可靠性增长试验数据跟踪,而且还可以进行可靠 性预测[8]。

20世纪80年代,美国从数控机床现场可靠性信息采集入手,建立可靠性信 息数据库,开发可靠性评价和故障分析软件,确定故障分布规律和薄弱环节。 1988年提出高加速寿命试验(HALT)和高加速应力筛选试验(HASS)[9]。至 此,形成完整加速试验技术体系,能更高效地激发产品缺陷,缩短试验周期, 降低试验费用。如图5所示的就是加速寿命试验体系。

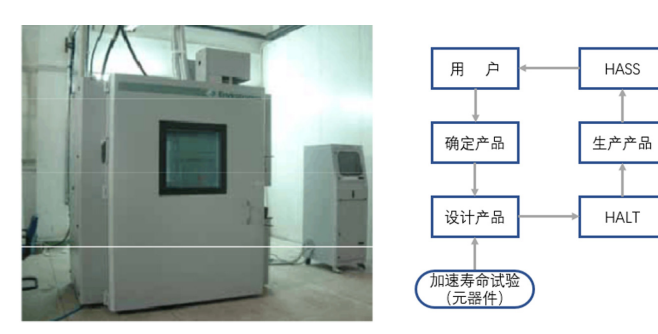


图5 加速寿命试验体系

20世纪90年代,提出加速应力试验法,并形成可靠性强化试验体系。

总之, 作为前苏联的主要竞争对手, 美国的机床可靠性研发之路与其相 似,而且有突破。美国的特点是政府重视机床工业,不断提出机床发展方向、 科研任务并提供充足的经费网罗世界人才, 注重基础科研, 因而在机床技术上 不断创新。但是其更集中于机床可靠性试验方法以及试验体系研究上,忽略了 应用技术的具体解决,走了一定的弯路,被更注重可靠性研究应用的日本等国 家在20世纪80年代超越,目前已经有所转变。

3. 德国

德国是老牌工业强国, 其机床开发思路一以贯之, 保证了其长远的发展与 优势。德国特别注重科学试验理论与实际相结合,基础科研与应用技术科研并 重。

自19世纪开始,德国政府就将机床发展确定为战略性地位,放弃购买的政 策,转为自己研发机床。直到现在,德国机床制造业仍然秉承这一思想。1907 年创建世界首家机床实验室,并提出机床对比试验,据此进行机床制造与发展 趋势研究。

在可靠性研发方面,德国讲究"实际"与"实效",支持企业与大学科研 部门合作,从理论与实践两方面,同时开展对用户产品、加工工艺、机床布 局结构、数控机床的共性和特性问题的深入研究。通过对机床用户反馈的故障 信息进行归类总结, 开发了机床预测与机床诊断技术, 并建立了机床可靠性研 究体系和可靠性试验,将可靠性研发分析理论应用到机床的实际开发应用中, 提高了机床的可靠性水平。德国更是在此基础上,首次提出了要提高机床可靠 性,就必须重视部件可靠性的发展思路。

在机床可靠性管理体系方面,德国坚持"以人为本、师徒相传",不断提 高人员素质。制定严格的产品安全标准和法规,在机床产品制造、装配、检验 的全过程都有质量和可靠性保障体系, 高度重视产品售后故障信息反馈和可靠 性分析。

相比于美国和前苏联(俄罗 斯),德国更加集中于"高、精、 尖"方面;相比于日本,集中于"实 用"方面,而且,随时注意将新技术 融入到机床发展中来。经历了20世纪 80年代日本机床的快速崛起,德国在 CNC等方面及时进行了调整, 很快恢 复了世界领先地位。尤其是大型、重 型、精密数控机床方面,以其良好的 质量与性能而闻名于世。

总之, 在机床可靠性研究及其试 验方面, 虽然我们未能查阅到德国的 专门政策文件内容, 但是在其基本国 策、可靠性试验管理体系、研发政策 等方面又处处体现出对可靠性的重 视, 值得中国当前机床行业参考。

4. 日本

加速寿命试验

作为机床制造业后起之秀的日 本,以务实的观点和创新的行动让自 己走在了机床业的前列。

从发展之初,日本政府对机床工 业发展就积极出台规划、法规,提出 日本数控机床行业的发展方向,确定 "先仿后创"的发展思路,并提供充 足研发经费,鼓励科研机构和企业大 力发展数控机床[10]。

20世纪80年代中期,日本以民 用产品为主,大力推进机械可靠性的 应用研究,成立了机械工业可靠性分 科会, 由企业可靠性推进人员和高等 院校教授组成,研究可靠性在机械工 业的引入、推进和开发。

在模仿方面, 日本首先瞄准机床 行业最先进的美国和德国。在人才培 养及机床部件配套上学习德国,在质 量管理、数控机床技术和数控系统的 开发研究方面学习美国。同时,改进 并发展两国的先进经验与成果,青出 于蓝而胜于蓝。在产业政策上, 先生 产量大面广的中档数控机床占领世界 广大市场,继而全力发展中小批柔性 生产自动化的数控机床。这些都为日

本机床的持续发展奠定了良好基础。

在创新方面,日本最显著的成果是将故障模式、影响 分析(FMEA)等技术[11]成功引入机床行业中,这是机床可靠 性研究重要成果之一,目前已普遍应用。他们将现场检测 和故障诊断技术应用到机床可靠性试验研究中, 通过对机 床的故障模式与故障原因分析来保证机床的可靠性水平。

在机床可靠性应用方面, 日本始终给予高度重视, 并 很好地处理经验与可靠性改进二者之间的关系, 保证了其 始终处于机床技术发展的最前沿。在机床设计方面采用以 经验为主的设计规范,包括材料选择、结构形式、安全系 数的确定等,实践证明这对于设计和原有产品相似的产品 非常有效。这种规范的实现也保证了机床可靠性。另外, 日本采用可靠性概率设计方法的结果与实物试验进行比 较,总结经验,收集和积累机械可靠性数据以及故障分析 案例,同时不断融入新技术,有效促进了机床可靠性水平 的提高。通过可靠性分析进行反复的设计改进,是其机床 可靠性试验的目的, 也是其主要特征。

总之, 日本这种后发先至的发展战略值得借鉴, 尤其 以实用性为主线的机床产业政策、发展方式、可靠性试验 创新、故障统计数据积累等都得到了落实, 保证了其机床 产品的先进性。但是日本在机床可靠性研究方面公开发表 的资料非常少,基本上是秘密研发,从一个侧面说明其对 可靠性研究的重视程度,为我们的研发保密工作起到了提 醒作用。

5. 英国

机床的起源地是英国。工业革命之后,英国机床制造 业领先其它国家,但在20世纪60、70年代,英国对科技发 展不重视,企业家不愿意将新兴科技运用到生产之中,工 厂设备老化, 机床制造业日益没落, 逐渐退出了机床技术 前沿,但是其在机床可靠性方面做出了一定的贡献。

首先,英国国家可靠性分析中心成立机械可靠性研究 小组,汇编出版的《机械系统可靠性》一书,从失效模式、 使用环境、故障性质、筛选效果、试验难度、维修方式和 数据积累等7个方面,阐明了机械可靠性应用的重点,提出 了几种机械系统可靠性的评估方法,并强调重视数据积累。

其次,借助1979年成立的欧洲可靠性数据库协会及其 遍布欧洲的可靠性数据库交换协作网, 收集大量可靠性数 据。同时,通过数据库实现对数据的管理和分析等,如英 国布拉德福大学Keller A. Z等采用模糊数学理论对数控机 床的故障数据进行处理,伯明翰大学通过采集35台数控机 床数据,确定数控机床整机的故障时间分布基本服从威布 尔分布,得到分布模型形状参数。这些都为后来的可靠性 评价提供了理论依据。

1991年英国出版的《以可靠性为中心的维修》[12]— 书,是当前大部分国家制定设备维修策略的参考依据。

总之,英国在机床可靠性试验方面的数学分析理论有 所突破,并且注重数据积累及其应用,对于机床维修等起 到了指导作用。然而,英国由于科技政策的落后,造成了 产业发展没有很好延续,退出了机床制造业强国之列,值 得我们从反面加以思考。

另外,如瑞士、意大利、波兰、捷克等国家机床也各 具特色, 但是大都与前面几个国家的情况大同小异, 在此 不再赘述。

三、国内机床可靠性试验发展历程

中国机床起步较晚,第一台数控机床是1958年参考前 苏联技术指标等搭建完成的,如图6所示,机床可靠性技 术研究则更晚。

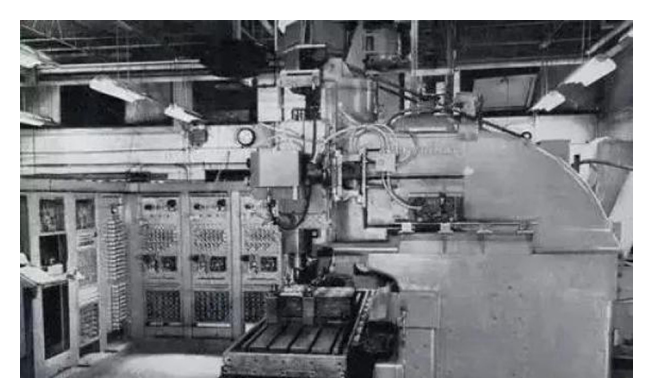


图6 中国第一台数控机床

20世纪60年代,我国开始对电子元器件的可靠性展开 研究;70年代初,加速寿命试验技术进入我国,掀起了统 计学与可靠性研究领域的一次研究热潮,该项试验技术也 是我国目前应用较为成功的典范。

20世纪80年代末,我国开始展开机床可靠性研究。 90年代初,数控机床可靠性的基础研究工作被列入国家 重点科技攻关项目。在"八五"期间,作为最早进行这 方面研究工作的北京机床研究所,对数控机床骨干企业 典型产品进行可靠性摸底,得到国外机床可靠性MTBF为 300~500h、国内机床可靠性MTBF为200~300h的结论, 并取得了一些理论和标准规范成果。如1990年组织制定了 "JB/GQ1153-1990 数控车床可靠性评定方法", 1992年 北京机床研究所蔡亲民对数控机床可靠性的重要性进行阐 述并研究了数控机床及其系统可靠性特征量[13], 1993年组 织制定了"JB/T6610-1993金属切削机床可靠性评定方 法"等标准。

"九五"、"十五"期间,我国先后组织北京机床研

究所(国家机床质量监督检验中心)、吉林大学、沈阳机 床厂、大连机床厂等多家单位进行数控机床可靠性基础研 究和联合攻关,取得了一定的成果,摸索出了可靠性研究 的方式方法,积累了实践经验。例如,北京机床研究所完 成了"九五"科技攻关项目"数控机床及数控系统相关质 量控制规范和可靠性增长技术的研究"(1997年~2000 年), "十五"科技攻关项目"数控机床可靠性评定规 范"(2001年~2003年)。除此之外,2004年由国家 机床质量监督检验中心牵头执行了863计划课题"数控机 床、数控系统可靠性测试技术平台的研究和开发"(2004 年~2005年),通过测评,数控机床可靠性MTBF由 200~300h提高到500~600h, 进一步提高了机床可靠 性。

"十一五" 计划中的2009年, 国家确立"高档数控机 床与基础制造装备"科技重大专项(简称04专项),并在 此期间部署13个关于数控机床可靠性课题。其中,2009年 安排6项有关主机可靠性技术研究课题,内容包括可靠性 设计、可靠性试验、可靠性管理体系和可靠性评测技术, 以及数控机床全寿命周期可靠性研究, 涉及到数控机床可 靠性的设计、试验、管理和指标考核等; 2010年安排4项 关键功能部件、1项数控系统和2项数控机床整机可靠性研 究课题,重点解决功能部件和数控系统可靠性问题,以及 数控机床整机考核方法研究。专项支持的大部分主机可靠 性MTBF达到900h以上,相对提高50%以上。尤其是在人 才培养和机构建设方面,有了长足的进步,建立了专业的 数控机床可靠性技术创新团队, 科研院所和大学等逐渐成 为主力军, 其中以国家机床质量监督检验中心(北京机床 研究所)、吉林大学、重庆大学、东北大学等为主,使机 床可靠性研发成为高等院校机械工程领域的"显学",在 一定程度上带动了相关学科的发展。这也表明, 我国开始 具备开发数控机床全生命周期可靠性各项实用技术的能力 与基础,也具备研发模拟实际工况的关键功能部件可靠性 试验系统的能力。

"十二五"时期,04专项继续得以展开,部署了6个 关于数控机床可靠性课题。其中2011年布置1项有关数控 高速冲压设备可靠性增长技术研究课题; 2012年布置1项 有关刀具可靠性设计制造的研究课题;2013年,针对数 控车床、加工中心和数控磨床,布置3项"千台数控机床 可靠性提升工程"的可靠性技术应用研究课题; 2014年 布置1项有关重型数控机床可靠性试验与评价技术研究的 课题。研发的中高档数控机床和数控车床等新产品可靠性 MTBF分别超过1500h和1700h, 改进和研发的高速电主 轴、数控转塔刀架和刀库机械手等关键功能部件的可靠性 MTBF均提高50%以上。与以往不同的是,研发形式以企 业牵头,强调产、学、研、用相结合,确保前期研究的可 靠性技术和成果落实到企业产品中。

"十三五"期间继续延续04专项研究与应用,2016 年布置3项研究课题,分别是"数控机床可靠性快速试验 技术"、"机床制造过程可靠性保障技术"和"国产高档 数控系统可靠性第三方测试及可靠性增长研究"; 2019 年布置1项研究课题"数控齿轮机床可靠性试验与评价技 术"。研究单位主要有国家机床质量监督检验中心、清华 大学、重庆大学、北京航空航天大学和吉林大学。同时以 10大标志性成果实际应用为主线,以高精高效五轴加工 中心、超重型数控机床、大型压力机等为代表的创新成 果逐步进入重要用户行业。高档数控机床可靠性MTBF实 现从500h到1600h增长, 部分达到2000h, 精度整体提高 20%

从经费安排看,如图7所示,04专项中机床可靠性方 面共支持23个项目,投入经费34713.95万元,其中专项经 费24683.95万元,可以看出国家对此所给予的支持力度。

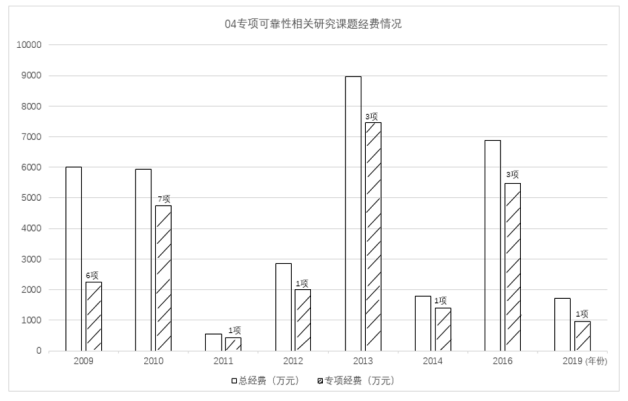


图7 04专项中跨年经费支持情况

04专项取得的成果显著,其中国家机床质量监督检验 中心建立了高端数控机床可靠性试验检测基地(如图8所 示), 搭建了数控机床可靠性快速试验测评系统(如图9 所示),面向主轴、丝杠、导轨、刀库等关键部件分别建 立了可靠性试验平台(如图10所示),为进一步开展机床 可靠性研究工作打下了良好的软硬件基础。



图8 高端数控机床可靠性试验检测基地



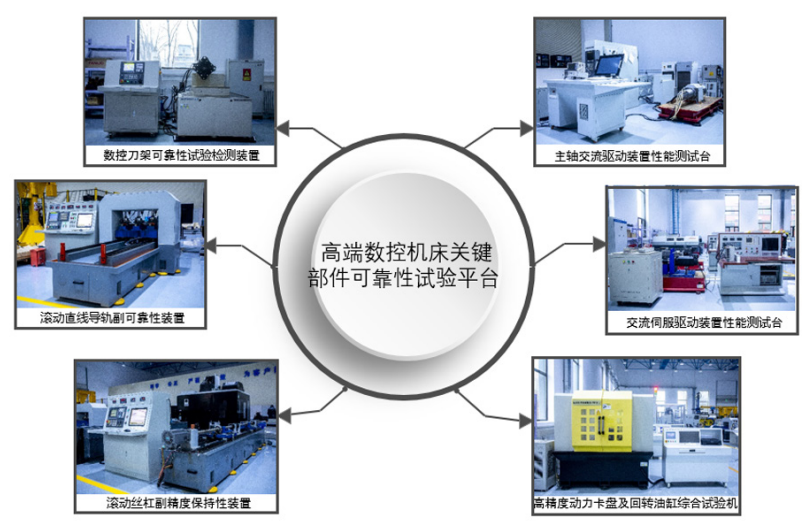


图10 高端数控机床关键部件可靠性试验平台

总之,04专项机床可靠性方面的研究体现出了我国研发制度与体系的特 点,反映出"集中力量办大事"的优势,取得的成果也较为集中,包括数控机 床可靠性试验技术研究与应用、数控机床制造保障技术研究与应用、国产高档 数控系统可靠性第三方测试及可靠性增长研究等,为我国今后机床行业的发展 与研究探索出了一种基本模式。这种发展方式也逐渐为其他国家所重视,例如 俄罗斯机床工业发展五年计划(2010年~2015年)就是参考了我国的科技研发 模式。

四、可靠性试验为国产机床保驾护航

1. 成果显著,前景可期

从以上两节可以看到,各个国家机床行业发展,无不以可靠性研究和可靠 性试验为基本内容,而且可靠性研究的重视程度直接决定了本国机床发展的趋 势与质量。此外,不同国家有着不同的国情,在机床发展的不同阶段都需要制 定相应的政策加以指导。其中,尤其 值得借鉴的是德国的"以我为主"、 美国的"理论研究"、日本的"先仿 后创"等主要形式。

经过多年努力,我国机床可靠性 研究利用标准化方法,使可靠性、维 修性与保障性 (RMS) 成功应用于 机床制造,初步建立了较为完整的机 床可靠性标准体系,对我国提高机床 效能、寿命起到了重要作用。同时, 通过国家大力的政策扶持, 使国产机 床质量得到了很大提升。

- (1)建立了一支专业化、集成 化的可靠性研发人才队伍与团队, 使 机床可靠性研究成为机械工程领域研 究的一个热点: 而且机床企业从领导 到员工的产品可靠性意识普遍增强, 培养了一批初具可靠性知识的技术和 管理人才。
- (2)积累了一批数控机床的可 靠性与维修性数据, 这是未来可靠性 研发的重要基础; 摸索并确立了数控 机床可靠性技术研究与工程应用技术 路线, 为今后的相关技术应用订立了 范例。
- (3) 开发了多项数控机床可靠 性设计、可靠性试验和可靠性制造技 术, 搭建了多种用于功能部件、数控 系统可靠性试验的系统, 摸清了一些 规律。
- (4)研制了较为完整的数控机 床可靠性技术规范和企业标准, 使机 床企业在今后的生产制造中"有法可

以上研究成果为今后机床行业发 展打下了良好技术基础。而且, 当前 国内经济处于上升期, 无论机床需 求、资金供给,还是政策环境都处于 最佳阶段,未来前景光明,也是机床 技术人员大展宏图的时刻。

2. 审慎乐观,政策支持

目前,我们虽然具备了一定的物 质基础和技术条件,但是仍然要从国

20 | WMEM · 2022年第3期

外机床可靠性发展中认清经验教训, 为下一步工作布局谋篇。

(1)确定清晰发展思路,保证政策稳定

借鉴德国注重长期目标,将突出可靠性研究作为机床发展的重中之重,而不能瞻之在前忽焉在后。同时,从国内过去的机床发展历程看,国内机床可靠性研究很大程度上在走美国20世纪80年代的老路,即重视理论和试验体系的构建而忽略可靠性技术实用性,而这恰恰是美国落后日本的主要原因。所以,要在可靠性理论研究基础上,更加注重其实用性,而且要贯彻到底。

另外,国产高端机床部分指标仍 然低于国外的高端产品,这与我国产 业政策追求循序渐进有关,后期仍然 需要在前面取得的成果基础上延续发 展,制定支持政策和指标,达到研发 的长期性和可持续性。

(2)注重理论方法创新,寻求 赛道超车

国内机床可靠性试验研究一直在 追随国外的研究思路和方法,追求 "被动事后改进",可靠性理论表面 看成果很多,实际上并没有质的突 破,只是在算法效率等方面有所超 越,没有如日本那种创新引领,因此 亟待构建全新的可靠性理论体系。

随着科技发展,对数控机床可靠性的研究必将转向"主动试验暴露",这实际上为我国机床发展提供了良好契机。如何实现赛道超车,必须抓住当前新兴技术的应用,如大数据、数字孪生、智能硬件、通讯技术等,在研发手段上跳出当前技术范畴,以全新的视角看待机床,才能建立新的研发体系和试验方法、标准与规范。

(3)强调成果落在实处,坚持跟踪统计

04专项中强调机床可靠性研究

要与企业应用相结合,但是部分研究成果还是多以论文、专利和标准等形式呈现。而且由于高校和研究院所等本身与企业的联系不紧密,在管理体系上的成果和建议在企业中往往容易被忽视,甚至被当成影响企业生产的障碍。另外,从学习德国和日本先进经验而言,其重视售后故障数据统计的严密性与严谨性没有在04专项中得到充分体现。这主要是因为我们的研发项目执行时间短,结束后相关研究也随之停止,所研发的机床甚至于还没有成为商品,更不用说后面的使用跟踪评价。此外,类似西欧等国建立的遍布欧洲的可靠性数据库交换协作网以及美国的规模数据采集网络,国内一直没有建立起来。

对于这些现象,建议在制定产业政策时以结果评价为导向,保证即便研发项目结束,也要在后续制定扶持政策和投入资金进行长期跟踪统计分析,监督和鼓励企业将可靠性试验研究作为一项长期日常工作,在管理保障体系、人员岗位设置、基础研究与实际结合方面继续下大功夫、苦功夫、长功夫,让可靠性增长真正落到实处。

(4)强化部件研究地位,推动联合攻关

04专项在数控机床、数控系统以及关键功能部件等可靠性研究方面均给予了支持,如前所述也取得了很多成果,但感觉相互间缺乏有效的传递和链接,致使在应用过程中存在一定脱节,这或许是造成可靠性研究成果没有得到最终落实的原因之一。零部件是构成机床的基础,其可靠性对整机可靠性的提升有着至关重要的作用。因此我们需要学习日本和德国,注重部件可靠性研究地位,提高整机和零部件生产制造企业在可靠性项目研发中的关联性,保障可靠性研究的有效性,支撑机床产业持续健康发展。

国产机床发展任重而道远,从现在至将来,要提高我国机床市场竞争力,需要抓住机床可靠性是机床发展核心这一本质,重视目前研究中出现的一些问题,着力研究理论、方法及可靠性试验方面的创新,大力提高机床核心指标及其竞争力,为我国的机床发展保驾护航。□

参考文献

[1]GB/T3187-94.中华人民共和国国家标准可靠性维修性术语[S].北京:中国标准出版社,1994.

[2]张维竞.舰船动力装置故障诊断与可靠性[M].上海:上海交通大学出版社 2013

[3]中国电子技术标准化研究所.可靠性试验用表[M].北京: 国防工业出版社.1987.

[4] (苏) A.C.普罗尼科夫.数控机床的精度与可靠性[M].北京: 机械工业出版社.1987.

[5](苏)B.B.科希洛夫.装配工艺学原理与自动装配设备[M].北京:中国农业机械出版社.1983.

[6]刘俊荣,陈卫卫,李星.基于Duane曲线的可靠性增长模型[J].环境技术,2017,35(03):43-47.

[7]刘展.加速寿命试验的统计分析与优化设计[M].北京: 经济管理出版社.2019.

[8]吴和成,胡琳.基于AMSAA模型的成型产品可靠性综合评估方法研究[J].装备环境工程,2019,16(05):106-110.

[9](美)哈里·W.迈克莱.加速可靠性技术(第2版)[M].北京: 航空工业出版社.2014.

[10]田正.日本中小企业非研发创新政策支持体系研究——以"机振法"产业政策体系为例[J].现代日本经济.2021(05):54-67.

[11](日)盆见弘,岛冈淳,石山敬幸.故障模式和影响分析与故障树分析的应用[M].北京:机械工业出版社.1987.

[12] (英) J·莫布雷 (John Moubray).以可靠性为中心的维修[M].北京: 机械工业出版社.1995.

[13]蔡亲民.试论数控机床及数控系统可靠性的特征量[J];机床.1992(07): 49~54.

机床核心功能部件的自主研发与创新发展

通用技术集团大连机床有限责任公司 周吉贞

数控机床核心功能部件是工业母机的重要组成部分, 其中电主轴、滚动功能部件(滚珠丝杠副、直线导轨 副)、复合铣头、刀库、刀塔等核心部件直接影响着主机 的技术水平和发展速度,掌握机床核心功能部件的自主研 发与创新,就是掌握了工业母机的研制"秘籍"。做强核 心功能部件是我国数控机床和装备制造发展进程中的重要 环节和必经阶段。

一、数控机床与功能部件的现状阐述

数控机床被称为工业母机。发展高档数控机床,既是工业和信息化领域供给侧结构性改革、加快推进制造强国建设的客观需要,也是实现军民融合深度发展战略、确保国家安全的紧迫要求。数控机床行业技术水平和产品质量是衡量一个国家装备制造业发展水平的重要标志,而数控机床核心功能部件技术水平高低、性能优劣以及配套水平,直接影响数控机床的技术水平和性能,也制约着数控机床的发展速度。因此提高我国的数控机床的发展水平成为目前最需要解决的问题,而核心功能部件的自主研发与创新成为目前机床发展的当务之急。

数控机床是实现国家制造业和国防工业发展的必备工 具之一,但是目前国内的机床水平总体略低于国外的发展 水平,高端数控机床仍需要进口,而数控机床功能部件的 发展是制约数控机床发展的主要因素之一。从全球水平 看,我国是数控机床功能部件制造厂商较多的大国,但不 是强国,存在品种单一、价值偏低、分布不合理、产业化 程度低、技术水平不高、总产量和总产值不高的问题。

从产品的指标水平上看,我国的数控机床核心功能部件的运动稳定性、产品可靠性等综合方面的性能与发达国家同规格的知名品牌存在一定差距,但在发展中国家之上。近年来,国内重点企业部分核心功能部件产品技术指

标达到或接近国外先进水平。

从产业链看,制约我国高端数控机床发展的最大短板就是关键功能部件高度依赖进口,依赖度达80%以上。其中功能部件是实现机床的重要组成部分,直接影响零件加工精度、质量和效率。由于国内生产企业的规模不健全,适应性和满足度达不到市场需求,缺乏关键功能部件的核心技术,尤其是高档数控机床的功能部件产品需求,已成为制约工业母机发展的瓶颈。

二、机床关键功能部件产品介绍

1. 电主轴、铣头类产品

主轴对于超精密机床来说就是机床的 "心脏",对于精密机床在生产加工中起到了十分重要的作用。通用技术大连机床主轴系列产品涵盖公司全机型主机产品的配套,产品类型有:皮带传动主轴,齿轮传动主轴,直联主轴及电主轴,产品规格数量达100余种,主轴锥孔跳动精度 ≤2μm,精度覆盖率达95%以上,有3种规格电主轴产品主要技术指标达到国际先进水平。2021年通用技术集团大连机床有限责任公司研制出"智能化高速高精密电主轴产品"和"直驱式A/C数控双摆角万能铣头"两种核心功能部件产品。同时,通用技术大连机床是国内首批可以自己生产制造高速主轴HSK接口的生产单位。

(1)智能化高速高精密电主轴

智能化高速高精密电主轴产品突破了高速轴承润滑技术、冷却系统技术、自动预紧技术、振动监测技术、制造及装配技术、高速动平衡技术、可靠性技术等多项技术难题,成功研制出最高转速可达30000r/min、额定功率为120kW及主轴跳动精度<1 μ m的电主轴产品,能够与国际知名品牌GMN、KESSLER的电主轴产品技术指标进行

22 | WMEM · 2022年第3期

对标,其主要技术指标达到国际先进水平。此款产品可用 于五轴头、精密加工中心等高端设备上,尤其在加工大型 铝制航空航天结构件的应用上,能够实现高材料去除率、 高进给率和高响应性。

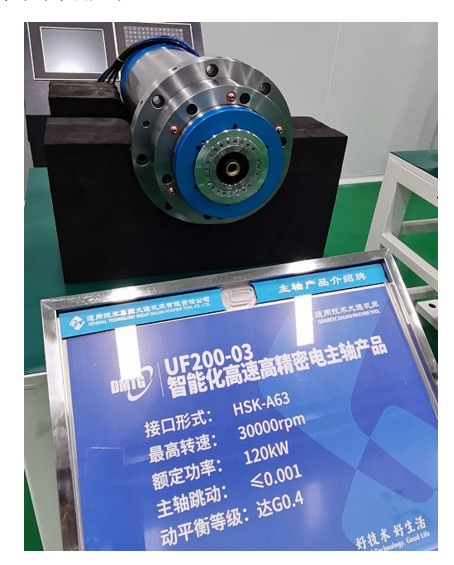


图1 UF200系列高速电主轴产品

(2) 直驱式A/C数控双摆角万能铣头

直驱式A/C数控双摆角万能铣头产品攻克了夹紧重 复定位精度技术、双摆直驱技术、动态精度补偿技术、 制造及装配技术、高速动平衡技术、可靠性技术等技术 困难,成功研制出最大扭矩可达2000N·m、C轴摆角 范围 ± 360°、C轴定位精度0.0005°、A轴摆角范围 ±110°、A轴定位精度0.0012°的铣头产品。此款铣头 可应用于龙门类加工中心、翻版铣加工中心等高端五轴类 数控机床。此产品具备大扭矩,精度高的特点,能够与国 际知名品牌GMN、cytec进行对标,其主要技术指标达到 了国际先进水平。



图2 QM350系列"直驱式A/C数控双摆角万能铣头"产品

2.滚动功能部件产品(滚珠丝杠副、直线导轨副)

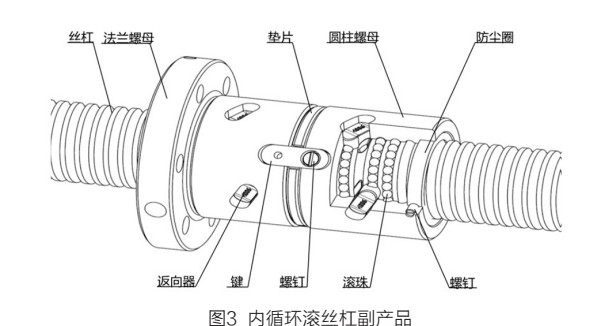
历经15年之久,通用技术大连机床滚珠丝杠副和直线 导轨副产品, 现已形成系列化产品型谱, 拥有各种品类产 品技术储备、产品加工量产能力,同时以高速、高精、高 加速度为产品研发方向,重点配套机床行业。

滚珠丝杠副产品多达29种型号,精度等级可达P2级。 常规批量生产传统内循环滚珠丝杠副、传统插管式外循 环滚珠丝杠副、自主研发内循环滚珠丝杠副,直径从25~ 63mm, 导程4~20mm, DN值可达8万; 三维插管式外循 环滚珠丝杠副,直径从25~63mm,导程8~20mm,DN值 可达16万; 大导程端面循环滚珠丝杠副打破了日本、中国 台湾等丝杠厂对国内同类市场的垄断,该型号丝杠主要用 于自动化行业。

该产品性能上对标国际先进企业日本THK、NSK 滚珠丝杠副产品, 精度等级 (max) 1级, DN值可达 130000, 最高转速4500r/min。

(1)滚珠丝杠副产品

(a) GD系列内循环滚珠丝杠副产品。产品的主要技 术参数:公称直径20~80mm,导程4~20mm,精度等级 批量P2级, 部分达到P1级, DN值可达80000, 最高转速 2000r/min, 噪音≤76dB, 单根最大长度4m。



(b) CDM系列二维导管式循环滚珠丝杠副产品。 产品的主要技术参数:公称直径32~63mm,导程4~

20mm, 精度等级批量P2级, 部分达到P1级, DN值可达 100000, 最高转速2500r/min, 噪音≤76dB, 单根最大 长度4m。

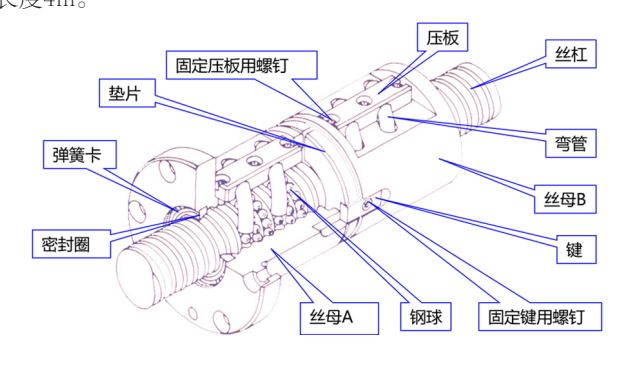
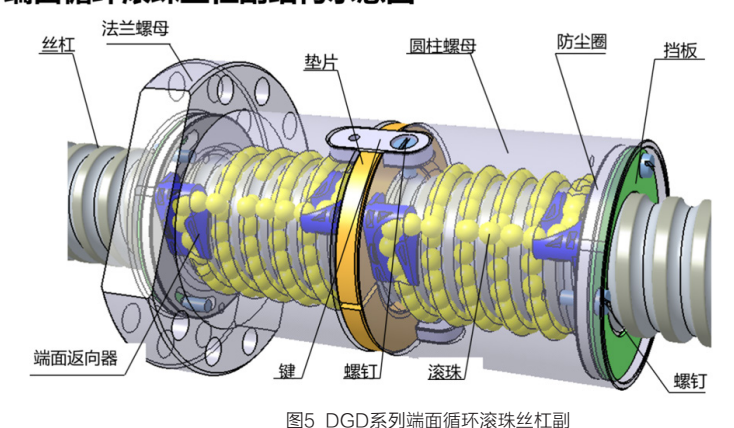


图4 二维导珠管式外循环滚丝杠副产品

(c) DGD系列端面循环滚珠丝杠副产品。产品完成系 列化开发后,主要技术参数:公称直径:25~50mm,导 程8~20mm,精度等级批量P2级,部分达到P1级,DN值 可达120000, 最高转速3500r/min, 噪音≤76db, 单根最 大长度4m。

端面循环滚珠丝杠副结构示意图



(d) 三维导珠管式外循环滚珠丝杠副。产品完成系列 化开发后,主要技术参数:公称直径:32~50mm,导程 10~20mm, 精度等级批量P2级, 部分达到P1级, Dn值可 达140000, 最高转速3500r/min, 噪音≤76db, 单根最大 长度4m。

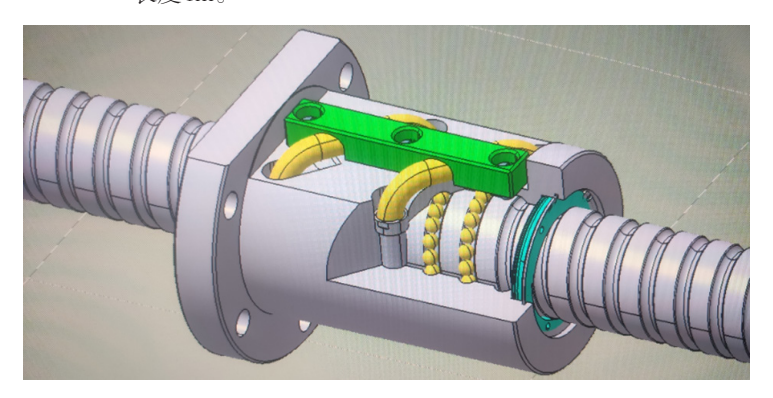


图6 三维导珠管式外循环滚珠丝杠副

(2)直线导轨副产品

滚动直线导轨副产品多达21种型号,规格涵盖15、 20、25、30、35、45、55、65等,精度等级可达P2级, 最大加速度2 m/s²。其中LR系列滚柱重载直线导轨副规 格涵盖了LR35、45、55、65、85等, 主要应用于要求高 速度、高精度、高刚性、高载荷的高端数控机床及重型机 械。其产品特点:

(a) 采用四方向等载荷、"O"形立交桥式45°接 触,实现上下左右均具有高刚性、大载荷、大扭矩。

- (b) 履带式保持链静音结构,实现高速、重载、静 音。
 - (c) 双密封结构,实现密封、减震双重功能。
 - (d)人性化接口,实现多润滑通道设置。
 - (e) LRZ自润滑组件,实现永久润滑、绿色环保。
 - (f) 单根制造长度: 6000mm。

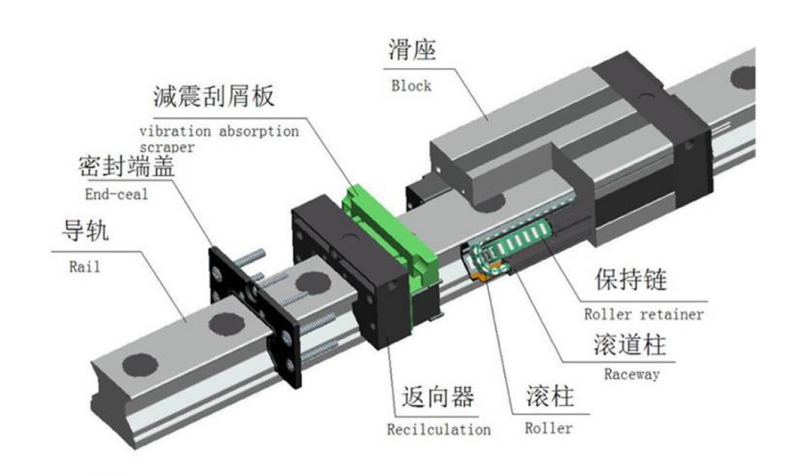


图7 LR系列滚柱直线导轨副产品

三、中国数控机床行业发展前景及趋 势预测

根据"十四五"规划,我国将继续推动制造业优化升 级,培育先进制造业集群,推动高端数控机床等产业创新 发展;发展壮大战略性新兴产业,培育先导性和支柱性产 业,推动战略性新兴产业融合化、集群化、生态化发展, 战略性新兴产业增加值占GDP的目标比重超过17%。

当前我国正处于由制造大国向制造强国转型的重要阶 段, 在新一轮的产业升级中, 高端制造业会逐步取代简单 制造业,制造业也将从劳动密集型产业逐渐转变为技术密 集型产业。随着中国制造业加速转型,精密模具、新能 源、航空航天、轨道交通、3D打印、生物医药等新兴产 业迅速崛起, 其生产制造过程高度依赖数控机床等智能制 造装备,这将成为数控机床行业新的增长点。预计到2026 年,中国数控机床市场规模将突破5000亿元。

我国数控机床将向智能化、网络化、柔性化方向发 展。根据我国政策规划和数控机床行业的发展情况,未 来我国数控机床的发展趋势和特点将呈现为:高档数控 机床需求旺盛、成套设备越加普遍、国产品牌持续崛起 等。综合来看,我国数控机床市场空间较大,未来发展 潜力可观。

高档数控机床需求旺盛

中国机床市场将向自动化成套、客户 定制化和普遍的换挡升级方向发展, 产品由普通机床向数控机床、由低档 数控机床向中高档数控机床升级。

向智能化、网络化、柔性化方向深入

工业4.0要求通过智慧工厂、智能自 动化生产线、物联网等工具,实现生 产和流通领域的智能化、进而为消费 者提供高度个性化的产品。



多轴联动数控机床是未来发展趋势

以五轴联动加工中心为代表的高档数 控机床在加工方面有着适用范围广 加工质量精、工作效率高等特点,符 合未来机床的发展趋势。

国产品牌持续崛起

国内数控机床企业借助我国制造业转 型、中高档数控机床需求上升、进口 替代空间巨大等有利市场条件, 市场 份额持续提升。

"数控机床+工业机器人"等成套设备越加普遍

无人化车间将以"数控机床+工业机器人"成套 设备出现,解决劳动力生产成本急剧上升的痛点。 "数控机床+工业机器人"等成套设备的普及将 成为未来行业发展的重要特点。

图8 数控机床行业发展趋势

四、数控机床功能部件产业的发展 趋势

高精密主轴和滚动功能部件是数控机床的重要部分, 对数控机床产品质量和水平起着至关重要的作用。

在过去的几十年中,国内各企业都在致力于数控机床高 精密主轴和滚动功能部件的发展,但由于各种原因及西方国 家的技术封锁,国产滚动部件水平基本保持在P2级以下水 平,大部分产品在P3~P5级,难以满足中高端机床需求。 此外,由于基础材料科学、加工工艺、结构设计上的差距, 使国产功能部件(电主轴、丝杠、导轨、转台)的品种、数 量、档次都不能满足主机配套要求,中档功能部件市场占有 率不足50%,高档产品90%以上依靠过口,高档零部件和功 能部件基本被德国、日本、瑞士、美国等国外企业控制。再 有,由于中国机床行业的开放性和竞争性,导致国产机床自主 化虽有进步,但由于技术研发投入少,与国际先进水平差距进 一步拉大,有专家估计这一差距在20年左右。

《机床工具行业"十四五"发展规划纲要》明确提 出:中高端机床工具产品方面要实现产业基础高级化和产 业链现代化,产业布局均衡合理;国产数控机床、功能部 件、切削刀具、数控系统等基本具备支撑和满足国内经济 发展需求的能力:关键机床工具产品接近或达到国际先进 技术水平,国产中高端产品在市场上的比重稳步提升;培 育出一批拥有自主知识产权和具有国际竞争力的品牌企业 和产品。关键功能部件行业应对标中高端需求,研制一批 中高端数控机床,自动化、智能化的制造单元、生产线、 制造车间和工厂; 自主提供中高端数控机床产品所需的主 要关键核心功能部件。

因此,必须加快推进中高端数控机床功能部件自主研 发和创新,助力机床产业高质量健康发展。□

资讯

汇专超声绿色机床及部件已销往全球70个国家和地区

日前,50台汇专超声绿色钻攻中心T-500如期发往越 南。据悉, 汇专超声绿色系列产品已销往瑞士、意大利、 韩国、越南、印度、保加利亚、斯洛文尼亚等全球六大洲 70个国家和地区。

近年来, 汇专践行绿色发展理念, 率先将超声加工技

术和绿色加工技术有机融合,突破硬脆性材料、难切 削金属材料和复合材料加工难题,形成具有自主知识 产权的超声绿色数控机床产品体系,在消费电子、航 空航天、半导体、汽车、医疗和通用精密制造等领域 广泛使用。

机床共性技术的现状及发展趋势

沈阳机床(集团)有限责任公司 张扬

制造业是国民经济主体,是立国之本、兴国之器、强国之基。2013年在汉诺威工业博览会上,德国正式推出"工业4.0"战略计划,核心目的是提高德国工业竞争力,在新一轮工业革命中占领先机。随后,我国在2015年5月印发了全面推进实施制造强国的战略文件——《中国制造2025》,推进信息化与工业化深度融合,强化工业基础能力,成为我国实施制造强国战略第一个十年的行动纲领。2021年,我国又发布了"十四五"智能制造发展规划,对制造行业发展提出更高的要求,即实现数字化、智能化。高端数控机床作为工业母机,是构成制造业价值生成的基础,处于工业现代化产业链的核心环节,对提高生产力、推动生产方式变革具有重要作用。

一、现状及差距

当前,我国正处于制造大国向制造强国升级转变的关键时期,国内市场对于中高档数控机床需求比率逐年增高。据统计,2021年国内数控机床产量达60.2万台,数控化率达44.9%,而2011年该比率仅为29.5%,一定程度上反映了国内用户对机床装备性能指标要求的不断提高。与此同时,在中高端领域,相比国际领先水平,国产机床仍存在一定技术差距,成为制约国产机床高质量发展短板。主要体现在以下三方面:

1. 正向研发能力较弱

目前国产数控机床研发模式相对落后,基本处于跟随 式研发阶段。企业层面产品设计依赖研发人员经验和主观 判断,正向设计能力不足。对制约机床性能的系统性问题 (如进给轴刚度及动态性能、整机热稳定性、残余应力对 机床精度影响及抑制措施等)缺少理论定量分析,也就难 以提出优化改进方案。

2. 机床精度保持较差

精度保持性是衡量机床性能的关键指标,反映了机床在正常使用周期内的服役性能。在这方面国产机床与德国、日本先进水平存在显著差距。以德国WALDRICHCOBURG公司龙门加工中心产品为例,其使用10年后精度保持率可达到95%,而目前国产设备使用10年期精度保持率还难以达到85%。影响机床精度保持性的主要因素是机床结构件铸造(焊接)、加工以及装配过程中产生的残余应力,这些应力在长期均化释放过程中使整机发生不规则变形,最终影响机床精度。

3. 设备智能化程度较低

近年来,国际顶尖机床制造商在数控系统智能化方面做了大量工作。以日本OKUMA机床为例,其自研OSP数控系统中就集成了多项智能控制技术,包括: Thermo Friendly Concept、Collision Avoidance System、Machining NAVI、5-Axis Tuning、SERVONAVI等,构建起了OKUMA机床产品的智能控制体系。国产机床在高端数控系统方面依赖进口,功能局限于系统制造提供的标准功能模块,停留在自动化阶段,与智能化差距较大。

以上短板体现了国产数控机床领域在共性技术研究以 及技术成果转化应用方面的不足。因此,要以共性技术研 究作为切入点,鼓励研究成果工程化应用,实现企业技术 创新。

26 WMEM · 2022年第3期 www.cmtba.org.cn

二、基础技术攻关

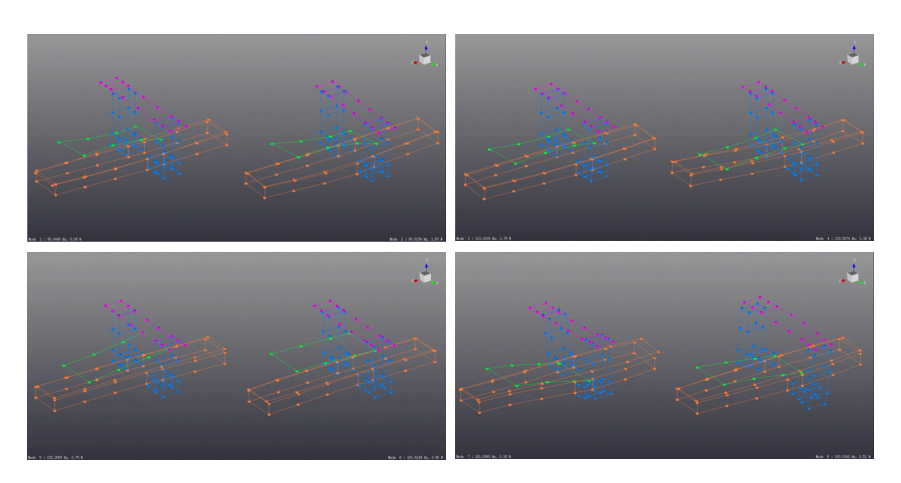
高校及科研院所的优势体现在理论研究层面,企业具备应用验证及成果转 化条件, 而用户是机床使用效果的最终评价方。通过产学研用深度融合, 优势 互补、针对以下基础共性问题开展深入攻关,并形成"研究一应用一验证一改 进"闭环,提升国产数控机床技术水平。

1. 机床空间误差分离及误差源灵敏度分析

空间定位精度作为机床各类误差的综合作用结果,常用于高精度数控加工 设备的误差评定。仅就几何误差而言, 伺服轴直线度、平行度、垂直度、角度 偏差、定位及重复定位精度,对于空间定位误差都具有重要影响。然而,目前 各种误差对空间精度影响的贡献度缺少定量的评判依据,导致精密机床生产过 程中, 我们不知道应重点关注哪(几)项几何精度, 才能达到预期的空间精度 指标。因此,有必要进行误差分离及误差源灵敏度分析相关研究。通过建立不 同构型机床的误差传递模型,获得空间定位误差与空间位置的多元函数,引入 误差随机变量,采用Monte Carlo方法进行灵敏度测试,并结合实际测试数据验 证误差分析模型,通过迭代修正得到与实际情况相吻合的灵敏度分析模型,进 而指导实际生产。

2. 机床振动特性分析及振动抑制

数控机床在工作过程中会受到来自内部和外部的交变载荷(即激振力), 使机床产生受迫振动。当激振力的频率与机床固有频率接近时, 机床将发生 "共振"现象,严重影响工件加工质量。对于高精度、高转速机床来说,其主 轴转速范围可能会跨越数个共振区。因此, 开展整机振动特性(固有频率及振 型)研究,并对振动抑制方法(例如填砂、灌注树脂、优化筋腔布局、接触质 量优化)开展研究具有深远意义。



机床实测固有频率及振型

3. 机床温度场及热变形模型的预测及验证

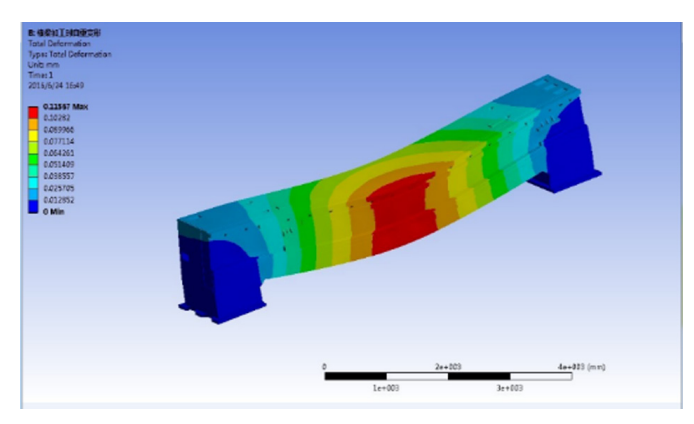
对于精密机床,结构热变形对机床误差的影响巨大,根据经验可达到总误 差的40%~70%。机床结构特征及热传导特性千差万别,导致机床热变形复杂, 计算及预测难度大。误差通常采用激光跟踪(干涉)仪、双球规、R-test测 量仪等装置测量,并结合温度传感器数据建立误差对温度及空间位置的多元函

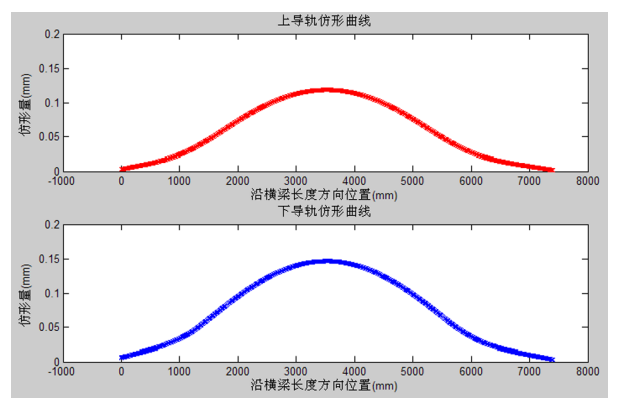
数,形成温度补偿模型。虽然测量结 果真实可靠, 但仪器测量数据分析提 取过程复杂,且缺乏通用性。借助有 限元分析技术及研究院测试条件,采 用热力耦合分析手段, 机床热变形状 况进行预测,并与实测数据对比分析 差异,并优化分析模型,可以为机床 在热源影响下产生复杂变形的理论研 究探讨提供可行性。

4. 以切削机理研究为基础的 机床结构优化

切削过程是加工设备与被加工零 件之间复杂的能力传递过程。受刀具 规格(几何尺寸、切削刃形式及数 量)、加工参数(主轴转速、进给速 度、加速度、切削深度)、机床布局 及刚性、零件材质等多方面因素影 响,实际切削过程的主轴扭矩和各轴 进给力(扭矩)是时刻变化的。尤其 是面向空间复杂曲面加工的五轴类机 床, 伺服轴频繁做加减速运动, 给主 轴扭矩和各轴驱动力带来了巨大的不 确定性。目前在伺服轴驱动计算过程 中,对于切削力的评估仍然停留在经 验公式或者估算层面。这种方法适用 于平稳切削过程(如匀速铣平面), 但是在五轴加工领域暴露出明显缺 陷。缺少对切削力的准确评估导致两 个极端:一是盲目提高驱动部件规格 导致浪费,一是对切削力估计不足导 致驱动能力不足,加工质量不达标。 因此,进一步提升机床加工性能必须 从源头出发,开展切削机理研究。通 过理论研究与实际测试相结合的方 式,采用显式动力学分析方法对复杂 切削过程中的切削力进行模拟计算并 与实际测量数据对比,完善切削模 型。解耦得到各伺服轴的(角)加速 度曲线,综合控制理论研究成果,对 机床单轴驱动方案、整机结构刚性, 以及伺服轴间匹配性进行评估并提出

改讲建议。





横梁悬垂变形分析及反变形加工

5. 新材料应用验证

用户需求的不断提高推动机床行业技术水平的不断进步,其中新材料在数控机床中的应用是热门发展方向。国内相关科研院所在新材料研究应用方面做了大量工作,但缺少产业化应用条件;机床企业对高性能(高刚性、低密度、低导热系数、低线胀系数)新材料的使用需求广阔,但缺少新材料来源。因此,打通供需通道,使新兴材料发挥最大效能,对于促进产业化应用,提升产品技术水平具有积极意义。而连接供需的桥梁应该由企业研究机构充当,一方面与科研院所对接,明确需求;另一方面进行新材料概念机试制验证,并推向生产端,实现产业化应用。

三、前沿技术突破

在高端机床领域,针对航空航天、船舶制造、国防军工等重点行业关键用户,开展客户化定制功能的研制开发,一方面更好地服务国家战略需求,另一方面以点带面发挥示范效应,进一步提升行业技术水平。涉及技术主要包括以下几项。

1. 大型精密机床空间误差实时补偿技术

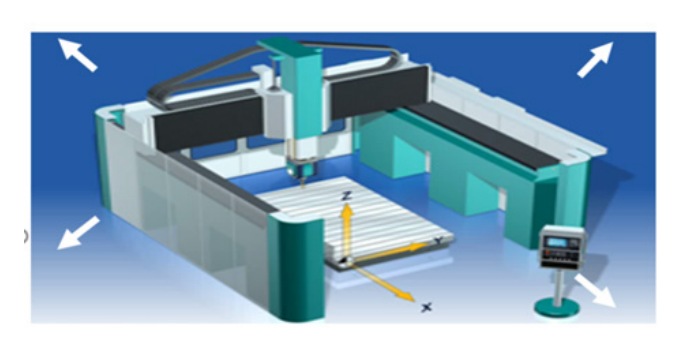
依据市场数据分析,国内重点领域关键用户对机床精度的考量,已从单一坐标精度(直线度、平行度、角度偏

差、定位及重复定位精度),向空间综合定位精度(例如空间定位误差≤0.01mm/m³)转变,为高精度数控机床应用提供了前提。提高机床精度的基本思路和方法包括误差防止和误差补偿。

误差防止即通过设计、加工、装配等途径消除或减小可能的误差。这种方法从误差产生的源头予以控制,是机床精度保证的基础。但随着机床功能部件集成化水平的不断提高,机械结构趋于简化,在此大背景下,通过提高机械精度(加工精度、装配质量)来压缩机床误差的解决方案已达到瓶颈,即使可能进一步提高精度,从经济性角度考量也是不现实的。误差补偿则是人为地制造出一种新的误差去补偿甚至抵消原始误差,以达到提高机床精度的目的。

与误差防止相比,误差补偿可以用相当小的"成本"获得误差防止法难以达到的精度水平,并且随着测试技术、数控技术的不断进步,误差补偿技术逐渐成为现代精密机械工程的重要技术支柱之一。其关键技术点包括:

(1)误差高效辨识技术研究。虽然空间误差测量及辨识在行业内已有较为成熟的方案,但对于大型机床,测量空间大,测量点位多,测量耗费的时间将相当长,严重影响设备使用率及生产效率,因此有必要提出行的空间误差测量方案,缩短误差测量及模型建立时间,提高设备利用率。



VCS File

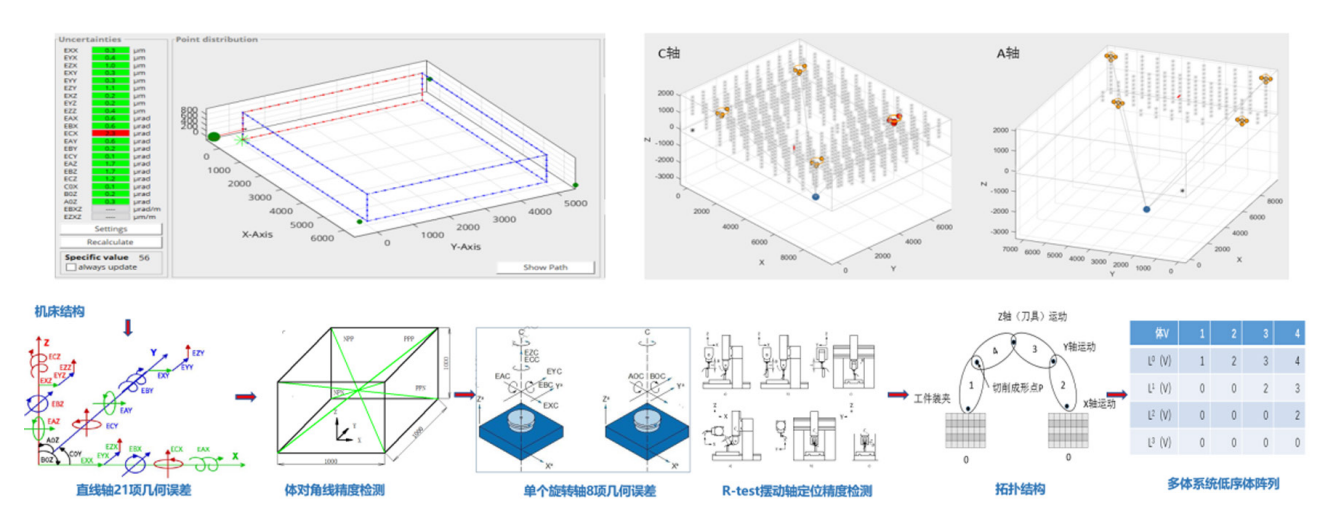
Dx1, Dy1, Dz1

Dx=(1-a)Dx1+aDx2
Dy=(1-a)Dy1+aDy2
Dx=(1-a)Dx1+aDx2
Dx. Dy, Dy
Dx
Dx, Dy, Dx

机床结构及热误差模型

(2) 几何误差与热误差综合补偿 模型。误差补偿模型建立是在误差元素 检测与辨识的基础上,依据误差综合数 学模型, 通过不同算法建立误差与自变 量之间的数学关系。一台典型的五轴机 床共有37个误差项。这些误差项通常是 几何误差与热误差综合作用的结果。行 业内主流空间误差补偿方案仅针对机床 处于标准温度或冷杰/常温条件下空间 几何误差辨识与补偿。对于变温状态下 (加工条件、使用周期、冷却条件及周 围环境变化)的空间误差补偿鲜有涉 及。而对于精密及超精密加工场合,热 误差引起的影响甚至达到机床总误差的 40%~70%,影响十分巨大。空间误差 补偿系统甚至需要根据机床周围环境的

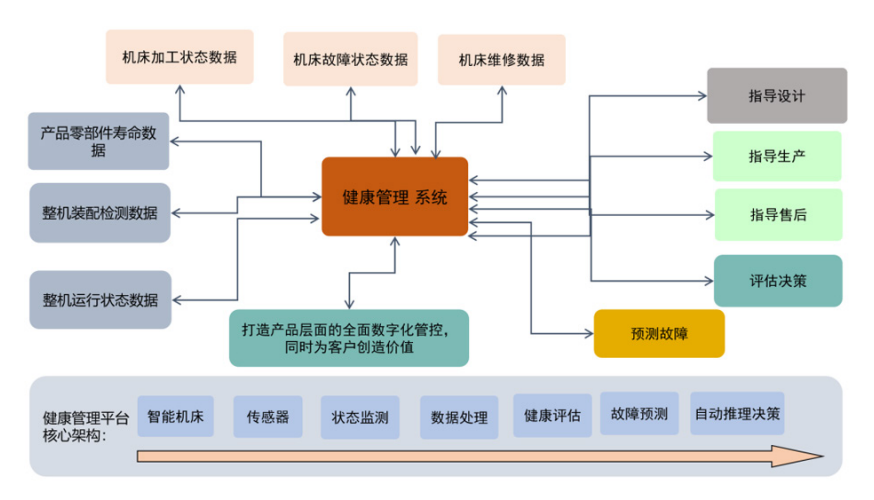
温度及湿度变化为机床建立数套误差补 偿方案,模型泛化能力较差。因此有必 要深入研究复合误差(几何误差与热误 差)补偿模型建立的技术方案并予以验 证。检测机床在各种温度条件下空间误 差, 再将几何误差与热误差分离, 并各 自建模, 最后合成形成更为完备的误差 补偿模型。



空间误差补偿技术研究

2.机床故障预测与健康管理

故障预测与健康管理 (Prognostics and Health Management, PHM)是一 种集状态监测、健康评估、故障识别、故障预测为一体的健康管理技术,利用 传感器采集获取系统的状态信息用于设备的智能维护与管理。通过对状态信息 健康状态评估,采用故障预测模型实现对设备未来发展趋势的预测,从而确定 准确的设备维修位置和恰当的维修时间节点。



健康管理平台核心架构

机床的故障预测与健康管理主要基于可靠性理论技术,依托产业优势,进 行全生命周期的可靠性技术研究。通过搭建故障预测与健康管理系统平台。利

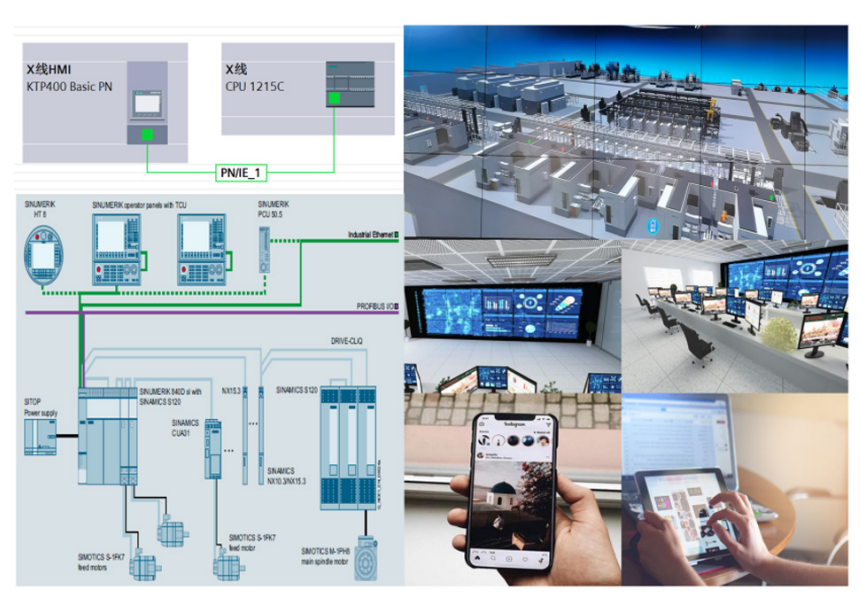
用各种传感器探测、采集机床的加工 状态、故障状态、维修以及产品零部 件寿命、整机装配检测、整机运行状 态等相关参数信息,将收集的数据进 行有效信息转换以及信息传输,作为 系统输入,通过健康管理系统实现指 导设计、指导生产、指导售后、评估 决策,以及故障预测诊断及防治。健 康管理平台的核心就是通过传感装置 对机床的各个状态进行监测,采集、 处理数据,进行健康评估、故障预 测,达到自动推理决策,最终实现机 床的自主感知、自主学习、自主优化 与决策、自主控制与执行,即新一代 智能机床。

3.数字孪生技术

数字孪生是物理产品的高集成度 的数字化虚拟模型,能够反映实体功 能、实时状态、演变趋势等。现如 今,数字孪生技术逐步应用于智能制 造系统中,与物联网信息采集、大

数据处理、CPS等新一代信息系统结合,实现对产品历史数据分析、当前状 态评估及未来趋势预测等。利用数据采集系统、信息技术和网络技术构建与物 理实体相对应的数字孪生体,通过"状态传感、实时分析、科学决策和精确执 行"的闭环促进智能制造。

数字孪生技术还可以应用在零部件加工过程中。通过对零件加工过程中,零 件几何数据、物理数据和过程数据的采集,将信息进行细粒度分类,并获取数 据内部之间的关系;将工艺过程进行拟合知识模型,形成反应产品制造过程的 基于知识的数字孪生模型;研究出数字孪生拟态建模方法构建数字孪生模型, 可以反应加工过程中的实时状态。



基于数字孪生技术的智能化车间

所构建的数字孪生体可以既是 机床单机,也可以是整个车间。通 过物理实体与数字孪生体之间的实 时交互,完成机床本身的故障预测 及运维、加工过程中的协同作业, 以及整个车间的生产运行规划和监 控,帮助实现更精准、更好、更高 效的管理。

五、结语

当前,我国数控机床产业与国际 先进水平相比仍存在一定的差距。与 此同时, 地缘政治所引发的科技战、 贸易战, 让我们深刻意识到核心科技 必须掌握在自己手中的重要性。作为 国家工业的基石, 机床制造业技术水 平的提升任重道远又迫在眉睫。我们 应当认清差距奋起直追, 从共性基础 技术入手, 厘清理论问题, 做到"知 其然, 更知其所以然", 掌握高档数 控机床关键核心技术,并不断探索研 究,形成企业专有技术,最终占领科 技发展制高点。□

资讯

中国机床工具工业协会倡议书

各分会、各会员企业:

2022年我国高校毕业生达1076万,首次突破千万,当 前正是大学生毕业就业的关键阶段。各分会、各会员企业 要深入学习贯彻习近平总书记在宜宾学院实地考察高校毕 业生就业工作时作的重要指示,"当前正是高校毕业生就 业的关键阶段,要进一步挖掘岗位资源,做实做细就业指 导服务","学校、企业和有关部门要抓好学生就业签约 落实工作,尤其要把脱贫家庭、低保家庭、零就业家庭以 及有残疾的、较长时间未就业的高校毕业生作为重点帮扶 对象"。各会员企业要为高校毕业生挖掘更多岗位资源、 提供更多就业信息。中国机床工具工业协会倡议如下:

1.牢记嘱托, 勇担使命。各分会、各企业要深入学习贯 彻习近平总书记在宜宾学院实地考察高校毕业生就业工作 时作的重要指示精神,深入贯彻落实党中央、国务院"稳 就业" "保就业"决策部署,全力做好2022届全国高校毕 业生就业工作,全方位强化高校毕业生招聘服务工作。

2.增加岗位,拓展就业。各企业按自身发展要求,结合 《国民经济和社会发展第十四个五年规划》要求和机床工具 行业"十四五"发展规划纲要建议,提前思考、超前安排新 岗位配置,通过人力资源增加,促进产品转型升级、实现高 质量发展;同时梳理企业现有岗位流程,通过增加新岗位, 补齐产品开发、研制、生产、售后服务过程中的短板, 达到 产品水平提高,市场占有率扩大;加强与产业链、供应链的 上下游联动,提供协同发展所需的相关人才的岗位需求。

3.培养行业优秀人才。通过产教合作、产学研用深度 融合的方式,探索专业人才培养的新途径。在实现企业技 术更新、产品迭代发展的过程中提供人才支撑。在这过程 中,不断培养人才,形成一批行业急需的技术和管理人 才,为创新驱动机床工具行业高质量发展奠定人才基础。

2022年6月24日

第十二届中国数控机床展览会 (CCMT2022)部分展品综述(2)

中国机床工具工业协会市场部

七、龙门式铣床类

1. 概况

龙门式铣床类是指床身水平布置,铣头装在横梁上(附加的水平铣头可装在立柱上),由左右两立柱(或墙体)和连接梁(或横梁)构成门架的铣床。据已有资料,龙门式铣床类展商20余家,参展机床设备30多台。提供展品资料的展商有北京北一、通用技术集团、宁波海天、威达重工、南通国盛、纽威数控、山东蒂德、南京宁庆、意特利、湖南九五、河北发那数控、润星科技、山东翰坤、宁波天瑞、巨冈机械、日电产新宝、尼古拉斯克雷亚、金中贸、普锐米勒、山崎马扎克等公司。

本届参展的龙门式铣床类,从结构形式看,有工作台移动式,龙门移动式,高架式横梁移动(天车式),动梁式,定梁式,按机床净重和工作台承载能力,有轻型、中型、重型。

2. 龙门式铣床类主要技术特点

- (1)加工范围广,适应性强。本次龙门式铣床类展品普遍拥有加工中心的功能,可完成铣面、镗孔、钻孔、刚性攻丝等工序,多数设备配直角铣头和万能铣头,一次装夹实现五面体加工,具备五轴联动的能力;既有能加工2~5m中型工件的设备,也有可以加工10~15m的大型工件的重型机床;可以满足对不同材料材质的低速重载和高速轻载加工要求,能完成对工件的粗加工-半精加工-精加工全工序加工。
- (2)高刚性,高稳定性。龙门机床结构尺寸大,各 部件(包括运动部件)吨位重,龙门式铣床要求更好的

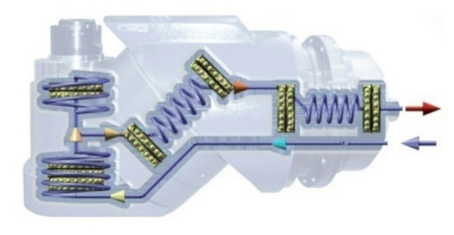
刚性和稳定性。展品机床的整体结构普遍采用有限元法设计,横梁等大跨距移动部件的移动大部分采用同步双驱、重心驱动技术。主轴和进给运动采用直联直驱,长进给轴使用精密齿轮齿条传动。中大型龙门镗铣床使用大截面方型滑枕、高强度滚柱导轨及四线导轨结构,实现良好的刚性和运动平稳性。典型的如山东蒂德精密龙门加工中心主轴箱,采用大截面方滑枕结构,四条重载滚柱导轨支撑;南通国盛五轴桥式龙门X轴、Y轴、Z轴均采用四线轨结构。

- (3)精度及精度保持性。重心驱动、丝杠预拉伸、全闭环控制提高运动精度和精度保持性。处理热变形对精度的影响,各厂家的技术手段多种多样,如湖南九五精机对运动导向元件摩擦发热点主动强制冷却;南通国盛对三轴螺母冷却,降低丝杠热伸长;广东润星科技对主轴进行外循环冷却。
- (4) 功能丰富的铣头系统。铣头作为龙门镗铣加工中心重要的核心部件之一,是每一台龙门式铣床类展品的焦点。展品配备了各具特色的铣头系统及各种附件铣头,部分机床还配备了自动换头系统。湖南九五精机高架桥式五面体龙门使用自主研发的A、C双摆角铣头,独特的A、C轴定位、锁紧技术,保证高效切削时的稳定性和抑制切削振动;宁波天瑞精工使用最新研发的双摆角铣头,A、C轴采用直驱传动,最高转速60r/min,标配圆光栅,定位精度5″,内藏式电主轴最高转速为18000r/min;普锐米勒机床使用自制的双摆角铣头,A、C轴采用直驱电机,最高速度50r/min,主轴转速24000r/min。尼古拉斯克雷亚的FOX 60龙门加工中心,可配置铣头有UAD万能铣头和E5E连续运动的双摆角铣头。

3.典型展品

西班牙尼古拉斯克雷亚集团FOX-60 龙门加工中心。 西班牙尼古拉斯克雷亚模块化设计生产量较高的一款机 型,融合了恒温控制系统,热对称设计以及自动换刀系统 等,可配置铣头有UAD万能铣头和E5E连续运动的双摆 铣头。UAD铣头包括45°万能铣头和90°直角铣头,采 用双鼠牙盘系统的UAD自动微分度,最小分度0.02°, 最高转速6000 r/min, 刀具夹紧力2500kg, 重复定位精 度±3"。可配置一个内置或可拆卸车削转台,最大直径 Φ2500mm。该机广泛应用于航空航天、能源和轨道交通 等领域。



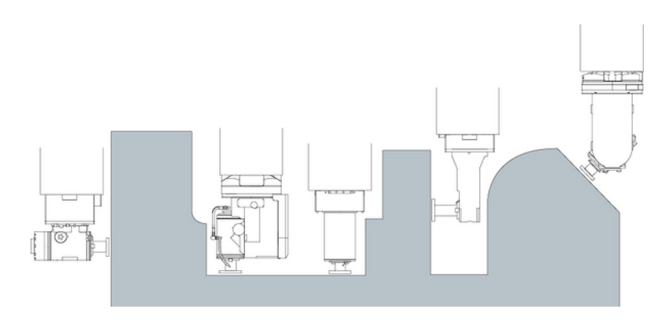


山崎马扎克(中国)有限公司FJV-35/60 L龙门立 式加工中心。主轴箱采用热对称结构,主轴和主轴电 机使用温控冷却油循环冷却; 进给轴使用高精度的滚柱 直线导轨,滚珠丝杠配置中心循环冷却系统; X、Y、Z 轴快移速度40、40、30m/min, 主轴10000r/min, 通 过主轴的分度功能和直角头,实现五面加工。该机搭载 "MazatrolSmoothG"数控系统,使用高速双CPU,提高 了数控系统的数据处理能力和运动控制性能,丰富的系统 软件功能满足客户加工需求。该机适用于薄型铝件加工、 模具、半导体、工程机械零件和航空零部件各种不同类型 产品加工。





日电产新宝(上海)国际贸易有限公司Nidec MVR-30Hx龙门式五面加工中心。机床主体采用高刚性的铸件 和热稳定设计;垂直轴、水平轴均能进行强力切削;通过 对主轴内部和主轴大套冷却,抑制主轴热伸长;系统具 有空间误差补偿功能。立柱门内宽度2550mm, 主轴直径 φ110mm, 主轴转速20~8000r/min, Y、Z轴快移速度 分别为35m/min、20m/min,精加工时接刀痕≤3.5μm。 可选配齿轮驱动主轴,最大扭矩3430N·m,实现重切 削。根据窄部分、倾斜面、自由曲面等形状,高速加工、 高精度加工等要求选择各种附件头。



普锐米勒机床GT18-5X 五轴高速龙门加工中心。 自 制五轴双臂摆头, A、C 轴采用力矩电机驱动, 最高转速 50 r/min, 主轴转速24000 r/min, 工作台采用双丝杠驱 动结构和三导轨支撑, 丝杠中空冷却系统, 全闭环控制, 刀库容量60把。该机应用于航空发动机机匣、机身结构 件、汽车模具等领域加工。

北京北一机床有限责任公司XKAg2525×60-V 高架 桥五轴龙门机床。 横梁和滑座采用铸造结构件, 具有合 理的截面和筋板结构。横梁采用上、下偏置导轨结构,优 化了滑枕至横梁前导轨面的距离,提高抗扭转和抗弯曲能 力。横梁导轨为直线滚柱导轨,安装基面加工采用反变形 加工技术,保证铣头在横梁上运动的各项精度。双摆角铣 头安装在滑枕端部,实现C轴和A轴摆动功能,主轴为高速 电主轴,转速20000r/min,工作平台还可配置数控转台和 其他工装扩展工艺范围。该机适合航空航天铝合金、大型 模具的高效五轴粗加工、半精加工和精加工。

宁波海天精工股份有限公司BFL2030龙门加工中心。 整机采用对称性设计,降低温度对机床热变形的影响。 A、C双摆角铣头可部分嵌入滑鞍内,提升机床空间的利 用率。通过有限元的专业分析,结合实验室的测试数据, 优化移动部件结构设计,实现移动部件轻量化,提高设备 的动态特性。X、Y、Z快速移动速度60、40、36m/min, 主轴最高转速24000r/min, X、Y、Z移动加速度0.5g。可 实现五轴加工,一次装夹可完成多角度特征加工。该机主 要应用于新能源汽车的防撞梁、保险杠、底盘铝型材构造 件、锂离子电池铝托盘、副车架等零件的加工。

中国通用技术(集团)控股有限责任公司(沈阳机 床)GMC2040u桥式五轴加工中心。自主研发的A、C双 摆角铣头, 高速电主轴铣头为叉式结构, 采用矢量控制, 主轴转速240~24000r/min。X轴采用齿轮齿条驱动,可 选用直线电机,其快移速度60m/min、加速度1g,数控

32 | WMEM · 2022年第3期

回转工作台旋转为C1轴。配置恒温冷却系统,对主轴及关 键传动部件进行温度控制,配负压吸尘系统。配置自主知 识产权的i5智能数控系统、实现五轴联动功能。零件一次 装夹,能完成多种工序的五面加工和多种空间方向的铣、 镗、钻等加工,适用于模具、航空航天等行业复杂零件的 加工。

山东蒂德精密机床有限公司G10542L龙门加工中心。龙 门跨距4200mm, 工作台尺寸(长×宽)10500 mm×3500mm, 三轴联动曲面加工,并可根据客户要求配置直角铣头,一次 装夹实现五面体加工。X进给轴采用齿轮齿条传动,同步 双驱控制,标配X轴光栅尺。主轴箱采用大截面方滑枕结 构,四条重载滚柱导轨支撑,可承受主轴在Z轴全行程的 横向强力切削。主轴传动采用30kW大功率主电机直联两 档变速减速箱,切削扭矩大,满足高刚性低惯量大扭矩切 削需求。可选配内藏式电主轴,最高转速10000r/min,配 置各种附件铣头。

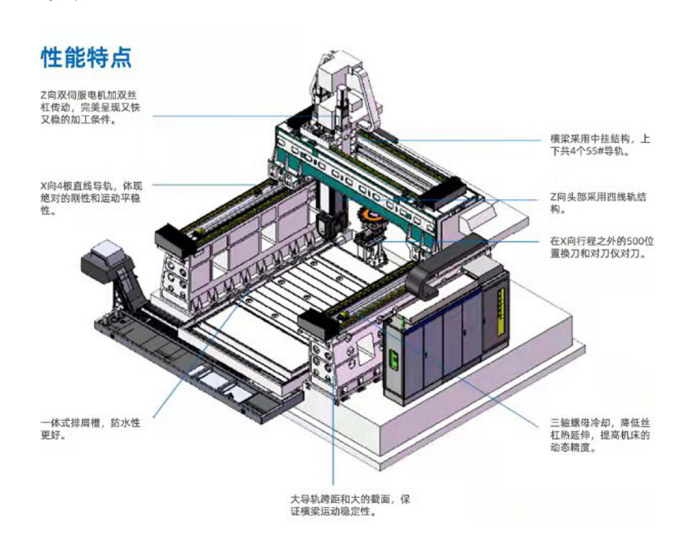
宁波天瑞精工机械有限公司UM3018 龙门五轴加工中 心。 三轴导轨均为高精度重载荷滚柱直线导轨; 配置新 设计研发的双摆角铣头, A、C轴采用力矩电机传动, 定 位精度5",最高转速60r/min;内藏式电主轴最高转速为 18000r/min, 有利于小刀径刀具的清角加工; 标配五轴防 撞功能。

南通国盛智能科技集团股份有限公司GMV15050RH 五面动柱龙门加工中心。 X、Y、Z轴行程15500mm、 5600mm、1250mm,配置自制直角头。床身设计四根重 载65#滚柱导轨,间距700mm,配合坚实的壁厚及"米" 字型筋板组合。X轴采用四个电机加减速机驱动,双电机 消隙和双驱传动结构,精密齿轮齿条传动,标配光栅尺。 Y轴设计三根65#重载滚柱导轨支撑,横梁截面大,导轨跨 距大,主轴中心到Y轴导轨面距离短,具有较好抗震性、 刚性和稳定性。



南通国盛智能科技集团股份有限公司GMB2528LX五 轴桥式龙门。机床X轴左右两侧各两根高刚性滚柱直线导 轨,每根导轨4个滑块,共16个滑块,确保了良好的刚性 和运动稳定性。滑枕采用中挂式箱中箱结构,上下各布置

2个导轨,结构对称,热稳定性好。Z向采用4根高刚性滚 柱直线导轨全包围结构,双伺服电机加双丝杠传动,重心 驱动,可实现快速稳定加工。三轴螺母冷却,可以降低丝 杠旋转过程中因发热引起的热延伸,确保机床的运行精 度。A、C轴摆角范围 ± 105°、 ± 240°, A、C定位精度 ±5"、±3"。该机应用于精密模具、航空航天等机械加工 领域。

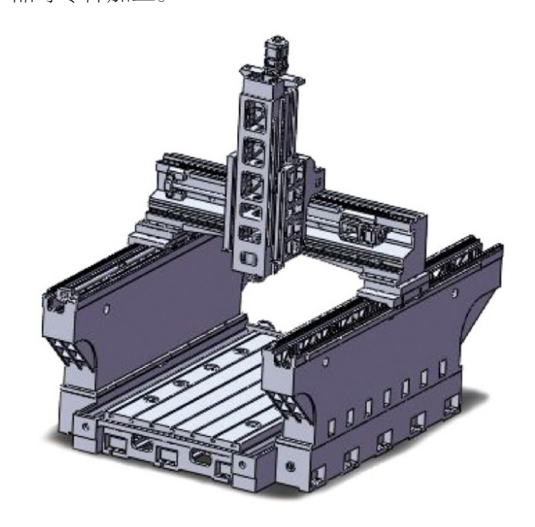


湖南九五精机有限责任公司J5BF1810 高架桥式五面 体加工中心。整体式U型床身桥架。配置自主研发的A、 C轴双摆角铣头,独特的定位、锁紧技术,保证高效率切 削加工时的稳定性和抑制切削振动。使用专利驱动冷却技 术,运动导向元件的摩擦发热点主动强制冷却。结构紧 凑,较同规格工作台移动式龙门机床占地面积减小40%。 实现一次装夹,进行五面加工的功能。X、Y、Z轴定位 精度±8μm, 重复定位精度±4μm; A、C轴定位精度 ±3", 重复定位精度±2"(JIS标准)。根据用户需求, 可实现五轴联动以及车铣复合功能的衍生变形。



南京宁庆数控机床制造有限公司VC5A3020HA龙门高 速铣削加工中心。一款横梁移动式(桥式)五轴龙门加工

中心。X轴采用同步双驱和重心驱动技术:Y轴采用复合型 导轨技术,横梁上在原有两根互为垂直面安装的直线导轨 的基础上增加一根矩形导轨,加大切削抗力力矩和承载面 积,增加了切削抗力,有效地克服了切削点悬臂太长的弱 点。机床的整体结构采用有限元法结构设计,配置双摆角 铣头, 主轴功率42/55kW、转速18000r/min, 全闭环控 制和激光对刀仪为标准配置。该机适合精密模具及航空航 天产品等零件加工。



意特利(上海)科技有限公司TITAN4025重型五轴 桥式龙门加工中心。双横梁桥式龙门结构, X、Y、Z轴 行程可达40000mm、6000mm、2500mm, 采用双横梁 专利技术及箱中箱结构,在保持加工精度的前提下加大了 Z轴加工行程。该机适用高温合金、钛合金,碳钢,不锈 钢、铝合金等金属材料大型结构件加工。

东莞市巨冈机械工业有限公司CL2020 5X 高速龙门摆 头五轴加工中心。 具备五轴五联动, 直线轴重复定位精度 8μm/全程, 采用一体式龙门架设计, Z轴氮气平衡, 快速 速度36m/min。精密手工铲花,三轴滚柱导轨,双摆角铣 头尺寸小、扭矩大,加工复杂大型工件时干涉范围小。

福建省威诺数控有限公司WN-LF2015 复合式镗铣加 工中心。本产品是龙门镗铣床、卧式加工中心、对头镗和 刨台式镗铣床等的复合体, 立式镗铣头及两卧式镗铣头作 多坐标移动形成了多轴控制;对置主轴及多轴位置的同步 控制,实现多头复合式加工。龙门框架、四导轨的框式立 柱支撑横梁、箱式滑鞍置于框式立柱中, 四导轨支撑箱式 滑鞍上下运动、滑枕包容在长导向箱式滑鞍中进行轴向运 动。立柱、滑枕、床身、横梁和工作台等基础件均采用优 质铸铁铸造,树脂砂造型工艺、薄壁多筋、箱中箱和蜂窝 式筋条的箱体结构, 充分人工时效处理。该机适用于重型 机械、工程机械、机车车辆、矿山设备、能源等领域的大 型零件加工。



八、铣镗类机床

1. 概况

本次参展的铣镗类机床是指镗轴水平布置并可轴向进 给,主轴箱沿立柱导轨垂向移动,以镗削加工为主要加工 方式,同时能进行铣削的镗床。该类机床主要用于加工高 精度孔或者一次定位完成多个孔的精加工, 镗孔的精度可 达IT6,表面粗糙度可达到0.2μm。据已有资料,铣镗类 展商5家,展品6台。提供展品材料的展商有通用技术集 团、南通国盛、湖南九五、帕马、达诺巴特。

2. 铣镗类展品主要技术特色

(1) 精度高。铣镗类机床由于其高精度、重切削的 要求,各厂家在立柱、床身、导轨、工作台等部件及机床 的总体设计制造中高度关注其刚性、动态稳定性及热平 衡;大多利用有限元设计,优化机床刚性结构,采用薄壁 多筋、箱中箱和蜂窝式筋条的箱体结构;应用误差补偿技 术,提高机床的精度。比如帕马SPEEDMAT具有工作台 静压补偿和主轴自动热补偿功能。达诺巴特SORALUCE FP10000具有DAS主动阻尼系统,集成了一系列实时控制 震颤,可监控加工过程的传感器,增加机床动态刚性。另 外静压导轨、大尺寸线性滚柱导轨、转台使用双小齿轮消 隙等应用广泛。

(2)功能丰富,适应范围广。铣镗类机床的功能越来 越丰富,大多数铣镗类机床展品在保留了原有的高效铣削 和高精度孔系加工的特点的同时,配备大容量刀库、丰富 的铣头附件及铣头交换系统、精确的回转工作台、智能化 的数控系统, 使机床具有了镗削、铣削、钻削(钻、扩、 铰)、攻螺纹(刚性攻丝)、直线插补、圆弧插补、多轴

34 | WMEM · 2022年第3期

联动、模拟加工等功能,扩大了铣镗类机床加工范围,提 高了加工能力。

3.典型展品

意大利帕马公司SPEEDMAT铣镗加工中心是一款典型 的大规格,重切削的铣镗机床。X、Y、Z行程4000mm、 3000mm、2700mm, 镗轴行程(W轴)800 mm, 镗轴直径 Φ160mm, 工作台最大载重20000kg。采用热对称结构, 中央式主轴箱,大尺寸线性滚柱导轨;闭式静压工作台采 用双小齿轮消隙系统,同时通过自动检测并补偿工作台偏 载产生的倾斜力矩实现静压倾斜补偿; 主轴传动系统配 置两档变速齿轮箱,最高转速3000r/min,最大额定扭矩 2073N·m,选配主轴自动热补偿功能。机床配有机器人 换刀系统,刀具容量500把,最大刀具直径φ1200mm,最 大刀重70kg。该机适用于航空、能源、工程机械、石油和 天然气、通用加工等领域。



达诺巴特集团(中国)SORALUCE FP10000落地铣 镗床。配备长达10m工作台,床身全铸铁制造工艺,提 供了良好的稳定性和刚性。配置专利DAS主动阻尼系统, 系统集成了一系列实时控制震颤, 可监控加工过程的传感 器,能够有效增加机床动态刚性。应用电主轴和任意分 度的万能铣头,实现高定位精度和高加工精度,通过法兰 适配器的全模块化铣头更换系统, 能够达成不同类型铣 头的快速转换。搭载了西门子"数字化原生"数控系统 Sinumerik One, 借助其中数字孪生功能, 可在虚拟环境 下进行机床的调试、零件生产前的模拟加工、预测与生产 工艺优化,可减少零件的加工失误,提高机床生产效率。 FP10000在石油天然气、机床制造、模具生产、林业机 械、轨道交通等诸多行业应用,覆盖了包括框架类、轴 类、阀门类、吊杆等各类尺寸零件的加工生产。



中国通用技术(集团)控股有限责任公司(沈阳机 床)PBC110m数控卧式铣镗床。 机床总体设计布局为T 字型,工作台沿床身导轨横向移动(X轴),立柱沿床身导 轨纵向移动(Z轴), 主轴箱沿立柱导轨垂直移动(Y轴), 主 轴前后移动(W轴),工作台可360°回转(B轴)。其主要零 部件设计时均采用有限元分析方法优化结构。镗轴直径 Φ110mm, 工作台承重5000kg。数控回转工作台可实现 工件一次装夹完成四个面上的孔组、孔系及平面的多工序 加工。该机适用于箱体类、壳体类、机座类等零件加工。



南通国盛智能科技集团股份有限公司DBM-110 卧 式铣镗加工中心。 刨台式滑枕中挂总体布局, 镗轴直径 φ110mm, X、Y、Z、W四轴控制。X、Y、Z轴采用重 载型滚柱直线导轨,刚性强、动态精度佳;三轴传动采用 研磨C3级双螺母滚珠丝杠,两端预拉伸,消除热伸长造成 的精度损失,组成稳定的高刚性机械传动系统。主轴使用 大间距、高精密、高刚性的双列圆柱滚柱轴承; 主轴传动 采用二级齿轮变速,变速范围宽、主轴转速高、输出扭矩 大,适用于各种加工材质。转台采用双齿轮消隙,绝对式 光栅尺闭环控制。配置随动刀库(安装在立柱一侧)与自

动换刀。可选配万向头、直角铣头、主轴伸长套筒、数控 平旋盘、机械式自动平旋盘、自动刀具检测、自动工件测 量、主轴中心出水等多种附件及功能选择。该机主要应用 于能源、石油、造船、工程机械、航空航天等领域。



湖南九五精机有限责任公司 J5MB1112卧式数控铣镗 加工中心。 镗轴直径 φ110mm, 采用T型床身, 动立柱, 正挂主轴箱结构,各传动轴系独立恒温冷却系统和液压氮气 平衡系统,自制高刚性高精度镗轴单元。配置整体全封闭式 或半封闭式双开门防护罩。该机适合对箱体类、壳体类高 精度孔系加工。

湖南九五精机有限责任公司J5TK6413十字滑台数控 铣镗加工中心。 镗轴直径 φ 130mm, 整体铸造床身, 采 用四条直线导轨支撑方式,稳定性好。主轴箱采用一级齿 轮和减速机实现变速,同时采用高精度等级圆锥滚子轴 承, 实现主轴转速1500r/min, 扭矩1600N·m, 实现大 扭矩重切削加工。该机还可根据加工应用需求,配置刀 库,或全闭环控制,满足更高精度要求的零件加工。

九、电加工类机床

1. 概况

电加工类机床是将电能施加在工件的被加工部位上而 使材料被去除、变形、改变性能或被镀覆的特种加工机 床。该类机床主要为满足航空航天、模具、汽车等领域用 户各种高硬度材料和复杂形状的零件、模具,以及航空发 动机和汽车发动机的喷油嘴、叶轮、叶片、机匣等零件上 的小孔、深孔和窄槽的加工需求。据已有资料, 电加工类 机床展商10余家,展品20余台。提供展品资料的展商有北 京电加工所、通用技术集团、苏州中谷、苏州亚马森、上 海伊阳、广东商鼎智能、牧野、埃马克等。

主要展品有线切割机床(中走丝、慢走丝)、电火花 成形机床、电火花穿孔机床、电解加工机床等。

2. 电加工类展品主要技术特色

- (1) 高精度与精度保持性。采用高刚性高稳定性结构 设计,如牧野U6线切割机床采用将双电极存储器集成到床 身铸件中,提高了机床的热稳定性;通用技术集团机床研 究院的AF35P电火花成形机主机,采用C型结构设计,T 型铸件床身、花岗岩大理石工作台; 苏州亚马森穿孔机、 北京电加工所电火花成形机等展品的闭环控制: 苏州中谷 ZGM501采用直线电机驱动,提高机床传动精度。
- (2)微精高效的脉冲电源。脉冲电源对提升加工速 度、降低电极损耗、确保加工精度及提高表面质量起到极 其重要的作用。如北京电加工所HS600小孔机床,采用特 色精密微细电源, 具有电容增效、微精加工、低损耗加工 回路等功能:通用技术集团机床研究院的AF35P电火花 成形机,采用等能量控制复合脉冲电源,逐个脉冲检测控 制,实现等能量脉冲放电,利于表面粗糙度均匀,前后沿 可控的梯形波叠加高频锯齿波的独特复合电流脉冲, 具有 对超硬材料高效、低损耗加工的独特优势: 泰州东方数控 DK7732ZG中走丝线切割机采用等能量放电电源。
- (3) 开放式可二次开发的数控系统。电加工机床的数 控系统因其独特的数学模型、控制模式和复杂多样的控制 内容,必须实现加工状态控制与数控轴运动控制的高度耦 合。电加工机床制造企业根据自己的专有技术及工艺,专 门研发配套形成开放式通用性、灵活性、可靠性较高的电 加工机床数控系统,满足多轴联动、多任务、3D图形CAD 文件导入及链接局域网,实现异地通讯和监控等要求。如 牧野U6线切割机床应用Hyper-i控制系统;通用技术集团 机床研究院AF35P采用模块化、开放式体系结构,基于 SSB3工业现场总线技术,支持SSB3总线式远程I/O单元, 支持USB、以太网等程序扩展和数据交换功能,最大可实 现六轴联动控制,内嵌高速软PLC,可实现梯形图在线编 程和实时监控,最小控制精度0.1 u m。
- (4)自动化。电加工机床自动化水平日益提高,减 少人工干预,降低操作人员水平的依赖性和人力资源成 本,加工性能和加工质量达到更好的水平。如北京电加工 所HS600小孔机具有自动换丝、穿透检测等功能; 苏州 亚马森MS-DC430A电火花穿孔机具有的一键加工、自动 定深、自动分中、自动定端面、数字采样、自适应伺服跟 踪、穿透检测等功能。
- (5)绿色制造。使用高频脉冲电源,降低电能消 耗; 优化工艺参数,减少加工过程中的耗材; 通过分离与 解析,加强工作液的循环利用,达到零排放,实现绿色制 造目的。如牧野公司U6线切割机床,搭载绿色节能新电源 ES200A, 容量更大, 标配电流80A (峰值100A); 通过

36 | WMEM · 2022年第3期 www.cmtba.org.cn

更精细的数字化控制技术对电压和 电流进行控制,控制更精准,损耗 小,工作状态更稳定,虽然电源容量 增大,综合耗能却更低,与之前的系 统电源相比,综合节能40%,同时开 发出针对2400余种加工条件下的理 想工艺参数,达到降低线材消耗的目 的。埃马克CI400电解加工机床带有 集成的电解液管理过滤系统。通用技 术集团机床研究院AF35P电火花成形 机采用绿色等能量复合脉冲电源,采 用电感储能元件,进行脉冲峰值电流 闭环控制,放电部分的电能利用率达 90%以上,电能消耗比电阻限流式减 小一半以上, 同时可获得效率、损耗 指标的大幅优化。

3.典型展品

牧野机床(中国)有限公司U6 高精密数控线切割机新的PICO导丝 系统, 导丝嘴安装在精密的定位螺 纹孔内以保证其垂直度,导线夹可 以将倾斜的线进行断丝和穿丝,丝 的直线度可达5μm, 丝径可选择 Φ0.1~Φ0.3mm。双电极存储器集 成到基础机床铸件中, 固定式工作 台,气动升降前门。配置Hyper-i控 制系统,数据库支持包括工件材料、 电极种类和尺寸设置功能, 内设丰富 的加工条件;良好的通用性,拥有多 种智能工具和高效直观友好的人机界 面,可以满足大中型模具、精密模具 加工和零部件加工等需要,能够为客 户提供加工解决方案。



埃马克(中国)机械有限公司太 仓分公司CI 400电解加工机床。适用

干各种不同电解加工任务,如电解加 工、电解钻孔、电解拉削、电解去毛 刺。该机设计紧凑,带有集成的电解 液管理过滤系统,可扩展的电源技术 /脉冲技术, 所有参数都由一个控制 单元监控,可提供能够优化加工工艺 和提高生产能力的选项, 也可选择两 个加工区域作为CI-DUO。





北京市电加工研究所ADV600多 轴联动精密数控电火花成形机床。五 轴五联动, 专用浸入式精密数控回转 工作台(B轴)和C轴(精密数控分度 与高速旋转轴),一体化设计,自动 升降油槽,可兼容机械手、电极工具 库等。配置基于Windows的数控系 统,内嵌CAD/CAM模块、EDM专 家模块、微精加工模块。主要用于铝 合金、钛合金、低膨胀合金及合金结 构钢等材料的加工,可满足窄槽、窄 缝、深腔、异型不通孔、内腔侧向不 通孔等特殊形状加工的工艺要求。

北京市电加工研究所HS600精密 数控小孔加工机床。具有电容增效、 微精加工,低损耗加工回路等诸多 功能的精密微细电源, 配备高速旋 转轴高压冲水、自动换丝、穿透检测 等功能模块。配置基于Windows的 数控系统,具备六轴五联动功能, 可实现多姿态下的电火花微细加 工。配有并线接口,可方便实现自 动化及无人加工。可加工异形孔, 加工孔直径 **6**0.2 **6**3.0 mm, 最 大深径比160:1,最大重熔层厚度 ≤0.03mm_o



中国通用技术(集团)控股有限 责任公司(机床研究院)AF35P高精 度全闭环电火花成形机。采用C型单 立柱结构, 倒T型铸件床身, 0.1 μ m 分辨率高精度光栅尺,实现高精 度及保持性。 X、Y、Z轴定位精度 ≤3μm, 重复定位精度≤2μm; 最 佳加工表面粗糙度Ra≤0.08μm(模 具钢), Ra≤0.15 μ m(硬质合金); 最 小电极损耗≤0.1%(模具钢);加工 型腔位置精度≤3μm。搭载GJ302/ EDM专用数控系统, 能够完成自动 更换电极、自动测量、自动上油、等 待液位、自动多腔加工、自动泄油等 连续过程。该机具有中断返回、多边 形测量找正、三点圆心找正等高级特 色功能,适应更多应用场景。

苏州中谷实业有限公司 ZGDC506 电火花穿孔机采用滑枕式 结构,6个伺服轴,其中S轴用于电极 伺服放电加工。新一代微精超高频脉 冲电源,纳秒级(200ns)的放电功 率脉冲输出。Contra多轴电火花小孔专用数控软件, 定制 性强,可以加工模具钢、高温合金、钛合金、镍基合金、 硬质合金等各种导电金属材料,该机适用于在平面、异形 面、球形面上加工直径 φ 0.2 ~ φ 3mm的盲孔或通孔。

苏州亚马森机床有限公司MS-DC435A多轴数控穿孔 机用于直径 60.1mm以上电极管细孔、厚度300mm以内超 厚工件、不同材料叠加和中空等特殊工件的加工,以及钨 钢、铝、AK80等超硬、特殊材料加工。支持X、Y、Z、 W、C五轴数控加工,一次可装夹500mm长电极,Z轴细 分步进马达驱动, 自主研发的控制系统内置专家数据库并 具有多种自动功能,如一键加工、自动定深、自动分中、 自动定端面、数字采样、自适应伺服跟踪、穿透检测、表 面防护以及柔性高速控制的特点。

十、成形机床类

1.概况

金属成形机床是通过压力或剪切成形对金属或其他材 料的坯料或工件进行加工, 使之获得所要求的几何形状、 尺寸精度和表面质量的机器。金属成形机床加工方式具有 节省材料、产品质量好、生产效率高等优点,应用广泛。 据已有资料,成形加工类机床参展商20余家,展品40多台 套。提供展品资料的展商有江苏亚威、徐州锻压、扬州锻 压、江苏金方圆、深圳迪能、南通麦斯铁、江苏合泰、江 阴机械、吉林瑞铭、无锡金球、信宜华辉、扬州天宇、滕 州三合、全斯福、肯尼福、宝飞螺等。

主要展品有折弯机、自动折边中心、折弯单元、折弯 机器人工作站,剪板机,弯管机,校直机,转塔冲床及冲 割复合机(转塔冲和激光切割),压力机(旋压机、伺服 压力机、油压机、机械压力机),螺纹成形滚压机等。

2. 成形机床类机床展品主要特色

- (1) 主驱动伺服化。本届成形类机床展品的锻造机 床、冲压和钣金加工机床,其主驱动的伺服化已经成为趋 势。采用伺服主驱动的金属成形机床不仅工艺性好、加工 精度高,而且节能降噪,具备自动化集成、信息化联网和 智能化控制等功能。因为伺服主驱动应用极其广泛,这里 不对具体展品做个别举例。
- (2)自动化。随着自动测量技术、机器人技术及其 控制系统的发展,成形机床特别是钣金类的折弯机、自动 化折边中心、折弯单元等的自动化水平日益提高。全自动 板厚检测系统、自动校正技术、自动上下料系统等的应用 愈加成熟和广泛,不少的折边中心及折弯单元已可实现全

自动无人值守加工。典型的如南通麦斯铁MB11032R90 自动折弯机器人工作站,将折弯机和机器人两种设备合二 为一,实现了拆垛、上料、折弯跟随、码垛等自动折弯功 能。江苏金方圆ABM自动折弯单元专为折弯工况而设计的 ER80六轴机器人系统,搭载自主研发的高精度第七轴装 置,可让机器人在任意位置都能自动完成工件的折弯。江 苏亚威HPML30510数控冲割复合机,可与自动上下料、 自动分拣、料库等自动化设备集成进行生产管理。另外德 国全斯福DB 642-CNC-RL左右双向数控弯管机,配置多 层模结构, 在同一程序内自动实现顺时针方向、逆时针 方向弯管,可以自动切换多种弯曲半径,自动切换弯管方 向。江苏合泰机械CNC65XE全自动数控弯管机自动换模 及 Y轴 (送料) 自动位置检测功能。其他各种各样先进的 自动化功能的例子不胜枚举。

(3)智能化。金属成形机床在伺服主驱动以及各种 专业技术和软件支持下,建立机床、机器人互联,实现与 MES系统对接, 可远程控制生产线。具有视觉识别、挠 度补偿、角度补偿、3D仿真等功能,有的软件还可以自 动生成模具、折弯工步、折弯机及机器人的NC代码。相 关软硬件技术的发展使得成形机床的信息化联网和智能化 控制更加切实可行。典型的如江苏亚威FBA1516数控板 料折边机, 折弯时检测每一块板材的回弹系数和拉伸强 度,并自动补正折弯力度; HPML30510数控冲割复合机 可搭载远程诊断健康、保障系统、生产管理系统、亚威智 云工业互联网平台。肯尼福双模圆柱螺纹轧制机可配备 KINETROL™ NC滚动控制系统和交互式人机界面,具 有加工监控功能和全集成自动工件处理系统。南通麦斯铁 MB11032R90自动折弯机器人工作站的折弯软件包MR-BEND和离线编程软件包MB-ROBERT,结合视觉识别, 建立机床、机器人互联,实现信息互联和智能化控制。德 国宝飞螺RP15 HP螺纹及成形滚压机具备过程参数屏幕化 参数管理及操作者提示功能。

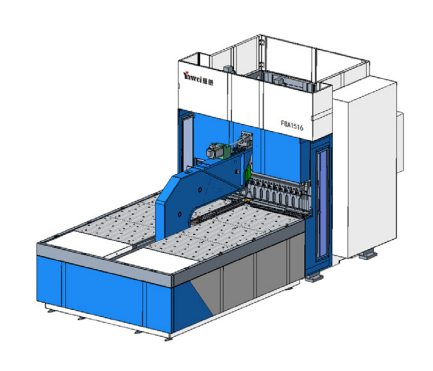
另外,越来越多的成形类机床展品体现了节能环保的 优良特性。

3.典型展品介绍

江苏亚威机床股份有限公司FBA1516数控板料折边 机。专为小规格钣金成形加工设计,适合长1500mm、高 165mm、对角尺寸1850mm以内盒型、门型零件的全自动 折边加工。采用创新的万能折弯模具和轨迹折边技术,无需 换模即可实现上折边、下折边、覆平与异形折边工艺;集 成轻量化技术、高效控制软件,折边速度最快达0.3s/折, 比传统压弯式折弯机速度快3倍以上; 搭载创新的AAC智能

38 | WMEM · 2022年第3期 www.cmtba.org.cn

角度补偿技术,根据不同板材自动设 置补偿,保证折弯精度的一致性, 角度精度达30'/全长、折边直线度达 0.20mm/全长。



江苏亚威机床股份有限公司 HPML30510数控冲割复合机。产品复 合了数控转塔冲床和激光切割机两种机 型加工优势,工件一次上料即可实现冲 孔、成形、滚筋、攻丝、切割等工序。 最大冲压吨位达30t,冲床一次定位加 工范围1500 mm×3000mm、激光一次 定位加工范围1500 mm×2500mm。 设备采用高刚性技术及冲压激光复合 加工技术, 机床加工精度高, 冲、割 独立加工精度±0.10mm,板材最大移 动速度113 m/min,同时集成多轴自动 攻丝功能,可实现M3-M8多种螺纹的 自动攻丝。机床可与自动上下料、自 动分拣、料库等自动化设备集成,可 搭载远程诊断健康保障系统、生产管 理系统、亚威智云工业互联网平台, 实现自动化、数字化生产。



江苏亚威机床股份有限公司 SME2-315型伺服压力机。SME2系 列伺服压力机为满足家电、汽车、精 密五金、军工客户的需求,通过齿轮 传动间隙精密控制满足电机频繁加减 速及换向精度, 高功率密度伺服电机 以最低的损耗及优化的永磁伺服电机 电磁结构保证了电机极限性能, 整机 集成了大功率伺服驱动位置环带宽设 计、大功率系统能量回馈技术、双电 机同步解耦控制技术、伺服工艺曲线 规划优化技术, 轻松运用钟摆模式及 多连杆模式, 搭载级进模、多工位模 具配合自动化,实现连续生产。

深圳迪能激光科技有限公司 V-Bend系列数控折弯机。 折弯力 1600kN、折弯长度3100mm、油缸 行程250mm、开启高度550mm、侧 板间距3150mm。采用了百超专利技 术的〇型机架结构, 高频响的闭环液 压控制技术, CNC控制的机械挠度补 偿技术, 高速、高精度、高可靠性的 后定位系统。

江苏金方圆数控机床有限公司 ABM自动折弯单元。 双伺服电机直 接控制油泵技术, 电机、泵、阀、油 箱、过滤器及油缸全部集成,油液响 应效率高并减少油液泄漏。相比传统 电液折弯机节能15%~50%。配备专 为折弯工况而设计的ER80六轴机器 人系统, 搭载江苏金方圆自主研发设 计的高精度第七轴装置,可让机器人 行走在任意位置都能完成工件的折 弯,可选配自动更换抓具系统、视觉 对中装置等,同时还可满足拓展生产 线的需求。



江苏金方圆数控机床有限公司 TPI 2000智能折弯中心。 传动轴全 部采用伺服电机,四边成形最小尺寸 200 mm×200mm,双边成形最小尺 寸200mm, 0.3s/折的折弯速度。折 弯过程完全自动化,操作人员只需将 板材放到工作台上,便可自动完成四 边或多边折弯,使用万能折弯刀,钣 金一次成形,无需更换折弯模具,可 实现拍平、大圆弧、回形、封闭型、 翻边等特殊折弯工艺。高度智能和自 动化的折弯过程控制技术,能实现自 动补偿,保证了零件的成形精度。

信宜华辉数控机床有限公司 SP40-16SP全电伺服折弯机/折弯 中心。SP系列全电伺服数控折弯机 是一种无油、无污染、节能、静音、 高效率、高精度的绿色环保新产品, 折弯中心可以实现全自动折边,效率 高月节能环保。

无锡金球机械有限公司 WE67S-125/4100电液同步数控折 弯机。 电液全伺服系统,配合光栅 尺精确定位,实现全闭环控制,工作 台采用液压或机械挠度补偿,后挡料 采用伺服电机驱动、滚珠丝杆传动、 直线导轨导向,确保定位精度。

南通麦斯铁数控机床有限公司 MB11032R90自动折弯机器人工作 站。将折弯机和机器人两种设备合 二为一,实现了拆垛、上料、折弯 跟随、码垛等自动加工。通过TCP/ IP的方式互联互通, 麦斯铁机器人可 以控制折弯机, 使自动折弯的操作更 加简便和自如。麦斯铁开发的视觉识 别、离线编程等技术,实现机床、机 器人互联,对接MES系统,可远程控 制生产线,实时查看生产线状态。

南通麦斯铁数控机床有限公司 MB11032W2油电混合动力电液伺 服数控折弯机。配麦斯铁Ehybrid control伺服驱动油电混合动力系统, 伺服电机驱动双向泵控制油缸同步, 按需求的流量和压力工作并组成无溢 流和节流损失的闭环液压系统。光栅 尺动态检测滑块的同步和位置误差, Y1、Y2的定位精度和重复定位精度 及平行精度可达±0.01mm; 上滑块可倾斜工作, 可加工 异型工件如椎体型、梯型、多边型。

南通麦斯铁数控机床有限公司MS0632高精准直线度 剪板机。 重型机架结构的高精准快速数控剪切机床, 独特 的剪切机构、自动刃口间隙调整机构及刀架回程机构使该 设备具有剪切速度快,剪切板料平行度、直线度优异的特 点。反扭曲装置,可实现窄料优异的剪切质量,平板剪切 后翻身拼直线度 ± 0.05mm。

南通麦斯铁数控机床有限公司MTPE31550 数控转塔 冲床。 配置32个模具工位的自动选模系统和大范围的快速 伺服送料系统, 自动编程软件, 具有自动检测保护和自动 诊断功能。按板材加工要求,通过编程,自动加工出不同 尺寸、形状和孔距的孔; 也能选用小冲模以步冲方式冲出 大的圆孔、方孔、腰形孔及任何形状的曲线轮廓。预留有 控制接口,可方便地与自动上、下料装置连接,构成柔性 加工单元。

扬州锻压机床有限公司 YT4L系列闭式四点多连杆多工 位压力机。采用德国舒勒技术,应用舒勒深度优化的多连杆 传动结构。压力机机身采用分体高刚性焊接结构, 滑块超长 八面导向,整机抗偏载设计(上流侧60%-下流侧40%公称 力分配),更好地满足多工位冲压工艺需求。多工位压力机 可在一次工作行程中,同时完成拉伸、冲孔、整形、翻边、 切断等多道冲压工序,生产效率10~30次/min。压力机可 配前后双移动式工作台,具备ADC一键换模功能,极大缩 短了换型时间。该压力机还可接入用户车间MES系统,满 足智能化生产需要。

扬州锻压机床有限公司YSH 系列三点(四点)闭式 高速精密冲压线。采用高强度球墨铸铁铸造机身;三导柱 (或四导柱)驱动长滑块,滑块采用四柱高刚性圆柱轴承 长导向,导向精度高;传动轴采用滚动轴承和滑动轴承复 合支撑,提高了传动精度和承载能力;调节螺杆液压锁 紧,强制润滑、温度自动控制系统、热补偿技术精准控制 了机床下死点精度。该生产线主要应用于汽车电机、家电 压缩机等要求较高的电机铁芯精密高效冲压成形。

江苏省徐州锻压机床厂集团有限公司DPC1-125开式 单点伺服压力机。 公称力1250kN、公称力行程5mm、 滑块行程150mm、行程次数60spm、最大装模高度 380mm、装模高度调节量90mm。全钢焊接刚性机身,矩 形六面体导轨,导向长、耐磨损、精度稳定性好,液压过 载保护装置。采用伺候服电机和直驱式伺服控制系统,通 过对不同材质设定最合适的滑块运动模式。

美国肯尼福公司MC-60 FTI CNC (H) POWERBOX KINEROLLER[®]。采用坚固耐用的箱式结构,适用于大直

径、高硬度和轧制精密螺纹加工,并提供良好的零件圆度 和直线度。可配备KINETROLTM NC滚动控制系统和交互 式人机界面,具有加工监控功能和全集成自动工件处理系 统,以及自动装载功能。KINESPIN™ 离心机系统可清洁 和回收用过的冷却液。

德国宝飞螺技术有限公司RP15 HP螺纹及成形滚压 机。采用高刚性的C型框架床身,应用电机丝杠驱动系 统, 搭载宝飞螺多轴CNC数控系统, 最大滚压力150kN, 工件直径 φ3~ φ50mm。可以选择单滑座或双滑座结构, 切入式或穿越式滚压方式; 双滑座机床保证工件始终位于 加工区的中间,提高了加工精度,更换新的工件时不需要 重新调整位置; 当加工的螺纹比模具宽度长时需要穿过式 滚压工艺。宝飞螺多轴CNC数控系统基于西门子840D硬 件,具有图形操作界面、过程参数管理系统、过程参数可 视化、操作提示等功能。该机适用于外形滚压尤其是薄型 空心工件的滚压要求。

德国全斯福机械制造有限公司DB 642-CNC-RL左右 双向数控弯管机。配置多层模结构,在同一程序内自动化 实现顺时针方向、逆时针方向弯管, 可以自动切换多种弯 曲半径,自动切换弯管方向,或配置复合结构模具,用于 直线段较短或无直线段管件的全自动折弯成形。该机适用 于结构复杂的流体管件或航空导管。

江苏合泰机械科技有限公司CNC65XE全自动数控弯管 机。一款三维数控机头旋转左右共向弯管机,可实现在机 头旋转范围内任意位置弯曲。C轴(弯管)采用伺服驱动及机 器人专用减速机传动设计, Y轴(送料)具有自动位置侦 测功能,实现位置补偿。快速转模、平行式夹模设计、上 下多层模设计, 具有慢退芯轴功能。

江阴机械制造有限公司纯电动数控弯管机。 此次展 出有25、40、80、160 CNC-EMR四种规格的纯电动数 控弯管机,设备为9~13轴数控,多层模设计,同一个弯 曲周期可实现左右弯曲, 自动改变弯曲方向, 且头部主轴 旋转同时进行。可进行图形化编程,自动弯曲模拟,其中 25CNC-EMR R/L纯电动数控弯管机可旋转头部实现同模 左右弯曲,减少模具成本。

吉林瑞铭机电设备有限公司全自动校直机。250吨以 内采用伺服电机作为主动力源,250吨以上采用伺服液压 系统作为动力源。该机可实现根据测点绘制弯曲趋势曲 线,压头自动寻找弯曲最高点校直或相应的合适校直位置 进行校直,且可实现连续点动校直,可防止工件校直后反 弹。其修正软件具有分段测量校直、多维空间测量校直、 连续快速点动校直及依次顺序校直功能, 且可根据工件的 实际跳动量自动变换校直参数。□

40 WMEM · 2022年第3期 www.cmtba.org.cn

高速动台式龙门镗铣床的研发与应用

中国通用技术集团沈阳机床中捷友谊厂 赵旭靖

摘要:高速加工是目前金属切削加工中最具发展前景的技术路线之一。高速龙门铣床兼具立式加工 中心的高速性能和龙门式镗铣床的强大切削能力,能够显著地提高生产加工效率。本文针对高速动台式 龙门镗铣床的结构选型和设计进行详细分析和计算,深入探讨各种配置的优点和不足,并对高速龙门镗 铣床在模具等领域的应用进行有益探索和试验。

一、市场现状分析

随着近年来工业4.0和中国制造2025计划的实施,国内 各行业对于金属切削加工领域的精度和效率更加关注。相 对于传统数控龙门产品,高速龙门镗铣产品的各轴快速移 动速度和进给速度更快, 主轴转速更高, 更符合高精度、 高效率的应用场景。

龙门产品按照运动部件可以分为龙门移动式产品和工 作台移动式产品(以下简称"动台")。龙门移动式产品 主要应用于传统的重化工业领域,这些在过去为中国工业 化打下坚实基础的行业已经逐渐走入瓶颈期和存量阶段, 中国工业未来的增量在于新能源、智能化装备、高速轨道 交通等行业。由于运动部件惯量小、结构轻量化, 快速性 能更强, 预期不远的将来, 动台式高速龙门产品将成为镗 铣类细分机床市场的重要组成部分。

二、高速动台式龙门镗铣床的设计选 型和计算

目前,提高动台式龙门镗铣床性能的技术路线主要有 两方面:

1.通过设计计算,提高机床快速性能

通过合理的设计计算,在确保产品性价比的前提下, 显著提高产品的快速性能。多年来中捷友谊厂在对于龙门 产品引进、消化吸收的基础上,开发了多款动台式龙门镗 铣床。下面仅以其中某款高速动台产品的伺服轴Z轴(滑 枕垂直运动)为例,其运动部件计算过程如下:

(1) 参数的设定:根据市场调研,设定Z轴技术参数 如下:

轴向抗力:F=10000N Vmax=20m/min 寿 命:Lt=20000h

(2) 丝杠的选择

A、螺纹直径.导程.螺母的选择:

根据同类型机床设计经验,粗选丝杠轴径 d=63mm 螺距 L=20mm。

丝杠螺纹长=行程+螺母长+冲程+端边限度 =1000+347+105+400=1852mm

丝母: BNFN6320-1852LC5 双螺母型。

目的是通过双螺母预压方式将滚珠丝杠副的轴向间隙 显著缩小,从而使受到负载时产生的轴向位移量减少,提 高机床精度。

B、精度的选择:

根据技术经济性原则,选定导程精度: C5

C、热抗位移的计数测量(确定螺纹轴的预拉伸力): $\triangle l = \rho \times \triangle t \times L$

式中: △/---丝杠轴向伸缩量(mm)

ρ ——热膨胀系数12×10⁻⁶/℃

△t——丝杠温升变化,取2.5°C

L---螺纹有效长度 1490mm

 $\Delta I = 12 \times 10^{-6} \times 2.5 \times 1490 = 0.045$ mm

丝杠预拉力 $F=\Delta l \times K_s = \Delta l \times E \pi d_s^2/4L$

式中: F----预拉力(kg)

K。——螺纹轴轴向刚性

 $E=2.1\times10^4 \text{kgf/mm}^2$ $d_3=55.9 \text{mm}$ L=1490 mm

即预拉伸力: $F=0.045\times2.1\times10^4\pi\times55.9^2/4\times1490=1556$ kgf

综上所述: 查表可得出丝杠额定载荷:

 $C_a = 147 \text{kN}$ $C_{0a} = 463.5 \text{kN}$

D、对已选择的滚珠丝杠的校核:

a.寿命的校核:

$$L_t = (C_a/f_w F_a)^3 \times 10^6$$

式中: L,——按小时的寿命

C.——基本额定负载147kN

f...---负载因数 取2.5

F。——轴向负荷 10000N

n——转速 n=V_{max}/L=20000/20=1000r/min

 $L_t = (147000/2.5 \times 10000)^3 \times 10^6 = 2 \times 10^8 \text{h} > L_t$

因此满足要求。

b.临界速度的校核:

 $n = fd_3 \times 10^7 / L^2$

式中: f=21.9 d₃=55.9mm L=1545mm L——安装间距 $n=21.9 \times 55.9 \times 10^{7}/1545^{2}=5128$ r/min>1000r/min 因此满足要求。

c.3F=3×10000N=30000N=30kN<463.5kN 因此满足要求.

(3)轴承的选择

综合考虑高速龙门铣床进给轴的技术特点是:高轴向刚性,低启动扭矩,极限 转速高,安装结构简单。因此选用高精度角接触球轴承。

(4) 申机的选择

选择电机的条件是: $N_{\text{H}} > n_{\text{fight}}$; $T_{\text{H}} > T_{\text{fight}}$; $J_{\text{H}} > 1/3J_{\text{fight}}$ 。

粗选功率密度高,运行稳定的西门子1FK系列电机,其技术参数如下:

额定转矩:15.5N·m; 额定转速:3000r/min; 额定转动惯量:127×10⁻⁴ kg·m² 校核所选电机:

1)负载扭矩的校核

移动部件总质量m	600kg
丝杠数量n	1
负载安全系数 f_0	1.000
不平衡因数 f ₁	1.00
进给抗力 F	10000N
丝杠导程/螺距(mm)S	20.00mm
丝杠效率: η=93%	0.93
齿轮箱减速比: igear	3.00
齿轮箱所需克服重力矩T _{2g}	20.13Nm
齿轮箱所需切削力矩T2	34.23Nm
齿轮箱所需额定力矩T _{2N}	54.36N ⋅ m
电机所需额定力矩 $T_{\rm IN}$	18.12N • m

 $T_{1N} = 18.12 \text{N} \cdot \text{m} < T_{\text{\#}_{n}} = 22.9 \text{N} \cdot \text{m} \text{(n=1200r/min)}$

2)负载惯量的校核

丝杠转动惯量:

$$J_1 = 0.78D^4L \times 10^{-6}$$

= 0.78 × 6.3⁴ × 185.2 × 10⁻⁶
= 0.23(kgf · cm · s²)

D: 滚珠丝杠直径, cm;

L: 丝杠总长, cm;

滑枕折算到丝杠上的转动惯量 (总重W=600kg)

$$J_2 = \left(\frac{v}{2\pi n}\right)^2 \frac{W}{g} = \left(\frac{s}{2\pi}\right)^2 \frac{W}{g}$$
$$= \left(\frac{2}{2\pi}\right)^2 \times \frac{600}{980}$$
$$= 0.06(kgf \cdot cm \cdot s^2)$$

S: 滚珠丝杠导程. cm:

W: 滑枕重量, kg; g=980 cm/s²;

折算到电机轴上的转动惯量:

$$J = \frac{J_1 + J_2}{i^2} = 0.032 \text{ kgf} \cdot \text{cm} \cdot \text{s}^2 = 32 \times 10^{-4} \text{ kg} \cdot \text{m}^2$$

 $J=32\times10^{-4} \text{kg}\cdot\text{m}^2$

 $J_{\text{th}} = 127 \times 10^{-4} \text{kg} \cdot \text{m}^2$

J/J₌=0.25 < 3, 惯量匹配合理。

综上所述: $T_{\text{\tiny H}} > T_{\text{\tiny fi}}$; $J/J_{\text{\tiny H}} < 3$;

 $N_{\text{three}}/i > n_{\text{firmax}}$ 因此,选用的Z轴电 机满足要求。

2.结构配置和外购件的合理 洗取

经过反复的实验和论证,结合各 部件功能需求, 合理选取结构配置和 外购件, 方可获取高速龙门镗铣床预 期的参数和性能。

(1) 高速导轨的选择

数控机床常用的导轨形式大体 可以分为直线导轨,铸铁-贴塑(灌 胶)滑动导轨,滚滑复合导轨以及静 压导轨。

静压导轨可承受载荷大,精度高 且稳定性强,但高速性能是其弱点, 且加工及安装调整环节复杂,一般应 用于重型龙门产品。直线导轨的滑块 摩擦力小而均匀,滚珠跳动低能够承 受高速和高加速度运动,适合高精、 高速度运行, 因此我公司高速龙门产 品的X、Y轴选用这种产品。

对于Z轴, 各机床制造商都有自

己的考量。传统上来说铸铁-贴塑滑动导轨由于其面接触 的天然优势,接触刚性和稳定性非常好;在吸震性方面, 贴塑导轨有着更为明显的优势。直线导轨只有通过增大预 加载荷才能在垂直于运动方向上接近滑动导轨刚性, 在沿 着运动方向的刚性仍然稍差。考虑到Z轴和主传动的布局 非常近,结合近年来市场对大扭矩产品的倾向性,仍然更 优先于选择滑动导轨。随着贴塑基体和添加材料的性能逐 步提高以及我公司刮研技术的改进和优化,导轨副接触率 显著提高,塑面含油量比以往有着更高的数量和稳定性, 润滑效果优异;目前铸铁-贴塑导轨的运行速度已经远高 于以往,在我公司高速龙门产品样机试验中可以完全满足 快移速度20m/min的要求。

(2) 主传动部件速度提升的方案

国内龙门产品大都仍然采用的是传统的斜齿轮箱变速 经花键轴的传动方式。斜齿轮作为传动单元,不仅有振动 和噪声大的缺点,而且增加了转动惯量,难以大幅提高主 轴转速。行星齿轮箱相对于传统的惰轮齿轮箱设计,有着 明显的优势。由于四个行星轮可以均分动力, 在设计上可 以节省空间使得齿轮箱外形紧凑。四组可同时啮合的带螺 旋齿的行星齿轮保证了高速运转下的低噪音、低振动。

近年来, 高刚性碳纤维联轴器逐渐进入主传动结构应 用领域。碳纤维联轴器对交变负载不敏感, 瞬间惯量远低 于花键轴;而且可以补偿轴向、径向偏移量,反作用力 低,可以实现零背隙传递扭矩,扭矩刚度高,我公司产品 经过多次项目应用,已经完全可以用碳纤维高刚性联轴器 替代花键轴。

国内龙门产品主轴轴承多采用以工作载荷为目标设计参 数的角接触球轴承。这种轴承在4500r/min以下工作,只 要控制好润滑脂的填充量,是可以满足工作要求的。但如要 进一步提高转速,钢球离心力作用在轴承外圈产生高温,会 显著降低轴承寿命。事实上, 高速工作时, 主轴旋转所产生 的离心力远大于加工时滚动体所受到的切削力。因此,高速 主轴轴承的主要设计参数应该是转速而不是切削力, 陶瓷球 轴承更适合这种工况。其氮化硅材料SI3N4具有硬度高、耐 高温、热胀系数小等一系列优良特性,可使其离心力减少 40%,纵弹性系数提高50%;轴承刚度非常高,摩擦力矩 和温升更小,在同等温升条件下可以获得更高的转速。

自然冷却、油脂润滑适用的转速较低,给主轴转速的进 一步提高带来了困难。 主轴高速运动产生热变形,严重的 会导致主轴系统无法正常运转以致失效。通常采用的方法 是用封闭的油路来构成"油-水热交换系统"加以散热和对 主轴箱体的冷却。对滚动轴承的润滑常采用下列方式,即 连续的油脂润滑、油雾或油气润滑以及喷油润滑。油脂润

滑技术成熟,适用的转速上限可达到6000r/min。由于环 境污染,油雾润滑越来越多地被油气润滑所代替。喷油润 滑所能达到的主轴转速是最高的,其DN值为2.5×106mmr /min, 但需配备附加的供油设备。

此外, 高速龙门铣应切实提高刀具夹持可靠性, 并考 虑高速主轴和刀具的动平衡。实验表明, 当主轴转速超过 5000r/min时, 离心力将使锥孔外径扩张, 主轴与刀具的 接触面积显著缩小,从而降低了刀柄的接触刚度。提高刀 具拉紧力是有效的改进方式;流体压力夹紧方式的夹紧力 随着主轴转速的提高而自动增大,效果更为显著。同时, 必须对刀夹和刀具的旋转总成充分地进行动平衡,以消除 有害的动态不平衡力,避免高速下的颤抖和振动。

三、高速动台式龙门镗铣床的应用

1.高速龙门在模具生产中的应用

在现代模具生产中, 随着对零件美观度要求的提高, 模 具结构也日趋复杂, 自由曲面所占比例不断增加, 因而大 型模具采用龙门设备进行高速切削加工应用越来越广泛。

采用高速切削可以取代电加工和磨削抛光工序。对于 大型模具零件,利用高速动台式龙门镗铣床,可一次装夹 完成多工步加工。这改变了高淬硬钢模具件(45~65 HRC) 传统加工路线: 退火-铣削(电火花)-热处理-磨削(手 工打磨-抛光),甚至可用高速铣削加工替代原来的全部 工序。大量生产实践表明,应用高速切削,可节省约80% 的模具手工研磨时间,模具表面加工精度可达 μ m级别, 刀具切削效率可提高5倍以上。

为满足模具高速加工的需要, 机床的驱动系统应具有 下列特性:

(1)高进给速度:研究表明,对于小直径刀具,提高转 速和每齿进给量有利于降低刀具磨损。 目前常用的进给速 度范围为15~20m/min:

(2)高加速度:复杂曲面廓形的高速铣削要求驱动系统具 有良好的加、减速特性,驱动器必须能够提供 $0.8 \sim 5 \text{m}/\text{s}^2$ 的加速度。

为此,我们采用全闭环位置伺服控制高精度精密滚珠 丝杠。由于高速切削加工时离心力和振动的影响,我们为 主轴锥孔和刀具设计了很高的拉紧力,并确保其装夹重复 定位精度,以及高速动平衡的可靠性。

应用高速切削技术制造模具切削效率高、加工精度高、 表面质量好,因此可以显著缩短后加工如磨削、人工后加工 和取样检验辅助工时等许多优点。通过引进和应用高速龙门 铣削加工设备,可以极大推动新能源汽车模具制造的发展。

2.高速龙门在高端机床零件加工中的应用

高端机床作为工业母机,其导轨安装面有着严苛的要 求。加工精度决定着产品性能,用简单、高效的工艺流程 加工出高精度的导轨面,可以大幅提高机床性价比。沈机 集团对产品导轨的精加工一般是采用导轨磨床执行的, 在 达到高精度的同时, 也导致产品线导轨磨床长期满负荷工 作。科堡导轨磨床可以加工的零件规格为2800mm, 随着 产品规格的不断扩大,导轨磨将不能满足工艺需要。高速 龙门铣加工零件范围大,可一次定位加工导轨正侧面,能 够保证工件的垂直度要求,而且加工效率高。

目前公司产品的床身、立柱、横梁等零件的导轨设计 精度通常为直线度O.008 mm / 1000mm, 垂直度0.01。 为达到设计要求,工艺流程一般采用粗侧-时效-精侧-导 轨磨,以及后续的钻、镗、铣等工序,加工效率低、制造 周期长,其中高精度导轨均需要在科堡导轨磨上进行加 工。为了能够减轻导轨磨床的工作量,缩短生产周期,节 约生产成本, 充分发挥自主研发数控龙门铣设备的优势, 我们经过详细分析后,在满足设计和装配要求的情况下, 开展以动台式高速龙门精铣代替磨削的应用研究。

以我公司某型在制产品的立柱大件为例,该大件导轨 原来采取导轨磨床精加工两处阶梯导轨面, 现采取高速精 铣替代磨削方案。试件采用了粗铣-人工时效-精铣的加 工方法,其中精铣采用我公司高速动台式龙门镗铣床产品 GMC2040XX进行加工。

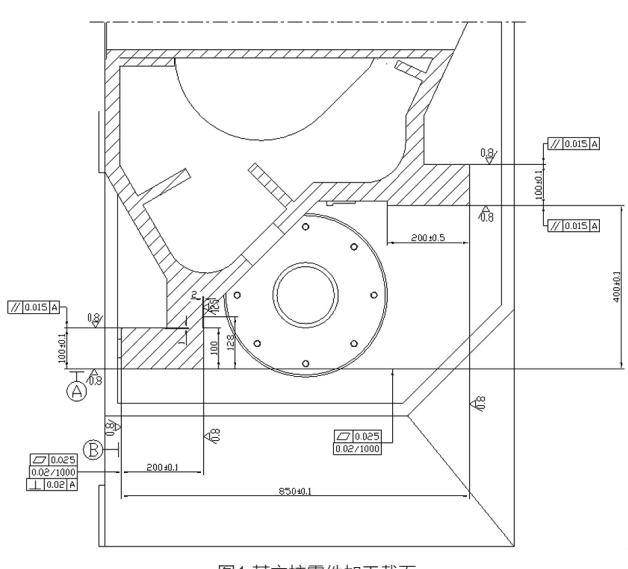


图1某立柱零件加工截面

切削参数: 进给速度v=250 mm/min,转速 n=800 r/min, 切深t=0.04 mm

导轨正侧面采用数控龙门立主轴和直角头分别进行加 工;考虑到动台式数控龙门铣床运动部件惯量更小,工作 台的进给精度较高,且为了避免Y轴横梁重心下垂影响,

采取X轴工作台进给的方式沿工件长度方向加工。为提高 导轨表面粗糙度,刀具采用硬质合金铣刀。

理论研究表明影响粗糙度因素有很多,包括粗加工后 残留面积的高度、鳞刺、切削变形、刀具磨损等方面。此 外,切削速度和进给量等切削用量对加工表面的粗糙度有 重要影响。动台式高速龙门铣的X进给轴20m/min的快移 移动能力、6000r/min的高主轴转速非常适合这种工况。

在切削实验中, 随着切削线速度的增加, 表面粗糙度明 显降低。这是因为随着速度的增加,切削力有较大的下降, 从而导致表面粗糙度迅速的下降。在低速工况下,由于刀具 切削刃的挤压与摩擦易产生较大塑性变形,积屑及鳞刺,从 而导致表面粗糙度增大。提高切削速度可以使积屑瘤和鳞刺 减小从而降低表面粗糙度: 但有一定限度, 因为任何刀具的 刃口圆弧半径不可能为零。如果维持进给速度不变, 随着主 轴转速的提高每齿进给量也变小,表面粗糙度下降的更快。

在实验中我们发现,切削线速度在500~700m/min, 每齿进给量选择0.02~0.04m左右,工件的表面粗糙度比较 好。对于铸铁材料零件来讲,兼顾效率与质量要求,可以设 定切深为0.04mm。当 $f_z>0.1$ mm时表面质量显著变差。主要 是由于每齿进给量增加,会导致切屑体积的增加,导致作用 在刀尖上的切削力的增加,从而使得表面粗糙度变大。

综上,从我公司采用高速龙门铣削代替磨削的实测结 果来看,其加工的零件几何精度略高于导轨磨,完全满足 设计要求;工件重要加工面的轮廓算术平均偏差Ra粗糙度 略低; 虽然Ra<1.6, 但是很难接近0.8的水准, 总体也可 以满足产品性能和零件装配需要。以铣代磨工艺可以加快 产品制造周期,降低生产加工成本和关键设备占用,其应 用前景十分广阔。

四、结束语

随着国家工业水平的全方位提升,各行业对于加工效率 的提高也越来越关注。高速龙门式镗铣床作为一种大型数 控设备,在新能源、轨道交通、航空航天等行业得到了广 泛应用。高速加工能有效地提高生产率、缩短切削时间和 产品的制造周期:另一方面,高速加工还具有许多特殊的 优点,如切削力小、工件温升和热变形小等等;此外,对 一些常规加工中难以解决的某些特殊材料如铜、铝、钛合 金材料、纤维增强塑材等的高效加工问题也能加以解决。

高速龙门镗铣床和普通龙门铣相比可提高生产率三至 四倍,并能使工件获得很高的加工精度和表面质量。目前 我国数控龙门镗铣床的主轴转速和进给速度仍然可以进一 步提高,如何改进结构使其更适应于高速加工的要求,是 机床制造商需要深入研究的问题。□

·种箱体类零件精镗孔专用机床的研发

沈阳机床(集团)有限责任公司 郭鑫

摘要: 大型箱体类零件深孔精镗加工受加工设备精度影响和工艺方法制约, 很难保证被加工孔系 的精度要求。本文针对机床及同类重点行业的箱体类零件孔系同轴度加工质量改善问题,研发了一种专 机机床,在其设计制造过程中采用正向设计方法,攻克了加长主轴、高刚性导轨设计、对称结构设计等 多项技术。精镗孔专机独特的深孔加工能力能够解决制约国内机床及同类重点领域发展的"卡脖子"问 题, 具有良好的应用前景。

机床作为"工业母机"被誉为"装备的装备",是制 造业升级发展的核心装备基础,直接关乎制造业发展能力 和水平,具有极其重要的战略地位。根据目前制造业市场 调研情况, 传统的中低端机床已不能满足高端零件加工的 需求,尤其是能源、军工、航空航天等重点行业对加工设 备需求越来越趋向于高精、高效化,特别是数控卧式铣镗 床方面,对其加工精度要求越来越高。

卧式铣镗床加工精度主要在于主轴精度,影响主轴加 工精度的关键零件除主轴组自身质量精度外, 主轴箱主轴 孔加工精度直接影响主轴的安装精度。目前,国产机床主 轴箱的深孔镗削主要采用直进式或回转式加工, 受机床精 度和加工方法的制约,深孔精加工一直是制约机加设备高 端发展的"卡脖子"问题,高端产品零件的高精加工大多 依赖进口机床设备。

为打破这一困境,沈阳机床针对制造业关键"卡脖 子"问题和未来发展高端机床产品的市场需求,研制了主 轴箱精镗孔专机。专机主轴悬伸达1.4m, 可有效解决深镗 孔精加工问题,不仅解决了关键加工难题,更填补了此领 域的设备"空白",其主要技术指标处于国内领先、国际 先进水平。该机床的研制,为国产机床发展高端市场奠定 了坚实基础,为掌握相关行业制造核心技术提供了强有力 的设备支撑。

一、镗孔加工方法分析

主轴箱体的轴承孔多为镗削加工, 是整个工件加工

的最后一序,此时主轴箱体的各个表面已经精加工完 成,可以利用其他加工面作为基面进行主轴孔精镗加 工[1]。主轴箱体轴承孔系的同轴度普遍要求较高,一般 不超过0.02mm, 孔距一般在1m左右, 大型箱体孔距 将达到1.2m,加工时难度较大,目前较为常用的主要 为悬臂式镗削、回转式镗削和支撑式镗削。

1. 悬臂式镗削

悬臂镗削加工一般是在卧式镗床上进行,加工时,通 常将主轴箱体装夹在主轴进给方向,利用机床主轴的悬伸 及镗刀杆的自身长度来实现多阶孔系的加工, 其原理如图 1所示。

采用主轴及镗刀杆镗孔切削时, 刀杆会因自重变化产 生一定的挠度变形,同时镗刀杆还会随主轴的不断悬伸产 生轴线偏移, 主轴伸出行程越大, 主轴轴线偏移量就越 大, 当加工较长内孔时, 加工孔的轴线很难保证。由于主 轴不断伸出,整个刀杆系统刚性不断变差,镗削时在切削 力作用下,系统弹性变形逐渐增大,使被加工孔产生较大 的圆柱度误差。

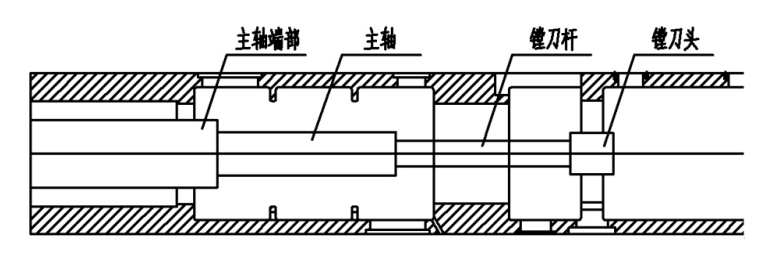


图1悬臂镗削法

这种加工方法受主轴加工范围和直线度精度影响较 大, 在孔距较小时可以实现理想的同轴度, 当前后孔距较 大时,或加工距离更大的远端孔时,主轴伸出悬垂较大, 加工精度很难保证。对于孔距较小或孔距较大、安装精度 要求不高的情况下可以采用该方法加工。但由于镗轴伸缩 行程有限,且伸出后精度下滑问题,对于深孔加工其同轴 度难以保证,加工难度较大。

2. 回转式镗削

回转式加工需要在有回转工作台的刨台式铣镗床或落 地式铣镗床上进行,该方法的优势在于不受加工孔距大小 影响, 在加工远端孔的时候为避免镗轴伸出过长导致加工 精度变差,通过工作台回转180°的方法加工远端孔。

这种加工方法避免了主轴伸出悬垂对远端孔加工精度 造成的影响,利用工作台的回转可以加工前后孔距较大的 同轴孔。但该方法受工作台的回转精度影响较大。目前能 够承载大型箱体重量的机床工作台回转精度大多在6"左 右,最好的精度可以控制在3",同时受被加工件孔距的影 响, 孔距越大, 折算到孔的同轴度精度就越低。以孔距 l=1m为例, 当回转精度达到3"时:

轴线偏移量 $\delta = l \times \tan 3$ " = 0.013mm

同轴度 $\phi = 2 \times \delta = 0.026$ mm

既折算到孔的同轴度上难以到达0.02mm,回转式加 工无法实现高精度大孔距的同轴度加工[2][3]。

3. 支撑式镗削

支撑镗削是采用支撑镗杆进行镗削的一种切削加工方 式。根据镗杆支撑方式可分为: 吊墙导向法和固定双导向 法[4][5],如图2、图3所示。通过增加镗杆辅助支撑,增强切 削刚性,提高加工质量。

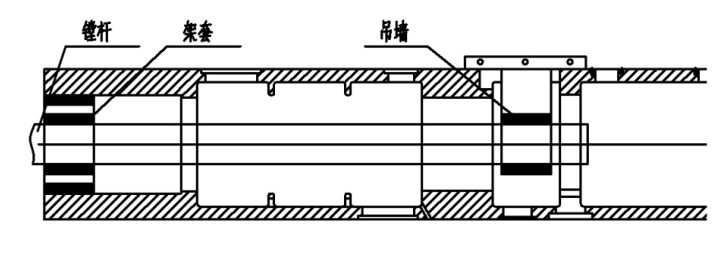


图2 吊墙导向法

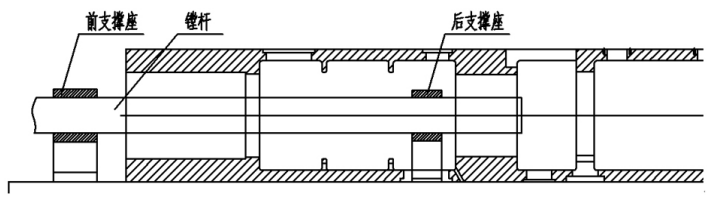


图3 固定双导向法

这种方法避免了深孔加工时悬垂误差和回转加工时回 转精度误差对加工精度造成的影响。但该方法需要安装必 要的辅助支撑具,支撑具的安装定位精度对加工效果影响 较大。由于支撑具安装较为复杂,且每次加工安装受操作 者影响较大,装配精度存在一定误差,导致零件加工一致 性较差。

综上所述, 针对零件深孔加工, 各种加工方法均有其 优劣势,其关键因素在于加工设备精度,机床精度直接影 响加工质量。通过提高机床深孔加工能力,采用简单的加 工方法,避免复杂工艺造成可靠性降低,是解决深孔加工 面临的主要问题。针对这种情况,开发一种精镗孔加工专 机,采用直进式深孔加工,可以有效解决较大孔距同轴度 加工的难题。

二、精镗孔专机介绍

精镗孔专机是采用先进制造技术而开发的用于主轴箱 镗孔加工的专机产品。具有镗削、铣削、钻削(钻、扩、 铰)、攻螺纹(刚性攻丝)、锪削等多种加工功能,可配 套带有工作台交换功能的数控回转工作台,实现工件一次 装夹便完成四个面上的孔组、孔系及平面的多工序加工, 配套刀库可使机床成为高效的自动化设备,用于自动化柔 性单元使用。精镗孔专机整机外观如图4所示。



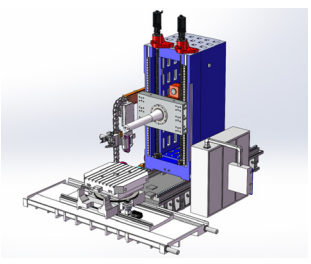


图4 精镗孔效果图及裸机图

该机床为框型单立柱、正挂箱结构, 机床配套数控回 转工作台,整体呈T字型布局形式。机床主轴箱沿立柱导 轨垂直方向移动, 立柱沿纵床身导轨移动, 数控工作台 360° 回转。机床主传动采用主轴交流伺服电机作为动力 源,实现无级传动,可实现低速大扭矩和高速恒功率切 削,满足精加工要求。主轴轴承为进口主轴精密轴承,可 保证主轴加工精度。主变速箱变速分高、低两档, 挡内无 极变速。各轴进给传动采用交流进给伺服电机带动滚珠丝 杠无级传动,滚珠丝杠为两端固定支撑,双向预拉伸,确 保丝杠进给精度和寿命。机床的X、Y、Z三轴导轨采用重 载滚柱直线导轨,摩擦系数小,快移速度大,承载能力 强,满足高效切削要求。其主要技术参数见表1。

表1 精镗孔专机主要技术参数

次1 情度10~1/0工文1/1/2×					
项目	单位	规格			
加工	主轴箱最大行程——Y轴	mm	1600		
范围	立柱最大行程——Z轴	mm	2500		
	锥孔 (7:24)		BT50		
	直径	mm	ф 200		
主	转数范围(无级)	r/min	10~1000		
轴	最大输出扭矩	N•m	1000/1200 (连续/30min)		
	主轴电机功率	kW	17		
	主轴轴向最大抗力	N	12250		
	工作台尺寸	mm	1400 × 1400		
	工作台承重	kg	4000		
工	工作台回转——B轴	mm	360° /0.001°		
作	双向定位精度	"	± 3"		
台	双向重复定位精度	"	± 2"		
	直线轴(X)运动直线度	mm	0.01		
	Y轴运动直线度	mm	0.01		
	Z轴运动直线度	mm	0.01		
垂	主轴箱沿Y轴移动和工作台沿X轴	mm	0.01/500		
直	主轴箱沿Y轴移动和立柱沿Z轴移动	mm	0.01/500		
度	工作台沿X轴移动和立柱沿Z轴移动	mm	0.01/500		
		mm	0.007 (端部)		
主轴锥孔轴线的径向跳动		mm	0.015		
			(端部300mm)		
	主轴有效长度	mm	1400		
	定位精度	mm	0.010		
	重复定位精度	mm	0.008		

三、机床先进技术应用

1. 加长主轴技术

精镗孔专机开发采用三维正向设计, 其关键部件设 计均采用模拟分析, 通过对比分析数据进行结构优化, 从而使其达到最合理的布局形式,整机刚性强、动态 特性好, 充分满足高精度切屑要求。其中最主要的是 加长主轴的开发,为满足直进式加工,主轴有效长度 1400mm, 直径200mm, 满足深孔镗削。并采用定心轴 承结构,提高径向定位刚度,全齿轮变速传动,保证大 扭矩输出。

精镗孔专机为保证加工刚性,采用固定式主轴参与进 给,但主轴悬伸较大,受重力影响会导致主轴前端出现悬 垂,即"低头"现象。如果变形尺寸过大会严重影响整机 加工质量。本文开发的专用机床主轴前端有效加工长度为 1400mm, 即主轴前端1400mm范围完全悬垂, 通过对分析 数值的对比,不断优化主轴长径比和加强轴径分布结构,进 而得到最佳的主轴结构¹⁶,如图5所示为主轴有限元分析,主 轴前端最大悬垂变形量仅为0.01mm,满足高精度同轴度孔 加工使用要求。

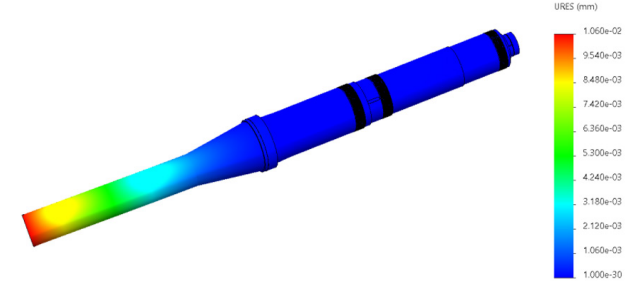


图5 主轴有限元分析

主轴前端带有1:12锥轴结构, 主轴固定采用双列圆 柱锥滚轴承, 使主轴能够承受径向和轴向的联合负载。 相比角接触球轴承,承载能力大,极限转速完全满足箱 体镗削需求。通过轴承轴向游隙调整,可使主轴具有更 好的装配同轴度,提高主轴精度保持性。主轴结构示意 图如图6所示。

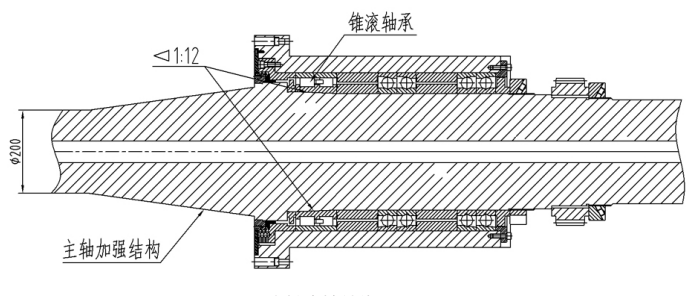


图6 主轴支撑结构

2.高刚性导轨分布技术

精镗孔专机为保障主轴箱移动稳定性, 立柱采用 大截面设计,同时采用前后四导轨结构,如图7所示。 导轨采用MR65规格重型滚柱直线导轨,左右导轨跨距 1000mm, 前后导轨跨距1880mm, 导轨跨距大, 其抗扭 倾覆力矩大, 有效增强主轴箱连接刚性。导轨上带有液压 常闭式导轨锁,与直线导轨滑块在导轨上保持运动一致 性,导轨锁安装结构紧凑,维护方便,常闭式控制保证机 床即使在断电状况下,导轨锁也能够牢牢夹紧,防止主轴 箱下沉,提高机床使用稳定性,如图8所示。

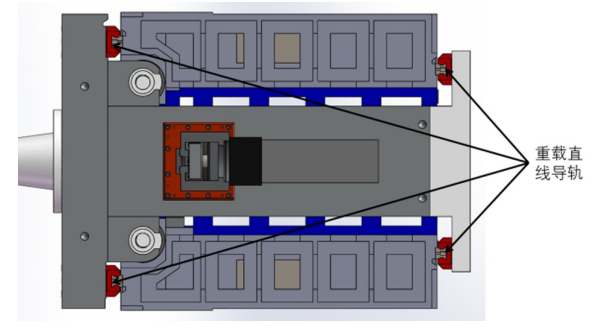
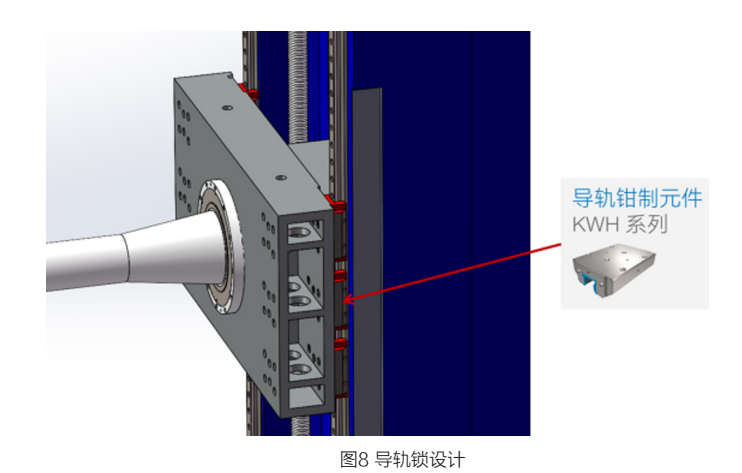


图7 主轴箱四导轨结构



3. 对称结构设计

精镗孔专机采用框型立柱与正挂箱布局形式[7],可使 主机部分结构对称,受力均匀,使机床具有更好的精度保 持性、刚性和抗载能力。主轴箱驱动采用对称双丝杠重心 驱动结构,同时两个丝杠各配以光栅尺,实现对Y轴位置 的检测,运用双驱同步控制技术,即平行轴技术——由两 个相互独立的伺服驱动两个相互独立的电机共同驱动一个 运动轴,通过数控系统保证同步和移动的正确,其结构如 图9所示。

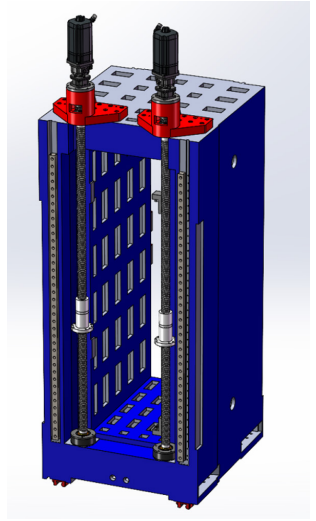


图9 正挂箱双丝杠结构

为提高丝杠驱动的精度,丝杠的上端轴承采用深沟球 轴承支撑, 而丝杠下端采用的是进口推力圆柱滚子轴承。 该轴承起到对整个丝杆及驱动部件的支撑作用, 以提高丝 杠的运行精度,并有效提升了Y轴的驱动能力,使重锤平 衡装置得以取消, 使Z轴的驱动质量大大降低, 充分提高 了Y轴及Z轴的动态特性。双丝杠结构提供了补偿主轴箱扭 转角度误差的可能,即通过龙门轴组间的微小坐标补偿差 值,实现主轴箱箱体的实际摆角变化,从而弥补箱体变形 引起的角度误差,图10为丝杠装配示意图。

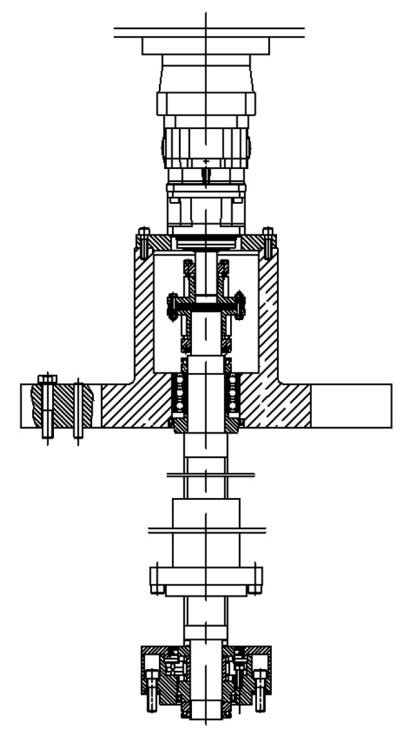


图10 立柱丝杠支撑结构

四、结语

精镗孔专机采用了整机三维设计、加长主轴设计、高 刚性导轨分布技术和对称结构技术等多项先进技术和方法 来实现其功能和各项精度,在研制过程中解决了结构布 局、参数修正、零部件优化等问题。精镗孔专机独特的深 孔加工能力和良好的精度保持性,特别适用于主轴箱等箱 体类零件深孔精镗加工, 能够解决高端机床制造等国家重 点制造领域、重点行业对此类机床的需求。该机床为加快 推进中高端产品的研发及产业化,实现高端产品满足国内 重点领域需求,起到填补国内空白、替代进口的作用,彻 底解决制约国内重点领域发展的"卡脖子"问题。□

参考文献

[1] 周萌.高速主轴箱轴承孔系同轴度改善方法研究[J].制造技术与 机床, 2020(11).

[2] 何定健,李建勋,王勇.深孔加工关键技术及发展[J].航空制造 技术, 2008(21).

[3] 姜雪梅.空心长轴深孔加工工艺研究[J].航空精密制造技术, 2011, 47(4).

[4] 尚红.滑枕体深腔精密孔加工[J].金属加工:冷加工,2008(11). [5] 张秀玲, 王常义.高精度深孔加工的工艺设计[J].机械工程师, 2007, (9).

[6] 余剑武, 桂林, 李民选, 罗嗣春, 张汉卫.数控落地铣镗床 滑枕变形有限元分析及补偿[J].湖南大学学报(自然科学版),

[7] 周萌.HMC200ru卧式五轴加工中心的研制[J].世界制造技术与 装备市场, 2020(1).

48 WMEM · 2022年第3期

2021年电加工机床行业运行情况

中国机床工具工业协会特种加工机床分会 吴国兴 卢智良 陆晓淳 王晓娟

一、机床工具行业基本 情况

根据中国机床工具工业协会公布的行业运行情况分析报告,2021年机床工具行业延续2020年下半年以来的恢复性增长态势,市场需求持续改善、进出口大幅增长、行业运行继续保持向好趋势。

根据中国机床工具工业协会统计,2021年1~12月重点联系企业累计完成营业收入同比增长26.2%,增幅比上年扩大23.2个百分点,所有分行业同比增幅均在10%以上,其中金属切削机床同比增长28.9%,金属成形机床同比增长20.6%;2021年重点联系企业在基数较低的情况下实现利润总额同比增长68.9%,亏损企业的占比降为19.8%,比上年同期收窄2.7个百分点,多数分行业实现盈利,机床行业长期以来的亏损或利润微薄情况有所改善。

2021年机床工具行业进出口额 全年均保持快速增长,进出口总额再 上新台阶,出口额为192.9亿美元, 达到历史新高,同比增长29.6%; 进口额为138.4亿美元,同比增长 20.4%,进出口额保持了顺差态势, 并呈现逐渐增大的趋势。其中,在金 属加工机床的进出口贸易中,特种加 工机床的进口额和出口额分别位列第 2位和第1位。

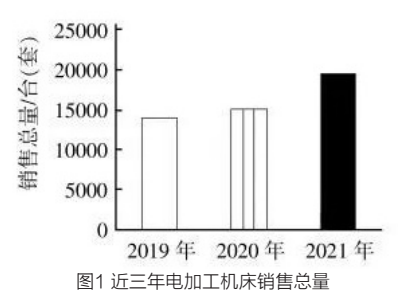
二、电加工机床行业经 营情况

1. 总体经营情况

与机床工具行业的整体运行情况一样,电加工机床行业2021年的市场形势与2020年相比有明显好转。根据中国机床工具工业协会特种加工机床分会对全国电加工机床行业22家重点骨干企业经营数据的统计分析,2021年电加工机床的销售总量同比增长27.40%、销售总额同比增长24.66%。其中,外资企业的销售情况好于行业整体情况,销售量和销售额同比增幅分别达到35.47%和34.54%,高出行业平均增幅8~10个百分点。

图1和图2是近三年电加工机床的销售情况。可看出,自2019年以来,行业整体运行情况呈现出逐步上升的趋势。随着我国抗疫成果不断扩大以及相关政策逐步落地,固定资产投资、新基建项目数量等有了明显增长;我国逐渐成为了包括制造装备在内的工业产品和日用消费品全球主要生产热点地区之一,从而刺激了市场

对电加工机床的旺盛需求,形成了近 三年来电加工机床市场行情不降反升 并逐年提高的好局面。



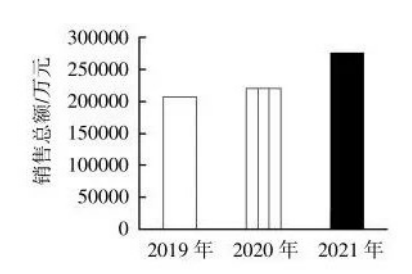


图2 近三年电加工机床销售总额

2. 分季度市场销售情况

根据22家电加工机床行业重点骨干企业统计数据,2021年一至四季度的市场行情呈现出等比例小幅下降的态势,全年的销售量和销售额分别见图3和图4。分析可知,2021年第一季度机床销售量为全年最高,同比涨幅达到了88.73%,第二、第三季度则以1.4%、1.5%的环比幅度下降,第四季度的环比降幅有所扩大,达到15%,但同比增幅仍达到9%。

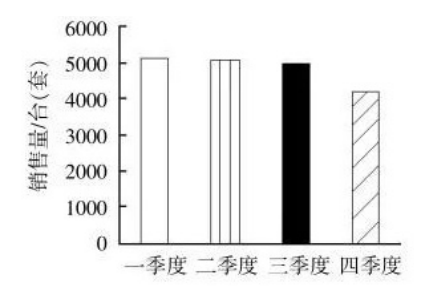


图3 2021年电加工机床销售量

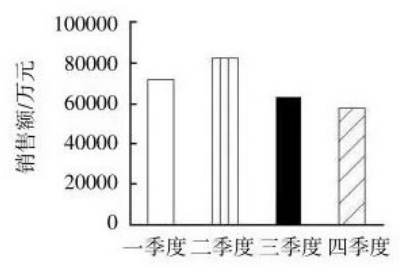


图4 2021年电加工机床销售额

2021年第一季度销售额创近年 来新高,同比增长79.82%,甚至比 业绩较好的2018年还增长了9.14%; 第二季度继续保持增长势头,环比 增幅达到15%。2021年下半年, 钢铁、有色金属、煤炭、汽油等原 材料以及铸件、薄板、丝杠导轨、 电子元器件等配套件大幅涨价且供 货紧张,加上环保、安全生产等检 查力度加大等因素,企业的产能受 到制约、利润下降,给企业生产和 营销带来一定影响, 使得第三季度 出现了较大下滑,环比降幅达到 23.09%, 第四季度环比降幅则有所 收窄(见图5和图6)。总体来讲, 2021年各季度的销售量和销售额均 较前两年有明显提高。

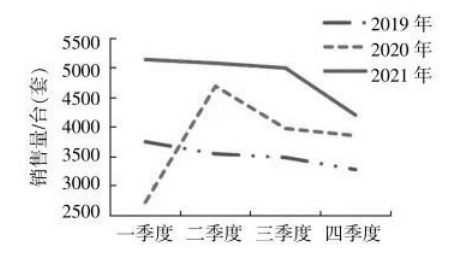
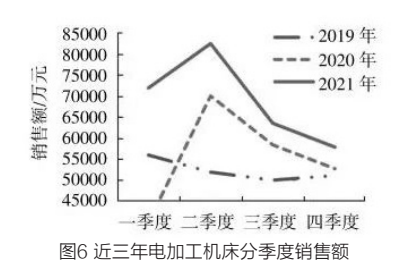


图5 近三年电加工机床分季度销售量



3. 各类产品销售情况

2021年各类电加工机床的销售量 及销售额占比分别见图7和图8。可看 出,与往年一样,2021年的电火花 线切割机床销售量接近总销售量的七 成,同比增长29.09%,销售额占总 销售额的一半还多,同比增长26%。 其中, 往复走丝电火花线切割机床的 销售量和销售额分别是单向走丝电火 花线切割机床的8.7倍和1.28倍。与 上年同期相比,往复走丝电火花线切 割机床的销售量占比上升0.24个百分 点,但销售额占比却下降2.14个百分 点,而单向走丝电火花线切割机床的 销售量和销售额占比则分别上升0.67 个百分点和2.73个百分点。这一方面 说明, 电火花线切割机床在模具及零 件加工制造业中继续发挥着不可或缺 的作用;另一方面也表明,虽然目前 往复走丝型电火花线切割机床以其高 性价比赢得了绝大多数用户的青睐, 但随着用户对机床性能要求的不断提 高,单向走丝电火花线切割机床的用 户群将慢慢扩大,与往复走丝电火花 线切割机床销售量的差距会逐渐缩 小。这也提醒行业企业,必须认真关 注往复走丝电火花线切割机床的性能 提升,尤其要注重加工质量、智能化 和自动化程度、环保及安全、可靠性 等方面的持续提高。

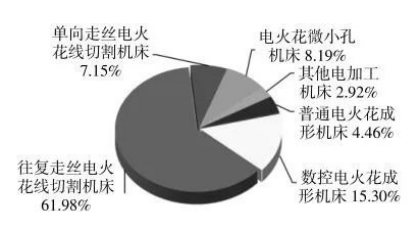


图7 各类电加工机床销售量占比

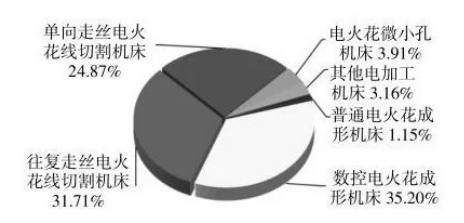


图8 各类电加工机床销售额占比

2021年电火花成形机的销量占比 为19.76%,相比于2020年约增长了 4个百分点,其中数控电火花成形机 的销售量占比维持在14%以上,普通 电火花成形机的销售量占比同比增长 了三倍多,说明电火花成形机的应用 面在扩大,高性能机床的市场需求稳 定,而普通电火花成形机则受到小微 企业的青睐。从销售额看,数控电火 花成形机仍然排名第一,占销售总额 的三分之一以上,行业企业切不可轻 视其市场地位。

2021年电火花小孔机床的销量占比同比略有下降,下降幅度约1个百分点。这一方面说明,2020年是由于熔喷布喷板加工需求火爆带来了短时间的机床销量激增;另一方面也表明,2021年的市场逐渐恢复常态,电火花小孔加工机床的市场固有需求平稳,在航空航天、模具制造、超硬材料加工等领域还有较大的市场空间。

2021年其他电加工机床的销量占比与上年基本相当,略有微小增长。 这表明电加工机床行业的细分市场逐渐清晰,面向某些特定领域的专用机床正逐步形成规模并有扩大之势,其单台平均售价接近15万元,充分体现了细分产品的价格优势。

4. 出口情况

2021年,22家电加工机床行业 重点骨干企业的电加工机床出口量和 出口额同比增幅分别达到30.56%和 36.45%。其中,外资企业的出口量 和出口额分别占出口总量和出口总额 的58%和81.78%。这表明,内资企业 与外资企业相比, 虽然在出口量方面 相差不大,但在出口机床档次上还有 很大差距。图9和图10是近三年电加 工机床的出口情况。

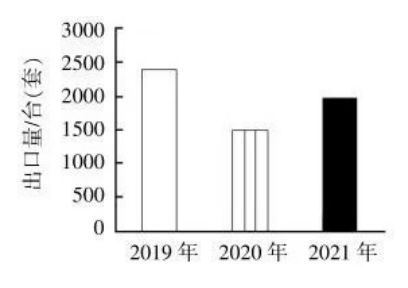


图9 近三年电加工机床出口量

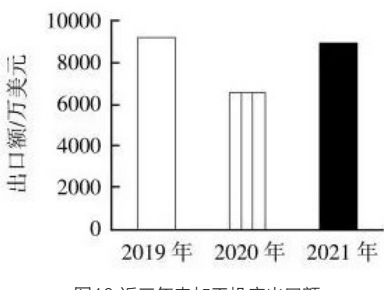


图10 近三年电加工机床出口额

自党的十九届五中全会提出构建 "双循环"相互促进的新发展格局以 来,行业企业除了进一步紧抓国内市 场外, 还积极拓展国际市场, 由此取 得了2021年出口量和出口额同比均 有两位数增幅的可喜成绩。但全行业 也必须清醒地看到,现在的出口业务 仍处于恢复阶段,尚未恢复到疫情前 的水平,还需继续努力。

三、行业运行特点

1. 市场需求增长明显,销售 业绩创近年新高

2021年, 随着我国新冠疫情防 控形势越来越好,制造领域基本全面 恢复常态,加上"以国内大循环为主 体、国内国际双循环相互促进的新发 展格局"逐渐形成,电加工机床的应 用领域也有了进一步拓展和扩大, 市 场需求逐步得到释放,增长明显。电 加工机床行业延续了2020年向好的 趋势,继续攀升,2021年产品销售 量和销售额同比均取得了超过20%增 长幅度的骄人业绩,创出了自2011 年以来行业销售业绩的新高。

2. 先扬后抑,增速逐渐减弱

2021年上半年电加工机床产品 需求旺盛,销售业绩喜人,给行业全 年的良好运行奠定了基础, 尤其是第 一季度销售量的高开, 是多年来少见 的。2021年下半年以来,国内多地 出现疫情散发、防控形势严峻复杂、 出口海运不畅、主要配套件供货不及 时、原材料价格持续居高不下,以及 部分地区"限电"等情况,对市场需 求和行业运行造成消极影响, 行业全 年的经济运行呈现了先扬后抑、前高 后平的走势。

3. 出口贸易逐渐恢复,增长 显著

在全球疫情反复、经济整体不振 的情况下,"中国制造"为世界提供 了急需的物资和装备。2021年电加 工机床出口贸易逐渐恢复,出口量和 出口额双双快速增长, 同比增幅达到 30%以上,尤其是出口额接近新冠疫 情出现前的2019年。此外,中高端 机床在电加工机床出口产品中所占的 份额也在增加。

四、思考与建议

2021年是"十四五"开局之年, 随着我国经济增长方式的转变,高质 量发展将成为电加工机床行业的重要 任务, 行业企业应思考如何破解研发 投入不足、人才缺乏、产品档次不 高、竞争力不强的局面, 让电加工技 术及装备在我国国民经济和国防事业 发展中贡献更大力量。

从国内市场需求角度看,2021 年的市场形势明显好于前两年, 甚至 好于2018年。这一方面表明国内市 场基本摆脱了疫情带来的影响,各种 需求正在逐渐释放;另一方面也显示 出,在全球疫情反复、制造业低迷的 情况下,我国似乎成为了世界工厂, 为了满足出口订单而不得不扩大产 能,从而催生了对电加工机床的旺 盛需求,形成了大多数电加工机床 制造企业在2021年上半年基本都是 满负荷运转的局面。在这种看上去 "火爆"的市场行情下,行业企业 必须保持清醒认识,不能盲目跟风 扩张,应该契合企业发展的战略规 划,在提质、降本、增效、创品牌 等方面多做文章,以增强企业的实 力和市场地位。

通过对近几年电加工机床行业配 套产业链变化的观察和分析发现,一 旦市场转好、需求旺盛、机床热销, 机床制造企业就会面临配套件紧缺、 供货不及时、价格上涨的老问题,有 些主要部件买不到货,合同供货时间 拖延半年以上,而且采购价格普遍上 涨,这对企业的正常生产和利润产生 较大的不利影响。因此,各企业在产 品的设计和生产过程中要充分考虑产 业链风险, 尤其在当今国际形势复杂 多变的大环境下,要注意防范配套件 断供、软件禁用等"卡脖子"现象, 做到有备无患。

随着脉冲电源、控制和工艺技术 的提升,新材料的不断应用以及加工 要求的持续提高, 电加工技术和设备 以其独特的优势得到了更广泛的应 用。近年来,一些企业根据工具和砂 轮行业的需求,研制并生产出了电火 花切刀机、电火花工具磨床、金刚石 砂轮成形和修整机床等细分产品,解 决了相关领域的加工难题, 创造了较 好的市场业绩。这就启发行业企业, 要关注社会新需求, 积极寻找制造业 中的痛点、难点,创新研究解决方 案,为用户提供新的专用设备,并由 此形成新的经济增长点。□

海关总署官网: 2022年版税则修订报告发布

——金属成形机床、增材制造设备等机床工具类商品税则号有变化

中国机床工具工业协会市场部

税则细分、增列及税率调整是海关每年向各行业征求 意见的例行工作,目的是解决企业在进出口过程中,遇到 产品分类不明、同一产品可用两个甚至多个税号、具有发 展前景的新产品或贸易额高的产品尚无适合税号等问题。

配合海关总署、财政部等机构进行进出口商品税则修订是中国机床工具工业协会的年度例行工作。在2022年版中国进出口商品税则修订工作中,协会组织锻压机械、特种加工机床等分会参与到相关工作,行业专家们诸多意见和建议在新版税则中得以体现。

在已发布的2022年版税则中,金属成形机床、增材制

造设备相关税则号有较大变化。现将机床工具行业相关商品税则的变化情况编辑整理如下,供行业企业参考。

一、成形机床

本次修订是在国际海关组织对成形机床六位子目进行转制的框架下完成的。主要是更加详细界定了8462品目的金属成形机床范围,明确区分了冷热加工工艺设备,并且根据技术发展和加工零件类别对税则进一步细分,与2021年版相比,累计增列了12个八位商品税则号列。

2021年税则号列	商品名称	2022年税则号列	商品名称
			加工金属的锻造、锻锤或模锻(但轧机除外)机床
	加工金属的锻造(包括模锻)或冲压机床;加工金		(包括压力机);加工金属的弯曲、折叠、矫直、
84.62	属的弯曲、折叠、矫直、矫平、剪切、冲孔或开槽	84.62	矫平、剪切、冲孔、开槽或步冲机床(包括压力
	机床; 其他加工金属或硬质合金的压力机:		机、纵剪线及定尺剪切线,但拉拔机除外);其他
			加工金属或硬质合金的压力机:
	锻造(包括模锻)或冲压机及锻锤:		-热锻设备,热模锻设备(包括压力机)及热锻锻
	一		锤:
			闭式锻造机(模锻机):
		8462.1110	数控的
		8462.1190	其他
			其他:
8462.1010	数控的	8462.1910	数控的
8462.1090	其他	8462.1990	其他
	-弯曲、折叠、矫直或矫平机床:		-用于板材的弯曲、折叠、矫直或矫平机床(包括
	THE THE PARTY I THE		折弯机):
			型材成型机:
		8462.2210	数控的
		8462.2290	其他
		8462.2300	数控折弯机
		8462.2400	数控多边折弯机
		8462.2500	数控卷板机
	数控的:		其他数控弯曲、折叠、矫直或矫平机床:
8462.2110	矫直机	8462.2610	矫直机

52 WMEM · 2022年第3期 www.cmtba.org.cn

2021年税则号列	商品名称	2022年税则号列	商品名称
8462.2190	其他	8462.2690	其他
	其他:		其他:
8462.2910	矫直机	8462.2910	矫直机
8462.2990	其他	8462.2990	其他
0102.2000	7.10	0105.5000	718
			-板材用纵剪线、定尺剪切线和其他剪切机床(不
	-剪切机床,但冲剪两用机除外:		包括压力机),但冲剪两用机除外:
			纵剪线和定尺剪切线:
		8462.3210	数控的
		8462.3290	其他
	数控的:	8462.3300	数控剪切机床
8462.3110	板带纵剪机	0402.0000	双江労 切り 切べ
8462.3120	板带横剪机		
8462.3190			
0402.3190	 其他:	8462.3900	其他
0.460.2010	兵他: 板带纵剪机	8402.3900	兵化
8462.3910			
8462.3920	板带横剪机		
8462.3990	其他		
	-冲孔或开槽机床,包括冲剪两用机:		-板材用冲孔、开槽或步冲机床(不包括压力
			机),包括冲剪两用机:
	数控的:		数控的:
	冲床:		冲床:
8462.4111	自动模式数控步冲压力机	8462.4211	自动模式数控步冲压力机
8462.4119	其他	8462.4212	其他
8462.4190	其他	8462.4290	其他
8462.4900	其他	8462.4900	其他
			-金属管道、管材、型材、空心型材和棒材的加工
			机床(非压力机):
		8462.5100	数控的
		8462.5900	其他
			-金属冷加工压力机:
			液压压力机:
		8462.6110	数控的
		8462.6190	其他
			机械压力机:
		8462.6210	数控的
		8462.6290	其他
		8462.6300	伺服压力机
		2102.0000	其他:
		8462.6910	数控的
		8462.6990	其他
		0.102.0000	/\\\\\\\\\\\\\\\\\\\\\\\\\\\\\\\\\\\\\
	-其他:		-其他:
	共世: 液压压力机:	8462.9010	
8462.9110	金属型材挤压机	8462.9090	其他
8462.9110		0402.3030	大心
0402.3130			
0.469.001.0	其他 :		
8462.9910	机械压力机		
8462.9990	其他		

注释:品目84.62用于板材的"纵剪线"是由开卷机、矫平机、纵剪机和收卷机组成的生产线;用于板材的"定尺剪切线"是由开卷机、矫平机和剪切机组成的 生产线。

二、增材制造设备

删除了原列在8477品目下橡塑加工机器中的"三维打印机",新增"增材制造设备"品目8485,并根据设备所使用的 材料以及所加工零件的材料设定了子目。

2022年第3期·WMEM | 53 www.cmtba.org.cn

2022年税则号列	商品名称
84.85	增材制造设备:
8485.1000	-用金属材料的
8485.2000	-用塑料或橡胶材料的
	-用石膏、水泥、陶瓷或玻璃材料的:
8485.3010	用玻璃材料的
8485.3020	用石膏、水泥、陶瓷材料的
	-其他:
8485.8010	用纸或纸浆的
8485.8020	用木材、软木的
8485.8090	其他
	-零件:
8485.9010	用金属材料的
8485.9020	用玻璃材料的
8485.9030	用橡胶或塑料材料的
8485.9040	用石膏、水泥、陶瓷材料的

注释:品目84.85所称"增材制造"(也称3D打印)指以数字模型为基础,将介质材料(例如,金属、塑料或陶瓷)通过连续添加、堆叠、凝结和固化形成物体。

三、工业机器人

在8428品目——"其他升降、搬运、装卸机械(例如,升降机、自动梯、输送机、缆车)"项下,增列了8428.7000 工业用机器人

四、工业用钻石

工业用钻石原税号7104.9011,替换为7104.9110。□

资讯

第十二届中国数控机床展览会(CCMT2022)停止举办的通知

尊敬的境内外展团、参展商及观众:

自CCMT2022展会于3月18日宣布延期举办以后,我们一直密切关注境内外疫情的发展,并与有关政府部门和展馆保持沟通协商,积极探讨展会延期举办方案。

鉴于目前疫情防控形势依旧复杂严峻,本土病例多点 散发的情况还时有发生,疫情走向仍存在不确定因素;境 内外物流、客流、企业生产经营也未完全恢复到疫前水 平;上海的展馆因防疫和原有下半年展会安排无法提供备 用档期,而备选的南京国际博览中心因南京对赴宁人员仍 有相应防疫管控措施,致使所能提供的档期所剩的操作周 期难以完全满足要求,也加大了展会和观众的组织以及相 关管理工作的难度,恐难以达到理想的展示效果。为积极 配合和落实国家防疫政策,防范疫情风险,切实维护境内 外参展商、观众和合作单位的利益,保障相关人员的身体 健康和安全,经认真评估和充分论证,现研究决定,原定 于2022年4月11~15日在上海新国际博览中心举办的第十二 届中国数控机床展览会(CCMT2022)将停止举办。

感谢您的理解和多年以来的支持!对于展会停止举办 对您造成的诸多不便,我们深表歉意。我们将与您保持密 切沟通,妥善安排、处理后续事宜,努力维护境内外参展 商、观众和合作单位的利益。

第十八届中国国际机床展览会(CIMT2023)将于2023年4月10—15日在北京中国国际展览中心(新馆)举办,境内外招展工作即将于近期启动。我们将全力以赴筹办好CIMT2023展览会,一如既往地为行业企业和用户提供优质的服务和展示交流平台,我们有信心在大家的通力合作下,给大家带来继CIMT2021后的又一场安全和富有成效的全球机床行业的盛会!

期待与您北京相聚!

中国机床工具工业协会 2022年6月23日

五轴机床关键动态性能的测试

英国雷尼绍公司 周汉辉

随着五轴数控机床的应用越来越广泛,如高精度模具 加工、航空叶片加工、纳米材料镜面加工等,都对机床 空间移动中的动态精度提出要求。国际标准ISO10791-6 2014就是针对包括五轴机床在内的数控加工中心的动态性 能的各个方面做出了相关检测要求。

本文就如何选用各类先进检测仪器来完成相关标准对 五轴机床的各项动态检测要求进行了探讨, 以期帮助读者 提高对五轴机器动态误差的认识,以高效、准确并可溯源 的方法来评估五轴机床的各项动态性能。

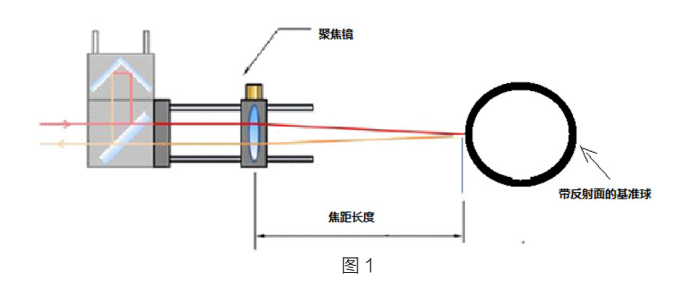
1. ISO10791-6标准简介

ISO10791-6第一版发布于1998年, 并于2014年发布 修订后的第二版,针对五轴机床的运动速度和插补精度等 与运动轴动态性能相关的参数规定了若干检验项目,包括 主轴转速的测试项K1,进给速度的测试项K2,两轴直线 插补精度的测试项K3,两轴圆弧插补精度的测试项K4。

对于有回转轴运动的五轴机床,该标准对直线轴和回 转轴共同参与的多轴插补精度,也规定了系列测试。

2. XL-80激光干涉仪测量机器主轴转速K1、直 线运动速度K2等

XL-80激光干涉仪是机床行业标准的定位精度检测系 统。该激光干涉仪基本线性测量系统如果配套使用一套选 购的聚焦镜及标准球(见图1),就可以测量机床主轴的 径向跳动,并可以根据对测试的数据进行FFT分析,得到 主轴的转动速度。



某机床的主轴以3600r/min旋转,测试主轴跳动的曲 线如图2所示。

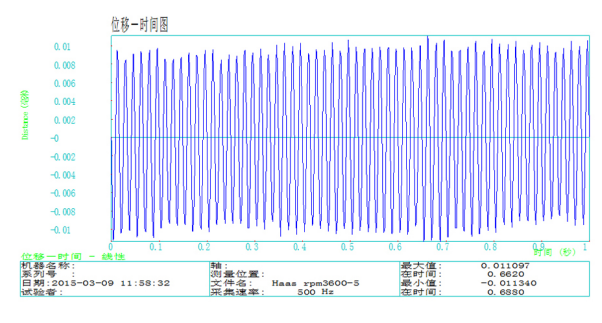
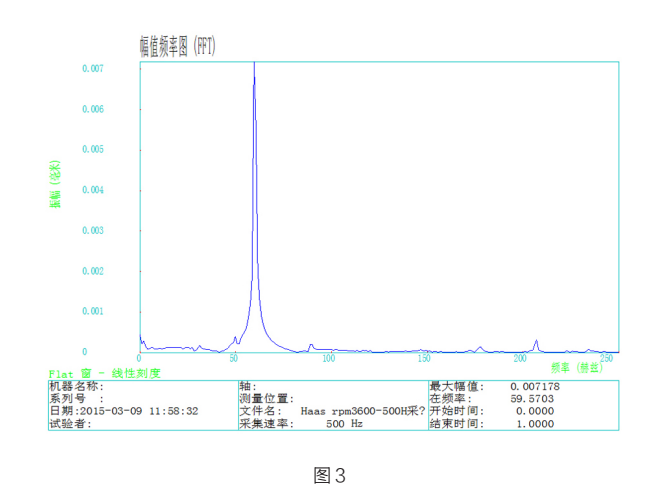


图 2

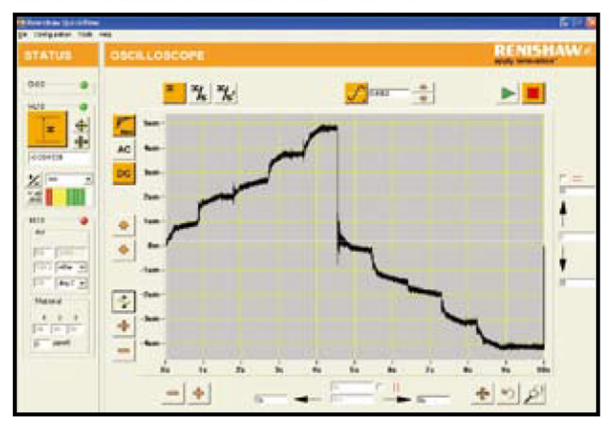
经过仪器配套的快速傅里叶(FFT)变换软件对所 测试的数据进行处理,得到图3所示的频谱分析结果, 从图 3 可见主轴转速的频谱为59.57Hz,相当于主轴转速 为59.57Hz×60 =3575 r/min 【 (3575 - 3600) / 3600 = -0.69%, 该测试结果 < ±5%的标准要求 】。



对于机床直线移动速度的测量K3, XL-80的动态测量 功能或动态示波器软件可以完全满足标准的测试要求,不

仅可以测量高达4000mm/s的直线运动速度, 还能以接近 静态的低速测量机床的低速运动的平稳性(低速爬行)。 图4显示的是单步运行及正反向换向间隙。

线性位移随时间变化的曲线 (详图)



线性位移随时间变化的曲线 正向和反向运动

图 4

3.XM-60测量插补精度(动态直线度)K3

(1) 动态直线度

自上个世纪人类开始利用数控机床进行机械加工以 来,一直对两轴直线运动的插补精度都有着一定的要求, 三轴机器的NAS试件中的菱形表面的直线度及对边的平行 度等无不体现着人们对该性能的追求。

但长久以来,检测直线运动的插补精度多半是采用实 物基准面配合百分表或千分表靠人工读数来实现,对于 早期插补精度要求不太高的应用场合, 基本上还是可以应 付。但随着数控加工精度要求越来越高, 镜面铣削等应用 的普及,以及数字化制造理念的推广,传统的方法已远无 法满足当前技术进步的需要。

随着激光干涉仪测量技术的不断普及,激光干涉仪的 非接触数字化测量的特点为当今数控机床的检测铺平了道 路。对于直线插补精度的检测,相当于动态评估机床在任 意角度方向进行直线插补的移动直线度。而在评价其动态 直线度时,需要准确知道其每个数据采集点的位置,从而 方便分析插补误差的大小及发生问题的具体位置。

(2) X-80适于增量光栅反馈系统的动态直线度检测 多年来,市场上广泛使用的是XL-80单光束激光干 涉仪,它具有配套的直线度镜组,并能在机器作直线运动 时接收触发脉冲来采集直线度数据。能让机床在某个特定 位置发出触发脉冲, 就需要机床使用的是增量光栅, 配合 TB20触发器,在其按设定间隔发出的触发脉冲控制下进 行动态直线度数据采集。TB20是与XL80激光干涉仪联合 使用的一种接口,用于对激光干涉仪采集数据进行触发的

一种方式。TB20电路将机器光栅系统输出的模拟或数字 AB正交信号, 按设定好(通过拨码设置)的比例, 每接收 N个AB正交脉冲信号就产生一个触发脉冲,该脉冲输入到 XL80的辅助I/O接口控制XL80进行数据采集。

TB20几个典型应用如:滚珠丝杠动态精度检测、光栅 或线纹尺刻线精度检测、主轴攻丝同步精度等。在本文所 描述的应用中是配合激光干涉仪直线度镜组完成动态直线 度的验证。

(3) XM-60多光束激光干涉仪适于任意光栅的动态 直线度检测

上述 X L - 8 0 配合 T B 2 0 的方法仅对使用数控机 床采用增量光栅时有效,对于部分使用绝对编码器的机器 来说就无法实现动态直线度的检测。另外,对于机器较长 行程的直线度或精度较高要求的动态直线度测量来说,环 境气流的干扰是一个很难躲过去的问题, 只对机器导轨运 动一次来测量动态直线度数据,其直线度重复性不太容易 得到保证。

多年来, 高精度镜面加工雕铣机及五轴加工机器上采 用绝对编码的直线光栅越来越多, XM-60多光束激 光干涉仪具备对任意光栅的动态直线度(又称动态数据 拟合 D D F) 检测的功能就填补了该项目检测的空白。 CARTO Capture (数据采集)应用程序内置动态数据 拟合功能,允许XM-60用户动态采集直线度测量值。在 CARTO Capture中重新计算测试数据,以减少数据突跳奇 点。这种改进方法具有更强的抗环境干扰能力,而且能够 提供质量更高的长轴直线度误差数据。

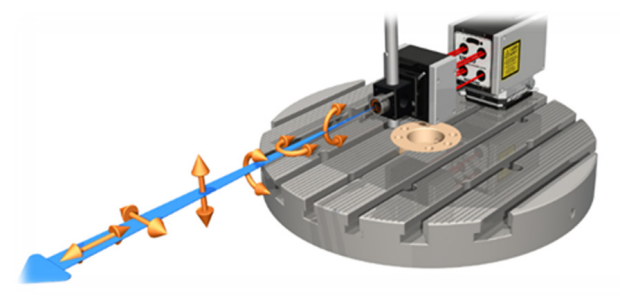


图 5

笔者曾有机会利用 X M - 6 0 多光束激光干涉仪对一 台200mm行程的高精度导轨进行动态直线度的测量, 为消除环境气流、机械振动等外在因素对高精度动态直线 度测量的干扰,将XM-60激光干涉仪的往复测量次数 设置为15次,机器在测试过程中实际的数据采集的不确 定度达到0.08um,实测动态直线度为0.3um。

4. 两直线轴圆弧插补精度K 4

标准中推荐两直线轴圆弧插补精度的方法之一是QC20

56 | WMEM · 2022年第3期 www.cmtba.org.cn 球杆仪,它是Renishaw(雷尼绍)公司基于蓝牙无线技术的 无线球杆仪,可以完全符合ISO标准要求,对两直线轴的 圆弧插补精度进行评估。它还具有新的部分圆弧测试功 能, 其测试结果可以用作新的"空间精度分析"。



球杆仪产品自从问世以来,经过不断的技术迭代、更 新,现在的QC20球杆仪拥有最新的蓝牙技术,直接实现传 感器与电脑的通讯,不仅仅使测量方便,而且安全性大大提 高;还具备故障诊断、误差分析的功能,方便用户解决分析 机床的问题,是数控机床维修人员的"听诊器"。全新的设 计让三轴机床的直线轴插补的空间精度检测能够在一次安装 下就可快速完成,极大地方便了机床检测。

5.直线轴与回转轴插补精度

大家都知道五轴加工精度还有更为复杂的刀尖跟随能 力需要评定的问题需要解决。有些五轴机床的制造商或用 户采用标准球配合千分表或百分表来监测RTCP刀尖跟随 能力,但由于普通千分表的零敏度和人工读数的问题,该 类检测手段无法按ISO 10791-6标准要求出具五轴机床刀 尖跟随能力的检测报告。

数控系统种类	TCP 功能	开启	关闭
Fanuc 30 系列	Tool Centre Point (TCP)	G43.4*	G49
Siemens 840D	TRAORI	TRAORI**	TRAFOOF
Mazak Matrix 2	Tool Tip Point Control (TTPC)	G43.4***	G49

雷尼绍全新推出一款用于QC20-W球杆仪的循迹软 件 —Ballbar Trace. 它是基于时间的数据采集软件包,配 合QC20-W球杆仪可用于按标准验证数控机床的综合性 能。新软件可供现有QC20-W用户免费使用,该软件扩展 了QC20-W的应用范围,包括依据ISO 10791-6标准执行

静态监控和数据采集,同时还可简化执行测试时的系统设 置。伴随球杆仪循迹软件的发布, 雷尼绍同时发布新版本 的XCal-View数据分析软件,以便提供测试如图7所示的 测试报告的功能。

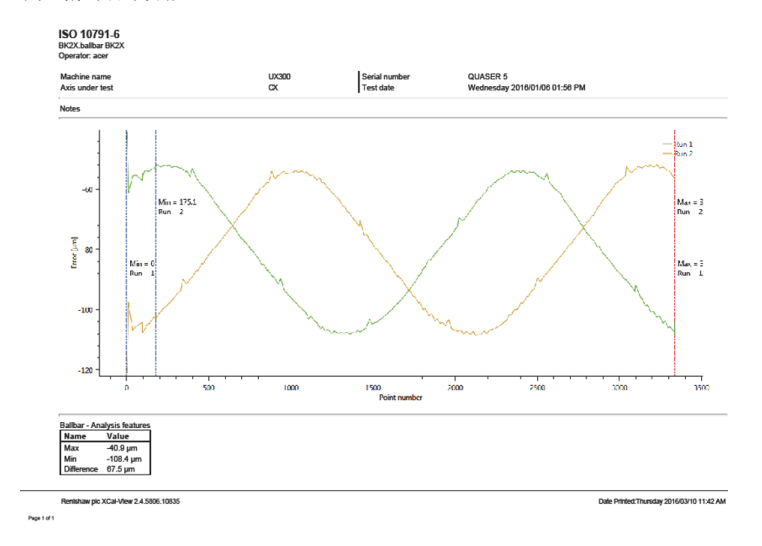
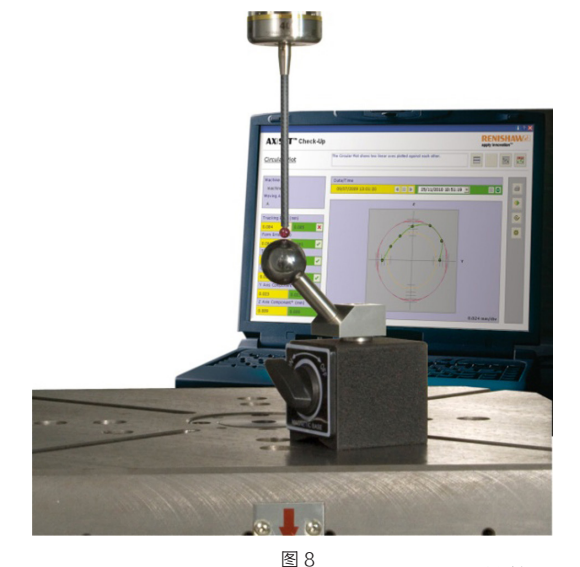


图 7

如果按ISO10931-6标准测试的刀尖跟随误差偏大,除 建议使用雷尼绍的XR20对回转轴角度分度精度进行测量 与补偿外,还需利用雷尼绍AxisetCheckup轴心线检测工 具来检测调整机床回转轴的轴心线误差。雷尼绍的AxiSet Check-Up(回转轴心线检查工具)通过自动测头测量程 序,从标准球上采集性能数据,进而提供准确、可重复的 测试结果,同时包含简单而有效的数据分析。所有测试均 使用雷尼绍现有的主轴安装式触发测头(大多数多轴机床 的标准配置,参见图8)来执行,并通过AxiSet Check-Up随附的机床特定宏程序软件创建测头测量程序。



(下转第63页)

车桥专用机床的工艺设计与装备应用

沈阳机床(集团)有限责任公司 孙雪娜 程中文 郑志强

一、前言

近几十年来,汽车行业在我国得到了突飞猛进的发 展,那么汽车各个零件的加工制造自然而然也在不断进 步、不断完善。车桥作为汽车最关键的零部件之一,其加 工制造在国内已经有了比较固定的加工方案,各个制造厂 家基本上形成了专业化、系列化、批量化生产的局面。但 是产品一直在更新,再加上效率需要不断提升等因素,导 致加工设备和加工方案也需要不断创新或改讲。

为了适应产品的快速更新换代,针对国内载重汽车 市场需求增大和部分重点客户对车桥加工设备以及加工 方案的新思路和新要求,我们成立专门技术工作组,与 用户进行新机床的方案研究与论证,对设备的结构、功 能、进给速度、自动上下料、不同规格零件共线加工、 螺纹断屑、双主轴同步、刀具管理、断刀报警、加工 参数的提升,效率、精度的提高等方面进行了论证及研 究。在原有设备基础上,不断对比,研讨各项可改进的 技术参数,最后根据加工方案、零件加工特点及要求, 自动化加工要求等,制定了产品设计方案。方案体现了 加工时受力均匀、抗震的要求,输出扭矩及功率满足快

速加工需要,改进防护外置铜条易磨损问题,改为内置 式结构;设计了前面和上部同时满足上、下料的防护结 构等一些新技术、新结构。最终设计出的专机产品满足 用户提出的17项要求,在国内处于领先水平。该产品 提升了我厂的市场化竞争能力,击败国内外众多竞争对 手,成功中标数十台专用设备,实现销售收入近5000万 元。下面针对此车桥专用机床的设计和应用,为大家进 行一一的介绍:

二、车桥加工方案的制定

工艺方案是决定项目的关键,由于工件的特性属于薄 壁细长轴,长径比在12:1~20:1之间,同时工件不平衡,加 工时中间无法支撑,加工容易振刀,转速受限,因此制定 了共3序车削的加工方案,主轴速度由最初的250r/min,提 升到500r/min,提高了加工效率。采用先进的装夹方式, 由前推式涨套卡具改为后拉式结构,卡具机体强度提升的 同时,作用到工件的卡紧力受力均匀,防止工件变形,同 时还研发了浮动卡紧技术, 顶持和卡紧为一体, 刚性增强 的同时,又抑制了振动的产生,从而使工件的转速得到提

资讯

中国机床工具工业协会声明

全体会员企业、各相关单位:

近日,接企业反映有人冒充我协会名义,使用假冒的 我协会公章,要求企业付费征订《2022年最新数控机床研 发设计生产新工艺新技术与国内外数控机床安全操作及故 障检修实用手册》、《2022年新型机床设计制造与零部件 优化设计及国内外标准通则实用全书》。

在此郑重声明:中国机床工具工业协会没有从事以上 书籍的修订工作,也没有通知要求会员和企业付费征订,

请大家注意不要上当受骗。

此行为属诈骗敛财行为,存在为企业带来经济损失的 风险,严重损害我协会形象。我协会将采取法律措施,追 究相关单位和个人的责任。如有单位已遭受损失,请立即 报警,并告知我协会综合办公室。

我协会综合办联系电话: 010-63345269

中国机床工具工业协会 二〇二二年六月二十七日

58 WMEM · 2022年第3期

升,针对可能出现的卡持问题而开发了具有国际领先的复 合卡紧机构。同时还进行了螺纹断屑技术的研究,试验效 果较好,该技术有效解决了加工螺纹无法断屑的行业难 题。具体的加工方案如下:

1.第1序

此工序加工车桥轴头外圆部位,设计专用夹具结构浮 动撑紧内孔, 开发拖料装置实现自动上下接料及左右运动 送料机构,实现自动无人化上料、下料、夹紧、松开,一 气呵成无缝衔接,安全可靠, 工序卡如图1所示。

工件挠度计算,切削长轴类工件时,在切削力F的作 用下,工件将产生一定弯曲。弯曲行成的挠度可按照下面 的公式进行计算:

 $a=FL^3$ / (KEJ) 公式(1)

式中, a——工件挠度, 粗车可允许a=0.1~0.4mm, 精车可取a为直径公差的1/5~1/4:

L---工件在两支撑之间的长度;

E——工件材料的弹性模量;

J——工件的惯性矩, 直径为d的工件J=0.05 d^4 ;

K——工件装夹方法系数,工件装夹在两顶尖之间 时, K=70; 工件一端装在卡盘中, 一端顶在后顶尖时, K=140: 工件一端装在卡盘中,另一端悬伸时, $K=3^{[1]}$ 。

客户车桥工件最大长度为2240mm,两支撑之间长度 按L=2200mm计算, 车桥轴头部位一般为40Cr、30Mn2 等,属于合金结构钢,其弹性模量 $E=200\sim235$ GPa,取 最小值200GPa计算, 工件直径为 φ 146mm, 工件惯性矩 $J=0.05\times146^4=2.27\times10^7$ mm⁴,此工序为两顶装夹,故工件 装夹系数K值取70, 粗车削参数按转速500r/min, 进给量 0.3mm/r, 切深2.5mm, 可计算出粗车时切削力 F_1 =2250N, 精车削时参数按转速550r/min, 进给量0.1mm/r, 切深 0.5mm, 可计算出精车时切削力F₂=198N, 单位换算后,将 以上数值代入公式(1)可得:

粗车时工件挠度 a_1 =0.075mm;

精车时工件挠度 a_2 =0.007mm;

客户工件直径公差为(+0.012,-0.025), 因此粗、 精车时工件挠度均满足加工要求,同时也说明此工序的合 理性。

2.第2序

此工序加工车桥底板外圆部位,设计专用复合卡盘, 顶尖定位浮动夹紧工件外圆,实现设计基准与工艺基准重 合,定位机构与送料、拖料机构一体化设计,增加车削刚 性、提高效率、降低震动趋势, 工序卡如图2所示。

工件挠度计算,此工序容易出现振刀情况,故而开发

复合卡盘夹紧一端,另一端继续用专用夹具结构浮动撑紧 内孔, 因此装夹系数K应取值140, 继续用公式(1)计算 挠度,由于K相较于第1序增大,所以工件挠度a减小,远 远低于限定值,更加满足工件的加工要求。

3.第3序

此工序加工轴头外圆螺纹,装夹原理同第1序,两端均 采用顶尖定位, 浮动撑紧内孔, 工序卡如图3所示。同理 计算工件挠度,均满足加工要求,证明工序的合理性、可 靠性[2]。

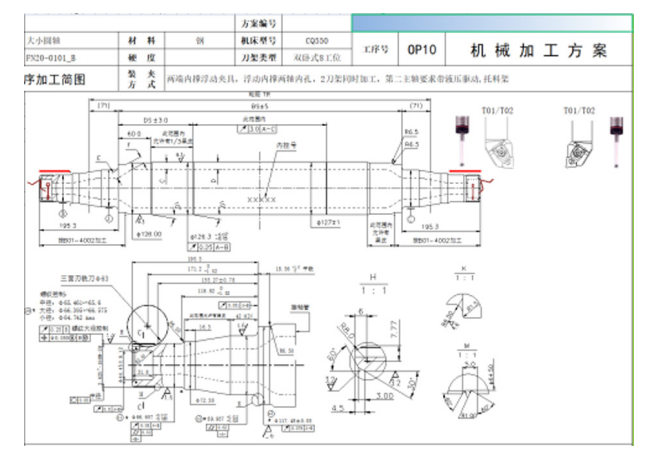


图1

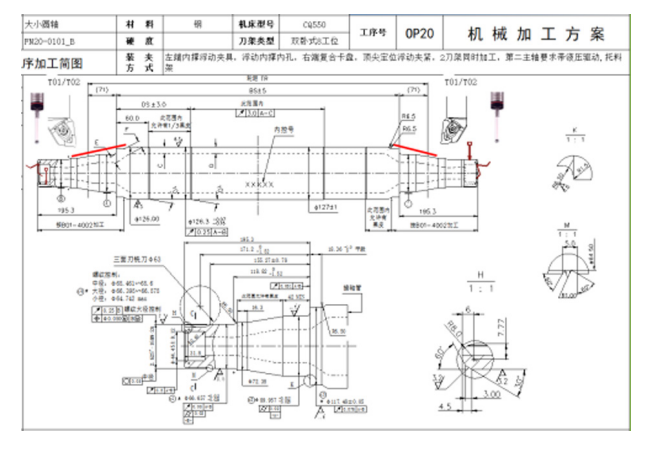


图2

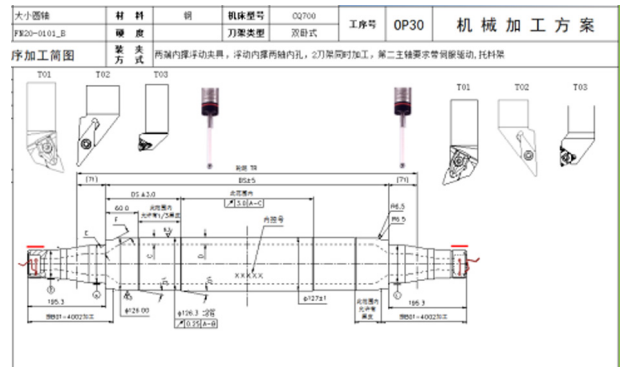


图3

三、车桥专用机床的设计

1.双主轴同步驱动结构设计

双主轴机械上采用传动比精确的同步带结构、解决了 窄V带丢转导致机械传动比不一致的问题, 为避免噪声讨 大,我们增加了同步带切槽及同步带轮排气孔结构。电气 上我们给用户提供了在加工粗孔车桥,双主轴采用转速同 步提供最大的扭矩驱动力; 当加工特殊细内孔车桥时, 我 们采用扭矩同步,副主轴配合主轴采用50%~90%区间扭 矩同步主从驱动结构,在满足扭矩的情况下降低转速,防 止打滑[3]。

2.内藏式铜条拉罩结构设计

传统拉罩结构铜条外露,铁屑容易进入铜条内导致拉 罩损坏,我们设计了内藏桥式铜条结构,相同层数的拉罩 比传统结构行程要短一些, 但是能保证加工区域内没有故 障隐患点的存在。

3.天窗和大门同时气动驱动结构设计

为满足客户提出的需要实现自动上下料和人工上下料 两种方式, 我们研制采用了上下四自动门方式, 天窗自动 门留给机械手,正面自动门留给人工,上下气动门之间我 们采用了断桥横梁作为支撑结构。

4.特殊浮动内撑夹具结构设计

(1)夹具原理介绍

因工件最大长径比达到25左右,转速要求500r/min, 双刀架切削, 扭矩大, 卡紧位置为薄壁, 我们设计了浮动 内拉式涨胎卡具,避免了因夹紧而导致工件变形,解决了 定位与夹紧孔偏心的问题,并且为了满足不同直径的多种 工件, 我们缩减夹具通用结构, 一共仅有4套不同夹具, 并且可以实现快换。专用夹具结构如图4所示。

夹具体通过止口及定位销定位,螺钉把紧安装在过 渡盘上,过渡盘以主轴短锥形式定位,通过螺钉紧固在 主轴上,4个涨紧块经过配研后能在夹具体的开口中山下 滑动自如, 芯轴也经配研后, 通过圆弧锥面与涨紧块接 触,前后滑动自如,芯轴与夹具体内孔间隙为1mm,必 需有此间隙才能实现涨块浮动夹紧, 前拉杆与芯轴通过 螺纹连接, 穿过铜隔套前后推拉, 带动芯轴前后运动, 从而实现涨块先上运动, 拉杆向后拉时, 涨紧块涨紧工 件内孔, 拉杆向前推时, 涨紧块松开。内孔相近的工 件,可以更换不同大小的涨紧块实现工件夹紧,内孔相 差较大的工件,需要更换夹具体来实现不同规格工件的 装夹[4]。

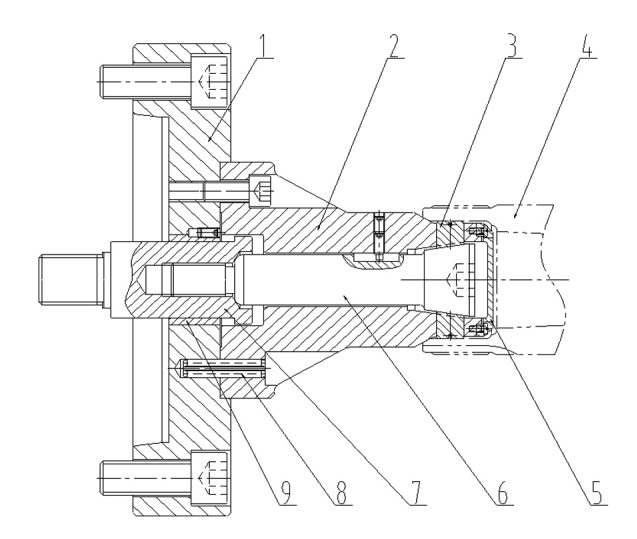


图 4 加工车桥的特殊浮动内撑专用夹具装配图。 1.过渡盘 2.夹具体 3.涨紧块 4.车桥工件 5.防尘盖 6.芯轴 7.前拉杆 8.定位销 9.铜隔套

(2)夹具受力分析及相关计算

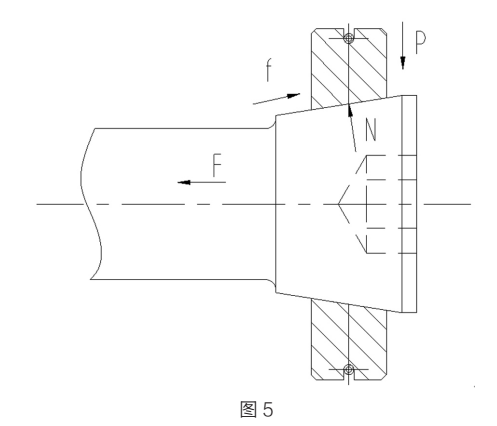
如图5所示,为涨紧块在拉力的作用下涨紧工件时的受 力分析简图, F为油缸对拉杆的拉力; P为工件对涨紧块的 反作用力,即为:涨紧块对工件的涨紧力; N为芯轴对涨 紧块的反作用力; f为芯轴与涨紧块之间的摩擦力; 根据夹 紧力的分析可知:

$$P=F/\tan (\theta + \beta)$$
 公式 (2)

式中, a 为芯轴圆锥角的一半; B 为涨紧块与芯轴圆锥 面之间的摩擦角,根据摩擦角公式可知:

$$\mu = \tan \beta$$
 公式 (3)

式中μ为芯轴与涨紧块之间的摩擦因数,两零件材 料都是合金钢,摩擦因数μ取值0.15,根据公式可算出 β=8.5°; 机床液压系统压力按2MPa计算, 此时油缸 对拉杆的拉力F为30kN,此特殊浮动内撑夹具,芯轴圆 锥角为18°, 因此 θ = 9°; 以上所得数值带入公式2, 可计算出涨紧块对工件涨紧力P=30/tan(8.5°+9°) $=95.2kN_{\odot}$



60 | WMEM · 2022年第3期 www.cmtba.org.cn

下面进行扭矩校核,为了计算方便,现将车桥工件等 效为 φ 150mm/ φ 130mm的圆柱形筒料, 长2200mm, 重 量为120kg,根据工件所受不同的切削力及夹紧力的作用 情况,以加工过程中对夹紧最不利的状态进行计算。

车削工件时, 若要保证工件对夹具不会发生相对滑 动,那么工件夹紧时所产生的摩擦力就必须大于车削时产 生的切削力, 而阻止工件相对滑动的力为涨紧块对工件施 加涨紧力后,工件与涨紧块之间产生的摩擦力f1,即:

式中, μ为涨紧块与工件之间的摩擦因数, 其值取 0.15; P为前文计算出的涨紧块的涨紧力。通过上式计算 得出f₁=0.15×95.2kN=14.28kN, 前文计算工件挠度时已 经计算出粗车产生的切削力 F_1 =2.25KN,可见切削力小于 涨紧时产生的摩擦力。

根据扭矩公式:

T=FL公式(5)

摩擦力产生的扭矩:

 $T_1 = f_1 L_1 = 14.28 \text{kN} \times 35 \text{mm} = 499.8 \text{N} \cdot \text{m}$:

切削力产生的扭矩:

 $T_2 = F_1 L_2 = 2.25 \text{kN} \times 75 \text{mm} = 168.75 \text{N} \cdot \text{m};$

摩擦力产生的扭矩大干切削力产生的扭矩, 因此, 夹 具的涨紧力是安全的,车削时不会引起工件的相对滑动。

主轴启停时,摩擦力矩也必须大于主轴启停时工件产生 的转动力矩,才能避免工件出现相对滑动。根据主轴电机参 数可知, 主轴从0加速到500r/min, 所需要的时间为1.5s。

转动力矩公式为:

 $T_{3}=I_{a}$ 公式 (6)

式中: I——工件转动惯量;

a——工件启停时的角加速度。

转动惯量[可根据下式计算:

$$I=m(R_2-r_2)/2$$
 公式 (6)

式中: m--工件质量;

R——工件最大回转半径:

r ——工件最小回转半径;

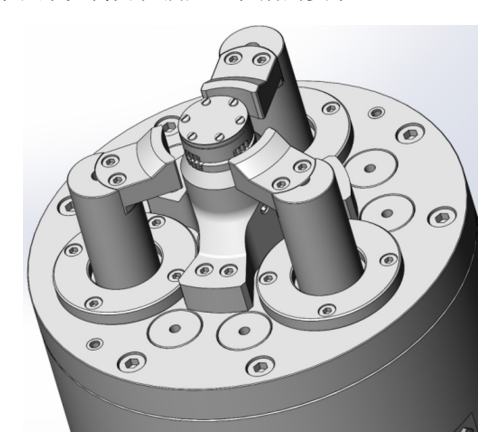
计算出转动惯量: $I=0.34 \text{kg} \cdot m^2 = 0.34 \text{N} \cdot \text{m} \cdot \text{s}^2$ 根据公式:

$$\omega = 2\pi n$$
 公式 (7)

计算出角加速度 $\alpha = 34.9 \text{r/s}^2$, 将转动惯量I和角加速度 α 代入公式6可计算出转动力矩 T_3 =11.8N·m。前文计算 出的摩擦力产生的力矩 T_1 =499.8N·m,可见工件启停时 产生的转动力矩远小于摩擦力矩, 因此在此转数下工件启 停时,不会产生打滑现象。

(3) 高精度专用复合卡盘结构设计

如图6所示,为此复合卡盘三维模型,以往加工车桥两 端均采用浮动内撑结构,用涨胎涨紧工件两端里孔,这样 设计由于工件里孔小, 涨紧块采用光面压块, 摩擦力小, 整体涨紧力小,加工重切削时,加工后工件表面会出现振 纹,表面粗糙度不好,满足不了图纸要求。本高精度复合 卡盘为了能够解决以上问题,将原来的光面压块加长,并 改为齿面压块,由于零件里孔光洁度不高,齿面的压块表 面经过磨削,不会划伤工件里孔,摩擦力大幅度提高,这 样设计在油缸拉力不变的情况下,可以大幅地提高涨紧效 果。并且采用双活塞油缸,一个油缸先动作,带动涨块, 涨紧工件,另一个油缸推动卡爪伸出,浮动夹紧工件外 径, 这样设计是在浮动内撑结构的基础上添加浮动卡爪, 提供了强劲夹持力,满足重切削的要求。



(4) 工件位置和夹紧检测结构设计

自动线的加工要求机床必需有工件位置及夹紧检测功 能,自动检测取代人工操作,由于浮动内撑夹具锥面定位处 无法检测工件是否靠紧, 所以我们利用工件测量来检测工件 距离夹具端面的距离,通过这一数值来间接反馈工件是否靠 紧定位面,这个距离会随着程序编入每一个零件的程序内, 加工时长只增加了5s, 但是实现了自动线检测功能。

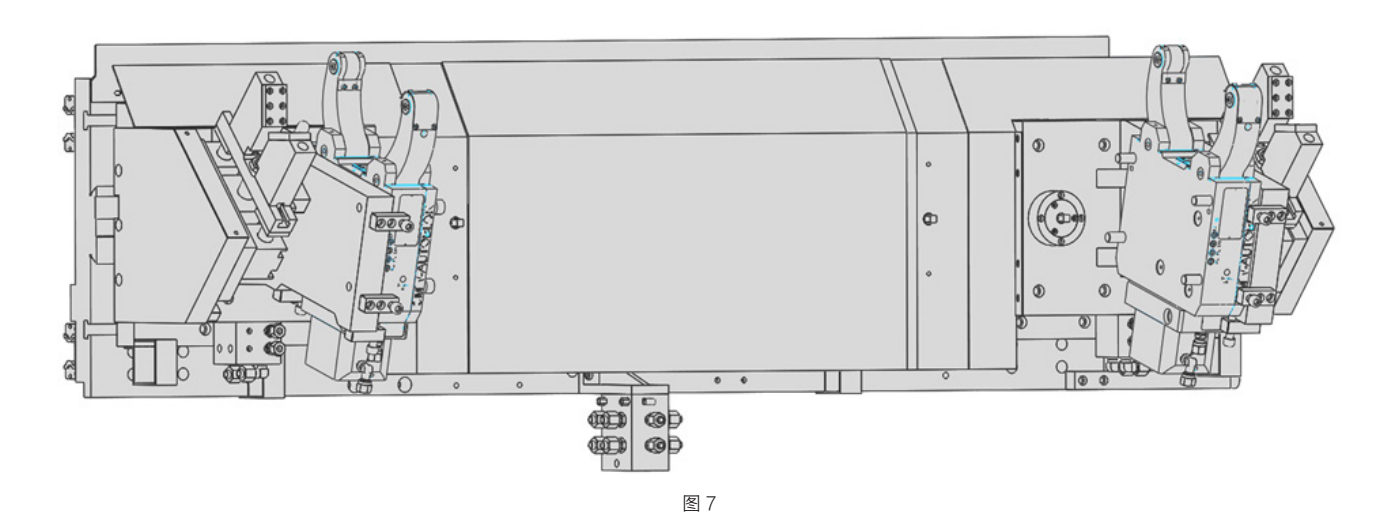
(5) 纯滚动导轨床身结构设计

45°斜角的整体床身,切削时受力更稳定,极高刚性 的床身内部筋形采用Ansys软件进行优化设计, 使机床能 承受极高的应力强度、拥有稳定的6阶频率模态,床身材 料采用高密铸铁,强度高,吸震性好。加大的排屑口设 计,确保机床切削顺畅,为满足动力二主轴频繁移动精 度问题,床身采用滚柱导轨,使得进给系统的刚度,摩 擦阻尼系数等动、静态特性都处于最佳状态,由于动、 静摩擦系数接近,避免了低速爬行现象的发生,可获得 较高的加工精度以及较高快速移动的速度, 进而提高的 生产效率。

(6) 托料架和中心架一体化结构设计

为解决加工个别类型车桥底板位时出现的震动的问 题,我们在托料架结构上增加了中心架结构,做到了托料 架、中心架一体化。图7为自动托料架三维模型,自上而 下, 共分为3层, 第一层为支架层, 包括螺母座、丝杆、 垫块、传感器等, 左、右两侧支架均可调节, 前后移动靠

油缸推动,上下移动靠电缸推动,灵活性较高,适应不同 长度工件,配合行架机械手可实现自动上、下料,完成车 桥自动线加工;第二层为过渡层,包括过渡板、油缸、直 线导轨,油缸控制托料架前后移动及相关限位装置等;第 三层为固定层,包括固定板、镶条、压板等,主要是将托 料架整体固定在机床床身之上[5]。

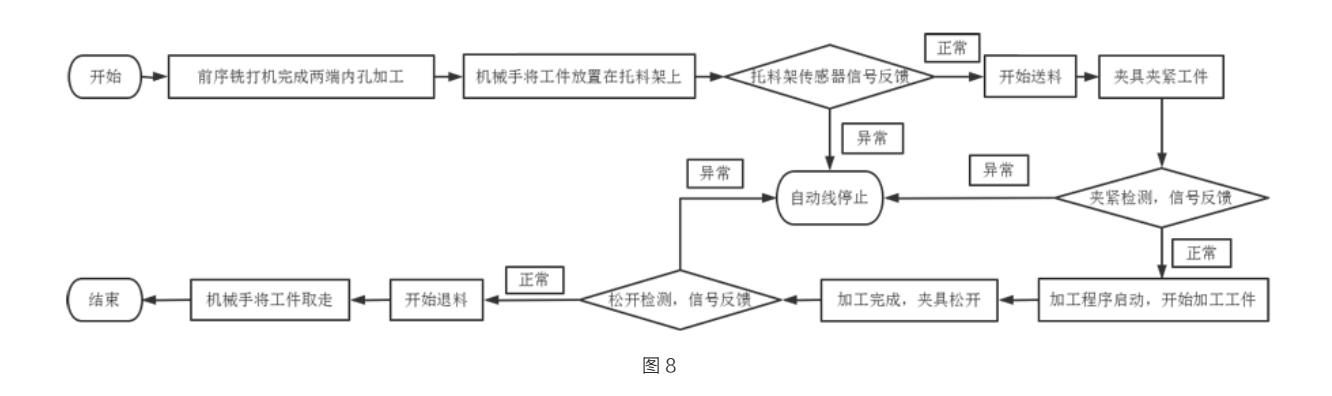


(7)四内磁环油缸结构设计

为了避免用户长短不同工件退料时行程过长浪费时 间,我们采用四内磁环油缸结构,在向前推时采用编程控 制遇到开关不停直到顶紧工件, 向后退时编程遇到开关就 停,更换不同工件时第一次编程需退到根部。

四、车桥专用机床的应用

此次车桥专机的设计研发实现了车桥的自动化加工, 图8车桥自动化加工时的流程图:



专用机床如图9所示。在机床验收过程中,客户也提出 了一些问题:

- (1) 托料架V型块与工件直接接触部位, 我们设计 安装的是聚氨酯垫,增加摩擦力,并且可以防止工件表面 划伤,客户担心聚氨酯强度不够,多次上下料后会磨损严 重,经过与客户沟通后全部换成钢垫,增加强度。
- (2)特殊浮动内撑夹具存在一定设计缺陷,夹具空拉 时存在风险,没有轴向限位,针对这一问题,我们第一时

间改进了夹具结构,增加轴向限位套,避免空拉时造成夹 具损坏。

机床经过不断的调试和参数优化后,各项精度和 功能均已满足了客户的要求。通过此次车桥专机的设 计,从开始的加工方案制定,到图纸设计,再到机床 的最终验收,均满足了客户需求,得到了客户肯定, 同时我们也积累了不少经验, 为今后的相关设计打下 一定的基础。

62 | WMEM · 2022年第3期 www.cmtba.org.cn







(a) 专机整体外观

(b) 托料架

(c)特殊浮动内撑夹具

图 9

五、结论

综上所述,我们所设计的双动力主轴双刀架车桥专机 可以高效率、高质量地完成多种车桥的自动化加工,运转 平稳,安全可靠,对于用户批量化生产,提供了有力的保

障,受到了很多客户的青睐,带动了整个车桥加工行业的 发展, 值得在车桥工件加工中广泛应用。同时我们还会对 此专机进行维护、改进, 让产品更稳定, 为客户、为公司 创造了更大的价值。□

参考文献

- [1] 王先逵.机械加工工艺手册[M].第1卷,第2版,北京:机械工业出版社.2006.12.
- [2] 贾冀青,常伟军,杨锦斌.汽车车桥类零件的工艺分析及高效加工[J].制造技术与机床,1005-2402.2013.10.043.
- [3] 李颜平.基于桥壳加工的两头同步驱动加工数控车床设计和研究[J].制造技术与机床,1005-2402,2017.09.003.
- [4] 徐发仁.气动液压机床夹具设计[M]. 上海:上海科学技术出版社.1982.
- 秦大同,谢里阳.现代机械设计手册[M].第2版,北京:化学工业出版社.2019.

上接第57页

五轴机床在市场上呈现了强劲的增长势头,采用标准 球与千分表的传统五轴机床回转轴心线的检测方式显然 已经不合时宜,而且无法自动生成测试报告。雷尼绍采 用应变片原理的以三位数起名的(如RMP600/OMP600/ MP700等)高精度机床测头,现在已经普遍在精密五轴机 床上使用,在该类机床上只需再加装一个标准球及几个价 格不高的数据采集及分析程序,就能实现回转轴轴心线误 差的测量及补偿,配合雷尼绍的球杆仪Ballbar Trace功 能,提供五轴机床中回转轴的中心线的调整,实现按目前 ISO标准推荐方法,来分析、评估回转轴的性能,通过周 期性质量监控来有效识别因机床装调超差、碰撞或磨损而 导致的故障。

6.结语

保证精密五轴机床加工精度的关键在于,除三维机床空 间精度及其动态插补精度得到良好的控制外, 能够了解回转 轴的旋转中心相对于机床线性轴的位置,特别是直线轴与回 转轴之间的动态同步精度也需要得到准确的控制和评估。

2021年12月,数控机床领域掀起了一波关于高端数控 机床关键技术、检测技术及标准化的讨论 - "高端数控 机床关键技术与标准新论坛"和"高端数控机床检测与标 准技术国际论坛"分别于17日及30日在北京成功举办。笔 者十分荣幸应邀参加了两次讨论,并分享了关于数控机床 新版标准带来的五轴机床校准的全新理念和可溯源的先进 校准工具的应用。

相信随着机器校准的全新理念的引入, 我国机器制造 业将迅速与国际标准和国家标准的要求接轨,不仅需要满 足静态几何精度的要求,同时还需要能满足机器动态精度 的测试要求。结合其它新版数控机床标准对定位精度测量 不确定度分析的要求得到进一步落实,将形成促使机器制 造人员去设法改进机器制造质量的一股动力, 从而帮助提 升我国机床制造业的整体质量控制水平。□

激光焊接技术在动力电池制造中的应用

中国汽车工程学会 赵宇龙

随着新能源汽车销量的增加,动力电池装机量也快速增长。数据显示,2021年我国新能源汽车销售352.1万辆,同比增长157.5%;动力电池装机量达到154.5GWh,同比增长142.8%。电池制造企业纷纷扩充产能,欧阳明高院士在电动汽车百人会上专家表示,到2025年我国动力电池产能将达3000GWh。在动力电池制造过程中,低成本、高质量和高效率是制造企业追求的三大目标,因此,能达到这三种目标的技术工艺和智能化装备备受到电池制造商的青睐。

动力电池从外形来看分为方形电池、软包电池和圆柱电池,从2022年2月份装机量来计分别占到89%、6%和5%。电池制造工序繁多,从最初的浆料制作到最后的电池包加工,涵盖了流程工序和离散工序。以方形电芯为例,主要工序如图1所示。

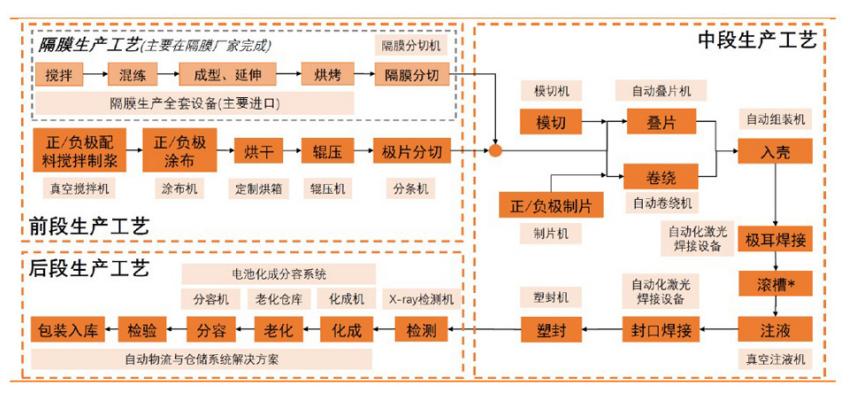


图1 电芯生产工艺流程 (来源:阳如坤《电池装备产业发展报告》)

装车前还有电芯模组和电池包的制造。随着技术的发展,在焊接工序中使用激光焊接技术的越来越多。使用激光焊接的环节主要包括:中道工序:极柱的焊接(包括极耳焊接)、转接片焊接、盖板密封焊接、注液口密封钉焊接等;后道工序:包括电芯模组时的连接片焊接,以及模组后的盖板上的防爆阀焊接等。

激光焊接是利用高能量密度的激光束作为热源的一种高效精密焊接方法, 热量集中、焊接速度快、热影响小、焊接变形小,易于实现高效率的自动化与 集成化,在动力电池制造中得到越来越广泛的应用。激光焊接设备主要由激光器、激光控制器、光束传输及聚焦系统、计算机数字控制系统(CNC)、CNC工作台、气体供给系统、循环水冷系统等组成。激光器可分为气体激光器、液体激光器和固体激光器,固体中具有代表性的包括红宝石激光器、半导体激光器、光纤激光器和YAG激光器(钇铝石榴石)等。目前,固体激光器在焊接中应用越来越普遍。

1.极柱焊接

电池盖板上的极柱如图2的红圈部分,可分为电池内部和外部部分,内部是电芯极耳与盖板极柱的焊接,外部是电池极柱通过连接片(或称转接片)焊接,形成串联、并联电路,组成电池模组。极柱即电池的正负极,正极和电池正极材料相对应采用铝材,负极采用铜材(见图2)。一般为铆压结构,铆压完成后进行满焊。焊接时,在满足设计要求的拉力和导电性能的情况下,优先选择光束质量好、能量分布均匀的光纤激光器或是复合焊激光器,可实现极柱的铝-铝结构焊接、铜-铜结构焊接稳

64 WMEM · 2022年第3期 www.cmtba.org.cn

定性,减少飞溅、讲而提升焊接良率。

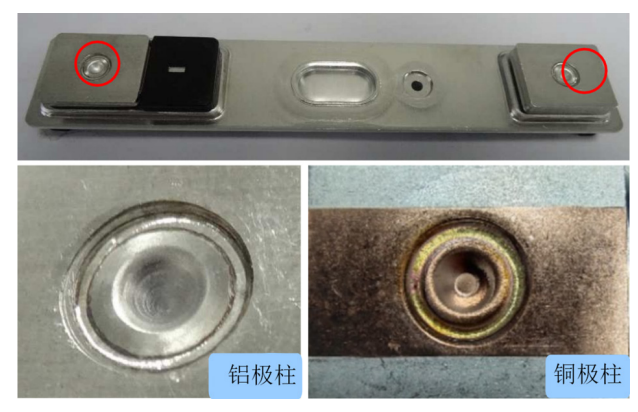
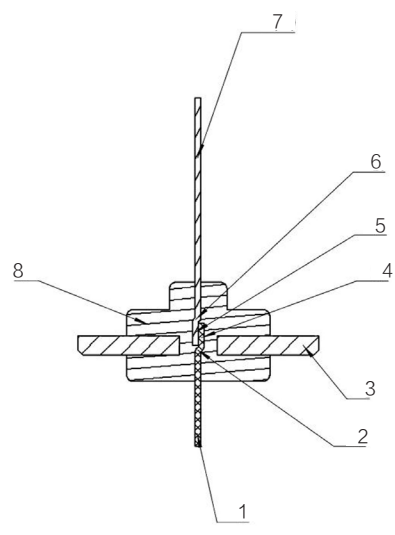


图2 电池极柱

也有负极柱采用铜铝复合材料制成,铜铝复合极柱主 要有两种加工工艺:第一种利用化工工艺合成铜铝复合材 料,这种方法制得的极柱虽然铜段和铝段连接紧密,但工 艺复杂、成本高昂并且产率低; 第二种将铜片和铝片通过 摩擦焊接形成铜铝复合极柱,但是摩擦焊接不能100%有 效焊接, 存在断裂风险。激光焊接效率高, 断裂风险低, 是替代摩擦焊接的有效方法。但是铜铝属于高反材料(对 激光的吸收率低的材料),导致激光焊接困难。为了解决 这个问题, 池州市骏智机电科技有限公司发明了一种电池 顶盖极柱激光焊接结构(见图3), 其特征在于, 极柱A段 上朝向极柱B段的一端设有A焊接部,极柱B段上朝向极柱 A段的一端设有B焊接部; AB焊接部通过激光焊接, AB 焊接面上均设有多个纳米孔,形成磨砂面,避免了光滑表 面导致的反光现象,焊接位置精准。采用平面焊接,焊接 平面的面积不受限制可以根据需求设置,增强了焊接的牢 固性。



1.极柱B段 2.B段倾斜部分 3.盖板 4.B焊接部 5.A焊接部 6.A段倾斜部分 7.极柱A段 8.塑胶件

图3 极柱激光焊接结构

业内极柱结构和焊接技术均有不少创新,通过极柱+ 激光焊接查询专利,截止到4月初,现有公开的专利文献 521条, 塔菲尔新能源科技有限公司(东莞+深圳+江苏) 以45项排在第一项。

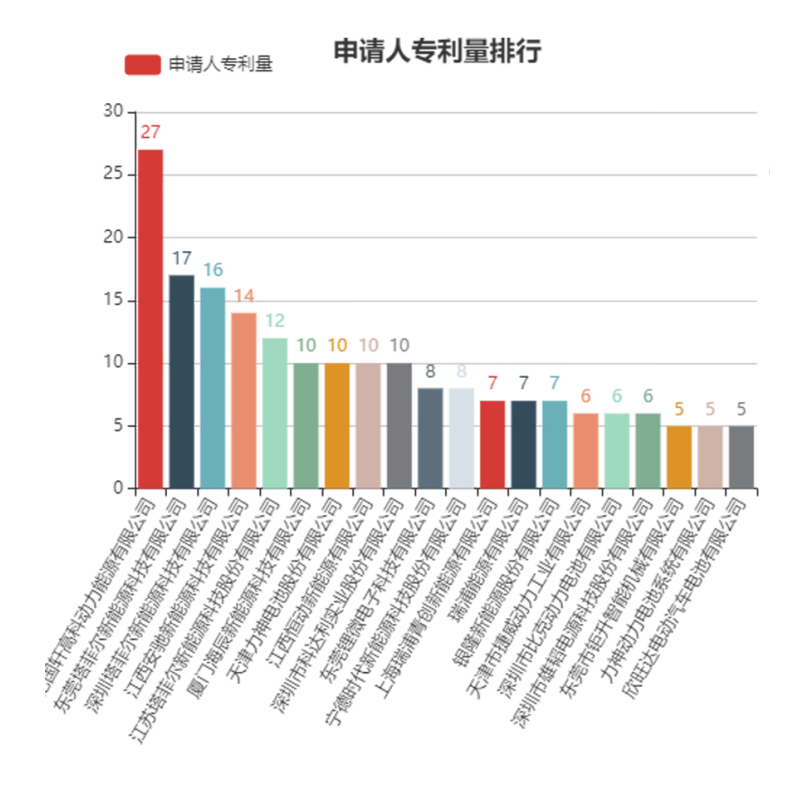


图4 极柱焊接相关专利申请人排名

2.转接片焊接

转接片的作用是连接方壳电池顶盖极柱及电池内部电 芯极耳,形成电流导通。目前的焊接方案均选用光纤激 光器,激光波段1030~1090nm,电池负极转接片为铜材 质,铜材对干该波段吸收率极低,目散热极快,因此需要 极高的功率密度才能进行深熔焊接,但在高功率焊接时又 会导致铜/铝转接片焊点处熔化,形成熔珠飞溅,如清理不 干净,会使电芯后续使用中存在短路等安全隐患。

为了解决类似问题, 塔菲尔新能源科技有限公司发 明了一种动力电池转接片结构,包括用于连接顶盖极柱 和电池极耳的转接片本体(见图5),转接片本体焊接位 置进行粗糙处理形成粗糙表面,所述粗糙表面的粗糙度 为0.025~100 µ m。转接片本体整体呈"山"型结构。 "山"型结构的两侧与电池极耳连接,"山"型结构的中 部则与顶盖极柱连接;而将转接片设置成"山"型结构, 一方面可以使转接片分别与顶盖极柱和电池极耳实现可靠 连接:另一方面,这样可以有效保证转接片的过流能力和 熔断性能,同时还可以充分利用电池内部空间,提高电池 能量密度。

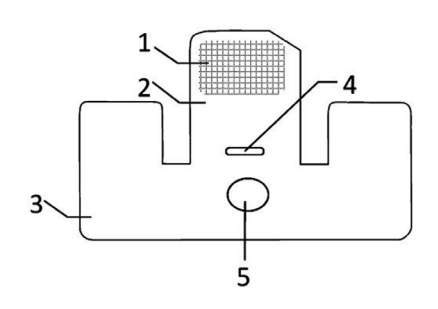


图5一种动力电池转接片结构 1. 料糙表面 2. 极柱焊接部: 3. 极耳焊接部 4. 保 险孔.5 固定孔.

联赢激光则利用蓝光技术来解决 铜材的高反问题。首先将待焊接的转 接片与电池的顶盖极柱放置在一起, 通过激光器输出蓝色激光至转接片表 面,蓝色激光照射在铜转接片表面, 由于铜材对于蓝色激光的吸收高达 50%以上,转接片迅速熔化形成深宽 比较小的液态熔池,该过程通过热传 导的方式进行,熔池极为稳定,无飞 溅产生,并且不受离焦量(焦点离作 用物质间的距离)的轻微变化影响。 但此时熔池深度较浅,不能满足转接 片和顶盖极柱内侧的有效连接。随 后, 通过激光器输出光纤激光作用于 液态熔池表面,以使在液态熔池表面 吸收光纤激光形成匙孔。此步骤在形 成液态熔池之后,再增加一束高功率 密度的光纤激光作用于液态熔池表 面,液态熔池对于光纤激光的吸收率 已经由固态的2%左右上升至20%左 右,此时只需较小的光纤功率即可形 成焊接匙孔,增加熔池深度。由于光 纤功率的降低避免了熔池的过度沸 腾,有效抑制飞溅的产生。接着通过 运动轴带动激光器的激光出射单元从 焊接轨迹起点移动至焊接轨迹终点, 随着激光束的移动,运动方向前方的 材料开始熔化,后方的熔池开始冷却 凝固,最终形成完整的一条焊缝,使 得转接片与电池的顶盖极柱焊接在一 起。

由于采用蓝色激光和光纤激光复 合焊接, 使得整体激光利用率较高,

利用较低的总功率即可完成转接片激光焊接应用,焊接过程稳定,不易出现虚 焊问题,焊接无飞溅产生,焊缝宽度可调节,保证焊缝的过流能力,大幅提高 了方壳电池的产品性能(见图6与图7的对比)。



图 6 光纤焊接



图 7 蓝光+光纤焊接

3.电池壳体(密封口)的焊接

动力电池的壳体材料主要有铝合金和不锈钢,其中采用铝合金的最多,一 般为1系和3系铝合金。不锈钢具有较好的激光焊接性能,如304不锈钢,无论使 用脉冲激光还是连续激光,都能够获得较好的焊缝外观和力学性能。铝合金密 度小,但焊接难度相对较大,使用高功率连续激光焊接时虽然解决了动力电池 焊接要求的熔深和密封性问题,但由于其连续焊接的特性,熔化金属量较多,金 属熔化后再结晶,晶体结构发生了转变, 且焊接产生的变形导致产品的尺寸发 生改变。从焊接的实际结果来看,连续焊接后焊缝都会有所凸起,导致产品尺 寸超差,需要后道工序来去除超差部分,增加制造成本。

方形电池的壳体厚度一般在1mm以下,根据容量的不同有0.6mm和0.8mm 这两种。激光焊接方形动力电池壳体主要可分为侧焊和顶焊:侧焊对电芯内部 影响较小,飞溅物不会进入壳体内部,但焊接后容易产生凸起,对后续工艺造 成影响; 顶焊由于焊接在一个平面上, 对前道工序入壳和定位要求很高, 因此 对自动化要求高。焊接飞溅的因素也很多,如材料自身的特性、材料的清洁 度等,其中主要决定因素是激光器的稳定性。用连续激光器焊接薄壳锂电池, 效率可以提升5~10倍,且外观效果和密封性更好(见图8)。现在为了追求更 快的焊接速度和更均匀的外观, 大部分公司已经开始采用复合焊和环形光斑取 代以往低速的单光纤焊接(见图9),目前大部分公司的量产线焊接速度已达 200mm/s, 而部分厂家光纤焊接的低速线, 为保证焊道稳定, 一般量产速度为 70mm/s_{\circ}



图8 売体焊缝

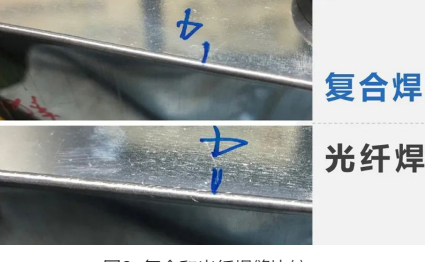


图9 复合和光纤焊缝比较

4.密封钉(电解液注入口) 焊接

密封钉(注射盖)形状通常是 圆形帽,直径为8mm,厚度约为 0.9mm, 通常使用传统的YAG脉 冲激光器焊接密封钉,激光以间隔 脉冲的方式输出, 所获得的焊缝成 形美观、一致性好,良品率高。但 脉冲模式焊接密封钉具有以下的不 足:一是焊接速度较慢,以平均输 出功率为600W的YAG激光器焊接 为例,焊接速度仅7mm/s以内;二 是YAG脉冲激光器光电转换效率较 低(3%左右), 平均输出功率为600W 的激光器电功率需要20kW, 能耗较 高; 三是激光器体积较大, 且需要 经常更换耗材。

采用光纤激光器通过连续光模式 讲行密封钉的焊接,焊接速度可达 80~120mm/s, 较YAG激光器焊接 密封钉,焊接速度提高了10倍以上, 但用连续激光焊接密封钉在焊缝收尾 位置容易出现针孔状的气孔缺陷,导 致密封钉焊接良品率低于YAG脉冲 激光焊接密封钉。为了解决上述问 题,大族激光发明了一种连续焊+脉 冲焊的方法。具体做法是将密封钉放 置于盖板的容纳槽中,并通过点焊的 方式将密封钉固定于容纳槽中;通过 第一激光沿着预设焊接轨迹的前一段 对盖板和密封钉进行焊接,第一激光 为连续光;通过第二激光沿着预设焊 接轨迹的后一段对盖板和密封钉进行 焊接,第二激光为脉冲光。该方法结 合了连续光焊接的效率优点和脉冲光 焊接的良品率优点,从而在保证密封 钉焊接生产效率的同时,提高了密封 钉焊接的良品率。第一激光和第二激 光由同一个光纤激光器产生。即开始 对圆形焊缝进行焊接时, 使光纤激光 器产生连续光模式的第一激光,并通 过该第一激光以80mm/s的焊接速度 沿预设焊接轨迹的前一段进行焊接至

前一段与后一段的相接处: 然后使光 纤激光器切换至脉冲光模式的第二激 光,并通过该第二激光以10mm/s的 焊接速度沿预设焊接轨迹的后一段继 续进行焊接至结束(见图10)。



图 10

5.连接片的焊接

将电芯串联或并联起来,连接片须满足 过电流要求、电流均匀性要求, 以及对 电芯温度的控制要求。动力电池模组 连接片多采用多层材料复合, 其中一层 材料为连接片与极柱的连接层, 保证焊 接性能。多层材料叠加用于保证连接片 的导电性。连接片基材采用多层箔材堆 叠之后加工成型,可形成柔性区域,用 于补偿动力电池电芯膨胀造成的位移, 减小对低强度界面的影响。动力电池模 组连接片一般是长方形、梯形、三角形 和阶段形等(见图11),连接表面贴 0.1mm厚镀镍铜箔,这样在焊接时表面 容易高温氧化变色, 在不破坏产品表面 镀层的情况下做耐抛光清洗,这样的产 品, 既解决了不需要整体电镀的问题, 也解决了导申率最大化的问题。



图11 连接片

由于铜和铝之间采用激光焊接后

易形成脆性化合物,无法满足使用要 求,通常采用超声波焊接外,铜和 铜、铝和铝一般均采用激光焊接。同 时,由于铜和铝传热均很快,且对激 光反射率非常高,连接片厚度相对较 大, 因此需要采用较高功率的激光器 才能够实现焊接。

传统的连接片和极柱激光焊接是 以叠焊的方式进行,激光能量穿透连 接片传输到极柱,将连接片焊接在极 柱上。这种焊接方式要求熔深大,激 光入射能量高,焊接时焊缝表面容易 出现炸点,影响电芯过流面积。且激 光深熔焊过程中容易产生熔渣,飞溅 的焊渣难以完全管控,一旦落入电芯 中将会刺破隔膜,严重损害电芯的安 全性能。为了解决类似问题,安徽环 新集团股份有限公司发明了一种激光 钎焊的方法。具体方法为:利用中间 镂空的盖板将连接片压紧在极柱表 面,且使得中间镂空位置与连接片焊 接区域对准,焊接区域采用粗糙处 理,且连接片与极柱焊接面设置有钎 料镀覆层,连接片与极柱之间的间隙 范围 < 0.1mm; 将焊接激光对连接 片的焊接区域进行移动加热, 使连接 片的焊接材料熔化完成焊接。此方法 在焊接过程中不产生焊接炸点和飞溅 焊渣,并且焊接完成后的电流导通面 积显著提高,提高电芯安全性能的同 时,降低电芯整体内阻。

6.电池防爆阀焊接

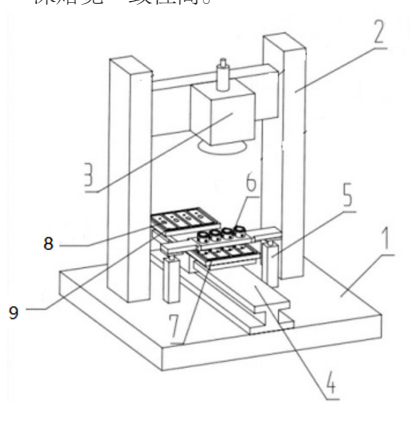
动力电池防爆阀(见图12)是 确保电池安全的重要部件, 当电池 内部温度异常,气压升高到一定压 力时, 防爆阀破裂开启排除内部气 体,避免压力过高造成爆炸,从而 保障了电池安全。防爆阀是一种纯 铝质(AL1060)圆形薄片,厚度在 0.08~0.1mm之间,铝材对激光的反 射率高,且材料很薄,激光焊接过程 中容易出现过烧穿孔现象。因而这道

工序对激光焊接工艺要求极为严格, 要求焊缝密封,严格控制热输入量, 保证焊缝的破坏压力值稳定在一定范 围内(一般在0.4~0.7MPa), 过大 或过小都会对电池的安全性造成很大 影响。



图12 电池盖板

现有技术中, 大多采用三轴运动 平台搭载准直聚焦焊接头来焊接动 力电池防爆阀, 其焊接速度大多在 50~120mm/s。但由于三轴平台本 身的运动单元质量过大,导致这种焊 接方法的速度提升空间有限。其次, 也有少量采用振镜焊接动力电池防爆 阀的方案。但由于其采用敞口式侧吹 的吹气装置,导致保护气流量及压力 分布不均匀,得到的焊缝表面粗糙、 不平整、生产良率不高。针对上述现 有技术中存在的问题,大族激光发明 了一种动力电池防爆阀焊接组件(见 图13)及焊接方法。振镜焊接组件产 生的焊接激光穿过吹气装置后,将密 封的吹气环境中的待焊接动力电池防 爆阀焊接到动力电池盖板上。其焊接 速度快、保护气流量及压力均匀、保 护气纯度高、焊缝表面平整光滑、熔 深熔宽一致性高。



1.工作台2.龙门架 3.振镜焊接组件 4.运动组件 5.升降气缸 6.吹气装置 7.料盘 8.电池防爆阀 9 由池盖板

兰钧新能源科技有限公司也发明了一种锂电池和锂电池防爆阀焊接工艺, 该技术首先采用线条式的预定位焊接,再进行防爆阀和外壳之间的满程焊接, 满程焊接的焊缝轨迹与预定位焊接的焊缝轨迹不重复,能够有效防止爆点,避 免焊接薄弱区的形成,提高焊接产品的气密性,焊接轨迹更加美观。并且,预 定位焊接采用线条式焊接,相对于现有技术中的点焊,有利于降低焊接的结构 应力,缓解焊接位置周边发生的翘曲现象,提高焊接质量和产品良率,节约生 产成本。

联赢激光推出的多波长激光同轴复合焊接技术和蓝光激光器技术在 电池防爆阀焊接中应用广泛(见图14)。针对铝材焊接过程中飞溅、 气孔、裂纹等工艺难题, 联赢激光研发出了多波长激光同轴复合焊接技 术,并设计开发了复合激光器。公司复合激光器的研发设计,一方面应 用了能量负反馈技术,另一方面运用了复合焊接技术,将半导体激光器 及光纤激光器的激光进行同轴复合,将不同波长的激光形成一束激光, 从一个激光出射头, 充分利用两种不同波长激光的优势, 作用于被焊接 材料。联赢激光的复合激光器可有效减少铝材的焊接缺陷,使得铝材的 焊接效果大幅提升。该技术应用于动力电池防爆阀、顶盖、密封钉、极 柱、软连接等工序焊接,有效解决铝材焊接过程中飞溅、气孔、裂纹等 工艺难题。

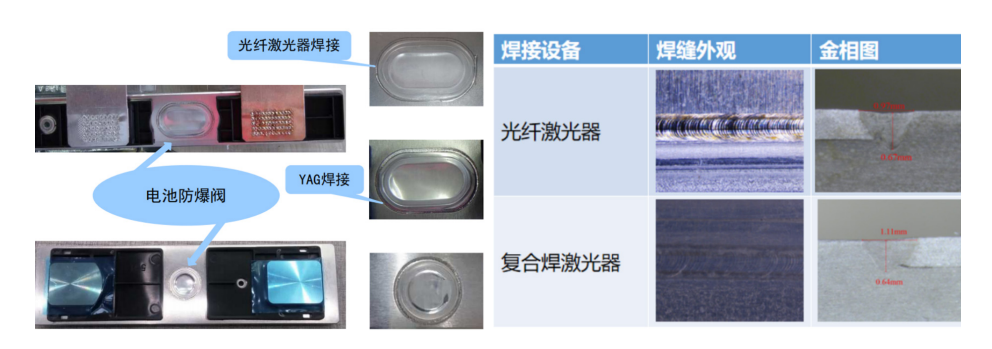


图14

7. 结语

本文主要对激光焊接在方形电芯制造中的应用进行了总结,对眼下比较热 门的4680圆柱电池全极耳与汇流盘的焊接工艺与解决方案没有涉及更多,因为 其要求更高,成熟的方案并不多。

相对干激光切割和激光打标,激光焊接由干其工艺难度较大,渗透率 还不是很高。随着激光焊接渗透率的提高,激光设备市场也会越来越大。 依据《2021年中国激光产业发展报告》预测,2021年国内激光焊接设备 市场约162.5亿元、同比增速约25%。考虑到随着激光焊接或在汽车制 造、电池制造、3C产业、精密加工等领域应用的崛起,激光焊接设备渗 透率将加速提升,激光焊接设备市场规模不断扩大。假设激光焊接设备市 场堆持25%的同比增速,则2025年激光焊接设备市场空间约400亿元, 锂电池制造装备中激光焊接设备需求规模可达110亿元。目前,能提供电 池激光焊接解决方案的企业有联赢激光、大族激光、逸飞激光、光大激光 等。□

汽车油泥模型专用工具在实践中的创新与应用

东风汽车公司技术中心 胡卫兵 张霞 杨兴

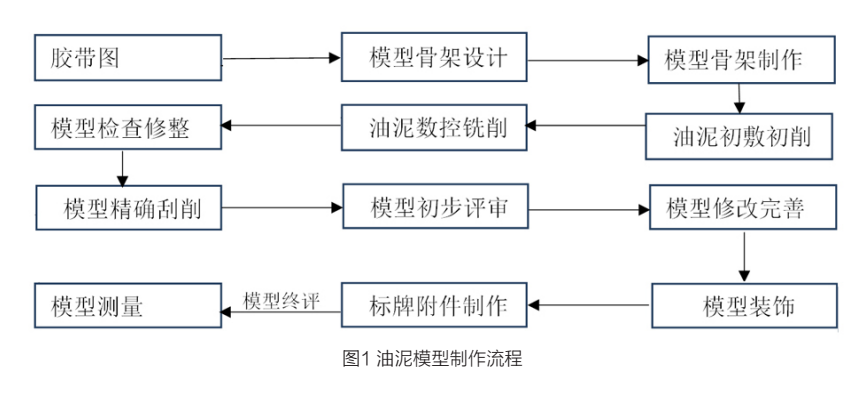
『摘要』:本文介绍了汽车油泥模型制作的流程,分析模型制作过程中传统工具存在的缺陷,通过实 际制作过程总结, 重新设计和改进专用工具, 最终满足设计对油泥模型质量要求, 同时有效提升汽车油 泥模型的制作效率。

随着科技的不断进步,人们对汽车的审美意识和个性化需求也越来越高, 激烈的市场竞争推动着汽车产品的高速发展,新技术的发展促使汽车造型不断 更新和完善。 汽车油泥模型制作已成为新车型开发中不可缺少的关键环节, 是汽车造型设计在效果图的基础上构思进一步完善的过程,汽车模型的制作是 多工种、多技能的综合体现,在汽车油泥模型制作阶段,制作油泥模型专用工 具,不仅能完成设计质量要求,同时能够高效制作油泥模型。

一、油泥模型制作的基本过程

与其他工业产品相比,汽车外形相对复杂,由许多样条曲线、高级曲面、 细节部分组合而成,需要有一种可以灵活生成各种曲面的制作方法。工业油泥 的可塑性强,可以方便地被刮削成任意形态,非常适合表现汽车细节部分的处 理,并且汽车外形设计常有反复创新的过程,要对模型做反复推敲修改,使得 模型本身具有可塑性,而油泥模型的特点恰好符合这样的要求。油泥模型外观 的光顺及曲面的衔接流畅往往都是通过汽车模型工用手中的工具来刮削实现。 油泥刮刀的尺寸大小、形状等都会影响油泥模型细节的制作精度,如何应用刮 刀来刮削油泥模型细节部分,使其达到所需的精度并满足尺寸要求,能带来优 美的视觉感受, 是油泥模型制作的关键。

油泥模型制作的基本过程如图1所示:



1.接收设计输入,模型线图 制作

设计师在绘制效果图和草图后 (见图2).为了能够在模型制作过程 中把握车身的曲面尺寸, 还必须贴出 大致的与模型近似比例的胶带图,贴 图的过程同时也是设计师细化设计的 演化, 胶带图参照效果图和工程图纸 依据车身尺寸进行贴绘。胶带容易定 型更易修改, 在模型制作初期, 模型 大部分的尺寸关系要依据胶带图来确 定,在获得效果图和胶带图后,比例 模型制作将正式开始。

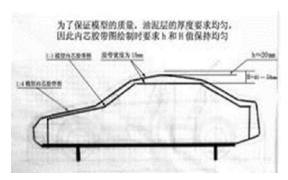






图2 设计效里图

2. 模型骨架设计与制作

设计与制作模型骨是模型师的职责,模型师设计出小 于确定界限大约20~30mm的骨架表面,再画上50mm或 100mm的坐标格(X,Y,Z), 便于工作。

选材、制作模型骨架:根据数模设计师正向建模数据 进行模型骨架制作,在制作时必须考虑其精度以及轻量 化, 骨架由木板、聚苯乙烯泡沫等材料制成, 完成模型骨 架的选材、加工、封板的制作、泡沫材料粘接、局部切 削,直至模型骨架初步完成(见图3)。







图3 模型骨架制作

3.油泥的填敷

在骨架的外表面聚苯乙烯泡沫上填敷油泥并均匀扩展 到整个型芯,一般油泥厚度在20~30mm,填敷油泥时温 度及油泥的厚薄均匀(见图4)都很重要。







图4油泥的填敷

4.各种辅助工具、样板作业

通过辅助工具和样板制作(见图5),使整个油泥模 型的外形按照设计标准确定模型的基本尺寸固化下来,为 后工序油泥模型形体塑造提供良好的基础。









图5 样板作业

5.油泥模型形体塑造

通过样板将油泥模型的基本尺寸和大型确定以后,需 要先对油泥模型的表面进行基本形状的修整, 完成后再对 油泥模型上的各个部分细节进行深入的设计和制作,解决 汽车从二维图形转换为三维模型过程中所遇到的形体、形 态、结构等各方面的问题,并就设计方案的一些细节进行 再设计或是做进一步的分析。在这个过程中,各种油泥刮 制工具的恰当使用,非常重要。

6.油泥模型确认及装饰

油泥模型的装饰以贴膜装饰为主, 贴膜时要保证顺畅 无气泡,装饰膜的接缝要尽量隐藏在模型的缝线里,确保 模型的视觉效果。

装饰完成后的模型(见图6)用于专家评审及工程研讨。





图6 油泥模型的装饰过程

二、油泥模型制作所使用的工具

1.油泥模型常用的工具

油泥模型制作过程是通过模型师对设计师创意再现的 一个环节,由二维平面效果图到三维立体模型的转变过 程,是油泥模型师通过理解设计方案构思,利用油泥模型 专业工具,发挥专业制作技巧,表现设计师灵感的过程。 附表为模型师主要常用油泥模型工具。

常用工具	作用	图示
直角刮刀	是把油泥手工制作平 面和大形的工具,使 油泥表面形成有细小 凹凸的表面层,把油 泥初步雕削成形	
精细刮刀	处理油泥细节部位	
蛋形 刮刀	制作外凹面或圆弧形的内表面	11
三角刮刀	用来刮削普通刮刀难 以削到的、狭小复杂 以及对细节部分有特 殊要求的部位	IN ST
钢片	根据不同形状、弧面和厚度,选择不同的钢片,来完成不同造型面和精细度的刮削,也用来光顺油泥模型的表面	Sur Sur Substantial Sur
其它	辅助工具	

70 | WMEM · 2022年第3期 www.cmtba.org.cn

2.现有油泥工具存在的问题及分析

(1) 现有油泥工具存在的问题

当前,车型外观造型设计得越来越美观、前卫、丰 富,为了在模型上表现出丰富细致的造型细节,较好地体 现设计方案,那就需要通过专业技能将模型细节部分制作 成型。由于模型工具数量种类少、尺寸大等因素,现有模 型工具已不能满足对细小局部的修理,制作有很大的难 度,不能准确表达设计最终的思想,所以有必要对模型工 具进行改进和创新,方便模型制作(见图7)。







图7 现有工具产生的缺陷示意图

(2) 现有油泥工具问题分析

现有的模型工具和刮片可以基本完成模型整体形态的 调整,达到设计效果。

双刃油泥等工具可以进行油泥模型大面修整, 其他特 殊工具由于尺寸较大, 在对模型细节部分的修整时就会存 在刀具无法刮削部分细部的问题(见图8),不能处理好 细节部分的造型,造成细节粗糙、缺失,进而影响整体模 型效果。



图8油泥制作常用工具

三、解决方案及实践

1. 解决方案的思路

根据对平常修整模型局部细节的认识,设计出一套适 合于模型细节部分处理的刮削小工具, 既保证了模型的进 度,又提高了模型的质量。

为了提高油泥模型的制作精度,根据在实际工作中所 获得的经验自行设计制作出近二十把小型油泥工具(见图 9)。工作时可以根据模型制作时加工部位的大小和形状 选择相应的工具,可有效提高模型的表面制作精度,大大 提高了模型的制作效率。







图9 新工具改型示意图

异形刮片形状设计分为两种: 计算机CAE设计和根据 工作经验所获得形状(见图10)设计。

模型的型面千变万化,各种角度也不尽相同,根据工 作经验制作各种形状和角度的小型工具。根据对平常修整 模型局部细节的认识,设计出一套适合于模型细部处理、 内饰局部处理的刮削小工具, 既保证了模型的讲度, 又提 高了模型的质量,达到快速制作模型的目的。











图10 新型角度工具

2.改善工具的制作步骤

模型工具的制作步骤: 将手绘的刮刀形状拷贝到准备好的 钢片上;用砂轮机进行形状初步刃磨;确定刮刀杆部的长度, 进行焊接加工处理; 刀刃部分的刃磨和刀架部分的焊接处理; 刀柄和刀架的组合安装; 刀柄油漆处理等(见图11)。

















图11 自制工具制作示意图

3.改善工具的实践效果

常用工具和自制工具的对比(见图12)

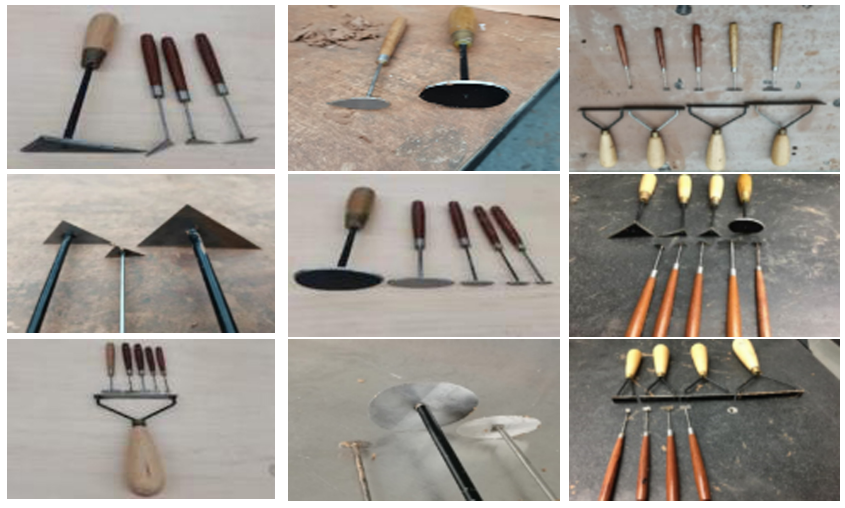


图12 新型工具展示图

实际工作情况的对比,新开发的工具对油泥模型细节有着良好的适应性, 能较好地满足各种细节的高效处理(见图13)。



图13 新型工具使用后效果展示

4.小型油泥工具

小型油泥工具的使用,在实际工作中改善了模型制作的工作方法,有效提 高了工作效率,缩短了模型制作周期,模型制作质量得到很大提高,更好地满 足了模型制作的要求,大大提高了制作精度。

以下是根据自己在长期油泥模型的工作中的经验, 借鉴其他模型师的实 物,设计制作了一组小型油泥模型工具(见图14)



图14 新型小型油泥工具

5.模型整体效果展示

模型工具保证了模型制作质量的 稳定,展示效果良好(见图15), 为汽车模型制作的快速发展作出了贡 献,同时也积累了宝贵经验,在乘用 车各个开发项目中运用效果良好,在 模型制作中得到了很好推广。







图15 油泥模型制作效果展示

四、结束语

汽车模型制作是一个创新和不断 提高的过程,制造工艺不能停留在原 有制作水平上,要在工作实践中不断 摸索,努力挖掘,寻求更快更好的模 型制作方法。通过以上实例,可以认 识到技术工人必须掌握一定的设计原 理和专业知识,提高模型制作水平, 完善模型制作工具,通过总结和改善 不断提升技能水平。随着科技的进 步, 也要利用新材料和新科技, 为模 型制作寻找更加便捷的途径,只有遵 循这样的原则,才能促进模型制作水 平的稳步上升,为汽车产品的开发作 出应有贡献。□

72 | WMEM · 2022年第3期 www.cmtba.org.cn

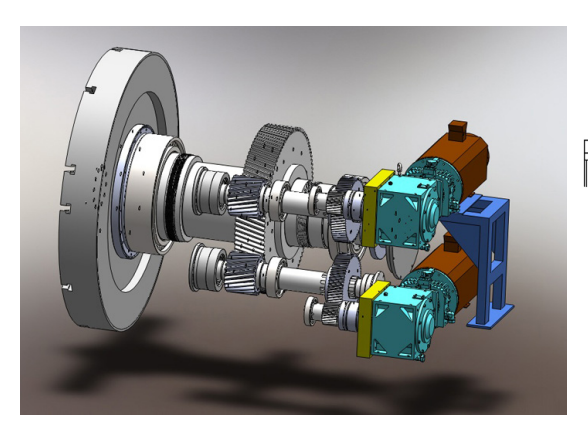
双伺服电机消隙控制C轴与主轴的切换

天水星火机床有限责任公司 温小亭

摘要:随着我国国民经济迅速发展,对高档、大重型多轴机床提出了急迫大量需求。研发、制造 一台高精度、大承重、一次装卡完成多道工序加工的大重型车铣复合机床是设计制造瓶颈。依据新的要 求,在大重型车铣复合机床上,C轴精度将直接影响大重型复杂工件的加工、制造精度,以及加工工艺 的实现。为了提高C轴定位、分度的精度、提出了利用双伺服电机消隙控制C轴与主轴之间的自动切换应 用。目的在于同时提高机床自动化,工作效率和加工精度。

1. 双伺服电机消隙C轴控制机构设计

所谓C轴就是把旋转主轴作为旋转进给轴使用, C轴有分度, 定位功能, 如图1所示。C轴主轴箱里 I 轴和 II 轴是由2台西门子1FT7 50N·m交流伺服电 机分别通过行星减速机、双齿轮箱,经双齿轮箱上的两个小齿轮C轴齿轮1齿圈 (Ⅳ轴)和C轴齿轮2齿圈(Ⅴ轴)与主轴大齿轮齿圈(Ⅳ轴)啮合,通过两个 伺服电机的同步运动控制(主从控制)实现C轴的分度及定位进给。C轴进给与 主轴主传动之间相互切换, C轴进给中的油缸推动端齿盘脱开, 主传动中 I、 Ⅱ档中的齿轮根据所需转速要求进行啮合,通过主电机驱动主轴箱中的齿轮旋 转,实现主轴旋转运动,完成机床车削加工要求。反之,将主传动中的换挡齿 轮至于空挡,而后将C轴进给箱中的油缸推动端齿盘啮合,通过C轴进给箱的伺 服电机驱动齿轮旋转,从而带动主轴进行C轴进给运动,完成主轴的分度定位功 能,实现铣削或钻削的加工要求。



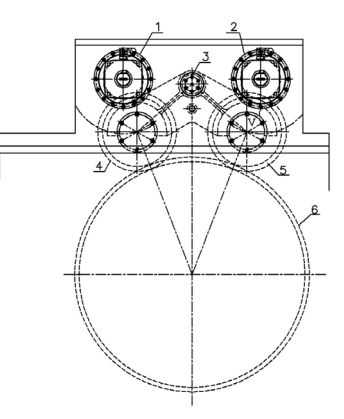


图1主轴与双电机消隙C轴切换进给箱传动图

- 1. C轴伺服电机1(I轴) 2。C轴伺服电机2(Ⅱ轴) 3。C轴与主轴切换端齿盘(Ⅲ轴)
- 4. C轴齿轮1齿圈(N轴) 5。C轴齿轮2齿圈(V轴)6。主轴大齿轮齿圈(IVI轴)

根据C轴传动所需满足分度定位 功能要求,对其传动结构进行分析, 选择最为经济实用的双伺服电机+减 速机+小齿轮+大齿轮在传动到主轴 的驱动结构,以满足加工复杂零件工 况的设计要求。在车削时,该驱动链 不执行车削功能,与主轴脱开并静 止。采用以上驱动结构,并结合机床 传动结构布置与配合摆放位置, 最终 确定如图1所示的传动结构图。

在机械上两个伺服电机通过两个 小齿轮与主轴大齿轮连接在一起的, 两个伺服电机都有速度控制,其中一 个伺服电机利用主轴尾端安装的精密 光栅尺作为位置控制。有位置反馈的 伺服电机作为主动伺服轴,没有的作 为从动伺服轴。主动伺服轴与从动伺 服轴速度设定值一致。主伺动服轴和 从动伺服轴之间, 实现速度和力矩耦 合的过程。从动伺服轴跟随主动伺服 轴运动, 在主动伺服轴和从动伺服轴 之间产生一个张力力矩,用于消除相 互齿轮之间的间隙, 利用两个伺服电 机的力矩实现齿轮之间的间隙补偿。 在C轴双齿轮箱上,C轴齿轮1(N

轴)和C轴齿轮2(V轴)是两个滑移端齿盘,通过C轴与主 轴切换(III轴)在油缸推动端齿盘的啮合或脱开,实现分度 和定位的C轴传动与主轴主传动之间的切换。

2. 主轴控制

在车削加工方式下,大重型车铣复合机床主轴为模拟 主轴, 主轴控制系统由西门子直流调速器驱动直流主电机 (DC 90kW)工作。如图2所示,直流电机的运动经柔性联 轴节传入主轴箱, 经液压油缸操纵主轴箱内滑移变速齿轮, 可实现两档无级调速,使主轴获得1~150r/min的转速范 围。主传动线路采用了先进的高低分开的两条传动路线,经 济有效地实现了较大的主轴变速范围。该主传动系统具有输 出扭矩大、功率损失小, 变速范围大等一系列特点。

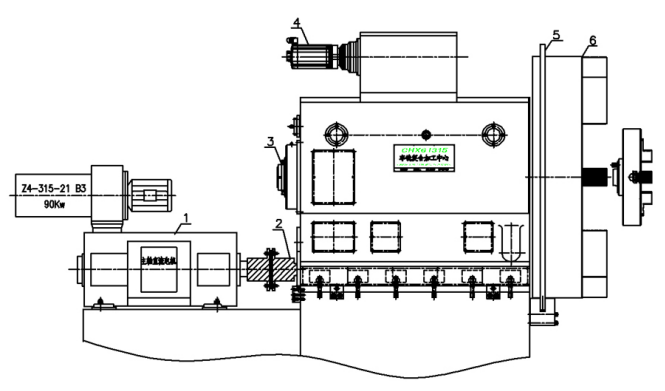


图2 主电机与主轴箱连接示意图

1. 主轴直流电机 2。柔性联轴节 3。海德汉圆光栅 4. C轴伺服电机及减速机 5。主轴阻尼盘 6。主轴卡盘

在铣削方式下, 主轴为数字主轴, 即车削的旋转主轴 切换到双伺服电机驱动的C轴。C轴是由两个伺服电机驱动 共同完成定位和分度,实现C轴的进给。同时针对大重型 车铣复合机床旋转主轴与回转讲给轴之间相互切换, 在主 轴卡盘上设计了主轴阻尼盘,安装有液压刹车锁紧装置, 用于主轴的刹车和增加C轴定位、分度过程的阻尼锁紧。 在旋转主轴停车时,实现快速刹车的功能;在C轴进给工 作方式下,通过液压控制增加主轴阻尼,减小铣削时加工 的振动,并在低速下能够平稳的进给,保证C轴的定位和 重复定位精度。

3. 双伺服电机消隙C轴控制与主轴之间的切换调试

双伺服电机消隙C轴与主轴之间,通过电气控制电磁 阀切换油缸方向,从而达到C轴传动与主传动的切换,并 且在外部通过接近开关检测切换到C轴还是主轴。在使用 主轴功能与 C 轴功能切换时, 外部共用了一个主轴编码器 (圆光栅)作为反馈,对旋转主轴功能来说是第一编码 器,但对双伺服电机消隙 C轴的主伺服电机来说,是主轴 编码器第二编码器。这样在主轴与C轴切换的时候,同时

也需要切换测量系统。

(1) 主轴与C轴之间控制的切换

在车削方式下,模拟主轴控制自动转换到铣削方式 下的双伺服电机消隙C轴的控制。通过PLC控制液压电磁 阀,推动油缸动作,使图1中IV轴和V轴齿轮与主轴大齿 圈齿轮啮合。检测到主轴检测开关信号为0,同时C轴检测 开关信号为1后, C轴由主伺服电机速度环控制变为位置环 控制,使系统激活主从功能,完成了旋转主轴向C轴的转 换功能。在主轴向C轴转换过程中, 要解决测量系统信号 DB3X.DBX1.5/ DB3X.DBX1.6切换的问题, 在转换的过程 中使DB3x.DBX2.1(讲给轴伺服使能)为0. 同时还要接 通信号指令DB3x.DBX2.2(主轴复位)生效,能进行主轴向C 轴的切换。

在铣削方式下, C轴控制自动转换到车削方式下的旋 转主轴控制。当C轴向主轴转换时,通过PLC控制液压电 磁阀,推动油缸动作,使图1中Ⅳ轴和Ⅴ轴齿轮与主轴大 齿圈齿轮相互脱开。检测到C轴到位开关信号为0,同时主 轴到位开关信号为1后,取消掉系统主从功能,C轴由位置 环控制变为速度环控制,从而实现了C轴向主轴的转换。

(2) 主轴与C轴的自动程序切换

为实现了车削方式和铣削方式的相互自动切换控制, 提高机床的加工效率,缩短机床操作时间,体现出机床的 高速, 高效的特点, 使机床更符合生产加工的需要, 在 PLC中利用M功能实现车削和铣削的切换,并且在机电液 之间的进行互锁, 保证设备和人身的安全。

4.总结

用西门子数控系统具有的主从控制功能实现双电机驱 动消隙的C轴,不仅可以有效地消除传动间隙误差,同时 实现高速响应的随动控制,从而提高机床传动精度。双伺 服电机消隙C轴与传统的机械消隙机构相比较,有许多突 出的优点:

- (1) 机械设计简单。
- (2) 在机械安装正确的情况下, 由机械调整改为电气 调整后, 更加的灵活, 方便。
- (3) 可通过1个主动多个从动,有效解决电机机械安装 可能存在的问题,如一台电机在安装空间受限情况下,可以 采用多台小电机的方案来解决。同时降低了生产成本。
 - (4)提高主轴的机械刚性、定位精度和重复定位精度。

5.结论

经过现场的使用,双伺服电机消隙控制C轴功能技术 值得推广, 其运行稳定、可靠, 进一步优化大重型车铣复 合机床的设计结构,深受用户的认可。□

有关精密卧式加工中心产品的研究

沈阳机床(集团)有限责任公司 张丽丽 张 弛 徐吉存 戴漫一

一、概述

随着装备制造业的发展,仅适用于单件、小批量、精 加工生产的传统坐标镗的市场逐渐缩小, 取而代之的是包 括精密卧式加工中心在内的精密(坐标)加工中心。

该类加工中心适用于军工、航空航天、核电、船舶、 汽车、能源、机床、刀具模具及机器制造业精密零件加 工,如箱体类、盘套类、板件及模具类等复杂零件的中、 小批量精密加工,特别适用于尺寸、形状和位置精度要求 高的孔系加工。五轴产品可进行模具制造行业复杂型面加 工、航空航天领域铝合金与钛合金的高精度和高速加工、 医疗器械领域淬火钢和不锈钢等特殊材料加工、风电行业 的叶片加工等。

近年来,精密卧式加工中心向着高精度、高刚性、高 速度、高可靠性、高柔性等方向不断发展。目前, 世界知 名的该类机床制造商有日本安田(YASDA)、瑞士迪克西 (DIXI)等。

二、主要竞争对手产品及特点

1.日本安田

公司产品应用于模具、航空航天、机械加工、精密零 件等行业。追求亚微米精度的超高精度、高生产率的自动 化、高超加工技术的多功能化,是安田的研发理念。

(1)精密卧式加工中心系列。

机床主要技术参数如表1所示。具体结构如图1所示。 该类机床适用于机床主要部件、注塑机主要部件、压缩机 壳、印刷机架等的加工。

夷1

	YBM7T	YBM8T	YBM10T	YBM15T	
X轴行程 (工作台左右)/ mm	950	1300	1500	2100	
Y轴行程 (主轴头上下)/ mm	800	1000	1200	1800	
Z轴行程(立柱前后) / mm	800	1100	1100	1500	
各轴快移速度 / m・min ⁻¹	48				
工作台加工面积 / mm	630x630	800x800	1000x1000	1500x1500	
工作台最大承载重量 / kg	1200	3000	5000	12000	
主轴最高转速	10000、			2800、	
/ r • min ⁻¹	15000、18000			10000	
主轴锥孔	BT50				
刀目右(松粉具(加)	60、90、120、		60、	60、	
刀具存储数量(把)	120~450		90~450	90~450	
随机工作台数	2, 4	2、6	2、5	2,5	
NC装置 FANUC 31i-MODEL B5					



图1 YBM系列精密卧式加工中心

YBM10T: 高承重(5t)。

YBM15T: 承重达12t, 适用于 重型工件的高速、高精度的加工定 位, 达到坐标镗分度精度。

(2) 卧式五轴加工中心系列。 机床主要技术参数如表2所示。 其结构外形如图2所示。



图2 YBM T-TH系列精密卧式五轴加工中心

表2

	-					
	H30i	H40i	YBM7Ti	YBM8T-	YBM10T-	YBM10T-
	11001	11101	12	63TT	TH	100TT
X轴行程 (工作台左右)/mm	650	875	1250	1000	1500	1500
Y轴行程 (主轴头上下)/mm	560	740	1000	1000	1500	1200
Z轴行程(立柱前后)	560	685	1100	1100	1800	1100
B轴行程(工作台回	-120°	-185°	± 100	360	360	360
转)(°)	~+45°	~+45°	1100	360	300	360
C轴行程(倾斜工作台	360		A:	A: -	A: -	A: - 95~+5
回转)(°)		300		105~+15	95~+5	A: - 93-13
工作台加工面积/mm	300x300	400x400	500 x 500	630x630	1000x1000	1000x1000
工作台最大承载重量 /kg	80	200	500	800	5000	2000 (垂 直)、5000 (水平)
主轴最高转速 / r・min ⁻¹	12000、 20000	20000	10000		8000	10000
主轴锥孔	B'	BT40 BT50				
刀具存储数量	60、120、	180、240	60		60、	60、90~300
(把)	-	把	00		90~450把	把
随机工作台数	2、32	2、24			2,5	1,5
NC装置			FANUC 31i -MODEL B5			

YBM10T-TH: 高承重(5t), 适用于中大型工件的 高精度多面加工。

YBM10T-100TT:适用于飞机零件、难加工和复杂 零件。

H30i-32PLS分上下三层,最多可存放32面工作台; H40i-24PL分上下三层,最多可存放24面工作台,节省空 间和长时间的无人操作特性,实现加工的最佳性价比。

(3) 主要技术特点

1)高刚性、高精度主轴

传统的主轴预加负载方式,由于受到主轴转速增加引 起热量温度上升造成预载增加的制约,而不得已采用尽量 减少主轴初期预载这种有悖于主轴功能的方法。

公司开发的预载自动调整型高速主轴, 低转速时大预 加负载, 高速旋转时根据轴承发热量自动调整预加负载, 实现低转速重切削, 高转速低发热高精度旋转。主轴驱动 电机和主轴通过柔性联轴节高度同轴连接,实现全转速范 围高精度旋转,使高硬度材料的高精度加工成为可能,在 加工中发生轴向切削力反向时也能保持高精度加工。

2) 高刚度机床结构

床身:采用最简单的"H"型结构,侧面结构壁厚 90mm, 上部水平结构壁厚40mm, 具有极高刚性, 保证立柱 移动时不变形。各部结构热容积相同,并预设恒温系统管 道,保证床身在室温变化时不产生扭曲或弯曲变形。

导轨: 机床精度及精度保持性取决于导轨。机床导轨 由淬火轴承钢制成,经精心磨削、手工抛光后,导轨表面具 有极高表面粗糙度,为定位精度及其持久性奠定了坚实基

经高精度加工的导轨安装在经过手工精密刮研的具有 准确直线度的床身、滑鞍、立柱的导轨安装面上。在承重 的X轴及Z轴上,配有承重检测系统,根据承重自动调整导轨 面压,实现大、重零部件的高速移动。

立柱: 立柱导轨左右并非完全平行, 而是稍呈"鼓 形"。无论主轴箱位于哪个位置,主轴箱两侧将受到恒定 预加负载。主轴变形小,定位精度高。

3) 工作台夹紧机构

工作台夹紧机构由120~175mm厚的优质铸铁制成的高 刚性工作台以及夹紧构造系统构成。该系统采用弧齿联轴 节盘定位工作台于底盘,通过联轴节盘圆周上带30°压力 角的弧齿以无齿隙咬合实现工作台高精度定位。工作台与 底盘的结构一体化结构, 保证高刚性夹紧, 以及良好的振 动衰减性。同时具有工作台交换的高重复定位精度,实现 长时间的无人高精度加工。

4) 机身温控装置

机床在工厂里所处的设置环境对机身精度有很大影 响。比如强烈的室温变化、室内上部下部的温差、来自顶 棚与墙壁的热辐射等,都会使机械不断发生热变形,并左 右它的精度。安田产品的机身温控装置可将工厂环境对机 身影响局限在最小范围内,通过在机身上循环的冷媒把主 要部位控制在室温的±0.2℃以内,以防机身急剧变形,实 现长期的稳定高精度加工。

76 | WMEM · 2022年第3期

5) 控制系统 "YASDA MiPS"

为实现高生产率和高度自动化而 独创的控制系统"YASDA MiPS" 具有便干机械日常维护的"维护演示 功能",能发现机械故障并以画面显 示故障部位的"自诊断功能",管理 刀具、监视加工动力情况的"管理功 能",而且还在进一步增加新的加工 支持功能,进行更高水平的机械控 制。这些功能还可以与互联网对接。

6) 驱动系统

加工中心X、Y、Z轴采用双伺 服电动机,双丝杠驱动,结构重心与 驱动中心重合,保证驱动精度。X、 Y、Z轴定位精度依据VDI/DGQ3441 标准实测值为3.9 u m。

2.瑞士迪克西

自1904年成立以来, 迪克西一直 追求"高精度"理念,制造的机床应 用于尖端技术领域, 凭借产品及服务 的高品质和可靠性,获得了世界各地 的客户的高度评价。

公司精密卧式加工中心主要 有DHP (DIXI High Production) 高性能系列,产品有三种规格: DHP40、DHP 50、DHP80。机床具 体结构见图3所示。



图3 精密卧式加工中心 DHP系列

(1) DHP高性能系列卧式加工 中心

该系列产品是专为成批生产和大 量生产中精密加工复杂零件而设计的 四轴和五轴机床。其主要技术指标如 表3所示。

表3

	DHP-40	DHP-50	DHP-80	
X/Y/Z轴行程/ mm	500	700	1200 x 1100 x 1100	
最大工件尺寸(直径		100	1200 X 1100 X 1100	
x高度)/mm	600x600	700 x 800	1200 x 1200	
X/Y/Z轴快移速度/				
m·min ⁻¹	60	60	40	
力矩电机驱动B轴速	50	30		
度/r·min ⁻¹				
B轴摆角(°)	-135~45			
托盘尺寸/mm	500x500	800 x 800		
托盘承重/ kg	400	800	1500	
主轴转速/ r・min ⁻¹	12000、24000		12000	
主轴功率/kW	25、13.6		36	
→ £4. FB-4cm	Cat 40, Big-Plus,	Cat 50, Big-Plus,		
主轴锥柄	HSK A63	HSK A100		
托盘数量	2			
托盘交换时间/s		< 8		
FMS或FPC托盘存				
储系统	可选			
刀库刀具数量	65 / 115 / 170 / 220		100 / 200	
数控系统	Fanuc 16i MA/18i,			
	Siemens 840 D			
定位精度/μm		小于5		
重复定位精度/μm		小于3		
托盘重复定位精度		.l. T.o.		
$/\mu$ m		小于2		

(2) 主要技术特点

1) 机床理念

DIXI 机床的理念:不需要试加工即可加工。所有机床都是根据这个理念开 发的。为了实现这个理念,在全部加工中的定位准确性要控制到亚微米水平。 通常,高精度机床的定位精度是5 μm,DIXI机床可实现0.99 μm。

2)结构特点

迪克西机床的主要特征是坚固的床体和不随时间变化的高精度。

模块化机床结构, 由整体式自支承球墨铸铁框架组成, 稳定性和刚性高。 为保证高精确度、精度和几何形状,床身经手工刮研。

采用预加应力的滚动导向元件,实现高精度和高速度。它带有集成在导轨 内的集成测量系统和磁读数头,测量系统同导轨自身一样有相同的膨胀系数, 可大大减小几何形状误差和变形误差,并可保证较高的精度等级。在正常操作 条件下,集成测量系统对油、润滑脂和冷却液的污染不敏感。

3) 主轴

机床装有以长寿命理念开发的高刚性、高精度、高性能的主轴。主轴均用 预加载荷的钢陶瓷混合轴承,且可根据速度进行调整;主轴上安装有轴向位移 传感器、温度传感器、振动传感器等元件。

主轴结构: 为了提高刚性, 主轴采用了悬垂较短的构造。主轴驱动采用了 直驱电机,实现高速同步攻丝。

轴承预紧的无级控制: 为了延长轴承寿命和优化负载能力, 研发了液压无 级控制的主轴轴承预紧装置,可以根据主轴转数调整主轴轴承预压,削减了轴 承产生的热量。

(下转至第80页)

直联式主轴松刀缸漏油分析及对策

通用技术集团大连机床股份有限责任公司 荆立萍 周吉贞 董建军

摘要:直联式主轴的松刀缸发现漏油现象。对其工作原理进行了论述,结合生产现场的实际情况分 析了产生漏油的原因,并制定切实可行的技术改造方案,最终解决了漏油问题,为业内直联主轴松刀缸 漏油解决提供参考。

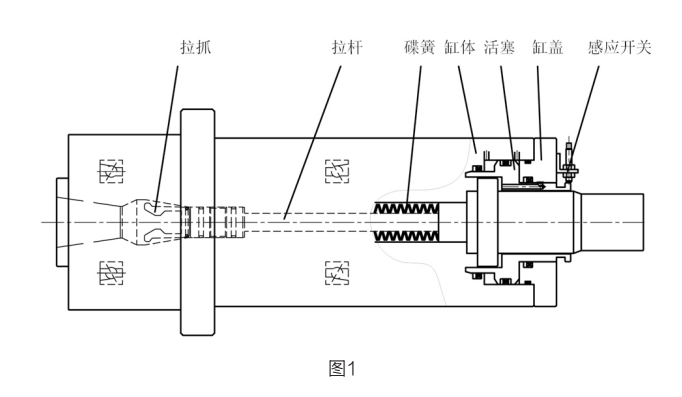
直联式主轴是数控机床行业常用的一种主轴, 它是由 联轴器直接将电动机和主轴单元相联,对比皮带传动主轴 省去了中间传动环节,具有传输功率损耗小、噪音低、振 动小、灵活性高的特点。直联式主轴大大提高了数控机床 钻孔、攻丝的效率及质量,实现了高速加工,成就了钻攻 中心的时代。

松刀油缸是直联式主轴关键核心部件之一,它的故障 率直接影响到主轴乃至机床的可靠性。直联主轴的油缸是 一个多功能集成的复杂结构油缸,具有松刀作用的同时, 兼备动作指令发出、油和气路输入等作用。油缸结构的复 杂性决定了它的易损、多故障, 其中漏油故障, 一直以来 是直联式主轴的顽疾。机床在工作过程中,油缸频繁的执 行松拉刀动作,经常会出现油缸漏油现象,造成油缸失 效。为了解决油缸漏油问题,我们从松刀油缸工作原理入 手,对油缸结构及密封件进行分析,结合漏油的实际状 况,查找漏油原因,制定相应的技术改进方案。该方案经 过在小型立式加工中心机床的应用,达到了预期效果。

1. 主轴概况及松刀缸工作原理

此油缸应用的主轴,主要由支撑部分、驱动部分和换 刀部分等组成。换刀组件要完成拉刀和松刀两种动作。 拉刀由碟簧和拉杆共同实现, 松刀是由油缸压力油实现。 该主轴的油缸主要针对于BT40刀柄换刀,需要拉刀力 8000N, 松刀力15000N以上, 工作行程6mm以上, 承受油 压5MPa以上,换刀速度5s。

油缸主要零件包括活塞、缸体、油缸盖和密封圈等, 如图1所示。油缸盖与缸体通过螺栓联接,然后整体固定连 接到主轴体上。油缸体上有两路油孔,压力油推动活塞沿 主轴轴线方向进行反复的轴向运动。油缸右侧进油,活塞 在油压力的驱动下向左端运动接触到拉杆,推动拉杆继续 向左一直压缩弹簧,最终由油缸体硬限位。拉杆带动拉抓 完成张开动作,实现松刀动作,油缸盖和活塞上的气路联 通,触发油缸体上的传感器,发出松刀信号,打开气阀, 通入压缩空气,进行锥孔吹气。反之左侧油缸进油,推动 活塞右移, 与此同时弹簧弹性复位推动拉杆向右, 拉抓收 缩拉紧刀柄,触发油缸体上的传感器,发出拉刀信号,活 塞在油压的作用下继续向右运动,最终靠到油缸盖上,触 发油缸盖上的传感器,发出活塞复位信号,主轴旋转。

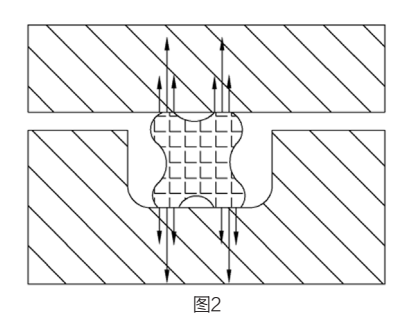


2.松刀缸的设计

该油缸的要求也比较高,要满足成本低、批量大、结 构小、行程小、在冲击力和频繁换刀的工况下可靠工作, 还要兼顾便于安装和调试的需求等。

O型圈和星型圈可以很好地满足以上要求, 尤其是对

78 WMEM · 2022年第3期 www.cmtba.org.cn 干批量大的主轴油缸产品非常具有应用价值。两种密封圈 应用领域相似,大部分技术参数相同,但是因为截面形状 不同,星型圈在动密封性能方面更具有优势。星型密封圈 是一种自紧密封型的双作用密封元件,采用四唇口密封, 形状类似X, 特殊的星型截面使其在往复运动时, 不会在 沟槽内发生滚动和扭曲,而且需要的径向预压缩比较小, 有较好的压力分布,产生的摩擦力较小,磨损量小,寿命 长。星型圈密封唇之间形成了润滑容腔,可以改善启动状 况,适合动密封,见图2。



此油缸的密封结构共有四处密封,1处静密封处采用0 形圈, 3处动密封处采用星形圈和挡圈结构。

该油缸在油缸盖与油缸体的径向密封处选用O型圈静 密封。O型圈是一种双向密封元件,初始安装压缩量决定 了O型圈的初始密封能力。油缸盖和油缸体设计需要考虑 从O型圈的选型和具体零件结构设计两方面综合考虑。O型 圈选型具体包括应用条件评估、材料选择、初始压缩量和 径向间隙等。零件设计包括沟槽设计和安装倒角等。

该油缸的应用条件见表1。

表1

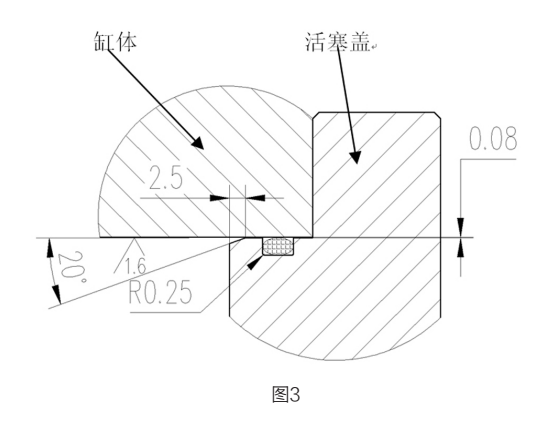
应用场合	工作介质	工作温度	工作压力
静密封	液压油34#	-30°C~+70°C	0~5MPa

根据应用条件选择橡胶材料NBR70,此种材料具有良 好的耐油性,广泛的工作温度范围,整体性能优良。O型 圈的初始压缩量为压缩尺寸与密封圈横截面的比值。允许 径向间隙取决于系统压力、横截面和材料硬度、见表2。

表2

密封圈材质	密封圏硬度	初始压缩量	允许径向间隙
NBR70	邵氏硬度70	15%~30%	0.08~0.15mm

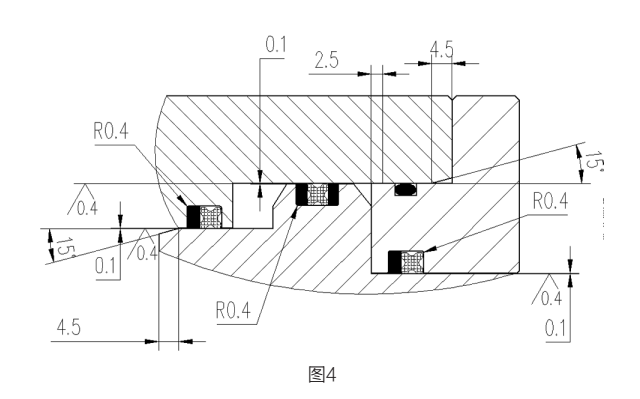
从零件特点和工艺性考虑,采用活塞式密封结构,便 于加工和测量。具体结构见图3。



此三处动密封决定了油缸的主要性能,包括活塞与缸 体处密封,活塞与缸体的内腔密封和活塞与缸体盖处的密 封。星型圈是自紧密封型密封元件,密封能力主要受系统 压力和压缩量共同影响。星型圈选用除了考虑O型圈选用 的因素,还要考虑动密封引起的新的限制参数、线速度和 零件的表面处理(见表3),具体结构见图4。

表3

线速度	初始压缩量	表面粗糙度	允许径向间隙
< 0.5m/s	6%~18%	≪Ra0.4	~0.08mm



3. 漏油现象及原因分析

在主轴实际工作时, 出现液压缸漏油、烧着、密封圈 磨损等现象。一般都是从活塞偏心和密封圈失效进行分 析。工作时活塞受到的是复杂变化的力, 拉杆的弹簧弹 力、气压力、重力作用、油压力等多种作用力导致偏心。 在安装时,活塞需要经过油缸盖和缸体共三处的内孔进行 径向定位,由于不同零件的加工误差和安装等因素导致活 塞偏心。活塞长期在油缸内作往复运动,导致活塞的接触 部位存在不同程度的磨损,间隙变大,造成活塞偏心。现 具体现象分别列举如下。

实例1:油缸多次打刀后,在油缸盖和活塞接触处发现

明显漏油现象。

实例2: 在活塞复位时, 在活塞外表面发现密封圈的黑 色颗粒状物体。

以上两种现象大部分原因是实际密封间隙大、密封圈 失效和零件磨损等。可按照如下步骤进行排查找出主要 原因。

- (1)油缸体,活塞等各零件尺寸,形位公差,粗糙度 和密封圈尺寸是否合格,这些都可以造成密封间隙大引起 漏油的现象。
- (2)油缸各部件是否清洁干净,油缸体里是否有杂质 颗粒等, 缸体的杂质颗粒会造成缸体过渡磨损, 引起密封 间隙变大。
- (3) 检查装配过程中, 是否有划伤密封圈, 零件划伤 等现象。

实例3: 拆卸油缸后, 发现活塞径向局部有磨损光痕, 活塞与拉杆接触部分,发现烧伤性沟痕。

造成部件的烧伤故障和磨损故障,一般是尺寸链干涉 和受力不均所致,解决此类问题方法可按如下步骤进行。

- (1)检查所有尺寸链上相关尺寸是否超差,尤其是装 配链上的尺寸。
 - (2)检查油缸和拉杆装配时是否偏心。
 - (3)检查零件上具体磨损部位,具体分析受力情况。

4. 漏油的解决方法

- (1)增加耐磨环。在油缸盖上径向增加宽为10mm的耐 磨环。耐磨环具有精确的导向作用,并可吸收径向力,同时, 耐磨环可防止液压缸内滑动部件的金属接触。良好的耐磨性, 避免金属间的接触, 且能抑制机械震动。耐磨环还具有对中作 用,允许配合件之间有较大的径向间隙,便于装配。
- (2)油压进口位置更改。油缸体上油口由径向入口改 为油缸盖上的轴向入口,并且在油缸盖上增加缓冲腔。这 个措施可以改变油压口进油一瞬间对活塞的冲击力方向, 减小了活塞的颠覆力矩,使活塞在运动过程中,不偏心。
- (3)发令环尺寸缩小。油缸盖上的密封圈装配时,需要 穿过活塞的发令环和空刀槽部位, 会经过两次的挤压有被损伤 的风险, 优化设计后减小发令环径向尺寸, 使密封圈只经过一 次的挤压、并且在装配时增加润滑剂、进一步保护密封圈。
- (4)严格做好产品质量管理。加强各零部件检查工 作,规范清洁工序,规范现场操作,例如使用符合清洁度 及干燥度要求的气源和清洗剂进行部件清洗,安装活塞时 添加润滑脂减少摩擦等。

5. 结束语

经过对该油缸的技术改造后,解决了油缸泄漏的问题, 提高了油缸可靠性,为同行解决类似问题提供了借鉴。□

上接第77页

主轴冷却:对主轴发热处的轴套进行冷却,避免热量 转移到主轴箱,从而防止热扩散,抑制热变形。

4) 双转台

可选直接驱动方式电机双转台,两轴配备线性光栅尺 和编码器,实现五轴联动,兼顾高效率、高精度加工。 A、B轴可同时分度, 高效加工复杂形状及工序集约型工 件。刀具可从最适合的角度趋近,实现高质量加工效果和 刀具的长寿命。可选配托盘交换系统。

适用加工工件最大直径为 6 1000/1200 mm, 最大高 度为810 mm (DHP 80 II)。

机床可实现重切削中的高精度加工。在倾斜位置上自 动更换刀具,摆动角度大,有利于复杂形状工件加工。

5) 工作台

通过采用直驱电机,实现零间隙的高速、高效驱动, 有利于减少维护工时、延长寿命。

高速的双面旋转式托盘交换系统,简洁而可靠性高, 可提高生产效率。托盘交换系统提供一个的标准托盘和一 个的任选托盘。托盘交换时间小于8s。

机床防护顶部天窗宽度大,可以使用天车装卸工件。

三、产品战略发展建议

产品开发技术路径宜聚集国内其它关键技术优势单 位,采用"产学研用"相结合的模式,建立研究和制造队 伍,全面开展针对用户典型产品的加工工艺研究,通过自 主设计、制造、安装调试,掌握高精度数控卧式坐标镗床 关键单元技术、系统集成技术、关键试验技术、关键设备 和仪器的开发技术,为精密卧式加工中心等相关高精度机 床的研发、制造培养相应的优势团队。□

·种立车侧刀架轴切换装置

天水星火机床有限责任公司 李永直

摘要: 针对带有侧刀架的立式专用车床,立车侧刀架的车刀需要沿X向及Z向的运动来实现工件的车 削功能,在工作中随时要进行两个方向的切换,传统的侧刀架轴的切换采用纯手动操作,通过安装在箱 体上的手把驱动拨叉、完成轴的切换、这种切换方式通常产生掉档、或切换不流畅、操作者不能直观判 断当前轴的缺点,本文论证了通过一键切换方便实现刀架的自动换向的结构设计并将其实施。该机构具 有结构简单,调整方便、操纵轻便灵活、运动灵敏度高,平稳性好等特点。实现高效、灵活、安全,减 轻工人的劳动强度。

在特定行业的生产加工中,为了提高专用零件的加工效 率,会用到带有侧刀架的立式车床,主要用于大型盘类零 件,以及石油钻采设备中的滑轮、焊接滑轮、皮带轮、两 轮、链轮体等零件外圆、孔系和轮槽R圆弧的加工等。传统 的侧刀架轴的切换采用纯手动操作,通过安装在箱体上的手 把驱动拨叉, 完成轴的切换, 这种切换方式通常产生掉档, 或切换不流畅,操作者不能直观判断当前轴的缺点。

本文介绍的新型的轴切换装置,通过机械、电气、液 压控制技术的灵活应用,根本解决了手动切换轴的缺点, 一键切换,实现了高效、安全、灵敏的全自动切换控制。 应用的领域主要以航空、石油、化工、能源、冶金等行业 为主,可完全代替同类的进口设备,也可部分替代数控类 机床, 市场前景广阔。

1.工作原理及机械结构

立车刀架自动轴切换装置,其结构特点如下:

- (1)用伺服电机作为驱动,通过按钮控制利用液压油 缸驱动拨叉完成轴的快速切换。
- (2) 用精密接近开关作为位置检测原件, 保证安全、 准确地进行轴的切换。
- (3) 机构结构简单、调整方便、操纵轻便灵活、运动 灵敏度高、自动化程度高、平稳性好,提高了机床的稳定 性及加工效率,减轻了工人劳动强度。

(4)转换过程中, 伺服电机进行自动微量摆动, 确保 了切换流畅, 无冲击。

2.侧刀架自动换向装置设计

(1)侧刀架

侧刀架安装在右立柱上,由伺服电机经减速箱驱动齿 条传动。侧刀架X/Z轴的切换采用电磁阀驱动滑移齿轮, 用压力继电器和行程开关作为轴切换完成检测条件, 使侧 刀架完成上下和前后的进给和快速移动。

(2) 换向结构

如图1所示, 立车刀座19工作时需沿X轴及Z轴运动, 为了实现上述运动, 伺服电机1和I轴3通过联轴器2联接, I 轴为花键轴,齿轮4装在I轴上, Ⅱ轴5上通过花键轴装有齿 轮6及齿轮7, Ⅲ轴8上装有齿轮9及双联滑移齿轮10,油缸 12上装有拨叉13,通过液压控制油缸12从a口或b口进油, 推动拨叉13沿AB向移动来拨动双联滑移齿轮10移动,接 通齿轮16或齿轮22来完成X轴或Z轴方向转换.齿轮16装在 齿轮轴№轴15上,当双联滑移齿轮10与齿轮16啮合时,齿轮 轴№轴15前端的齿轮部分与齿条17啮合,齿条17安装在滑 枕18上, 刀座19安装在滑枕18上, 滑枕18可沿箱体20上 的导轨沿X向移动,齿轮轴IV轴15前端的齿轮与齿条17啮 合时,由于齿轮轴IV轴只旋转不平移,带动齿条17沿X向 移动,实现整个滑枕18及刀座19一起相对箱体20沿X向左

右移动。当双联滑移齿轮10向下移动时、齿轮10与安装在V轴21上的齿轮22啮 合,此时V轴21上的锥齿轮23旋转,锥齿轮23与安装在齿轮轴25上的锥齿轮24 啮合,带动齿轮轴25旋转,齿轮轴25前端的齿轮部分与安装在立柱27上的齿条 26啮合, 齿条固定在立柱上不动, 齿轮轴25旋转并在齿条26上沿Z向移动, 带 动整个机构沿立柱27沿Z向上下移动。

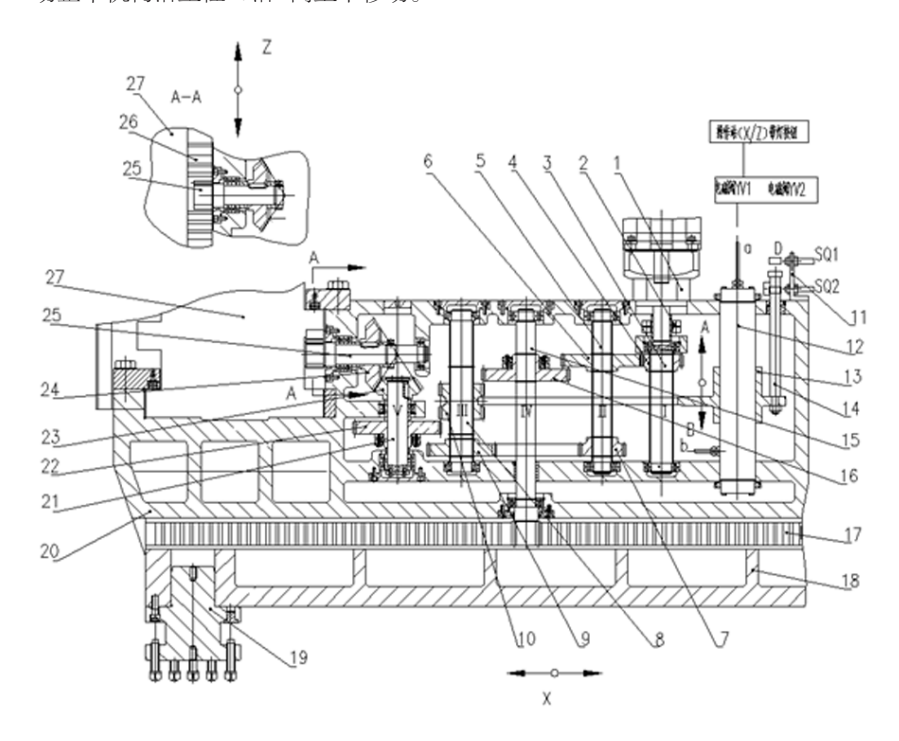


图1 立车刀架自动轴切换装置

1.伺服电机 2. 联轴器 3. 1轴 4.齿轮 5. 1轴 6.齿轮 7.齿轮 8. 11轴 9.齿轮 10.双联滑移齿轮 11.接近开关 12.油缸 13.拨叉 14.检测杆 15. 1/4轴 16.齿轮 17.齿条 18.滑枕 19.刀座 20.箱体 21. V轴 22. 齿轮 23. 锥齿轮 24. 锥齿轮 25. 齿轮轴 26. 齿条 27. 立柱

(3) 电气控制系统说明

SIMOTION是一个全新的西门子运动控制系统,它是世界上第一款针对生 产机械而设计的控制系统,将运动控制、逻辑控制及工艺控制功能集成于一 身,为生产机械提供了完整的解决方案。SIMOTION D的功能是集成在新的 SINAMICS S120多轴驱动系统的控制模板上,使之成为一个极其紧凑的拥有控 制器及驱动器的系统,将运动控制与驱动器功能集成在一起,使得系统具有极 快的响应速度。

基于以上平台, 开发一台集数字化设计技术、加工制造装配技术、静压支 承技术、电气控制技术、传感技术、伺服驱动等技术为一体的智能化低成本高 精度高效率产品。具体配置: Simotion D425多轴位置控制器+MP277触摸屏 +SINAMICS单轴电机模块+1FT7105永磁同步伺服电机+PP72/48PN I/O板, 通过博图TIA Portal V16 step7进行各功能部件的调试,以满足机床使用需求。

(4) 伺服轴控制

通过开放式的系统平台,用伺服技术简化传统的机械传动实现多轴多通 道,高精度控制,从而用普通机床实现数控系统功能,完成复杂零件加工。

控制逻辑,依据西门子(或其它相关控制系统)强大的调试软件,各轴的 运动通过伺服电机驱动,在MP277上开发适合最终用户使用的OEM界面,即可 实现单纯的速度控制, 也可实现精密 的位置控制,附加数显装置,方便操 作者适时观察到机床的位置、速度及 其他各种工作状态,方便进行手动、 自动加工。

3.控制原理

(1) 操作说明

将侧刀架整个机构安装在立柱 上,通过液压调整好侧刀架的平 衡,在操作站设置好轴选择(X/Z) 按钮,采用带灯按钮进行控制,按 下X/Z轴按钮,对应按钮灯亮起时 轴切换完成,接下对应轴的进给按 钮实现切削,如图2所示,在侧刀架 轴选择窗口,按下选择X轴,等检测 到到位信号后,选择X轴右侧绿灯亮 起。要切换X轴时,按下选择X轴, 等检测到到位信号后, 选择X轴右侧 绿灯亮起。



图 2 主界面

(2)控制原理

各轴的位置控制界面如图3所 示。按下X轴选择按钮电磁阀YV1工 作,油缸12驱动拨叉13沿A向运动, 拨叉13拨动双联滑移齿轮10与齿轮 16啮合,此时伺服电机1低速摆动, I轴低速摆动,通过带动齿轮4-齿轮 6-齿轮7-齿轮9-Ⅲ轴8-双联滑移齿 轮10低速摆动,以使双联滑移齿轮 10与齿轮16啮合平滑柔和的啮合。 此时, 电气控制方面油缸检测杆14到

82 WMEM · 2022年第3期

达D位置,接近开关SQ1接受到到位信号,开关信号传送 至面板Z轴的指示灯点亮, 伺服电机1停止摆动, 当面板X 轴灯点亮说明X轴切换完成, X向传动路线接通。

(3) X轴切削讲给

启动伺服电机1, 伺服电机1的运动通过I轴3-齿轮4-齿轮6-Ⅱ轴5-齿轮7-齿轮9-Ⅲ轴8-双联滑移齿轮10-齿 轮16-Ⅳ轴15旋转,齿轮轴Ⅳ轴15前端的齿轮部分旋转, 与齿条17啮合,齿条17沿Z向移动,滑枕18及刀座19一起 相对箱体20沿Z向左右移动。此时刀架就可以沿X轴按一定 速度移动。



图 3 各轴的位置控制界面

(4) 轴的切换

当需要沿Z移动时,按下Z轴选择按钮,电磁阀YV2工 作,油缸驱动拨叉13沿B向运动,双联滑移齿轮10向下运 动与齿轮22啮合,同时伺服电机开始微量摆动,实现双联 滑移齿轮10与齿轮22啮合平滑柔和的啮合, 电气控制方面 油缸检测杆到达E位置,接近开关SQ2接受到到位信号, 开关信号传送至面板Z轴的指示灯点亮, 当面板Z轴灯点亮 说明Z轴切换完成, Z向传动路线接通。

(5) Z轴切削进给

启动伺服电机1, 伺服电机1的运动通过I轴3-齿轮4-齿轮6-Ⅱ轴5-齿轮7-齿轮9-Ⅲ轴8-双联滑移齿轮10-齿 轮22-V轴21-锥齿轮23-锥齿轮24-齿轮轴25旋转,齿轮 轴25前端的齿轮部分旋转与固定在立柱27上的齿条26啮 合,由于齿条26固定在立柱27,齿轮轴25的旋转的同时沿 齿条26Z向运动,带动整个机构沿立柱27沿Z向上下移动。 切削工艺界面如图4所示。

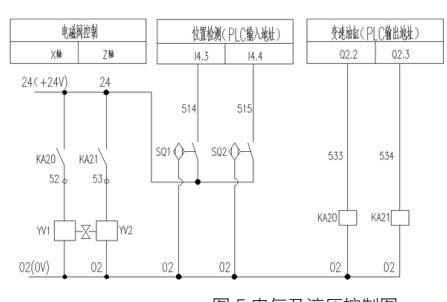
为了保证操作加工安全,利用液压控制平衡油缸和锁 紧压板等结构元件,用来控制侧刀架在Z轴位移(上下)方向 的平衡及夹紧松开。



图 4 切削工艺界面

4.电气及液压控制

电气及液压控制图如图5所示。



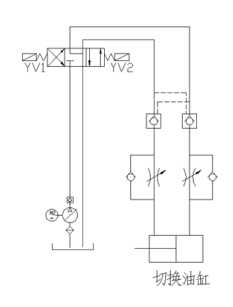


图 5 电气及液压控制图

KA20---油缸位置1/PLC输出地址Q2.2 KA21---油缸位置2 /PLC输出地址Q2.3

YV1----X轴电磁阀 YV2----Z轴电磁阀

SQ1----X轴位置检测开关/PLC输入地址I4.3

SQ2 ----Z轴位置检测开关/ PLC输入地址I4.4

电磁阀选用直流24V控制,用PNP型接近开关SQ1、 SQ2高电平信号作为位置检测开关信号,触摸屏发出轴切 换指令(也可以选择外部按钮开关)后,PLC判断当前位 置并发出相应指令, Q2.2输出, KA20动作, YV1得电, 电机微量摆动,至SQ1高电平输出,I4.3信号状态由"0" 变为"1"档位符合, 电机停止摆动, 切换完成后X轴指示 灯亮起, X轴切换完成。

5.结语

这种新型的侧刀架轴切换装置,用按钮操作替代了传 统的机械式切换,通过相应的检测原件,将当前轴直观的 显示在操作面板上,避免了操作者的误操作,切换过程通 过电气控制电机摆动, 进给轴自动切换。该机构具有结构 简单、调整方便、操纵轻便灵活、运动灵敏度高, 平稳性 好等特点,从而实现高效、灵活、安全,减轻了工人的劳 动强度。本装置已成功应用,申请报国家发明专利,专利 号: ZL20140812418.2, 并获得省专利三等奖。 □

激光干涉仪在机床定位精度测量中的不确定度

武汉重型机床集团公司质管部计量测试中心 曹峰 干禧棠 徐皓莉

随着数控技术应用的日益发展和进步,激光干涉仪作 为检测数控机床位置精度的主要工具, 在大量厂家得到广 泛应用。目前介绍激光干涉仪原理和检测方法方面的文章 也有很多,但是对于其在测量位置精度时的测量不确定度 还没有一个很详细的描述,特别是在常态下测量机床时的 不确定度分析,还没有一篇描述很清晰的文章供实际工作 中直接应用,往往只有理论上的推理,而在实际应用当中 却不好作为依据,如环境因素中的温度梯度、地基振动和 外部热源等的不确定度计算。另一些因素,如机床自身的 稳定性、正确的材料膨胀系数则很难建立数学模型并进行 不确定度的准确评定。以下本文就针对实际工作中的问题 进行阐述及探讨。

关于激光干涉仪的结构及工作原理,很多书都介绍过 了, 这里我们只需知道, 不管单频激光干涉仪还是双频外 差式激光干涉仪,它们检测的位移L在最后探测电路及运 算电路后,均是和波长有关(即与干涉条纹有关)。简而 言之, 最终的数学公式就是:

 $L=N.\lambda/2$ 公式(1)

其中: L=动反射镜的位移量:

N=半波长数,或干涉条纹个数;

 $\lambda =$ 激光的波长。

如图1所示, 从激光头射出的激光光束(1)到达偏 振分光镜时,被分成两束光:反射光束(2)和透射光束 (3)。这两束光被传送到各自的角锥反射镜中,然后反 射回分光镜中,在嵌于激光头中的探测器中形成干涉光 束,如果两光程差不变化,探测器将在相长干涉和相消干 涉的两端之间的某个位置观察到一个稳定的信号。如果两 光程差发生变化,每次光路变化时探测器都能观察到相长 干涉(4)和相消干涉(5)两端之间的信号变化。这些变 化(条纹)被数出来,用于计算两光程差的变化。测量的 长度等干条纹数乘以激光波长的一半,即公式1所示。

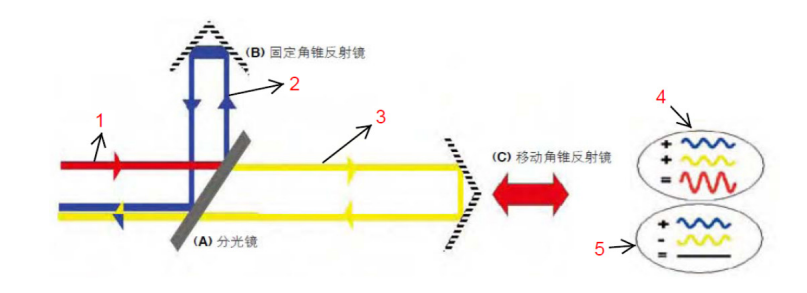


图1 单频激光干涉仪

如图2所示,双频外差式激光干涉仪是一种增量式的 测长仪器,激光器输出两种频率f,、f。的双频激光通过准直 扩束后,经1/4波片变为垂直和水平的两个线偏振光,一 部分被分光镜反射进入参考光接收器,以取得频差为f;-f。 的参考信号,用作测量基准,另一部分作为测量光束进入 干涉分光镜, 当反射镜随被测对象一起移动时, 产生的多 普勒频移使得引发生变化。由图3可知,从干涉镜射出并 被测量光接收器接收到的光频分别为 $f_1 \pm \Delta f$ 和 f_2 ,频差为 $f_1 \pm \Delta f - f_2$ 。通过与参考光接收器获得的参考信号相比较, 可得到f1的频率变化 Δf ,该变化量包含了被测对象的运动 信息,其值是半波长乘以频差对时间的积分,频差的时间 积分就是累积的干涉条纹数,也即公式1所示。

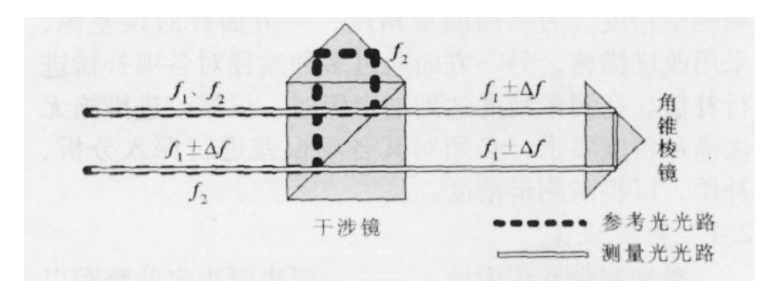


图2 双频外差式激光干涉仪

诵讨以上原理可知,激光干涉仪线性测距都是以参考

84 | WMEM · 2022年第3期

光和测量光的比较来测距的, 移动距离最终结果是两光程 差的变化。实际运用(见图3),参考光是以干涉分光镜 和角锥反射镜连在一起得到(这束光是固定的作为参考光 束),测量光是以随机床运动的角锥反射镜得到。

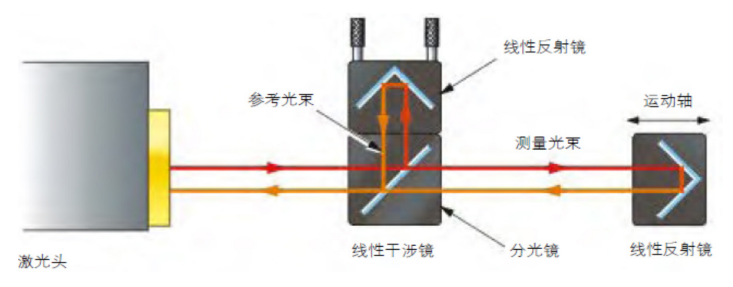


图3 激光干涉仪的测距示意图

我们的误差分析就是以此原理, 应用到实际工作中环 境人员操作和测量方法等来分析。

一、激光干涉仪误差分析简介

激光在真空中的稳频精度,厂家给的都是 $0.02 \sim 0.05 \mu \text{ m} ((2 \sim 5) \times 10^{-8} \text{mm})$,在常态下允差给的 是0.5 µ m以内。这是由于激光测量系统是利用光学效应进 行测量,因此激光测量系统对工作环境十分敏感。在高精 度的激光测量系统中,要求将实际工作环境控制在较为严 格的范围内, 其中环境控制的主要指标为空气温度、压力 以及空气的相对湿度等。以上指标变化的综合结果将会引 起空气折射率发生变化,从而导致波长的变化,最终引起 测量误差。另外,对光时是凭人眼来找正的,故有测量轴 线与运动轴线不平行带来的误差(即余弦误差),还有材 料温度传感器的误差引起的测长误差。其它还包括测量电 路的误差,光学镜组的制造误差等。

由于测量电路及光学镜组的制造误差(都小于 0.05 μ m), 这对于要求5 μ m~25 μ m/m的机床位置精度 来讲可以忽略不计, 所以下面主要讨论其他误差因素对于 不确定度的影响。

1.激光受环境变化引起的误差带来的不确定度分 量u₁

主要是空气折射率的变化导致波长的变化,根据资 料介绍,一般每项环境条件的变化(下面所列的变化 量),在没有补偿的情况下,分别都会导致激光在测长 时带来大约1ppm的误差: 空气温度 1°C (1.8°F); 空 气压力 3.3 mbar (0.098 in Hg); 相对湿度 (20° C时) 50%相对湿度(40°C时)30%。

因为在测量过程中,相对湿度的变化(<2%~5%)

和空气压力的变化(<0.3~1mbar)都很小,这两个量在 测量过程中基本没有影响,但是空气传感器允许误差这两 项分别1mba和6%, 带来的激光仪误差分别为:

空气压力误差带来的误差

 $1 \div 3.3 \times 1 \,\mu \,\text{m/m} \approx 0.3 \,\mu \,\text{m/m}$;

相对湿度误差带来的误差

 $6\% \div 30\% \times 1 \,\mu$ m/m $\approx 0.2 \,\mu$ m/m_o

另外,环境温度传感器0.2℃带来的激光仪误差:

 $0.2 \div 1 \times 1 \,\mu$ m/m $\approx 0.2 \,\mu$ m/m_o

所以激光干涉仪本身受环境影响的固定误差:上面三 项都是呈均匀分布,故三项不确定度分别为

 $0.3 \div \sqrt{3} \approx 0.17 \,\mu \,\text{m/m}$

 $0.2 \div \sqrt{3} \approx 0.12 \,\mu \,\text{m/m}$.

 $0.2 \div \sqrt{3} \approx 0.12 \,\mu \,\text{m/m}_{\odot}$

 $u_1 = \sqrt{0.173^2 + 0.116^2 + 0.116^2} \approx 0.24 \,\mu \,\text{m/m}$

则激光部分受环境影响带来的不确定度分量:

 $u_1 = 0.24 \cdot L \ (\mu \text{ m})$

L——测量长度,以米(m)计

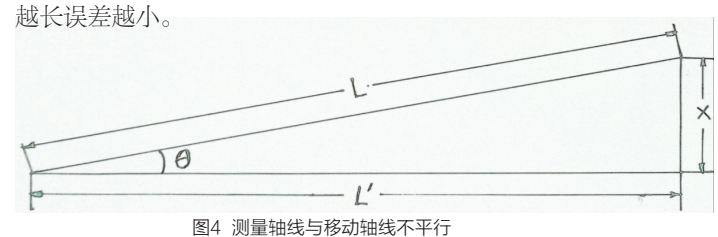
2. 余弦误差带来的不确定度分量u₂

余弦误差主要是光线找正时对准标靶的误差,人眼在 光斑很小时,一般在0.2~0.3mm,在光斑大点时,这里 给0.5mm内,在距离较长(>10m)光斑变淡变大的情况 下,一般在1.5~2mm内,此斜率带来误差(见图4)得到 公式:

$$\Delta L = L - L' = L(1 - \cos \theta)$$

式中: $\Delta L =$ 余弦误差L' =移动轴线距离L =测量轴 线距离 θ = 测量轴线与移动轴线夹角

显然这个误差也和距离有关。在对准误差一定时,轴



且成均匀分布。

由于 $\Delta L = L(1-\cos\theta)$ 其中 $\theta = \sin^{-1}X/L$

故该不确定度分量: $u_2 = \Delta L / = L(1 - \cos(\sin^{-1}X/L))/\sqrt{3}$

 ΔL 为余弦误差L为测量轴线距离 θ 为测量轴线与移动 轴线夹角X为对准误差

3. 材料温度传感器误差带来的不确定度分量u。

材料测量过程中因热膨胀带来的误差在不同材料时,

是不同的。通常我们机床行业的材料一般都是钢制或是铸 铁的,光栅尺一般是专用玻璃和钢制的,这些材料的膨胀 系数一般在10.5~12.5 µ m/(m·°C), 我们通常输入的系数 值为11.5 μ m/(m · °C)的,而激光干涉仪材料温度传感器 一般厂家制造精度都是±0.1℃,所以,最后带来的测量误 差为 $11.5 \mu \text{ m/(m} \cdot ^{\circ}\text{C}) \times 0.1 ^{\circ}\text{C} = 1.15 \mu \text{ m/m}_{\circ}$

写为通式: 11.5μm/(m·°C)×L×0.1°C=1.15·L(μm) 其成均匀分布, 所以, 该不确定度分量: $u_3 = 1.15L \div \sqrt{3} \approx 0.66 \cdot L \ (\mu \text{ m})$ L-测量长度,以米(m)计。

4. 死程误差带来的不确定度分量u₄

死程是图3所示分光镜到移动反射镜起始位置间的距 离,这段距离仪器是没办法补偿的,所以温度环境变化会 带来误差。该误差是随着该距离的大小而变化的。作为我 公司都是大型机床的特点,移动反射镜其始位置有时很难 缩小到很小的位置,一般都>300mm,经常还要>1m。 我们就以300mm死程来说,一般机床测量位置精度一次 来回在5m内一般用时5~10min, 五个来回25~50min, 短时间内温度变化一般在0.05~0.2℃,材料温度一般在 0.1℃以内。故可以估计该段死程误差的不确定度:

空气温度变化0.2℃带来激光误差:

 $0.2 \div 0.3 \times 1 \,\mu \,\mathrm{m} \approx 0.06 \,\mu \,\mathrm{m}$;

材料温度变化0.1°带来的误差:

 $11.5 \,\mu \,\text{m/(m} \cdot ^{\circ}\text{C}) \times 0.1 ^{\circ}\text{C} \times 0.3 \approx 0.35 \,\mu \,\text{m}$

以上两项都成均匀分布,不确定度分别为:

 $0.06 \,\mu \,\mathrm{m} \div \sqrt{3} \approx 0.03 \,\mu \,\mathrm{m}$ $0.35 \,\mu \,\mathrm{m/m} \div \sqrt{3} \approx 0.2 \,\mu \,\mathrm{m}$ 则死程误差带来的不确定度分量:

 $u_4 = \sqrt{0.03^2 + 0.2^2} (\mu \text{ m}) \approx 0.20 \mu \text{ m}$

则任意死程的不确定度分量为:

 $u_4 = 0.2 \times 1 \div 0.3 \cdot Y(\mu \text{ m}) = 0.67 \cdot Y(\mu \text{ m})$

Y-死程的长度,以米(m)计。

5. 材料热膨胀系数带来的不确定度u₅

通常我们机床行业的材料一般都是钢制或是铸铁的, 光栅尺一般是专用玻璃和钢制的,这些材料的膨胀系数一 般在10.5 ~ 12.5 µ m/(m・℃), 我们通常输入的系数值为 11.5 μ m/(m · °C),则有 ± 1 μ m/(m · °C)的误差。其成均 匀分布, 所带来不确定度分量:

 $u_4 = 1 \mu \text{ m/(m} \cdot \text{°C)} \times L \times \Delta t \div \sqrt{3} = 0.577 \cdot L \cdot \Delta t$ L一测量长度,以米(m)计;

Δt—实际温度与标准温度20°C的差值。

6. 测量的重复性带来的不确定度分量u_e

重复性是激光干涉仪多次测量机床同一点时的不一致

性带来的随机误差,测量位置精度时受到环境变化的影响 以及机床综合性能的影响,在此影响下,测量同一点时会 产生不一致性。该误差是不一定的,通过统计计算得到该 项带来的不确定度。机床位置精度测量中,重复定位S.是 正反各5次测量同一位置的标准差平均值乘4(国标)或乘6 (VDI3441)得到。由于是测量5次取平均值,所以平均值 的标准差 \overline{S} 作为该分量的不确定度。 $\overline{S}_i = S_i/4\sqrt{n-1}$, n等于 5; 测量的重复性带来的不确定度分量:

 $u_6 = S_i/4\sqrt{5-1} = S_i/8 = 0.125 \cdot S_i$ (VDI标准=0.06 · S_i)。

7. 环境变化带来的不确定度分量 u_7

在测量过程中,环境、仪器设备和/或机床可能漂移或 发生改变,影响测量系统的读数这种环境变化误差是可以 通过漂移试验(通过在被测机床上设置测量设备,并在被 测机床极端位置上进行观察读数,并在测量时间长度内做 该定位试验,测量其读数的变化量)检查,该检查结果包 含该影响大小 (E_{VE}) ,该值通过统计计算评估得到 u_7

该值统计区间为整个包容区间, 在整个区间内成均匀 分布,且不确定度分量计算是取半宽区间,故环境变化带 来的不确定度分量: $u_7 = E_{VE}/2\sqrt{3} (\mu m)$, 需要注意的 是:该分量不包含在设备的重复性定位里。

8. 测量安装反射镜位置的重复性带来的不确定 度分量u。

直线定位精度和重复性在不同的测量线之间变化, 这时如果移动轴具有俯仰和/或偏摆运动。因此,测量 线必须准确地规定。测量线的准确位置是至关重要的。 在实践中,不可能准确地说明测量线的位置,因此,该 测量不确定度的因素必须包括在内。这种影响取决于被 测轴的角度偏差(俯仰和偏摆)的大小,以及二次安装 的测量线之间的阿贝偏移。偏移量是两侧测量直线间的 距离 (O_{ABBE}) ,角度偏差(俯仰和偏摆)的大小 (D_{ANGLE}) , 则测量安装反射镜位置的重复性带来的测量长度的变化 ($\Delta L_{SETUP} = \sqrt{2} \cdot O_{ABBE} \cdot D_{ANGLE}/1000$)。该变化在整 个区间内成均匀分布, 且不确定度分量计算是取半宽区 间,故测量安装反射镜位置的重复性带来的不确定度分 量: $u_8 = \Delta L_{\text{SETUP}}/2\sqrt{3} = \frac{\sqrt{2} \cdot O_{\text{ABBE}} \cdot D_{\text{ANGLE}}}{1000 \times 2\sqrt{3}}$ 。

最后合并标准不确定度 $u_{point} = \sqrt{u_1^2 + u_2^2 + u_3^2 + u_4^2 + u_5^2 + u_6^2 + u_7^2 + u_8^2}$ upoint为位置测量点的不确定度,其中

 $u_1^2 = (0.24 \cdot L)^2 = 0.058 \cdot L^2$

 $u_2^2 = (L(1-\cos(\sin^{-1}X/L))/\sqrt{3})^2 = L^2(1-\cos(\sin^{-1}X/L))^2/3$

 $u_3^2 = (0.66 \cdot L)^2 = 0.44 \cdot L^2 u_4^2 = (0.67 \cdot Y)^2 = 0.45 \cdot Y^2 u_5^2 = (0.577 \cdot L \cdot \Delta t)^2 = 0.33 \cdot L^2 \Delta t^2$

 $u_6^2 = (0.125 \cdot S_i)^2 = 0.016 \cdot S_i^2$ $u_7^2 = (E_{VE}/2\sqrt{3})^2 = 0.289 \cdot E_{VE}^2 u_8^2 = \frac{\sqrt{2} \cdot O_{ABBE} \cdot D_{ANGLE}}{1000 \cdot 2\sqrt{2}})^2$

L—测量长度,以米(m)计X—激光调校时的测量轴 线对准的误差;

Y—移动反光镜的起始点到干涉镜间的距离(即死程);

Δt—实际温度与标准温度20℃的差值Si—单次重复性 的标准差;

EVE—环境变化带来的漂移OABBE—二次安装的测量线 之间的阿贝偏移;

D_{ANGLE}—角度偏差(俯仰和偏摆)的大小(该值可测 量出来,或以标准要求给出)。

扩展标准不确定度 $U_{point}=k \cdot u_{point}$,包含因子k取2

二、位置精度检测中各项精度结果的 不确定度评估,包含因子都取 (k=2)

(1) VDI3441标准的检测参数如下:

有P(定位精度), Pa(位置偏差), Ps(重复定 位), U(反向间隙)等4个参数。

a) Pa(位置偏差)的不确定度:

 $u_{P_2} = \sqrt{u_1^2 + u_2^2 + u_3^2 + u_4^2 + u_5^2 + u_6^2 + u_7^2/n + u_8^2}$

扩展不确定度Up。=2·up。

b) P(定位精度)的不确定度:

$$u_P = \sqrt{u_1^2 + u_2^2 + u_3^2 + u_4^2 + u_5^2 + u_7^2/n + u_8^2}$$

扩展不确定度Up=2·up

c) Ps (重复定位)的不确定度(VDI3441是6倍的标

准差):
$$u_{Ps}=6\cdot\sqrt{\frac{1}{n-1}}\cdot u_7$$
(n=10)

扩展不确定度U_{Ps}=2·u_{Ps}

d) U(反向间隙)的不确定度:

$$u_U = 2 \cdot \sqrt{\mathbf{u_7^2/n} + \mathbf{u_8^2}}$$

扩展不确定度U11=2·u11

(2) 国标和ISO标准相同, 其检测参数如下:

有定位精度(A, A↑,A↓),位置偏差(E,

 $E \uparrow , E \downarrow$), 重复定位(R, R ↑, R ↓), 反向间隙B。

a) 位置偏差(E, E↑,E↓)的 不确定度:

 $U_{(E, E\uparrow, E\downarrow)} = \sqrt{u_1^2 + u_2^2 + u_3^2 + u_4^2 + u_5^2 + u_5^2 + u_7^2/n + u_8^2}$ 单向 $u_{(E\uparrow,E\downarrow)}$ 时n=5 双向 u_E 时n=10

扩展不确定度: U(E, E1,E1) = 2 · u(E, E1,E1)

b) 定位精度(A, A↑,A↓)的 不确定度:

 $u_{(A, A\uparrow, A\downarrow)} = \sqrt{u_1^2 + u_2^2 + u_3^2 + u_4^2 + u_5^2 + u_7^2/n + u_8^2}$ 单向u(4,1,4)时n=5;双向u₄时,由于双向是取了两 个单向高低点,故n=3.5。

扩展不确定度U(A, A↑,A↓) =2 · u(A, A↑,A↓)

c) 单向重复定位(R↑,R↓)的 不确定度:

$$u_{(R\uparrow,R\downarrow)} = 4\cdot\sqrt{\frac{1}{n-1}}\cdot u_7n=5$$

扩展不确定度 $U_{(R\uparrow,R\downarrow)}=2 \cdot u_{(R\uparrow,R\downarrow)}$

d) 双向重复定位R的不确定度:

$$U_R = \sqrt{u_B^2 + u_{(R\uparrow,R\downarrow)}^2} n=5$$

扩展不确定度 $U_R = 2 \cdot u_R$

e) 反向间隙B的不确定度:

$$u_B = 2 \cdot \sqrt{u_7^2/n + u_8^2} n = 5$$

扩展不确定度U_B=2・u_B

三、举例说明各定位精度检测参量的 不确定评估

我们以温度分别为20±1℃, 20±5℃, 20±10℃时, 测量1000mm、2000mm、5000mm、10000mm的轴来评 估不确定度。

(1) 温度为20±1℃, 测量1000mm, 2000mm, 5000mm, 10000mm的轴, 测量时死程300mm, 光轴对 准误差在1mm,测量时间段实验漂移2μm,安装重复在 50mm(以标准要求机床移动偏转角度误差0.05mm/m), 机床重复定位结果0.01mm。得到下列各分量结果:

a) $u_{1(1000)} = 0.24 \times 1 = 0.24 \,\mu$ m, $u_{1(2000)} = 0.24 \times 2 = 0.48 \,\mu$ m, $u_{1(5000)} = 0.24 \times 5 = 1.2 \,\mu$ m, $u_{1(10000)} = 0.24 \times 10 = 2.4 \,\mu$ m

b) $U_{2(1000)} = 1000 \times (1 - \cos(\sin^{-1}(1/1000))) / \sqrt{3} = 0.5 / \sqrt{3} \mu m \approx 0.29 \mu m$ $U_{2(2000)} = 2000 \times (1 - \cos(\sin^{-1}(1/2000))) / \sqrt{3} = 0.25 / \sqrt{3} \approx 0.14 \mu m$

 $U_{2(5000)} = 5000 \times (1 - \cos(\sin^{-1}(1/5000))) / \sqrt{3} = 0.1 / \sqrt{3} \mu m \approx 0.06 \mu m$

 $U_{2(10000)} = 10000 \times (1 - \cos(\sin^{-1}(1/10000))) / \sqrt{3} = 0.05 / \sqrt{3} \mu m \approx 0.03 \mu m$

 $c)u_{3(1000)} = 0.66 \times 1 = 0.66 \,\mu \,\text{m}, \ u_{3(2000)} = 0.66 \times 2 = 1.32 \,\mu \,\text{m},$ $u_{3(5000)} = 0.66 \times 5 = 3.3 \,\mu$ m, $u_{3(10000)} = 0.66 \times 10 = 6.6 \,\mu$ m

d) $u_{4(1000)} = 0.67 \times 0.3 = 0.2 \,\mu \, m = u_{4(2000)} = u_{4(5000)} = u_{4(10000)}$

f) $u_{5(1000)} = 0.577 \cdot L \cdot \Delta t = 0.577 \times 1 \times 1 \,\mu \,m \approx 0.58 \,\mu \,m$,

 $u_{5(2000)} = 0.577 \cdot L \cdot \Delta t = 0.577 \times 2 \times 1 \mu \text{ m} \approx 1.15 \mu \text{ m},$ $u_{5(5000)} = 0.577 \cdot L \cdot \Delta t = 0.577 \times 5 \times 1 \,\mu \,\mathrm{m} \approx 2.89 \,\mu \,\mathrm{m}$

 $u_{5(10000)} = 0.577 \cdot L \cdot \Delta t = 0.577 \times 10 \times 1 \,\mu \,\mathrm{m} \approx 5.8 \,\mu \,\mathrm{m}$

j) $u_{6(1000)} = 0.125 \times S_i = 0.125 \times 0.01 \text{mm} = 1.25 \,\mu \,\text{m} = u_{6(2000)}$ $=u_{6(5000)}=u_{6(10000)}$

h) $U_{7(1000)} = E_{VE}/2\sqrt{3} = 2/(2/\sqrt{3}) = 0.58 \mu m = U_{7(2000)} = U_{7(5000)} = U_{7(10000)}$

 $\text{i)} \quad \textit{$U_{\mathcal{S}}$ (1000)} = \frac{\sqrt{2} \cdot O_{ABBE} \cdot D_{ANGLE}}{1000 \times 2\sqrt{3}} = \frac{\sqrt{2} \cdot 50 \cdot 0.05}{1000 \times 2\sqrt{3}} = 1.02 \, \mu\text{m} = \textit{$U_{\mathcal{S}}$ (2000)} = \textit{$U_{\mathcal{S}}$ (5000)} = \textit{$U_{\mathcal{S}}$ (10000)}$ 则在该条件下的各参数结果的不确定度为:

位置偏差(E, E↑,E↓)的 不确定度:

 $U_{1000(E_1,E_1,E_2)} = \left[u_1^2 + u_2^2 + u_3^2 + u_4^2 + u_5^2 + u_6^2 + u_7^2/n + u_8^2 \right]$ = $(0.24^2+0.29^2+0.66^2+0.2^2+0.58^2+1.25^2+0.58^2/5+1.02^2)^{1/2}\approx 1.89$

单向 $u_{(E_1^*,E_2^*)}$ 时n=5 双向 u_E 时n=10

扩展不确定度: U_{1000 (E. Ε↑.Ε↓)} =2 · u_(E. Ε↑.Ε↓) =2 × 1.89≈3.8 μ m

 $u_{2000(E, E\uparrow, E\downarrow)} = (0.48^2 + 0.14^2 + 1.32^2 + 0.2^2 + 1.15^2 + 1.25^2 + 0.58^2 / 5 + 1.02^2)^{1/2} \approx 2.44$

扩展不确定度: U_{2000 (E, Et, Et)} =2 · u_(E, Et, Et) =2 × 2.44 ≈ 4.9 μ m

 $u_{5000(E,E^{\uparrow},E^{\downarrow})} = (1.2^2 + 0.06^2 + 3.3^2 + 0.2^2 + 2.89^2 + 1.25^2 + 0.58^2 / 5 + 1.02^2)^{1/2} \approx 4.83$

扩展不确定度: U_{5000 (E, E↑,E↓)} =2 · u_(E, E↑,E↓) =2 × 4.83≈9.7 μ m

 $u_{10000\,(E,\ E\uparrow,E\downarrow)} = (2.4^2 + 0.03^2 + 6.6^2 + 0.2^2 + 5.8^2 + 1.25^2 + 0.58^2 / 5^2 + 1.02^2)^{1/2} \approx 9.25$

扩展不确定度: $U_{2000\,(E,\,E\uparrow,E\downarrow)}$ = $2 \cdot u_{\,(E,\,E\uparrow,E\downarrow)}$ = $2 \times 9.25 \approx 18.5\,\mu$ m

定位精度(A, A↑,A↓)的不确定度:

 $u_{1000(A, A\uparrow, A\downarrow)} = \sqrt{u_1^2 + u_2^2 + u_3^2 + u_4^2 + u_5^2 + u_7^2/n + u_8^2}$

 $=(0.24^2+0.29^2+0.66^2+0.2^2+0.58^2+0.58^2+5+1.02^2)^{1/2}\approx 1.42$

单向 $u_{(A\uparrow,A\downarrow)}$ 时n=5 双向 u_A 时由于双向是取了两个单向高低点,故 n=3.5

扩展不确定度: $U_{1000(A,A\uparrow,A\downarrow)} = 2 \cdot u_{1000(A,A\uparrow,A\downarrow)} = 2 \times 1.42 \approx 2.8 \,\mu$ m

 $u_{2000(A, Af, Af)} = (0.48^2 + 0.14^2 + 1.32^2 + 0.2^2 + 1.15^2 + 0.58^2 / 5 + 1.02^2)^{1/2} \approx 2.1$

扩展不确定度: $U_{2000\,(A,\,A\uparrow,A\downarrow)}=2\cdot u_{2000\,(A,\,A\uparrow,A\downarrow)}=2\times 2.1\approx 4.2\,\mu$ m

 $u_{5000(A, Af, Af)} = (1.2^2 + 0.06^2 + 3.3^2 + 0.2^2 + 2.89^2 + 0.58^2 / 5 + 1.02^2)^{1/2} \approx 4.66$

扩展不确定度: $U_{2000\,(A,\,A\uparrow,A\downarrow)}$ = $2 \cdot u_{2000\,(A,\,A\uparrow,A\downarrow)}$ = $2 \times 4.66 \approx 9.3\,\mu$ m

 $u_{10000,(4-4,7,4/)} = (2.4^2 + 0.03^2 + 6.6^2 + 0.2^2 + 5.8^2 + 0.58^2 / 5 + 1.02^2)^{1/2} \approx 9.17$

扩展不确定度: $U_{2000\,(A,\,A\uparrow,A\downarrow)}=2\cdot u_{2000\,(A,\,A\uparrow,A\downarrow)}=2\times 9.17\approx 18.3\,\mu$ m

单向重复定位(R↑,R↓)的不确定度:

$$u_{1000 (Rf,R\downarrow)} = 4 \cdot \sqrt{\frac{1}{n-1}} \cdot u_7 = 4 \times \sqrt{\frac{1}{5-1}} \times 0.58 = 1.16 \,\mu \,\text{mn} = 5$$

扩展不确定度: $U_{1000\,(R\uparrow,R\downarrow)}=2\cdot u_{1000\,(R\uparrow,R\downarrow)}=2\times 1.16\approx 2.3\,\mu$ m

 $u_{1000(R\uparrow,R\downarrow)} = u_{2000(R\uparrow,R\downarrow)} = u_{5000(R\uparrow,R\downarrow)} = u_{10000(R\uparrow,R\downarrow)}$

 $U_{1000 (R\uparrow,R\downarrow)} = 2 \cdot u_{1000 (R\uparrow,R\downarrow)} \approx 2.3 \,\mu \,\mathrm{m} = U_{2000 (R\uparrow,R\downarrow)} = U_{5000 (R\uparrow,R\downarrow)} = U_{10000 (R\uparrow,R\downarrow)}$

双向重复定位R的 不确定度:

$$U_{1000\%} = \sqrt{(2 \cdot \sqrt{u_7^2/n + u_8^2})^2 + u_{(R\uparrow,R\downarrow)}^2} = ((2 \times \sqrt{0.58^2/5 + 1.02^2})^2 + 1.16^2)^{1/2} \approx 2.4 \mu \text{m}$$

扩展不确定度: $U_{1000R}=2 \cdot u_R=2 \times 2.4 \approx 4.8 \, \mu \, \text{m}$

 $U_{1000R} = 2 \cdot u_R = 2 \times 2.4 \approx 4.8 \,\mu \,\text{m} = U_{2000R} = U_{5000R} = U_{10000R}$

反向间隙B的不确定度:

$$u_{1000B}$$
=2· $\sqrt{u_7^2/n + u_8^2}$ =2× $\sqrt{0.58^2/5 + 1.02^2}$ ≈ 2.01 μ m n=5

扩展不确定度: U_U=2·u_{1000B}=2×2.01≈4μm

 $U_{1000B} = 2 \cdot u_R = 2 \times 2.4 \approx 4.8 \,\mu \text{ m} = U_{2000B} = U_{5000B} = U_{10000B}$

(2)温度为20±5℃,测量1000mm,2000mm,5000mm,10000mm的轴,测量时死程300mm,光轴对准误差在 1mm,测量时间段实验漂移2μm,安装重复在50mm(以标准要求机床移动偏转角度误差0.05mm/m),机床重复定位结 果0.01mm。得到下列各分量结果:

温度的改变只对第五项分量膨胀系数的不确定度有影响,即us会变,别的分量不变。

 $u_{5,(1000)} = 0.577 \cdot L \cdot \Delta t = 0.577 \times 1 \times 5 \,\mu$ m $\approx 2.89 \,\mu$ m, $u_{5,(2000)} = 0.577 \cdot L \cdot \Delta t = 0.577 \times 2 \times 5 \,\mu$ m $\approx 5.77 \,\mu$ m

 $u_{5(5000)} = 0.577 \cdot L \cdot \Delta t = 0.577 \times 5 \times 5 \,\mu \,\mathrm{m} \approx 14.45 \,\mu \,\mathrm{m}$, $u_{5(10000)} = 0.577 \cdot L \cdot \Delta t = 0.577 \times 10 \times 5 \,\mu \,\mathrm{m} \approx 28.85 \,\mu \,\mathrm{m}$

则在该条件下的各参数结果的不确定度为:

位置偏差(E, E↑,E↓)的不确定度:

$$u_{1000(E, E\uparrow, E\downarrow)} = \sqrt{u_1^2 + u_2^2 + u_3^2 + u_4^2 + u_5^2 + u_6^2 + u_7^2/n + u_8^2}$$

 $=(0.24^2+0.29^2+0.66^2+0.2^2+2.89^2+1.25^2+0.58^2/5+1.02^2)^{1/2}\approx 3.4$

单向 $u_{(E\uparrow,E\downarrow)}$ 时n=5; 双向 u_E 时n=10

扩展不确定度: $U_{1000(E,Ef,EL)} = 2 \cdot u_{(E,Ef,EL)} = 2 \times 3.4 \approx 6.8 \,\mu$ m

 $u_{2000(E, E\uparrow, E\downarrow)} = (0.48^2 + 0.14^2 + 1.32^2 + 0.2^2 + 5.77^2 + 1.25^2 + 0.58^2 / 5 + 1.02^2)^{1/2} \approx 6.2$

扩展不确定度: $U_{2000(E,E,E,f,E,L)} = 2 \cdot u_{(E,E,f,E,L)} = 2 \times 6.2 \approx 12.4 \,\mu$ m

 $u_{5000(E,E\uparrow,E\downarrow)} = (1.2^2 + 0.06^2 + 3.3^2 + 0.2^2 + 14.45^2 + 1.25^2 + 0.58^2 / 5 + 1.02^2)^{1/2} \approx 15$

扩展不确定度: U_{5000 (E, E↑,E↓)} =2 · u_(E, E↑,E↓) =2 × 15 ≈ 30 μ m

 $u_{10000(E, E\uparrow, E\downarrow)} = (2.4^2 + 0.03^2 + 6.62 + 0.2^2 + 28.85^2 + 1.25^2 + 0.58^2 / 5^2 + 1.02^2)^{1/2} \approx 29.74$

扩展不确定度 $U_{2000\,(E,\,E\uparrow,E\downarrow)}$ =2 · $u_{\,(E,\,E\uparrow,E\downarrow)}$ =2 × 29.74 \approx 59.5 μ m

定位精度(A, A↑,A↓)的不确定度:

 $u_{1000(A, A\uparrow, A\downarrow)} = \sqrt{u_1^2 + u_2^2 + u_3^2 + u_4^2 + u_5^2 + u_7^2/n + u_8^2}$

 $=(0.24^2+0.29^2+0.66^2+0.2^2+2.89^2+0.58^2/5+1.02^2)^{1/2}\approx 3.17$

单向 $u_{(AT,AL)}$ 时,n=5 ; 双向 u_A 时,由于双向是取了两个单向高低点,故 n=3.5 。

扩展不确定度: U_{1000 (A, A↑ A↓)} =2 · u_{1000 (A, A↑ A↓)} =2 × 3.17 ≈ 6.3 μ m

 $u_{2000(A, A^{\dagger}, A^{\dagger})} = (0.48^2 + 0.14^2 + 1.32^2 + 0.2^2 + 5.77^2 + 0.58^2 / 5 + 1.02^2)^{1/2} \approx 6.03$

扩展不确定度: $U_{2000\,(A,\,A\uparrow,A\downarrow)}=2\cdot u_{2000\,(A,\,A\uparrow,A\downarrow)}=2\times6.03\approx12.1\,\mu\,\mathrm{m}$

 $u_{5000(A, Af, A\downarrow)} = (1.2^2 + 0.06^2 + 3.3^2 + 0.2^2 + 14.45^2 + 0.58^2 / 5 + 1.02^2)^{1/2} \approx 14.91$

扩展不确定度: $U_{2000\,(A,\,A\uparrow,A\downarrow)}$ = $2 \cdot u_{2000\,(A,\,A\uparrow,A\downarrow)}$ = $2 \times 14.91 \approx 29.8 \,\mu$ m

 $u_{10000(A,A\uparrow,A\downarrow)} = (2.4^2 + 0.03^2 + 6.6^2 + 0.2^2 + 28.85^2 + 0.58^2 / 5 + 1.02^2)^{1/2} \approx 29.71$

扩展不确定度: $U_{2000\,(A,\,A\uparrow,A\downarrow)}=2\cdot u_{2000\,(A,\,A\uparrow,A\downarrow)}=2\times 29.71\approx 59.4\,\mu\,\mathrm{m}$

单向重复定位 (R↑,R↓) 的 不确定度:

$$u_{1000 (Rf,Rf)} = 4 \cdot \sqrt{\frac{1}{n-1}} \cdot u_7 = 4 \times \sqrt{\frac{1}{5-1}} \times 0.58 = 1.16 \,\mu \,\text{mn} = 5$$

扩展不确定度: $U_{1000(R\uparrow,R\downarrow)}=2 \cdot u_{1000(R\uparrow,R\downarrow)}=2 \times 1.16 \approx 2.3 \mu \text{ m}$

 $u_{1000(R\uparrow,R\downarrow)} = u_{2000(R\uparrow,R\downarrow)} = u_{5000(R\uparrow,R\downarrow)} = u_{10000(R\uparrow,R\downarrow)}$

 $U_{1000 (R\uparrow,R\downarrow)} = 2 \cdot u_{1000 (R\uparrow,R\downarrow)} \approx 2.3 \,\mu \,\mathrm{m} = U_{2000 (R\uparrow,R\downarrow)} = U_{5000 (R\uparrow,R\downarrow)} = U_{10000 (R\uparrow,R\downarrow)}$

双向重复定位R的 不确定度:

$$U_{1000R} = \sqrt{(2 \cdot \sqrt{u_7^2/n + u_8^2})^2 + u_{(R\uparrow,R\downarrow)}^2} = ((2 \times \sqrt{0.58^2/5 + 1.02^2})^2 + 1.16^2)^{1/2} \approx 2.4 \mu m$$

扩展不确定度: U_{1000R}=2·*u_R*=2×2.4≈4.8μm

 $U_{1000R} = 2 \cdot u_R = 2 \times 2.4 \approx 4.8 \,\mu \,\text{m} = U_{2000R} = U_{5000R} = U_{10000R}$

反向间隙B的不确定度:

$$u_{1000B} = 2 \cdot \sqrt{u_7^2/n + u_8^2} = 2 \times \sqrt{0.58^2/5 + 1.02^2} \approx 2.01 \,\mu \,\text{m}$$
 n=5

扩展不确定度: U_U=2·u_{1000B}=2×2.01≈4μm

 $U_{1000B} = 2 \cdot u_R = 2 \times 2.4 \approx 4.8 \,\mu \text{ m} = U_{2000B} = U_{5000B} = U_{10000B}$

(3)温度为20±10℃,测量1000mm,2000mm,5000mm,10000mm的轴,测量时死程300mm,光轴对准误差在 1mm,测量时间段实验漂移2μm,安装重复在50mm(以标准要求机床移动偏转角度误差0.05mm/m),机床重复定位结 果0.01mm。得到下列各分量结果:

温度的改变只对第五项分量膨胀系数的不确定度有关,即u5会变,别的分量不变。

 $u_{5,(1000)} = 0.577 \cdot L \cdot \Delta t = 0.577 \times 1 \times 10 \,\mu$ m $\approx 5.77 \,\mu$ m, $u_{5,(2000)} = 0.577 \cdot L \cdot \Delta t = 0.577 \times 2 \times 10 \,\mu$ m $\approx 11.54 \,\mu$ m

 $u_{5,(5000)} = 0.577 \cdot L \cdot \Delta t = 0.577 \times 5 \times 10 \,\mu \,\mathrm{m} \approx 28.85 \,\mu \,\mathrm{m}, \ u_{5,(10000)} = 0.577 \cdot L \cdot \Delta t = 0.577 \times 10 \times 10 \,\mu \,\mathrm{m} \approx 57.7 \,\mu \,\mathrm{m}$

则在该条件下的各参数结果的不确定度为:

位置偏差(E, E↑,E↓)的 不确定度:

$$u_{1000(E, E\uparrow,E\downarrow)} = \sqrt{u_1^2 + u_2^2 + u_3^2 + u_4^2 + u_5^2 + u_6^2 + u_7^2/n + u_8^2}$$

= $(0.24^2 + 0.29^2 + 0.66^2 + 0.2^2 + 5.77^2 + 1.25^2 + 0.58^2/5 + 1.02^2)^{1/2} \approx 6.04$

单向 $u_{(E\uparrow,E\downarrow)}$ 时n=5 双向 u_E 时n=10

www.cmtba.org.cn 2022年第3期·WMEM | 89

```
扩展不确定度: U_{1000(E, E\uparrow, E\downarrow)} = 2 \cdot u_{(E, E\uparrow, E\downarrow)} = 2 \times 6.04 \approx 12.1 \,\mu m
u_{2000(E,E\uparrow,E\downarrow)} = (0.48^2 + 0.14^2 + 1.32^2 + 0.2^2 + 11.54^2 + 1.25^2 + 0.58^2 / 5 + 1.02^2)^{1/2} \approx 11.74
扩展不确定度: U_{2000\,(E,\;E\uparrow,E\downarrow)} =2 · u_{\,(E,\;E\uparrow,E\downarrow)} =2 × 11.74 \approx 23.5 \mu m
u_{5000(E,E^{\uparrow},E^{\downarrow})} = (1.2^2 + 0.06^2 + 3.3^2 + 0.2^2 + 28.85^2 + 1.25^2 + 0.58^2 / 5 + 1.02^2)^{1/2} \approx 29.11
扩展不确定度: U_{5000(E, E\uparrow, E\downarrow)}=2・u_{(E, E\uparrow, E\downarrow)}=2×29.11≈58.2μm
u_{10000(E, E\uparrow, E\downarrow)} = (2.4^2 + 0.03^2 + 6.6^2 + 0.2^2 + 57.7^2 + 1.25^2 + 0.58^2 / 5^2 + 1.02^2)^{1/2} \approx 58.15
扩展不确定度: U_{2000\,(E,\,E\uparrow,E\downarrow)} = 2 \cdot u_{\,(E,\,E\uparrow,E\downarrow)} = 2 \times 58.15 \approx 116.3\,\mu m
定位精度 (A, A \uparrow ,A \downarrow ) 的 不确定度:
u_{1000(A,A\uparrow,A\downarrow)} = \sqrt{u_1^2 + u_2^2 + u_3^2 + u_4^2 + u_5^2 + u_7^2/n + u_8^2}
                                                  =(0.24^2+0.29^2+0.66^2+0.2^2+5.77^2+0.58^2/5+1.02^2)^{1/2}\approx 5.92
单向u_{(A\uparrow A\downarrow)}时, n=5; 双向u_A时, 由于双向是取了两个单向高低点, 故 n=3.5。
扩展不确定度: U<sub>1000 (A, A↑,A↓)</sub> =2 · u<sub>1000 (A, A↑,A↓)</sub> =2 × 5.92 ≈ 11.8 μ m
u_{2000(A, A\uparrow, A\downarrow)} = (0.48^2 + 0.14^2 + 1.32^2 + 0.2^2 + 11.54^2 + 0.58^2 / 5 + 1.02^2)^{1/2} \approx 11.68
扩展不确定度: U<sub>2000 (A, A↑,A↓)</sub> =2 · u<sub>2000 (A, A↑,A↓)</sub> =2 × 11.68 ≈ 23.4 μ m
u_{5000(A, A\uparrow, A\downarrow)} = (1.2^2 + 0.06^2 + 3.3^2 + 0.2^2 + 28.85^2 + 0.58^2 / 5 + 1.02^2)^{1/2} \approx 29.08
扩展不确定度: U<sub>2000 (A, A↑,A↓)</sub> =2 · u<sub>2000 (A, A↑,A↓)</sub> =2 × 29.08≈58.2 μ m
u_{10000(A,A\uparrow,A\downarrow)} = (2.4^2 + 0.03^2 + 6.6^2 + 0.2^2 + 57.7^2 + 0.58^2 / 5 + 1.02^2)^{1/2} \approx 58.14
扩展不确定度: U_{2000(A,A\uparrow,A\downarrow)} = 2 \cdot u_{2000(A,A\uparrow,A\downarrow)} = 2 \times 58.14 \approx 116.3 \,\mu m
单向重复定位(R↑,R↓)的 不确定度:
u_{1000(R\uparrow,R\downarrow)} = 4 \cdot \sqrt{\frac{1}{n-1}} \cdot u_7 = 4 \times \sqrt{\frac{1}{5-1}} \times 0.58 = 1.16 \,\mu \,\text{mn} = 5
扩展不确定度: U_{1000(R\uparrow,R\downarrow)}=2 \cdot u_{1000(R\uparrow,R\downarrow)}=2 \times 1.16 \approx 2.3 \,\mu m
u_{1000(R\uparrow,R\downarrow)} = u_{2000(R\uparrow,R\downarrow)} = u_{5000(R\uparrow,R\downarrow)} = u_{10000(R\uparrow,R\downarrow)}
U_{1000 (R\uparrow,R\downarrow)} = 2 \cdot u_{1000 (R\uparrow,R\downarrow)} \approx 2.3 \,\mu \,\mathrm{m} = U_{2000 (R\uparrow,R\downarrow)} = U_{5000 (R\uparrow,R\downarrow)} = U_{10000 (R\uparrow,R\downarrow)} = U_{1000 (R\uparrow,R\downarrow)} = U_{10000 (R\uparrow,R\downarrow)} = U_{1000 (R\uparrow,R\downarrow)} = U_{10000 (R
双向重复定位R的不确定度:
 U_{1000R} = \left[ (2 \cdot \sqrt{u_7^2/n + u_8^2})^2 + u_{(R\uparrow,R\downarrow)}^2 \right]^2 = ((2 \times \sqrt{0.58^2/5 + 1.02^2})^2 + 1.16^2)^{1/2} \approx 2.4 \mu m
扩展不确定度: U_{1000R} = 2 \cdot u_R = 2 \times 2.4 \approx 4.8 \,\mu \,\mathrm{m}
U_{1000R} = 2 \cdot u_R = 2 \times 2.4 \approx 4.8 \,\mu \text{ m} = U_{2000R} = U_{5000R} = U_{10000R}
反向间隙B的不确定度:
u_{1000B} = 2 \cdot \sqrt{u_7^2/n + u_8^2} = 2 \times \sqrt{0.58^2/5 + 1.02^2} \approx 2.01 \,\mu\text{m}; n=5
扩展不确定度: U_{\text{U}}=2 \cdot u_{1000B}=2 \times 2.01 \approx 4 \, \mu \, \text{m}
U_{1000B} = 2 \cdot u_R = 2 \times 2.4 \approx 4.8 \,\mu \,\text{m} = U_{2000B} = U_{5000B} = U_{10000B}
```

四、总结通过不确定度评估,使用这些评估中分析的影响量来减小测量误差

首先,从以上说明的八个分量中确定可以减小的误差来源。

(1)与仪器相关的四个误差分量中仪器的误差(激光器和温度补偿误差是固有误差解决不了),死程和余弦误差是人员 操作熟练性造成,通过调整可以减小最低限度。死程可以在机床检测时,尽量使干涉竟位置靠近移动反射镜起始位置(即机 床起始位置),可以适当减小该误差。而余弦误差的产生和特点如下:我们看光斑在一到五米时,一般认真调校可以控制在 0.5mm对准误差,则余弦误差:在1m时,因为对准有0.5mm的误差,则斜线和直线间的夹角 θ = sin⁻¹ 0.5≈0.0286°。则1m测 量长度时余弦误差为: $\Delta L = L - L' = L(1 - \cos \theta) = 1000 \times (1 - \cos 0.0286) \approx 0.125 \,\mu$ m。另外如果都对准误差 ± 0.5 mm,测量长 度在500mm和2000mm时, θ 分别为: $\theta_{500} = \sin^{-1} 0.5/500 \approx 0.0573^{\circ}$, $\theta_{2000} = \sin^{-1} 0.5/2000 \approx 0.0143^{\circ}$ 。

 ΔL 分别为: $\Delta L_{500} \approx 500 \times (1 - \cos 0.0573) \approx 0.25 \,\mu$ m, $\Delta L_{2000} \approx 2000 \times (1 - \cos 0.0143) \approx 0.062 \,\mu$ m。显然在对准都是

90 WMEM·2022年第3期

0.5mm时,轴越长误差越小,而轴越短误差越大。随着光斑增大对准误差会变大,但是对准误差一般不会超过±2mm,则 在长距离时仪器余弦误差也不会超过0.1 μm。故行程超过10m的轴此项误差影响很小,反观行程200~500mm的轴时,如 果对准精度还是0.5mm时,则误差变为0.25~0.62 mm,所以找正光线时,对于小机床应该仔细对好,尽量全范围看不到光 标有移动,并且不确定度计算时要考虑此项误差。除了以上影响外,仪器的材料温度传感器的放置位置也影响测量结果, 放置位置不同对结果影响较大(距离越长影响越大),一般放置于机床的标尺附近,注意不要放置于热源附近。

- (2) 材料膨胀系数的误差是不同,一般是在系数2 μ m 的范围内变化,它的影响量与长度和温度有关,长度越长差的 越多、温度和标准温度的差值越大误差越大。从上面不同温度条件下的计算过程及所得结果中可以看到该误差在大机床和 温差很大时是位置精度检测中不确定度受影响最大的一个分量(可以说是主要分量)。而机床测量轴长是规定了的,不能 通过减小长度来减小误差, 所以只能通过控制温度来减小, 对于定位精度要求越高的机床温度要求越高。在数控机床现场 条件无法达到环境要求情况下,使用机床时需要在温差很大的情况下(武汉在不同季节时)重新检测机床位置精度,并补 偿后使用。
- (3) 重复性分量和机床的性能、热稳定性以及环境和周边震动等等有关,是综合性的误差来源。除了机床调到最佳状 态外,并控制检查环境使之稳定。
- (4)环境漂移影响,控制环境条件,在测量的时间长度内和检查的最远距离观察激光仪读数的变化,测量时间是阶 梯和线性方式检测定位精度的时长,一般机床轴由小到大(400mm~20000mm)检测时长在15~90 min内。这里说明一 下, 重复定位不确定度计算时阶梯方式和线性方式是不一样的即时长是不同的。阶梯式时机床轴长短测量时长是一样的 (一般2~5min, 线性方式时机床轴长短测量时长是不同的(和检测定位精度时长是一样的), 所以环境漂移影响的试验时 间在阶梯式时取测量时间长度内的2~5min的数值变化。
- (5) 多次测量安装反射镜位置不同带来的影响,可以通过固定机床检测位置和反射镜安装位置来消除。即规定在机 床被测轴外的其它轴所停位置作为检测线位置,移动反射镜安装位置固定并有安装附件。这样可以减小二次安装误差(控 制在10mm内, 甚至消除该误差)。

另外,在机床检测前,关闭车间大门避免空气对流,并需要空运转机床30min以上,使之预热并基本达到热平衡。检 测期间停止使用机床附近的导轨运输车,最好行车不要经过机床附近,这样可以减小对检测结果的影响。

五、以实例结果的评估计算激光干涉仪在定位精度测量的不确定度

(1) 是恒温厂房里检测(WHCQ1600-002026)Z轴的定位精度,分别以阶梯和线性方式并且材料传感器放置在导轨检 测定位精度,得到结果如图5所示:

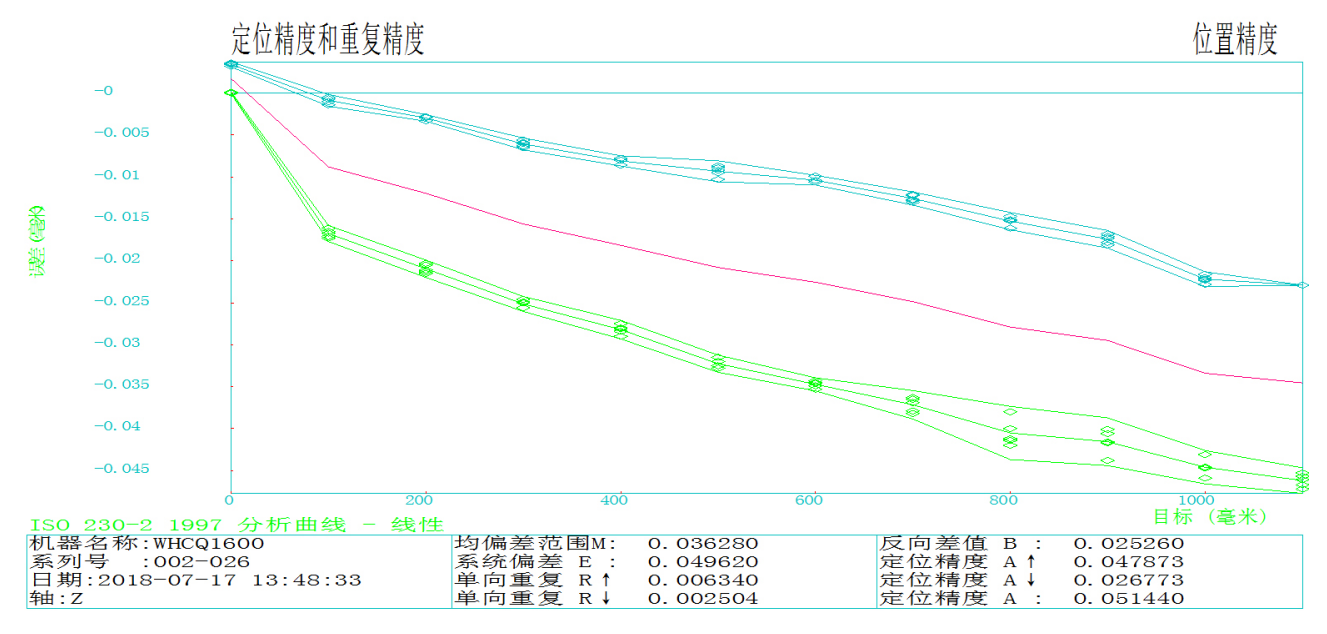


图5 阶梯式,材料传感器打在导轨端头

图5所示为材料传感器温度为26.1°C,测量轴长1100mm,测量时死程100mm,光轴对准误差调整在0.5mm内,测量时间段实验漂移 0.7μ m,2分钟内 0.5μ m,安装重复由于规定了机床位置并在同位置安装反射镜所以安装偏移接近于0,机床重复定位结果0.006mm。得到下列各分量结果:

a) $u_1 = 0.24 \times 1.1 = 0.26 \,\mu \,\mathrm{m}$; b) $u_2 = 1100 \times (1 - \cos(\sin^{-1}(0.5/1100)))/\sqrt{3} = 0.5/\sqrt{3} \,\mu \,\mathrm{m} \approx 0.07 \,\mu \,\mathrm{m}$;

c) u_3 =0.66 × 1.1=0.73 μ m; d) u_4 =0.67 × 0.1=0.07 μ m;

f) $u_s = 0.577 \cdot L \cdot \Delta t = 0.577 \times 1.1 \times 6.1 \,\mu$ m $\approx 3.87 \,\mu$ m; j) $u_s = 0.125 \times S_i = 0.125 \times 0.006 \,\mu$ m;

h)
$$u_7$$
 ($\approx E_{\rm VE}/2\sqrt{3}=0.7/(2/\sqrt{3})=0.2\,\mu\,{\rm m}$, $u_{7\%}=0.5/(2/\sqrt{3})=0.14\,\mu\,{\rm m}$; i) $u_8=\frac{\sqrt{2}\cdot0\cdot0.05}{1000\times2\sqrt{3}}=0\,\mu\,{\rm m}_{\odot}$

则在该条件下的各参数结果的不确定度为:

位置偏差 $(E, E \uparrow, E \downarrow)$ 的 不确定度:

$$u_{(E, E\uparrow, E\downarrow)} = \sqrt{u_1^2 + u_2^2 + u_3^2 + u_4^2 + u_5^2 + u_6^2 + u_7^2/n + u_8^2}$$

=
$$(0.26^2+0.07^2+0.73^2+0.07^2+3.87^2+0.08^2+0.2^2/5+0^2)^{1/2}\approx 3.95$$

单向 $u_{(E\uparrow E\downarrow)}$ 时,n=5; 双向 u_E 时,n=10。

扩展不确定度 $U_{(E, E\uparrow, E\downarrow)} = 2 \cdot u_{(E, E\uparrow, E\downarrow)} = 2 \times 3.95 \,\mu\,\text{m} \approx 7.9 \,\mu\,\text{m}$

定位精度 (A, A↑,A↓) 的不确定度:

$$u_{(A, A\uparrow, A\downarrow)} = \sqrt{u_1^2 + u_2^2 + u_3^2 + u_4^2 + u_5^2 + u_7^2/n + u_8^2}$$

$$=(0.26^2+0.07^2+0.73^2+0.07^2+3.87^2+0.2^2/5+0^2)^{1/2}\approx 3.95$$

单向 $u_{(A\uparrow A\downarrow)}$ 时,n=5 ; 双向 u_A 时,由于双向是取了两个单向高低点,故 n=3.5。

扩展不确定度: U_(A, A↑,A↓) =2 · u_(A, A↑,A↓) =2 × 3.95 μ m ≈ 7.9 μ m

单向重复定位 (R ↑ . R ↓) 的不确定度 (阶梯式检测方式):

$$U_{(RT,RL)} = 4 \cdot \sqrt{\frac{1}{n-1}} \cdot u_7 = 4 \times \sqrt{\frac{1}{5-1}} \times 0.14 = 0.28 \mu \text{m}, \ n=5$$

扩展不确定度: $U_{(R\uparrow,R\downarrow)} = 2 \cdot u_{(R\uparrow,R\downarrow)} = 2 \times 0.28 \,\mu\,\text{m} \approx 0.6 \,\mu\,\text{m}$

双向重复定位R的不确定度:

$$U_R = \sqrt{(2 \cdot \sqrt{u_7^2/n + u_8^2})^2 + u_{(R\uparrow,R\downarrow)}^2} = ((2 \times \sqrt{0.14^2/5 + 0})^2 + 0.28^2)^{1/2} \approx 0.31 \mu m$$

扩展不确定度: U_R=2·*u_R*=2×0.31 **μ** m ≈ 0.6 **μ** m

反向间隙B的不确定度:

$$u_{\rm B} = 2 \cdot \sqrt{u_7^2/n + u_8^2} = 2 \times \sqrt{0.14^2/5 + 0} \ \mu \, \text{m} \approx 0.13 \, \mu \, \text{m} \ n = 5$$

扩展不确定度: $U_B=2 \cdot u_B=2 \times 0.13 \,\mu \, \text{m} \approx 0.26 \,\mu \, \text{m}$

注: 如果温度控制在20±1℃时,则 $u_{(A,A\uparrow,A\downarrow)}=(0.26^2+0.07^2+0.73^2+0.07^2+0.63^2+0.2^2/5+0^2)^{1/2}\approx 1$

扩展不确定度 $U_{(A,A\uparrow,A\downarrow)}=2 \cdot u_{(A,A\uparrow,A\downarrow)}=2 \times 1 \mu \,\mathrm{m}=2 \mu \,\mathrm{m}$

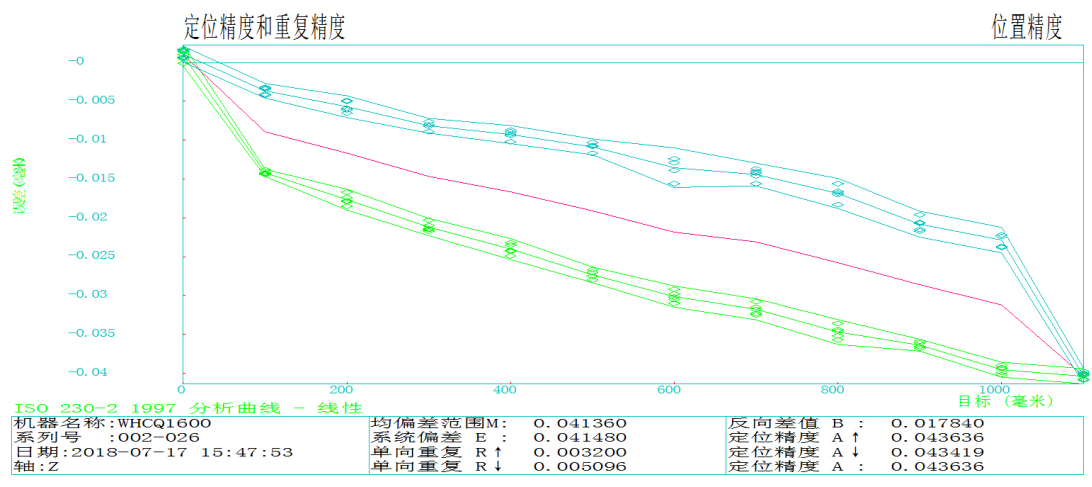


图6 线性方式,材料传感器打在导轨端头

图6所示为材料传感器温度为25.7°C、测量轴长1100mm、测量时死程100mm、光轴对准误差调整在0.5mm内、测量时 间段实验漂移0.7μm, 2分钟内0.5μm, 安装重复由于规定了机床位置并在同位置安装反射镜所以安装偏移接近于0, 机 床重复定位结果0.005mm。得到下列各分量结果:

- a) $u_1=0.24\times1.1=0.26\mu\text{m}$; b) $u_2=1100\times(1-\cos(\sin^{-1}(0.5/1100))/\sqrt{3}=0.5/\sqrt{3}\mu\text{m}\approx0.07\mu\text{m}$;
- c) U_3 =0.66×1.1=0.73 μ md) U_4 =0.67×0.1=0.07 μ m;
- f) $u_5 = 0.577 \cdot L \cdot \Delta t = 0.577 \times 1.1 \times 5.7 \mu m \approx 3.62 \mu m$; j) $u_6 = 0.125 \times Si = 0.125 \times 0.005 \mu m = 0.064 \mu m$;
- h) $U_{7\#} = E_{VE}/2\sqrt{3} = 0.7/(2/\sqrt{3}) = 0.2 \mu \text{m}$, $U_{7\#} = 0.5/(2/\sqrt{3}) = 0.14 \mu \text{m}$; i) $U_8 = \frac{\sqrt{2\cdot0\cdot0.05}}{1000\cdot2\cdot\sqrt{2}} = 0 \mu \text{m}$.

则在该条件下的各参数结果的不确定度为:

位置偏差(E, $E \uparrow . E \downarrow$)的不确定度:

$$u_{(E, E\uparrow, E\downarrow)} = \sqrt{u_1^2 + u_2^2 + u_3^2 + u_4^2 + u_5^2 + u_6^2 + u_7^2/n + u_8^2}$$

 $=(0.26^2+0.07^2+0.73^2+0.07^2+3.62^2+0.064^2+0.2^2/5+0^2)^{1/2}\approx 3.7$

单向 $u_{(E\uparrow,E\downarrow)}$ 时,n=5 ; 双向 u_E 时,n=10。

扩展不确定度: $U_{(E, E\uparrow, E\downarrow)} = 2 \cdot u_{(E, E\uparrow, E\downarrow)} = 2 \times 3.7 \,\mu\,\text{m} \approx 7.4 \,\mu\,\text{m}$

定位精度(A, A↑,A↓)的不确定度:

$$U_{(A, A\uparrow, A\downarrow)} = \sqrt{u_1^2 + u_2^2 + u_3^2 + u_4^2 + u_5^2 + u_7^2/n + u_8^2}$$

$$=(0.26^2+0.07^2+0.73^2+0.07^2+3.87^2+0.2^2/5+0^2)^{1/2}\approx 3.7$$

单向 $u_{(A, t, A/)}$ 时, n=5; 双向 u_A 时, 由于双向是取了两个单向高低点, 故 n=3.5

扩展不确定度U_(A, A↑,A↓)=2·u_(A, A↑,A↓)=2×3.7≈7.4μm

单向重复定位(R↑,R↓)的不确定度(阶梯式检测方式):

$$U_{(Rt,RL)} = 4 \cdot \sqrt{\frac{1}{n-1}} \cdot u_7 = 4 \times \sqrt{\frac{1}{5-1}} \times 0.2 = 0.4 \mu \text{m}$$
; $n=5$

扩展不确定度: $U_{(R\uparrow,R\downarrow)}=2 \cdot u_{(R\uparrow,R\downarrow)}=2 \times 0.4 \,\mu\,\text{m} \approx 0.8 \,\mu\,\text{m}$

双向重复定位R的不确定度:

$$U_{R} = \sqrt{(2 \cdot \sqrt{u_{7}^{2}/n + u_{8}^{2}})^{2} + u_{(R\uparrow,R\downarrow)}^{2}} = ((2 \times \sqrt{0.2^{2}/5 + 0})^{2} + 0.4^{2})^{1/2} \approx 0.44 \mu m$$

扩展不确定度: $U_R=2 \cdot u_R=2 \times 0.44 \,\mu \,\mathrm{m} \approx 0.9 \,\mu \,\mathrm{m}$

反向间隙B的不确定度:

$$u_B = 2 \cdot \sqrt{\mathbf{u_7^2/n} + \mathbf{u_8^2}} = 2 \times \sqrt{0.2^2/5 + 0} \ \mu \, \text{m} \approx 0.13 \, \mu \, \text{m}, \quad n=5$$

扩展不确定度: U₁₁=2 · u_B=2 × 0.18 μ m ≈ 0.36 μ m

注: 如果温度控制在21±1℃时,则 $u_{(A,Af,A\downarrow)}=(0.26^2+0.07^2+0.73^2+0.07^2+0.63^2+0.2^2/5+0^2)^{1/2}\approx 1$

扩展不确定度: $U_{(A, A\uparrow, A\downarrow)} = 2 \cdot u_{(A, A\uparrow, A\downarrow)} = 2 \times 1 \mu \, \text{m} = 2 \mu \, \text{m}$

以上是小机床检测不确定度计算。

(2)是铣床公司安装厂房里检测XKG2740(线性导轨)X轴的定位精度,分别以阶梯和线性方式并且材料传感器放 置在导轨检测定位精度,得到结果如图7所示:

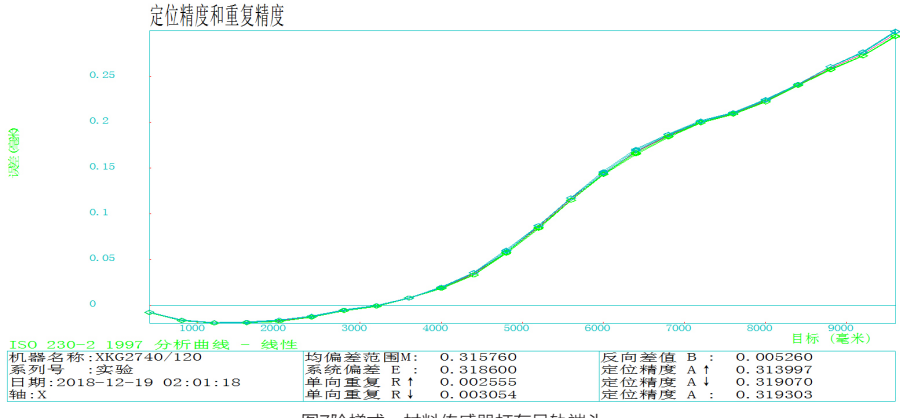


图7阶梯式,材料传感器打在导轨端头

图7所示为材料传感器温度为11.8℃、测量轴长范围400~9600mm、测量时死程300mm、光轴对准误差调整在1mm内、 测量时间段实验漂移 $2\mu m$, 2分钟内 $1\mu m$, 安装重复由于规定了机床位置并在同位置安装反射镜所以安装偏移接近于0, 机 床重复定位结果0.003mm。由图可知最大最小点在1600~9600mm,L取8000mm,得到下列各分量结果:

- a) $u_i = 0.24 \times 8 = 1.92 \,\mu \text{m}$; b) $u_i = 8000 \times (1 \cos(\sin^{-1}(1/8000))) / \sqrt{3} = 0.063 / \sqrt{3} \,\mu \text{m} \approx 0.036 \,\mu \text{m}$;
- c) U_3 =0.66×8=5.28 μ m; d) U_4 =0.67×0.3=0.2 μ m;
- f) $U_5 = 0.577 \cdot \text{L} \cdot \Delta t = 0.577 \times 8 \times 8.2 \, \mu \text{m} \approx 37.85 \, \mu \text{m}$; j) $U_6 = 0.125 \times \text{Si} = 0.125 \times 0.003 \, \text{mm} = 0.038 \, \mu \text{m}$;
- h) $U_{7 \text{ light}} = E_{VE}/2\sqrt{3} = 2/(2/\sqrt{3}) = 0.58 \mu \text{m}$, $U_{7 \text{ light}} = 1/(2/\sqrt{3}) = 0.29 \mu \text{m}$; i) $U_8 = \frac{\sqrt{2.0 \cdot 0.05}}{100 \cdot 10^{-10}} = 0 \mu \text{m}$.

则在该条件下的各参数结果的不确定度为:

位置偏差 $(E, E \uparrow, E \downarrow)$ 的不确定度

$$U_{(E, E^{\dagger}, E^{\dagger})} = \sqrt{u_1^2 + u_2^2 + u_2^2 + u_4^2 + u_5^2 + u_5^2 + u_7^2/n + u_8^2}$$

 $=(1.92^2+0.036^2+5.28^2+0.2^2+37.85^2+0.038^2+0.58^2/5+0^2)^{1/2}\approx 38.27$

单向u($E \uparrow , E \downarrow$)时, n=5; 双向 $u_{\rm F}$ 时, n=10。

扩展不确定度: $U_{(E, E\uparrow, E\downarrow)} = 2 \cdot u_{(E, E\uparrow, E\downarrow)} = 2 \times 38.27 \,\mu\,\text{m} \approx 76.5 \,\mu\,\text{m}$

定位精度 $(A, A \uparrow, A \downarrow)$ 的 不确定度:

$u_{(A, A\uparrow, A\downarrow)} = \sqrt{u_1^2 + u_2^2 + u_3^2 + u_4^2 + u_5^2 + u_7^2/n + u_8^2}$

 $=(1.922+0.0362+5.282+0.22+37.852+0.582/5+02)1/2 \approx 38.27$

单向 $u_{(A,f,A,f)}$ 时, n=5; 双向 u_A 时, 由于双向是取了两个单向高低点, 故 n=3.5。

扩展不确定度: U_(A, A↑,A↓) =2 · u_(A, A↑,A↓) =2 × 38.27 µ m ≈ 76.5 µ m

单向重复定位(R↑,R↓)的不确定度(阶梯式检测方式):

$$U_{(RT,RL)} = 4 \cdot \sqrt{\frac{1}{n-1}} \cdot u_7 = 4 \times \sqrt{\frac{1}{5-1}} \times 0.29 = 0.58 \mu \text{m} ; n=5$$

扩展不确定度: $U_{(R\uparrow,R\downarrow)}=2 \cdot u_{(R\uparrow,R\downarrow)}=2 \times 0.58 \mu \,\mathrm{m} \approx 1.2 \,\mu \,\mathrm{m}$

双向重复定位R的不确定度:

$$\underline{U_R} = \sqrt{(2 \cdot \sqrt{u_7^2/n + u_8^2})^2 + u_{(R\uparrow,R\downarrow)}^2} = ((2 \times \sqrt{0.29^2/5 + 0})^2 + 0.58^2)^{1/2} \approx 0.64 \mu \text{m}$$

扩展不确定度: $U_R=2 \cdot u_R=2 \times 0.64 \,\mu \,\mathrm{m} \approx 1.3 \,\mu \,\mathrm{m}$

反向间隙B的不确定度:

$$u_B = 2 \cdot \sqrt{u_7^2/n + u_8^2} = 2 \times \sqrt{0.2^2/5 + 0} \ \mu \,\text{m} \approx 0.26 \,\mu \,\text{m}, \quad n=5$$

扩展不确定度: $U_U=2 \cdot u_B=2 \times 0.26 \,\mu \,\mathrm{m} \approx 0.5 \,\mu \,\mathrm{m}$

注: 如果温度控制在21±1℃时,则 $u_{(A,A\uparrow,A\downarrow)}$ =(1.92²+0.036²+5.28²+0.2²+4.62²+0.58²/5+0²) $^{1/2}\approx7.28$

扩展不确定度 $U_{(A,A\uparrow,A\downarrow)}=2 \cdot u_{(A,A\uparrow,A\downarrow)}=2 \times 7.28 \,\mu \, m=14.6 \,\mu \, m$



图8 线性方式,材料传感器打在导轨端头

图8所示为材料传感器温度为12.1℃,测量轴长范围400~9600mm,测量时死程300mm,光轴对准误差调整在1mm 内,测量时间段实验漂移2μm,2分钟内1μm,安装重复由于规定了机床位置并在同位置安装反射镜所以安装偏移接近于

- 0. 机床重复定位结果0.003mm。由图可知最大最小点在1600~9600mm, L取8000mm, 得到下列各分量结果:
 - b) $u=0.24\times8=1.92 \mu \text{m}$; b) $u=8000\times(1-\cos(\sin^{-1}(1/8000))/\sqrt{3}=0.063/\sqrt{3}\mu \text{m}\approx0.036\mu \text{m}$;
 - c) U_3 =0.66×8=5.28 μ m; d) U_4 =0.67×0.3=0.2 μ m;
 - f) $U_5 = 0.577 \cdot \text{L} \cdot \Delta t = 0.577 \times 8 \times 7.9 \mu \text{m} \approx 35.47 \mu \text{m} \text{ j})$ $U_6 = 0.125 \times \text{Si} = 0.125 \times 0.005 \text{mm} = 0.064 \mu \text{m};$
 - h) $U_{7 \text{ th}} = E_{VE}/2\sqrt{3} = 2/(2/\sqrt{3}) = 0.58 \mu \text{m}$, $U_{7 \text{ th}} = 1/(2/\sqrt{3}) = 0.29 \mu \text{m}$; i) $U_8 = \frac{\sqrt{2} \cdot 0 \cdot 0.05}{1000 \cdot 2 \cdot 0.05} = 0 \mu \text{m}$

则在该条件下的各参数结果的不确定度为:

位置偏差 $(E, E \uparrow, E \downarrow)$ 的 不确定度:

$$u_{(E, E\uparrow, E\downarrow)} = \sqrt{u_1^2 + u_2^2 + u_3^2 + u_4^2 + u_5^2 + u_6^2 + u_7^2/n + u_8^2}$$

 $=(1.92^{2}+0.036^{2}+5.28^{2}+0.2^{2}+35.47^{2}+0.064^{2}+0.58^{2}/5+0^{2})^{1/2}\approx35.91$

单向 $u_{(F\uparrow F)}$ 时,n=5;双向 u_F 时,n=10。

扩展不确定度: U_(E, E↑,E↓) =2 · u_(E, E↑,E↓) =2 × 35.91 μ m ≈ 71.8 μ m

定位精度 $(A, A \uparrow, A \downarrow)$ 的不确定度:

$$u_{(A, A\uparrow, A\downarrow)} = \sqrt{u_1^2 + u_2^2 + u_3^2 + u_4^2 + u_5^2 + u_7^2/n + u_8^2}$$

 $=(1.92^2+0.036^2+5.28^2+0.2^2+35.47^2+0.58^2/5+0^2)^{1/2}\approx 35.9$

单向 $u_{(A\uparrow,A\downarrow)}$ 时,n=5; 双向 u_A 时,由于双向是取了两个单向高低点,故 n=3.5。

扩展不确定度: U_(A, A↑,A↓)=2·u_(A, A↑,A↓)=2×35.9μm≈71.8μm

单向重复定位 (R ↑, R ↓) 的不确定度 (阶梯式检测方式):

$$u_{(R_{I},R_{I})} = 4 \cdot \sqrt{\frac{1}{n-1}} \cdot u_7 = 4 \times \sqrt{\frac{1}{5-1}} \times 0.58 = 1.16 \mu \text{m}, \quad n=5$$

扩展不确定度: $U_{(R\uparrow,R\downarrow)}=2 \cdot u_{(R\uparrow,R\downarrow)}=2 \times 1.16 \,\mu\,\mathrm{m} \approx 2.3 \,\mu\,\mathrm{m}$

双向重复定位R的不确定度:

$$\underline{u_R} = \sqrt{(2 \cdot \sqrt{u_7^2/n + u_8^2})^2 + u_{(R\uparrow,R\downarrow)}^2} = ((2 \times \sqrt{0.58^2/5 + 0})^2 + 1.16^2)^{1/2} \approx 1.27 \mu \text{m}$$

扩展不确定度: $U_R=2 \cdot u_R=2 \times 1.27 \,\mu\,\text{m} \approx 2.54 \,\mu\,\text{m}$

反向间隙B的不确定度:

$$u_{\rm B} = 2 \cdot \sqrt{u_{\rm 7}^2/n + u_{\rm 8}^2} = 2 \times \sqrt{0.58^2/5 + 0} \approx 0.52 \,\mu \,\rm m$$
, $n=5$

扩展不确定度: $U_{\text{U}}=2 \cdot u_{\text{B}}=2 \times 0.52 \,\mu \,\text{m} \approx 1 \,\mu \,\text{m}$

注: 如果温度控制在 21 ± 1 °C时,则 $u_{(A,A\uparrow,A\downarrow)} = (1.92^2 + 0.036^2 + 5.28^2 + 0.2^2 + 4.62^2 + 0.58^2 / 5 + 0^2)^{1/2} \approx 7.28$

扩展不确定度: $U_{(A,A\uparrow,A\downarrow)} = 2 \cdot u_{(A,A\uparrow,A\downarrow)} = 2 \times 7.28 \,\mu \,\text{m} = 14.6 \,\mu \,\text{m}$

六、结语

总结、以后测量结果都要求给出测量的不确定、此文内用的实际计算公式、可用于现场测量时、根据不同影响量、直 接带入计算。□

资讯

宝鸡机床集团董事长李清耀到西安航空职业技术学院调研交流

近日, 宝鸡机床集团公司党委书记、董事长李清耀, 副总经理张文怀到西安航空职业技术学院调研交流。

座谈会上, 李清耀向校方介绍了企业发展的基本情况, 并就人才培养、师资培训、实训基地建设、科研合作等方面 进行深入交流,他表示,要进一步促进校企合作、深化产教 融合、增强技术交流,共同推动双方战略合作向纵深发展。

西安航空职业技术学院校长张敏华表示,校企双方有 着深厚的合作基础及广泛的合作前景,职业教育植根于行 业发展,依靠技术进步,未来希望双方能够加强沟通、深 度合作、共促发展。

双刀架数控立式板料开槽机控制系统的 研发与设计

瑞铁机床(苏州)股份有限公司 杨晨 浦进捷 雷斌华

摘要:双刀架数控立式板料开槽机,具有工作方式灵活、运行速度快、加工效率高的特点,基于 HUST运动控制器研发了匹配双刀架数控立式开槽机的控制加工系统设计方案。该方案通过伺服轴带动的 双刀架机构和板料液压夹持系统间的配合,实现双刀架机构的"双头单向加工"和"双头双向加工"两 种加工工艺。

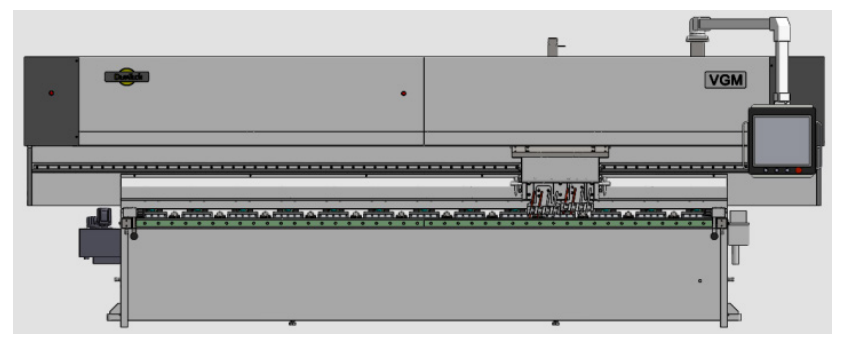
数控板料开槽机 (又称为刨槽机)可以对不锈钢板、碳 钢板、铝板、铜板等多种材质的金属板材进行V型开槽。 在钣金折弯加工中, 折弯后的工件棱边圆弧半径是随着折 弯区的板料厚度的增大而增大的。因此如果我们在对工件 折弯之前对板材进行适当的V型刨槽, 使刨槽后的板材厚 度只有原来的一半甚至更小, 折弯后工件的棱边圆弧半径 就会相应减小, 达到美观要求。

瑞铁机床(苏州)股份有限公司研发的双刀架数控立 式板料开槽机,配置双刀架结构,具有运行速度快、加工 精度高、能源应用效率高、安全性高等特点,广泛应用于

电梯轿厢、不锈钢装饰装潢、铝幕墙、电器产品等行业的 板料加工。

1. 立式开槽机结构形式

机床外形如图1所示,立式开槽机机身采用钢板整 体框架焊接结构,液压泵站、油缸、电控箱及交流伺服 传动系统等与床身集成于一体, 布局简洁, 操作方便。 待加工的金属板料由液压夹钳夹持,机器后侧的送料机 构由后向前移动完成送料,液压缸压紧板料后刨刀刨削 加工。



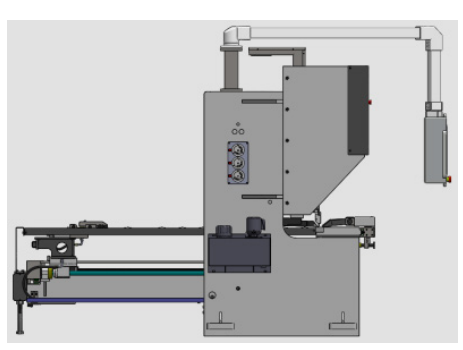


图1 数控立式开槽机外形图

VGM系列开槽机的双头刀架机构,采用高速滑动式刀 架,上下动作采用精密滚珠丝杆传动,重复定位精度高。

两组刀架通过两个伺服轴控制,可对称装配6把刀或8把 刀,实现"双头单向加工"和"双头双向加工"两种加工

96 | WMEM · 2022年第3期 www.cmtba.org.cn

工艺,加工方式可灵活切换、效率高。刀架左右运动(即 刨削加工方向)采用齿轮齿条结构,刨削过程平稳高效, V槽表面平滑光整。

2. 开槽机工艺流程设计

设备的工艺流程主要由IO控制和轴运动控制,并通过 HMI人机界面的处理来实现,工艺流程如图2所示。

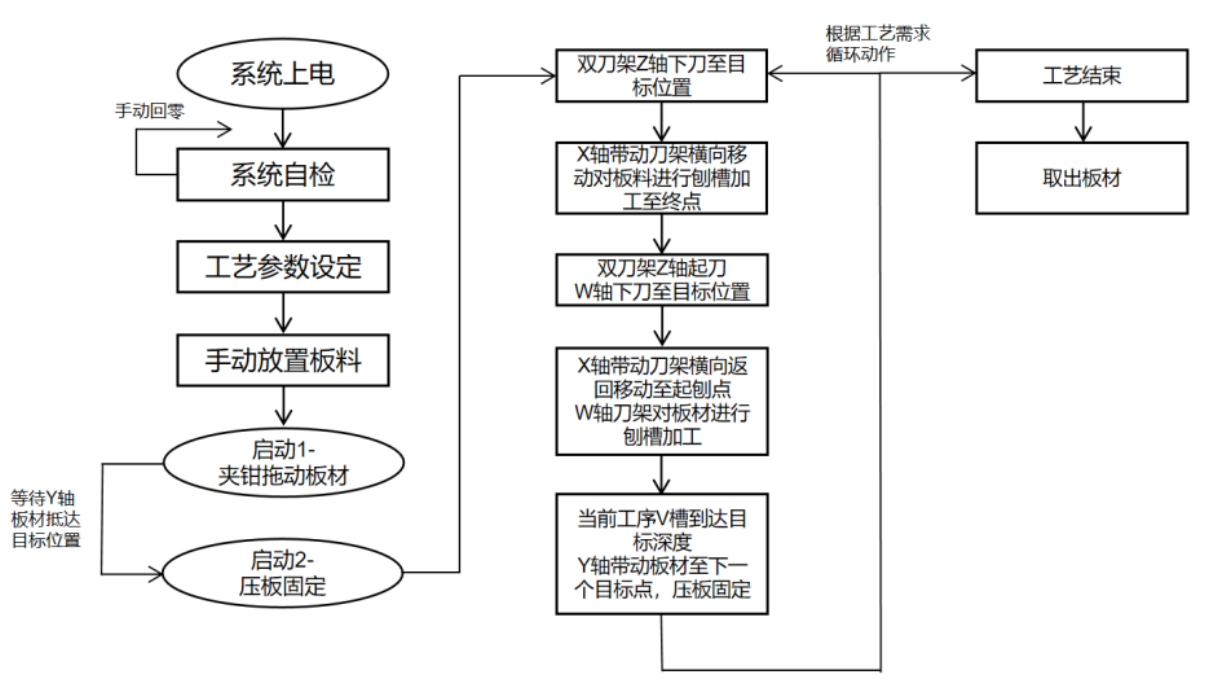


图2 开槽机工艺流程图

系统上电后, 首先检测各运动轴位是否处于初始状 态。初始状态条件为液压压板、夹钳均处于松开状态,控 制刀头上下运动的W、Z轴以及带动板材运动的Y轴均处于 原点位置。如果系统检测各工作站没有处于初始位置,需 要人工回零操作, 在系统回到初始位置后即可进行后续操 作。之后通过人机界面输入需要执行的工艺参数,人工将 板材置于工作台后可由脚踏或者人机界面启动液压夹钳压 制板材,压制到位后再次启动,Y轴伺服会带动夹钳将板 材移动至参数设置的槽距位置。Y轴到位后,液压压板对 板材进行开槽线路压制,能够有效提升开槽的精度和稳定 性,随后根据设置的参数,X轴带动刀架对板料进行V槽加 工,基于双刀架结构的特性,如图3所示,Z、W轴可带动

两头刀架上下运动,从而实现以下两种加工工艺:

- (1) 双头单向加工: Z和W两个刀架(刀刃方向同 向)下降至进刀点,W轴刀架的进刀点会高于Z轴刀架, 两个刀架上的所有刨刀均参与加工, 从右边进刀开槽至左 边终点。完成开槽后两个刀架升起从左边高速回程,等待 下一次加工,如此循环作业。此工艺通常用于加工较厚板 材的深V槽。
- (2) 双头双向加工: Z和W轴两个刀架(刀刃方向为 面向对立方向) Z轴刀架下降至进刀点, 从右边进刀开槽 至左边终点,完成开槽后Z轴刀架上升。同时,W轴下降 至进刀点, W轴刀架从左边进刀开槽至右边, 如此循环作 业。此工艺通常用于薄板加工。

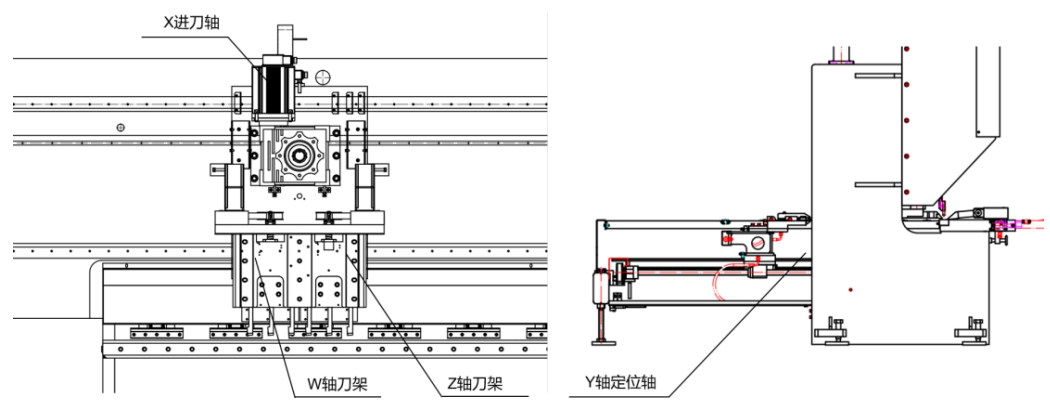


图3 开槽机的运动机构位置图

3. 板料液压夹持系统

本机液压系统由油箱、油缸、压力继电器、液压泵、 板式溢流阀、电磁换向阀、调速阀等组合而成, 可实现压 板与夹钳的压下及夹紧动作。本设备液压系统采用间歇工 作原理,动作灵敏,密封性能好。

液压原理如图4所示,液压夹钳和液压压板油路均设 有压力继电器S01、S02。当控制液压压板和液压夹钳夹 紧时,1YA与2YA分别得电,压板油缸和夹钳油缸开始工 作。当压板和夹钳接触到板材时,S01会监测到油路内压 力,S01到达设定压力时,1YA失电;S01未达到设定压 力时, 1YA得电。S02到达设定压力时, 2YA失电; S02未 到达设定压力时,2YA得电。根据材质、板厚、板宽的不 同,以及开槽深度等情况来判定是否需要人工调整压力继 电器的值, 防止油缸施压过大对材料造成损伤。系统对板 材压制完成后,通过压力继电器使1YA、2YA阀失电,而 油缸内始终维持着设定的压力并对板材保持压制。当控制 液压压板和液压夹钳松开时, 3YA和4YA分别得电, 压板 油缸和夹钳油缸内液压油回流至油箱, 使得压力减小从而 松开对板材的压制。

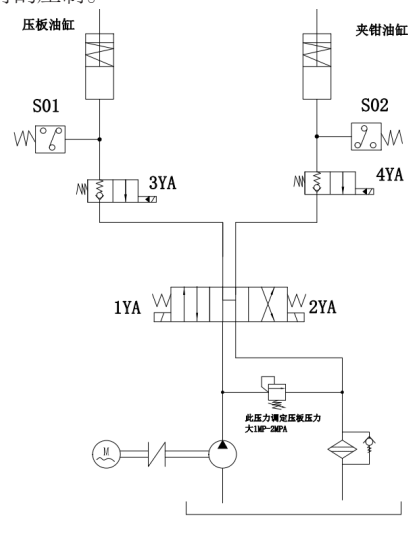


图4 液压原理图

4. 控制系统总体方案

在整个设备中,控制器主要由HUST的HS10-15-DC触屏和AEC2-NM-4-A-DC运动控制器组成,同时还 配置有独立IO模块A6B-SIO-IO32-V2。通过SIO串口通 讯, 立式板料开槽机控制系统以运动控制器为核心作为 PLC控制端,全闭环控制架构,结合IO模块实现液压站以 及各阀组间的控制,位置检测等开关量的应用。其中PLC 控制器与执行端伺服驱动器通过高速脉冲通讯, 控制系统 硬件框架如图5所示;运动模块由汇川SV610系列伺服驱 动器, MS1系列三相伺服交流电机组成。

软件部分运用主流RT Linux嵌入式控制系统平台进行 开发,主要编程语言为PLC+C#,采用HUST的CNC HMI Designer进行人机交互界面设计。



图5 系统控制硬件原理图

5. HMI界面设计

如图6所示,该系统的人机交互界面主要用于对系统 启动、停止、复位的控制和参数设置等。界面功能主要分 为编辑、手动、自动、呼出、帮助、监控、参数,其中编 辑、自动、手动界面间的操作用来实现设备的运动控制, 可以执行手动动作调试、各轴回机械原点,以及工艺参数 设置等操作。



图6 系统操作界面

监控界面用来监测是否收到传感器信号以及输出点信 号是否打出,以此来进行调试,或者判断外部传感器和电 磁阀是否出现异常。例如,外部感应点已经导通(常开信 号)或者灭掉(常闭信号),但系统并未收到相对应的信 号,这时可以监控外部配套的IO板是否有信号,如果其同 样未显示信号,则可以进一步判断IO板上NPN/PNP是否 正确或者外部感应开关24V电源是否正常等。

6. 结论

数控立式开槽机控制系统,利用HUST运动控制器作 为PLC的控制端,实现了对多个伺服电机的控制,结合双 头刀架机构和液压夹钳、压板的配合,动作合理流畅,能 够提高开槽机的作业效率和开槽精度。经过市场验证,该 设备控制系统能够满足立式开槽工艺需求。□

98 WMEM · 2022年第3期

汉江工具: 做精主业,持续创新

汉江工具有限责任公司

汉江工具有限责任公司于1974年建成投产,是"三 线"建设时期的西迁企业、主导产品主要有滚齿刀具、插 齿刀具、剃齿刀具、车齿刀具、拉削刀具、铣削刀具、冷 挤压刀具等精密复杂刀具,公司始终坚持人才支撑、创新 驱动、模式制胜,持续深入推动"五大工程"、"六大结 构调整",打造创新型、国际化的知名企业。

做精主业,不断提升竞争力

汉江工具在激烈的市场竞争中不断提高核心竞争力, 调整产品结构,加快产业链转型升级的步伐。将紧紧围绕 "十四五"高质量发展的重要机遇,配套制定实施在精密 复杂齿轮刀具制造领域的技术改造和创新能力建设项目, 以汽车、航空航天、新能源、轨道机车、智能化等重大装 备制造业所需的高端精密复杂刀具为主导,推动刀具产业 链延伸和服务产业化发展转型,带动企业实现高质量、规 模化发展。

近年来,汉江工具加大研发投入、加强人才队伍建 设,开发技术领先的复杂数控齿轮刀具,努力迈向刀具高 端技术和产品市场的第一梯队, 刀具精度从DIN AA向DIN AA+迈进,打造以滚齿、插齿、剃齿、拉齿、铣削、成形 复合刀具为核心的"汉工牌"系列金属切削刀具。

持续创新,成果丰硕

汉江工具以省级企业技术中心为研发平台,坚持产学 研用,对市场需求产品持续加强研发投入,产品的精度、 使用性能和寿命、技术水平稳步提升。

近年来,公司研发经费支出占营业收入比重每年保持 在7%以上,年均实施技改投入4000万元以上,产品转型 升级成效明显, 技术创新能力领先, 主导产品市场占有率 不断提升,尤其是齿轮刀具在国内市场占有较高份额。



插齿刀

公司面向汽车自动变速器、机器人关节减速器、航空 及船舶精密减速器、新能源传动轮边减速器等特殊变速转 动装置核心部件精密高效加工领域, 创新开发高速环保 干式切削、重载切削、超硬切削等关键技术, 以及模数 40-45镶片齿轮滚刀、40-50英寸弧齿锥齿轮滚刀、模数 35硬质合金刮削滚刀、模数26整体尼曼蜗轮滚刀、模数25 大型插齿刀、极小模数的齿轮刀具等新产品。









高速环保干切齿轮滚刀

滚刀组合

在高端机床行业,针对导轨和滑块开发了高精高效盘 形铣刀、精密滑块拉刀和硬质合金数控刀具:针对丝杠开 发了用于硬加工的旋风铣刀;针对机床行星减速器齿圈, 开发了硬质合金车齿刀和高精度螺旋拉刀。





38°大螺旋角螺旋渐开线花键拉刀

在汽车、航空航天、船舶、新能源、智能制造等关键 领域,开发了高速环保干切齿轮滚刀、高速环保干切插齿 刀、高速车齿刀(环保干切)、重载双切滚刀、修形修缘 插齿刀、整体硬质合金拉刀等,实现了补短板和产品结构 的升级。





高精度车齿刀

锥柄修缘插齿刀

走"专精特新"之路,实现高质量发展

汉江工具加强基础设施投入,引进和自主研发制造高 端专用加工设备和检测仪器,加快企业主导产品的转型升 级步伐。

在关键制造领域, 攻克了各类减速器、变速器、各类 传动等部件用切削加工关键核心技术; 在难加工材料、小 型专精齿轮刀具、精密合金齿轮刀具等方面,实现了创新 突破;在新能源汽车、航空航天、船舶、能源、机器人、 轨道交通等领域,满足其对各类齿轮传动刀具的高要求。

公司坚持走专业化、精细化、特色化、新颖化路线, 达到了较高的齿轮刀具市场占有率,获得专精特新"小巨 人"企业称号。未来,公司将持续加速高质量、规模化发 展,努力实现"百年汉工、国际品牌"的企业愿景。□

资讯

多家机床工具企业上榜第三批第一年支持的 国家级专精特新"小巨人"企业名单

日前,工信部中小企业局公示了第三批第一年建议支 持的国家级专精特新"小巨人"企业名单,共546家企业 上榜,其中多家机床工具企业榜上有名。

文件指出,为深入贯彻习近平总书记关于"培育一批 '专精特新'中小企业"、提升中小企业创新能力的重要 指示批示精神, 落实中办、国办《关于促进中小企业健康 发展的指导意见》,根据《财政部 工业和信息化部关于 支持"专精特新"中小企业高质量发展的通知》(财建 [2021]2号)要求,经各省级中小企业主管部门组织报 送、专家审核等程序,现将通过审核的第三批重点"小巨 人"企业名单予以公示(后附链接)。公示时间自2022年 5月17日至5月23日。

记者粗略统计,此次上榜第三批第一年建议支持的国

家级专精特新"小巨人"企业中的机床工具企业主要有: 苏州信能精密机械有限公司、宜昌长机科技有限责任公 司、株洲精工硬质合金有限公司、株洲肯特硬质合金股份 有限公司、广东凯特精密机械有限公司、桂林桂北机器有 限责任公司、四川普什宁江机床有限公司、陕西汉江机床 有限公司、汉江工具有限责任公司、浙江易锻精密机械有 限公司、陕西渭河工模具有限公司、中山迈雷特数控机床 有限公司等。

工业和信息化部于2021年4月21日通知部署第三批专精 特新"小巨人"企业培育工作。并于当年7月19-23日公示了 第三批上榜企业名单,共2930家。表明自2019年开展此项 工作以来,已累计三批共培育4762家专精特新"小巨人"企 业,并带动各地培育省级专精特新中小企业4万多家。